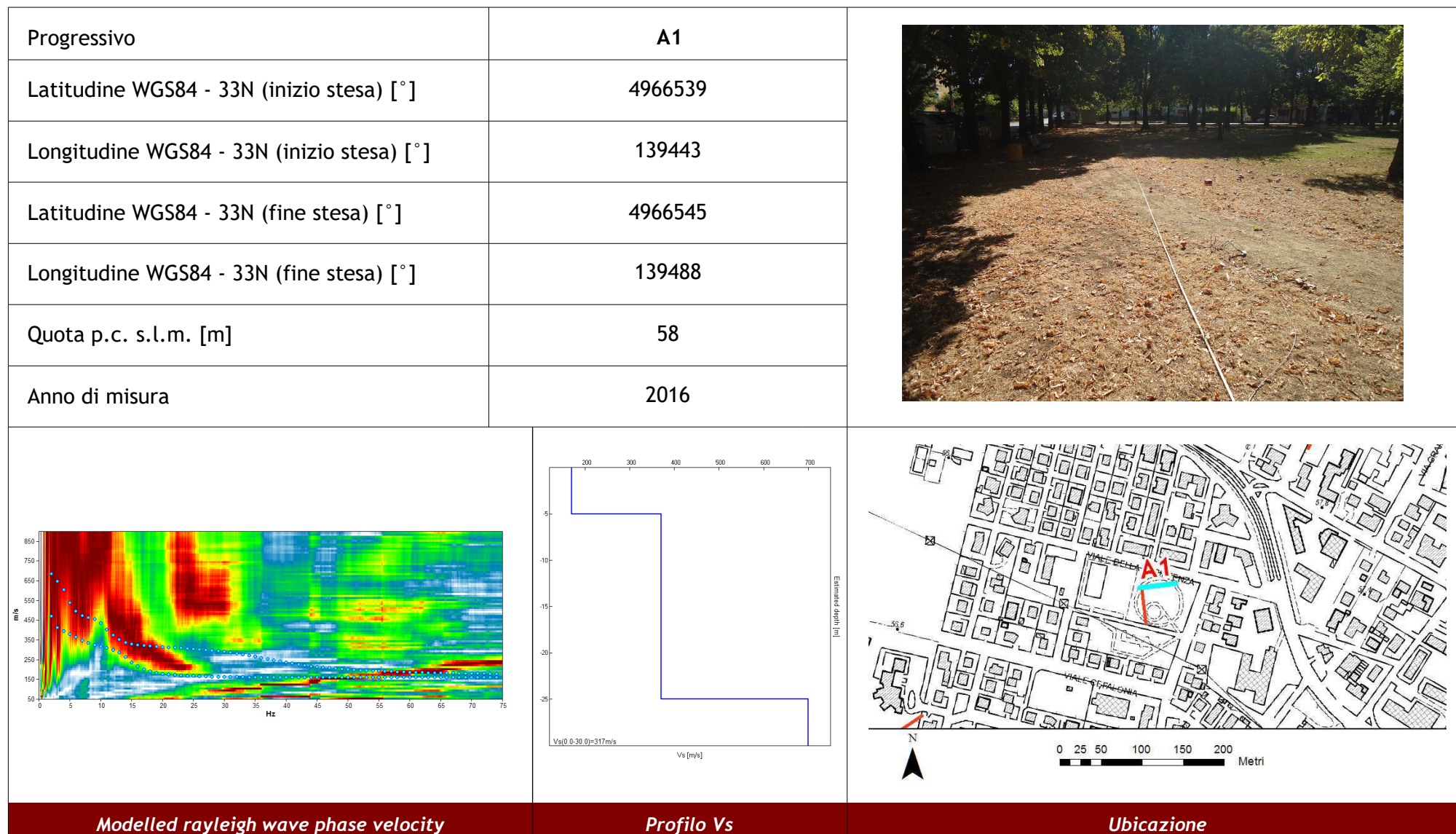


---

## SCHEDE DELLE INDAGINI GEOFISICHE DI NUOVA REALIZZAZIONE

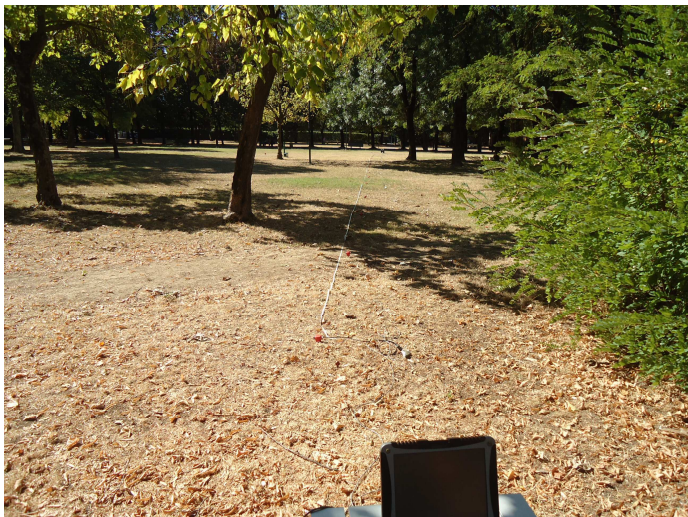
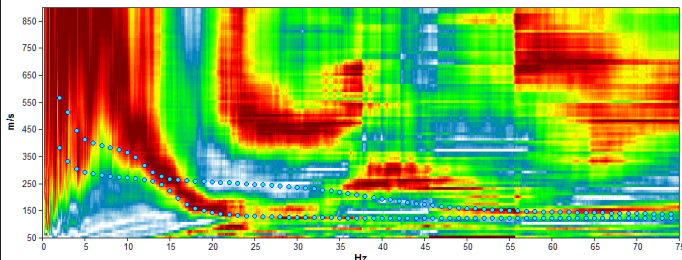
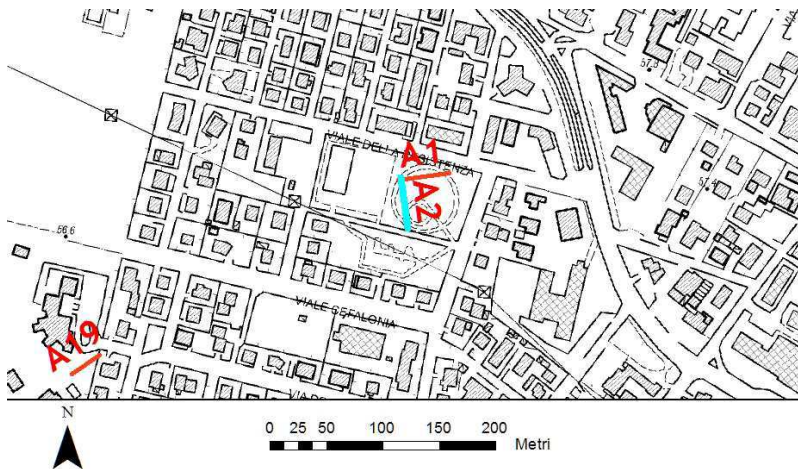
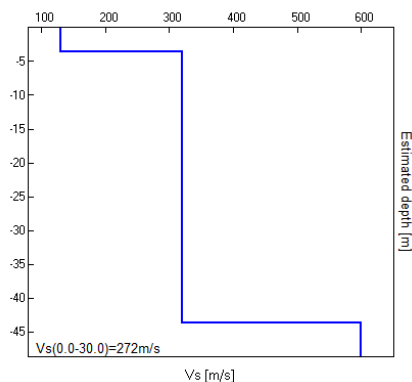
---

## Misura in array di tipo Re.Mi.


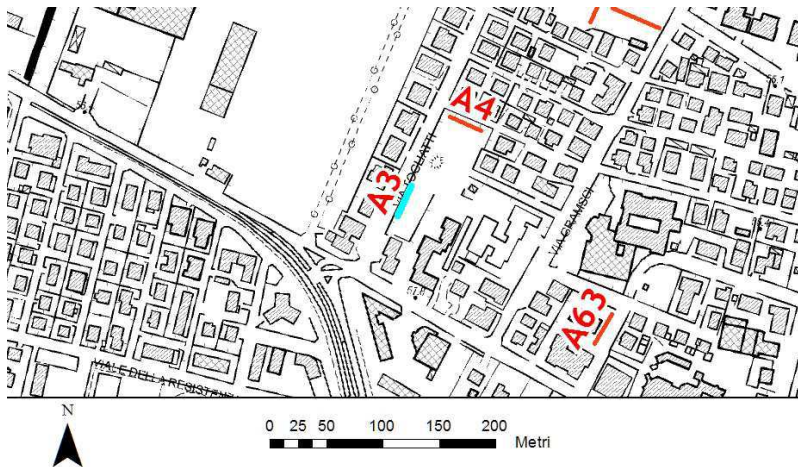
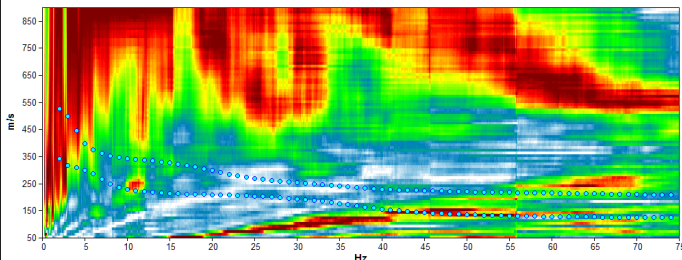
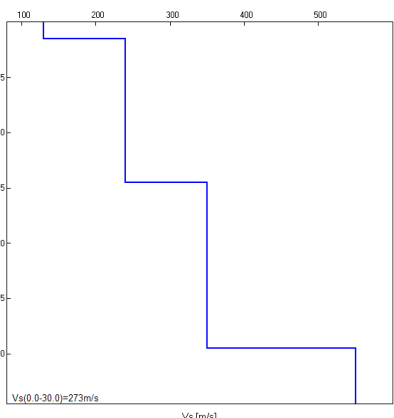




## Misura in array di tipo Re.Mi.

|   |         |  |
|---|---------|--|
| Progressivo   | A2      |   |
| Latitudine WGS84 - 33N (inizio stesa) [°]   | 4966541 |  |
| Longitudine WGS84 - 33N (inizio stesa) [°]  | 139445  |  |
| Latitudine WGS84 - 33N (fine stesa) [°]   | 4966497 |  |
| Longitudine WGS84 - 33N (fine stesa) [°]  | 139451  |  |
| Quota p.c. s.l.m. [m]   | 58      |  |
| Anno di misura  | 2016    |  |
|  |         |  |
|  |         |  |
| Modelled rayleigh wave phase velocity   |         | Ubicazione   |

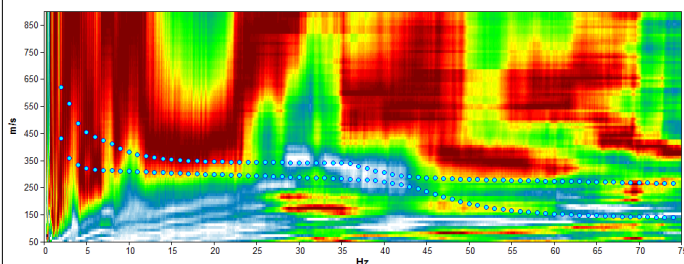
## Misura in array di tipo Re.Mi.

|   |         |  |
|---|---------|--|
| Progressivo   | A3      |   |
| Latitudine WGS84 - 33N (inizio stesa) [°]   | 4966709 |  |
| Longitudine WGS84 - 33N (inizio stesa) [°]  | 139649  |  |
| Latitudine WGS84 - 33N (fine stesa) [°]   | 4966736 |  |
| Longitudine WGS84 - 33N (fine stesa) [°]  | 139661  |  |
| Quota p.c. s.l.m. [m]   | 58      |  |
| Anno di misura  | 2016    |  |
|  |         |  |
|  |         |  |
| Modelled rayleigh wave phase velocity   |         | Ubicazione   |
| Profilo Vs  |         |  |

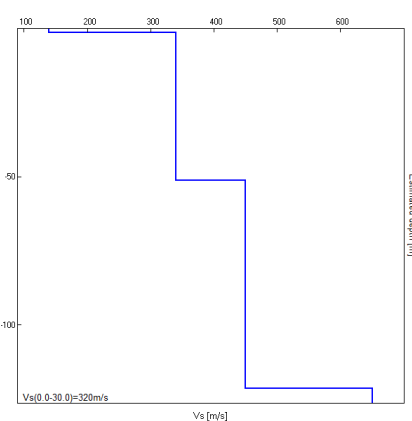


## Misura in array di tipo Re.Mi.

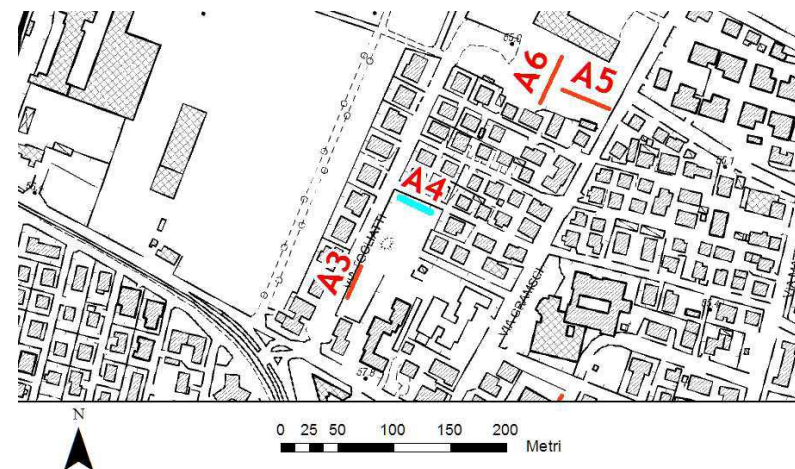
|  |         |
|--|---------|
| Progressivo                                | A4      |
| Latitudine WGS84 - 33N (inizio stesa) [°]  | 4966797 |
| Longitudine WGS84 - 33N (inizio stesa) [°] | 139695  |
| Latitudine WGS84 - 33N (fine stesa) [°]    | 4966784 |
| Longitudine WGS84 - 33N (fine stesa) [°]   | 139723  |
| Quota p.c. s.l.m. [m]                      | 58      |
| Anno di misura                             | 2016    |



Modelled rayleigh wave phase velocity


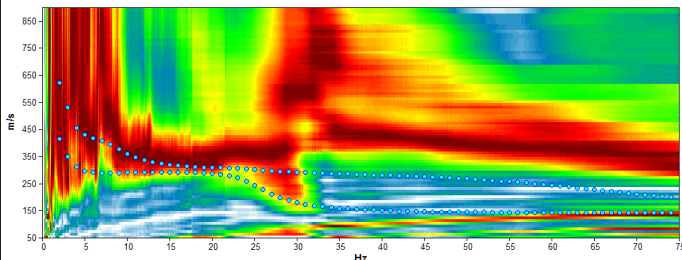

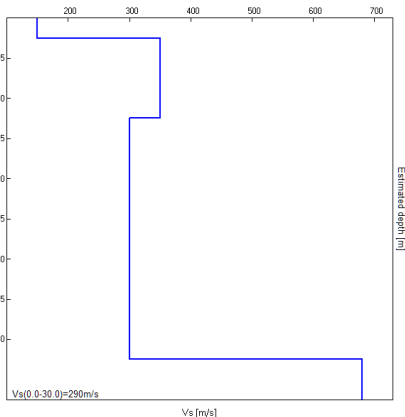


Profilo Vs




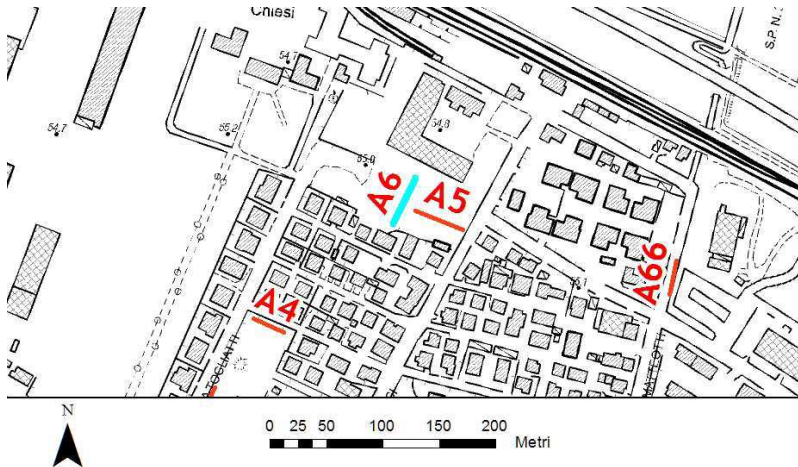
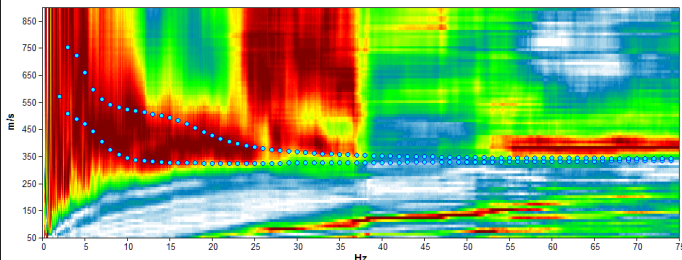
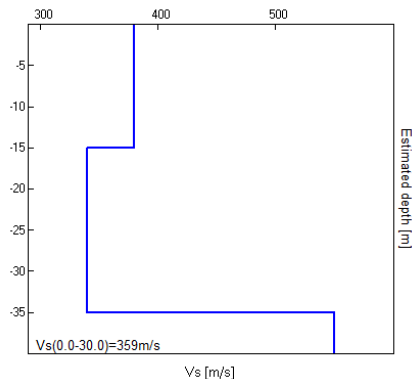
Ubicazione

## Misura in array di tipo Re.Mi.


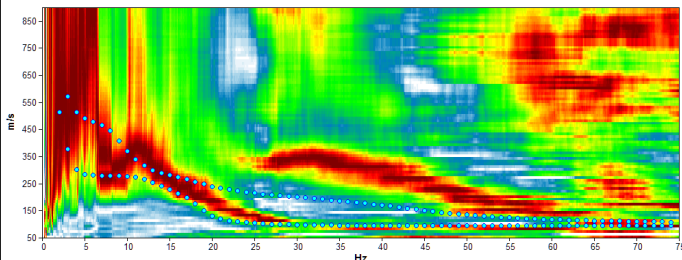
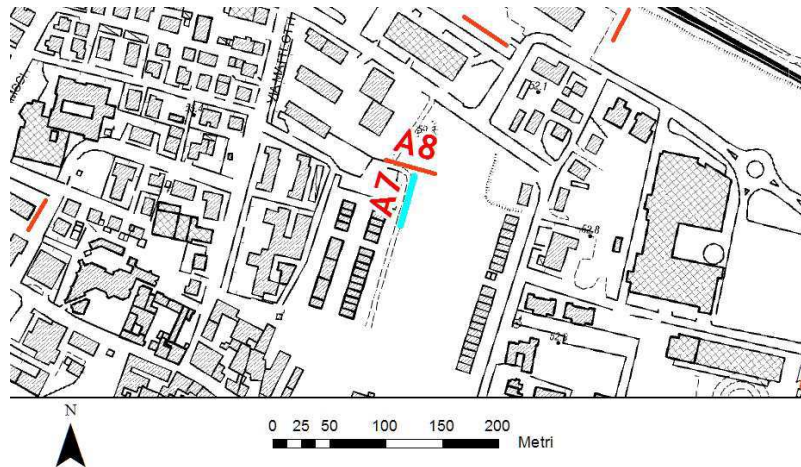
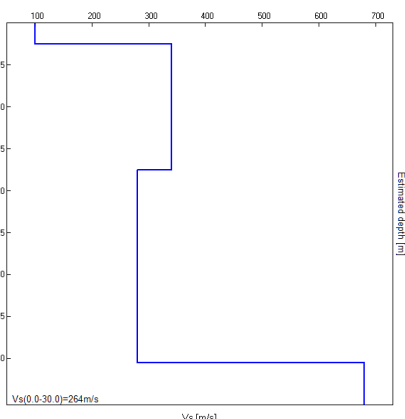
|   |         |  |
|---|---------|--|
| Progressivo   | A5      |   |
| Latitudine WGS84 - 33N (inizio stesa) [°]   | 4966876 |  |
| Longitudine WGS84 - 33N (inizio stesa) [°]  | 139881  |  |
| Latitudine WGS84 - 33N (fine stesa) [°]   | 4966893 |  |
| Longitudine WGS84 - 33N (fine stesa) [°]  | 139839  |  |
| Quota p.c. s.l.m. [m]   | 55      |  |
| Anno di misura  | 2016    |  |
|  |         |  |
|  |         |  |
| Modelled rayleigh wave phase velocity   |         | Ubicazione   |



## Misura in array di tipo Re.Mi.

|   |         |  |
|---|---------|--|
| Progressivo   | A6      |   |
| Latitudine WGS84 - 33N (inizio stesa) [°]   | 4966881 |  |
| Longitudine WGS84 - 33N (inizio stesa) [°]  | 139820  |  |
| Latitudine WGS84 - 33N (fine stesa) [°]   | 4966922 |  |
| Longitudine WGS84 - 33N (fine stesa) [°]  | 139839  |  |
| Quota p.c. s.l.m. [m]   | 55      |  |
| Anno di misura  | 2016    |  |
|  |         |  |
|  |         | Ubicazione   |

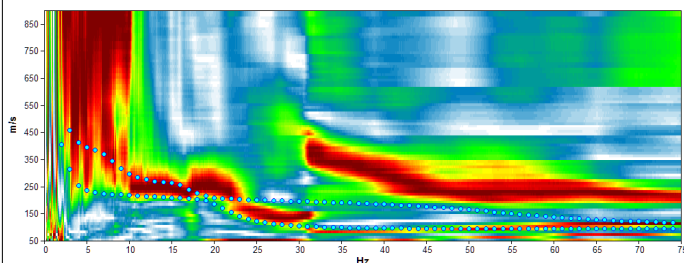
## Misura in array di tipo Re.Mi.

|   |         |  |
|---|---------|--|
| Progressivo   | A7      |   |
| Latitudine WGS84 - 33N (inizio stesa) [°]   | 4966643 |  |
| Longitudine WGS84 - 33N (inizio stesa) [°]  | 140166  |  |
| Latitudine WGS84 - 33N (fine stesa) [°]   | 4966600 |  |
| Longitudine WGS84 - 33N (fine stesa) [°]  | 140153  |  |
| Quota p.c. s.l.m. [m]   | 59      |  |
| Anno di misura  | 2016    |  |
|  |         |  |
|  |         |  |
| Modelled rayleigh wave phase velocity   |         | Ubicazione   |

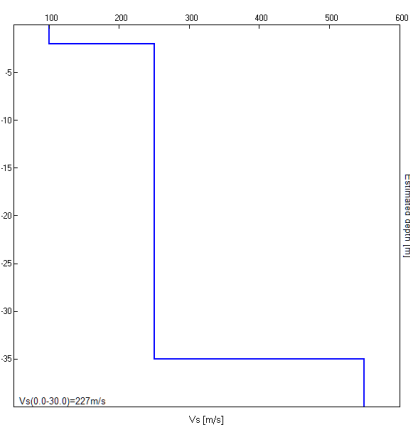


## Misura in array di tipo Re.Mi.

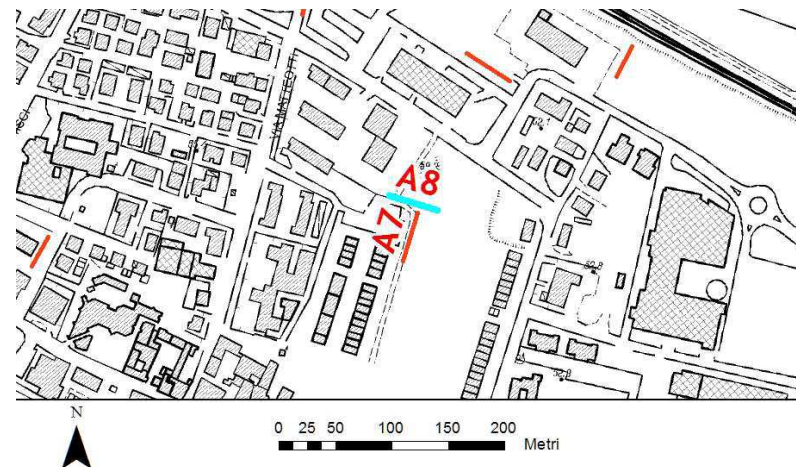
|  |         |
|--|---------|
| Progressivo                                | A8      |
| Latitudine WGS84 - 33N (inizio stesa) [°]  | 4966658 |
| Longitudine WGS84 - 33N (inizio stesa) [°] | 140140  |
| Latitudine WGS84 - 33N (fine stesa) [°]    | 4966646 |
| Longitudine WGS84 - 33N (fine stesa) [°]   | 140184  |
| Quota p.c. s.l.m. [m]                      | 59      |
| Anno di misura                             | 2016    |



Modelled rayleigh wave phase velocity



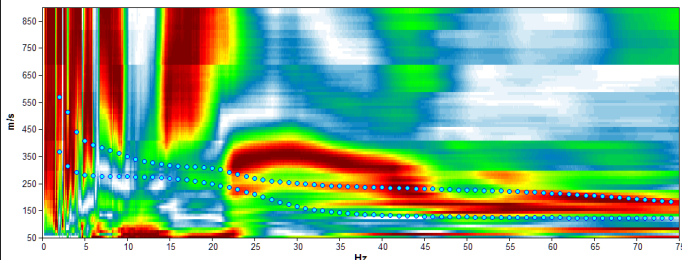
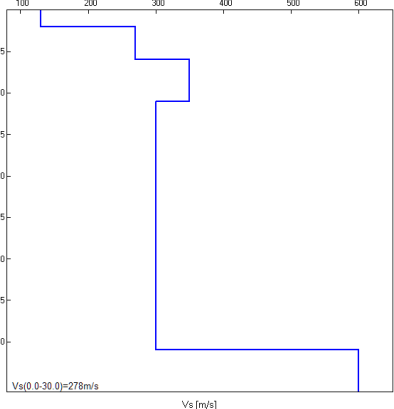


Profilo Vs




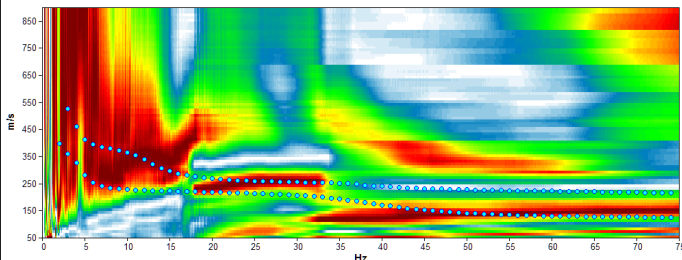
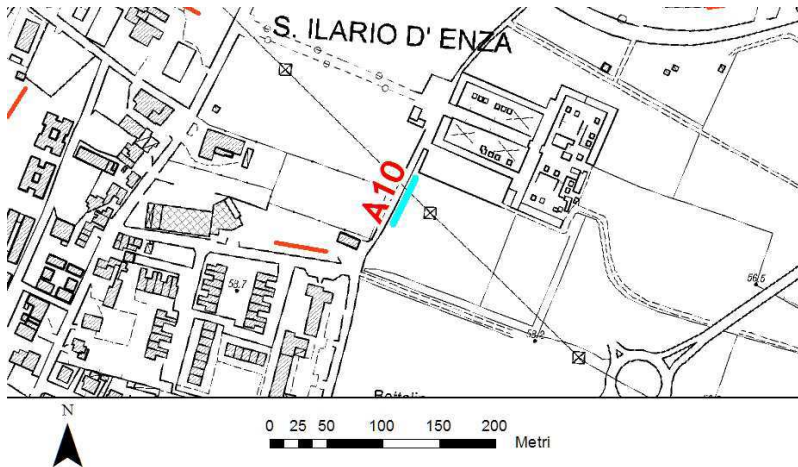
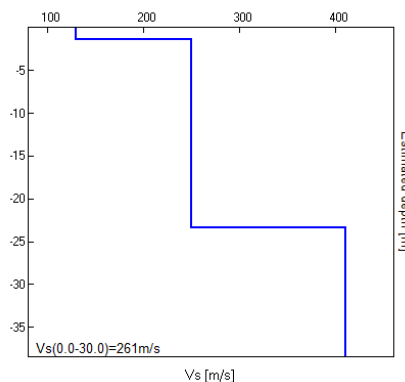
Ubicazione

## Misura in array di tipo Re.Mi.


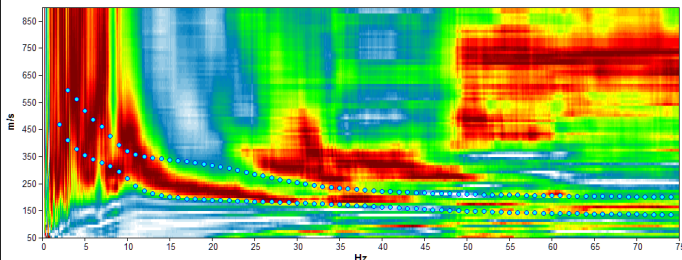

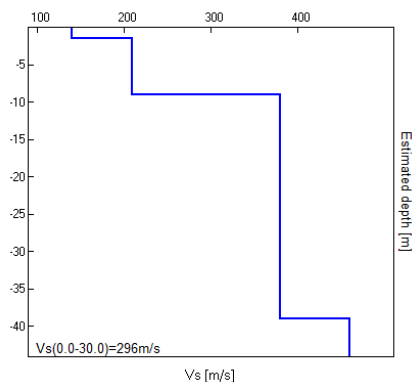
|   |         |  |
|---|---------|--|
| Progressivo   | A9      |   |
| Latitudine WGS84 - 33N (inizio stesa) [°]   | 4966271 |  |
| Longitudine WGS84 - 33N (inizio stesa) [°]  | 139641  |  |
| Latitudine WGS84 - 33N (fine stesa) [°]   | 4966257 |  |
| Longitudine WGS84 - 33N (fine stesa) [°]  | 139667  |  |
| Quota p.c. s.l.m. [m]   | 59      |  |
| Anno di misura  | 2016    |  |
|  |         |  |
|  |         |  |
| Modelled rayleigh wave phase velocity   |         | Ubicazione   |
| Profilo Vs  |         |  |



## Misura in array di tipo Re.Mi.


|   |         |  |
|---|---------|--|
| Progressivo   | A10     |   |
| Latitudine WGS84 - 33N (inizio stesa) [°]   | 4965990 |  |
| Longitudine WGS84 - 33N (inizio stesa) [°]  | 139996  |  |
| Latitudine WGS84 - 33N (fine stesa) [°]   | 4965950 |  |
| Longitudine WGS84 - 33N (fine stesa) [°]  | 139977  |  |
| Quota p.c. s.l.m. [m]   | 58      |  |
| Anno di misura  | 2016    |  |
|  |         |  |
|  |         |  |
| Modelled rayleigh wave phase velocity   |         | Ubicazione   |

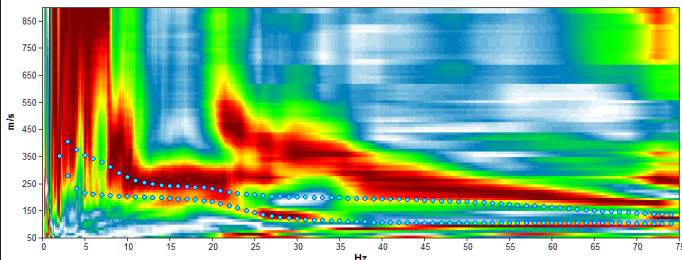
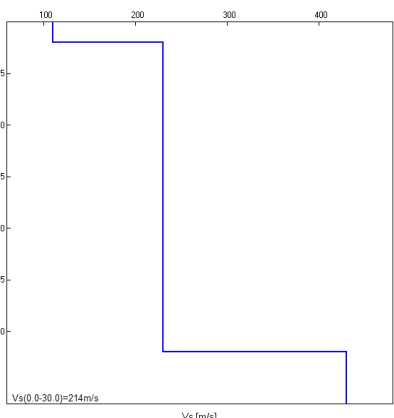
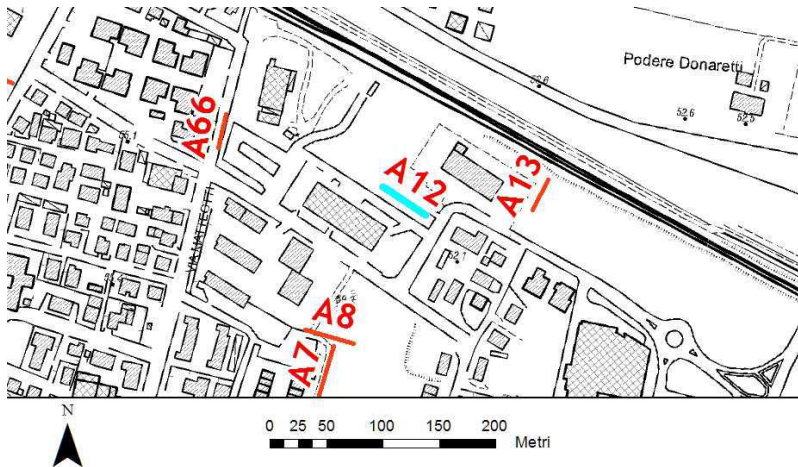
## Misura in array di tipo Re.Mi.

|   |         |  |
|---|---------|--|
| Progressivo   | A11     |   |
| Latitudine WGS84 - 33N (inizio stesa) [°]   | 4966501 |  |
| Longitudine WGS84 - 33N (inizio stesa) [°]  | 140517  |  |
| Latitudine WGS84 - 33N (fine stesa) [°]   | 4966457 |  |
| Longitudine WGS84 - 33N (fine stesa) [°]  | 140508  |  |
| Quota p.c. s.l.m. [m]   | 54      |  |
| Anno di misura  | 2016    |  |
|  |         |  |
|  |         |  |
| Modelled rayleigh wave phase velocity   |         | Ubicazione   |

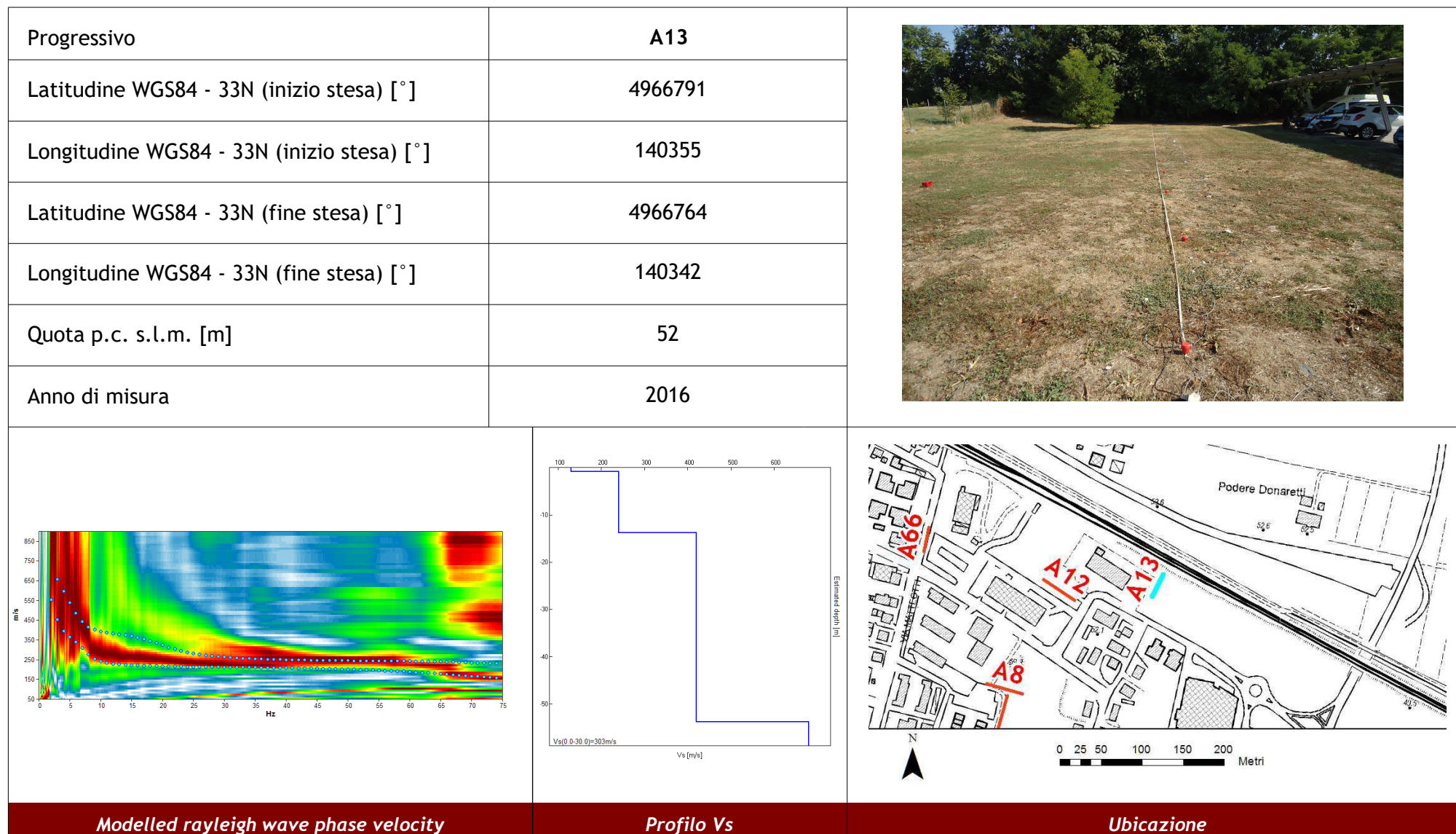


## Misura in array di tipo Re.Mi.

|  |         |   |
|--|---------|---|
| Progressivo                                | A12     |  |
| Latitudine WGS84 - 33N (inizio stesa) [°]  | 4966759 |   |
| Longitudine WGS84 - 33N (inizio stesa) [°] | 140247  |   |
| Latitudine WGS84 - 33N (fine stesa) [°]    | 4966784 |   |
| Longitudine WGS84 - 33N (fine stesa) [°]   | 140210  |   |
| Quota p.c. s.l.m. [m]                      | 52      |   |
| Anno di misura                             | 2016    |   |

|   |   |  |
|---|---|--|
|  |  |  |
| Modelled rayleigh wave phase velocity   | Profilo Vs  |  |

## Misura in array di tipo Re.Mi.




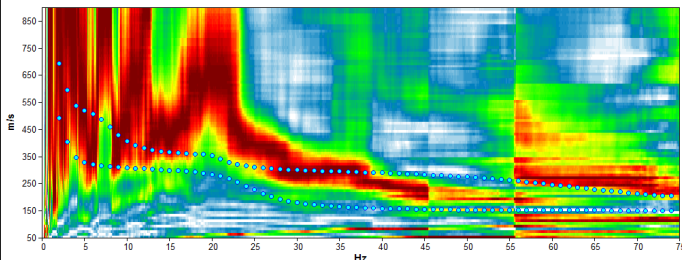
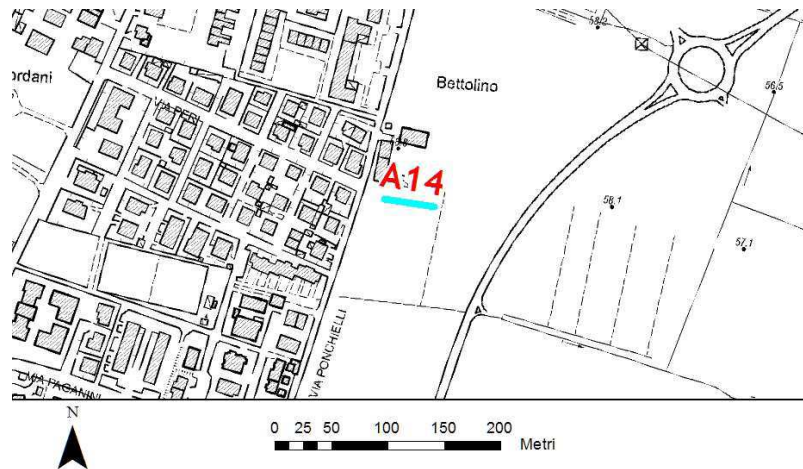
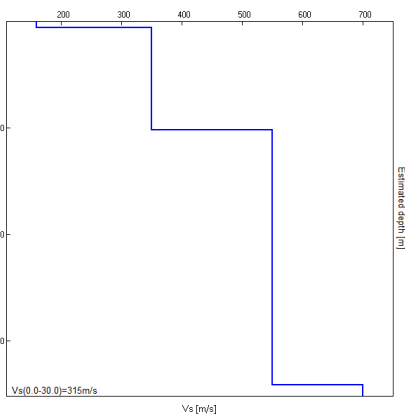
Modelled rayleigh wave phase velocity

Profilo Vs

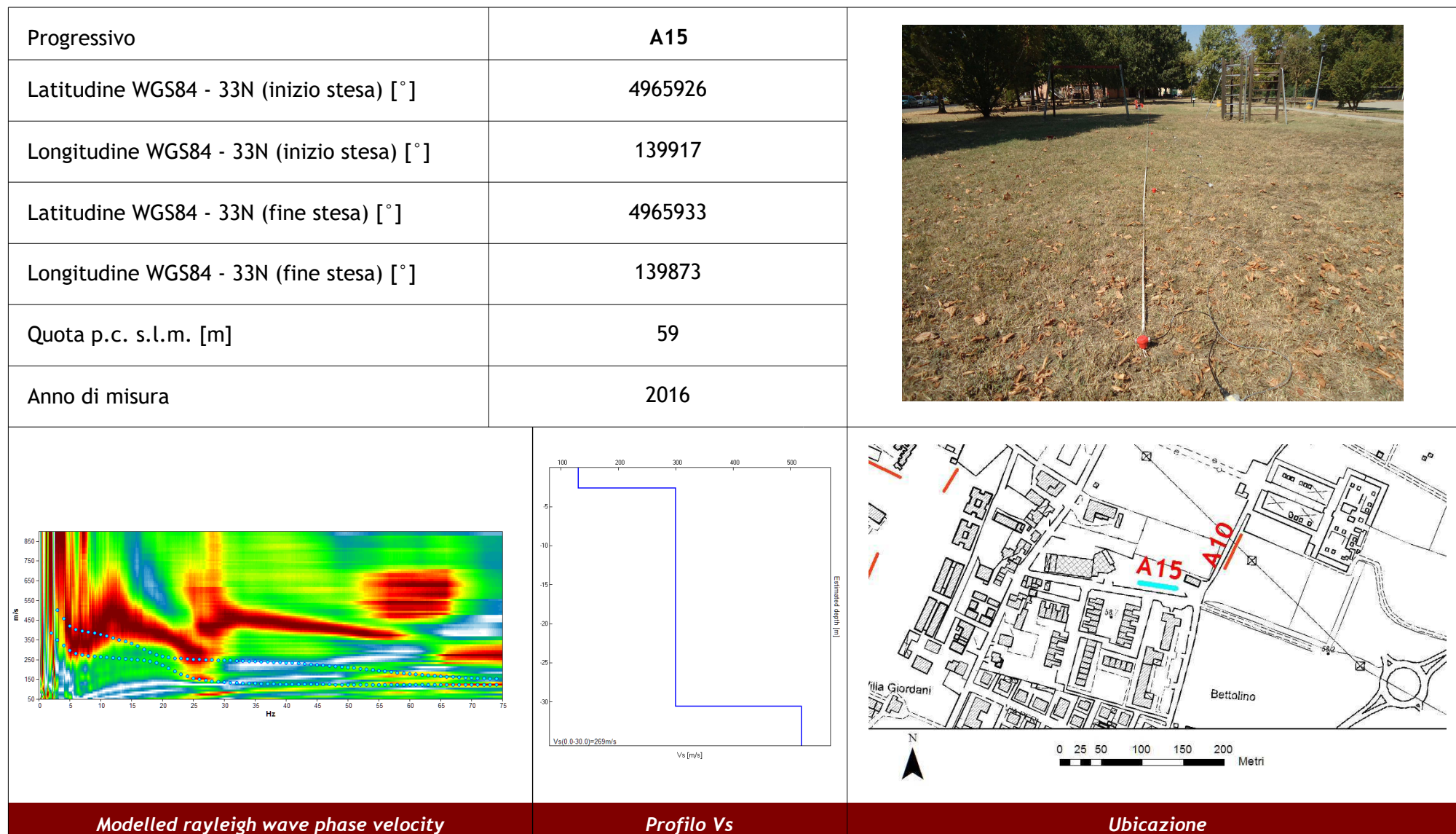
Ubicazione



## Misura in array di tipo Re.Mi.

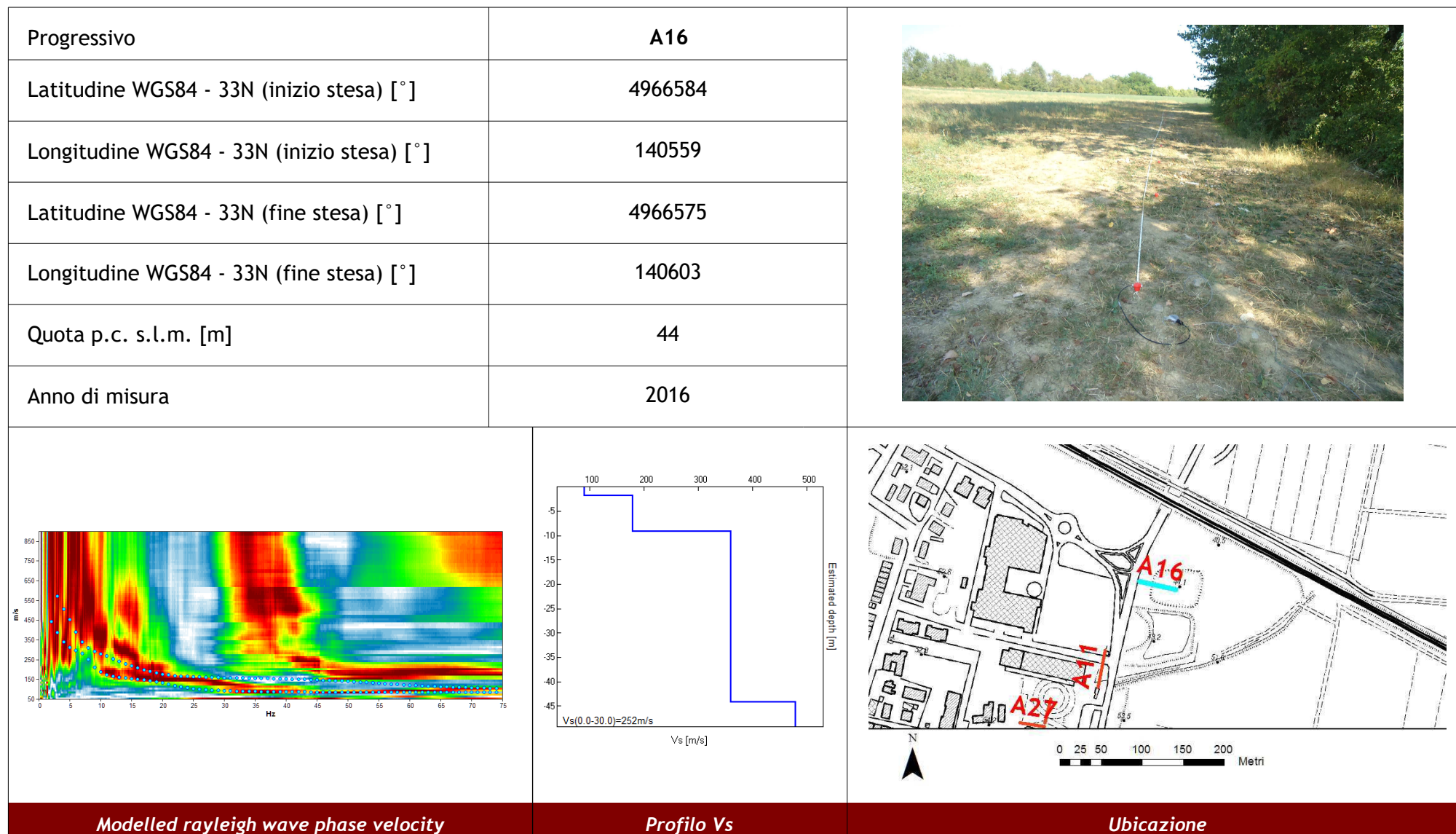
|   |         |  |
|---|---------|--|
| Progressivo   | A14     |   |
| Latitudine WGS84 - 33N (inizio stesa) [°]   | 4965695 |  |
| Longitudine WGS84 - 33N (inizio stesa) [°]  | 139913  |  |
| Latitudine WGS84 - 33N (fine stesa) [°]   | 4965687 |  |
| Longitudine WGS84 - 33N (fine stesa) [°]  | 139957  |  |
| Quota p.c. s.l.m. [m]   | 59      |  |
| Anno di misura  | 2016    |  |
|  |         |  |
|  |         |  |
| Modelled rayleigh wave phase velocity   |         | Ubicazione   |

## Misura in array di tipo Re.Mi.

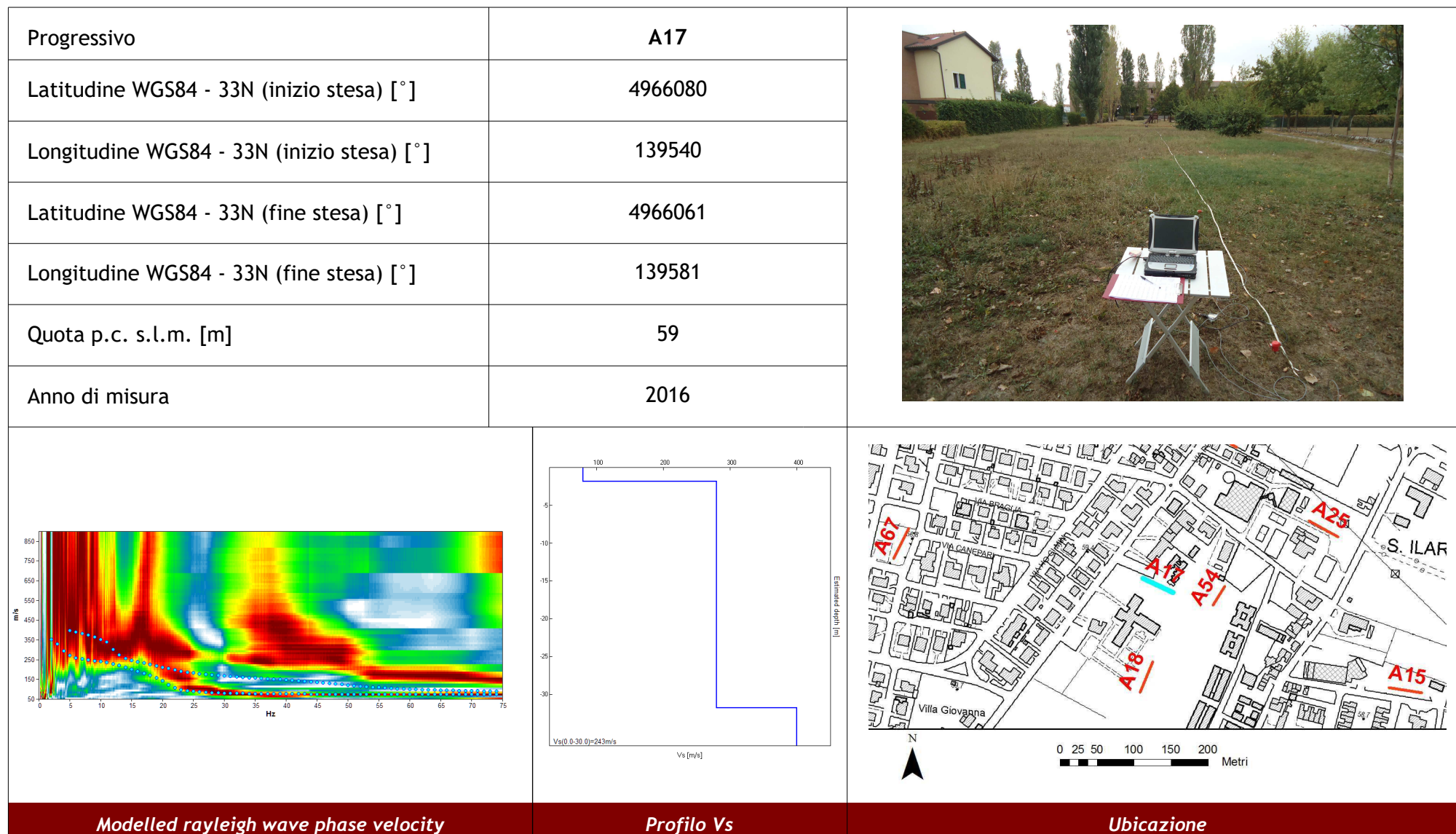




## Misura in array di tipo Re.Mi.

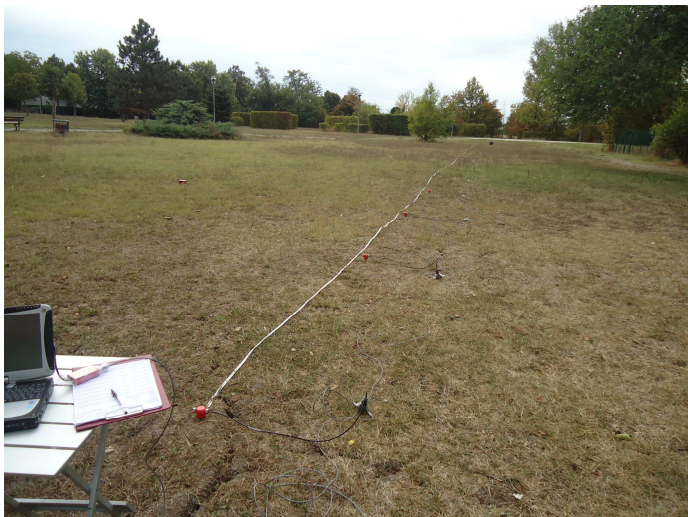


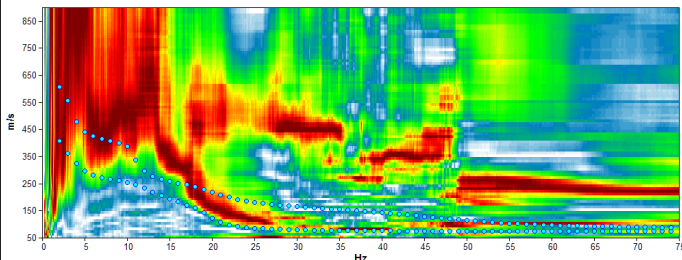
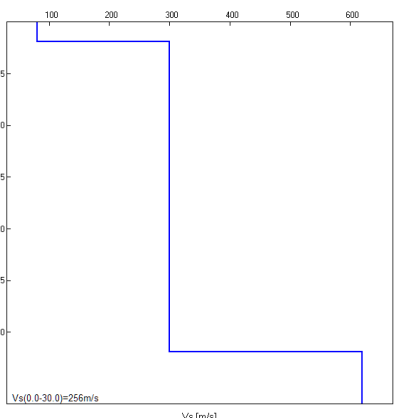
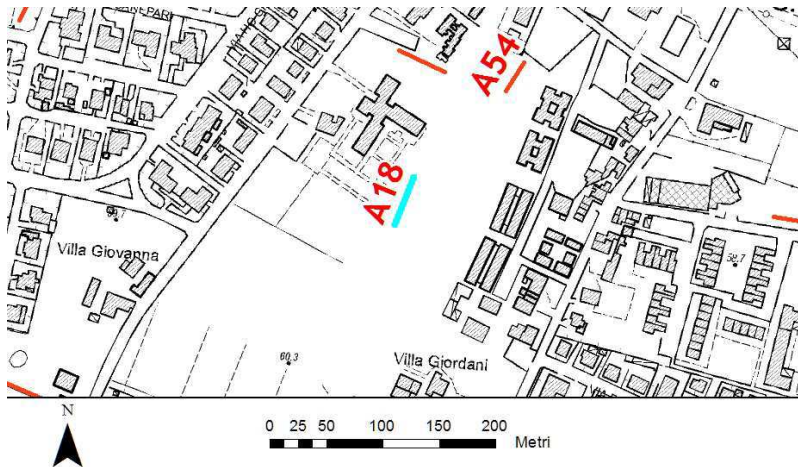
## Misura in array di tipo Re.Mi.




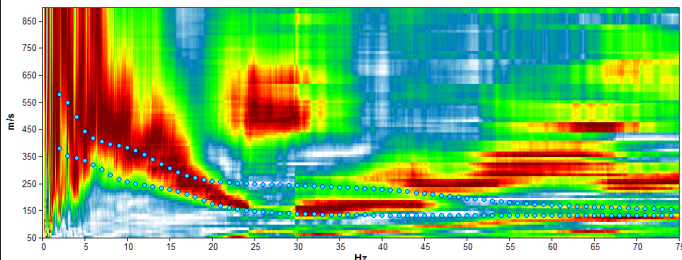
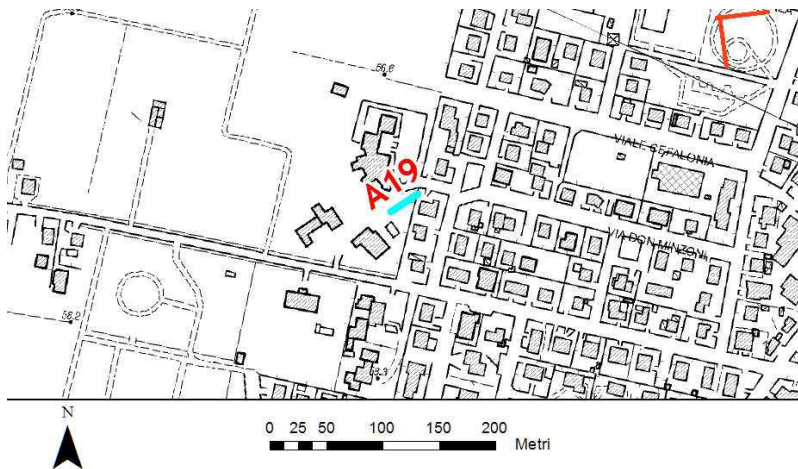
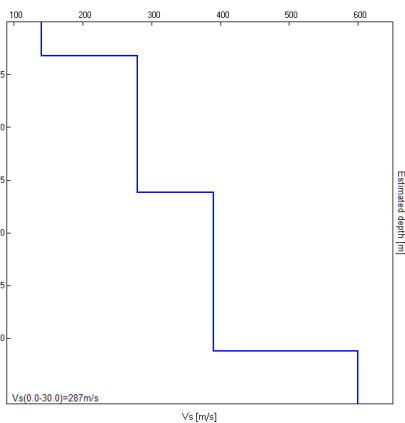


## Misura in array di tipo Re.Mi.

|  |         |   |
|--|---------|---|
| Progressivo                                | A18     |  |
| Latitudine WGS84 - 33N (inizio stesa) [°]  | 4965968 |   |
| Longitudine WGS84 - 33N (inizio stesa) [°] | 139554  |   |
| Latitudine WGS84 - 33N (fine stesa) [°]    | 4965926 |   |
| Longitudine WGS84 - 33N (fine stesa) [°]   | 139536  |   |
| Quota p.c. s.l.m. [m]                      | 60      |   |
| Anno di misura                             | 2016    |   |


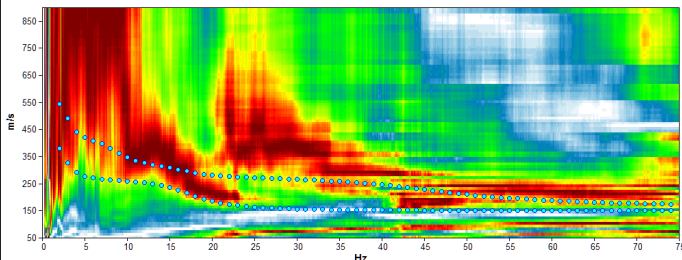
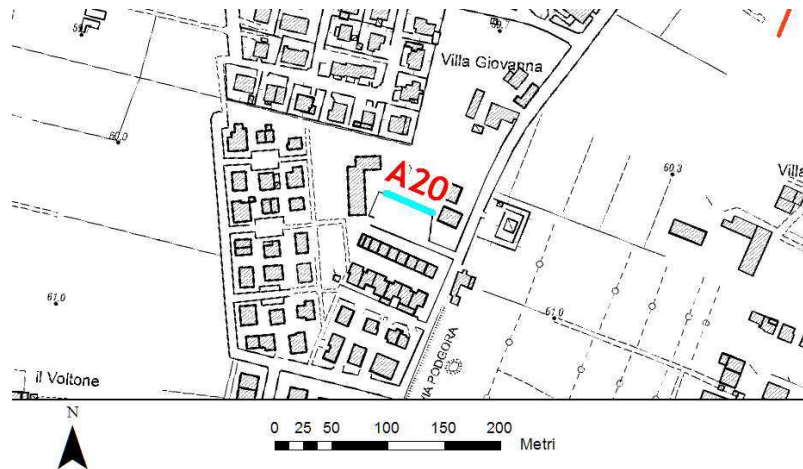
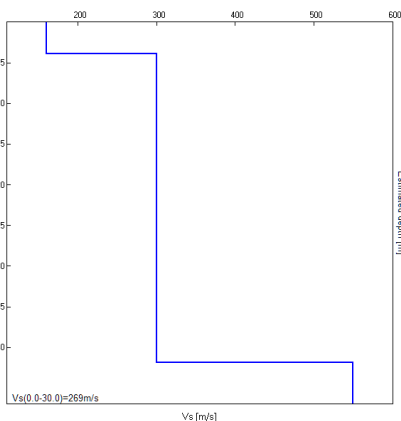
|   |   |  |
|---|---|--|
|  |  |  |
| Modelled rayleigh wave phase velocity   |   |  |
| Profilo Vs  |   |  |
| Ubicazione  |   |  |

## Misura in array di tipo Re.Mi.


|   |         |  |
|---|---------|--|
| Progressivo   | A19     |   |
| Latitudine WGS84 - 33N (inizio stesa) [°]   | 4966384 |  |
| Longitudine WGS84 - 33N (inizio stesa) [°]  | 139178  |  |
| Latitudine WGS84 - 33N (fine stesa) [°]   | 4966367 |  |
| Longitudine WGS84 - 33N (fine stesa) [°]  | 139153  |  |
| Quota p.c. s.l.m. [m]   | 57      |  |
| Anno di misura  | 2016    |  |
|  |         |  |
|  |         |  |
| Modelled rayleigh wave phase velocity   |         | Ubicazione   |

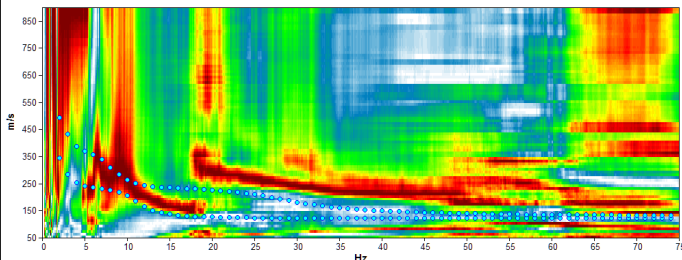
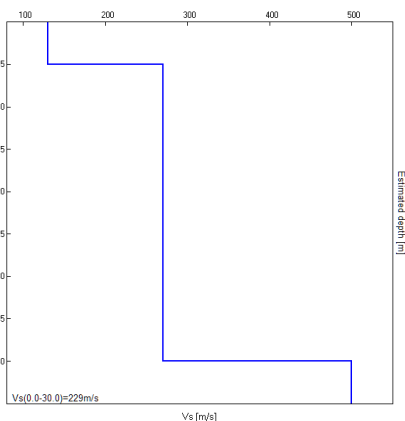
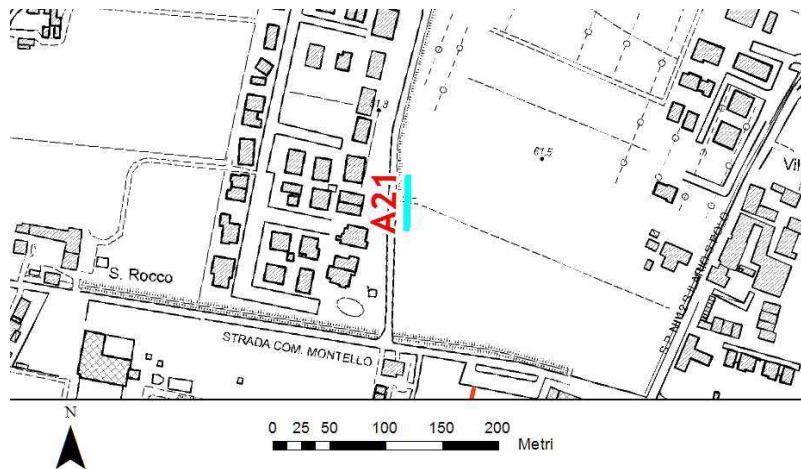


## Misura in array di tipo Re.Mi.

|   |         |  |
|---|---------|--|
| Progressivo   | A20     |   |
| Latitudine WGS84 - 33N (inizio stesa) [°]   | 4965770 |  |
| Longitudine WGS84 - 33N (inizio stesa) [°]  | 139230  |  |
| Latitudine WGS84 - 33N (fine stesa) [°]   | 4965787 |  |
| Longitudine WGS84 - 33N (fine stesa) [°]  | 139189  |  |
| Quota p.c. s.l.m. [m]   | 61      |  |
| Anno di misura  | 2016    |  |
|  |         |  |
|  |         |  |
| Modelled rayleigh wave phase velocity   |         | Ubicazione   |


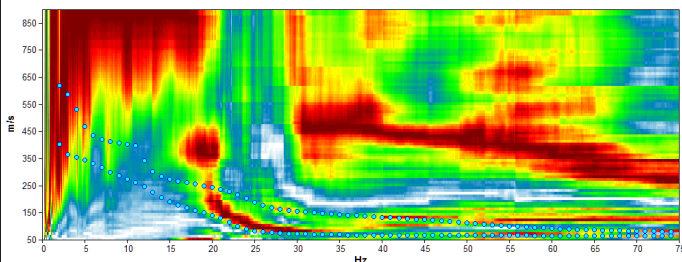
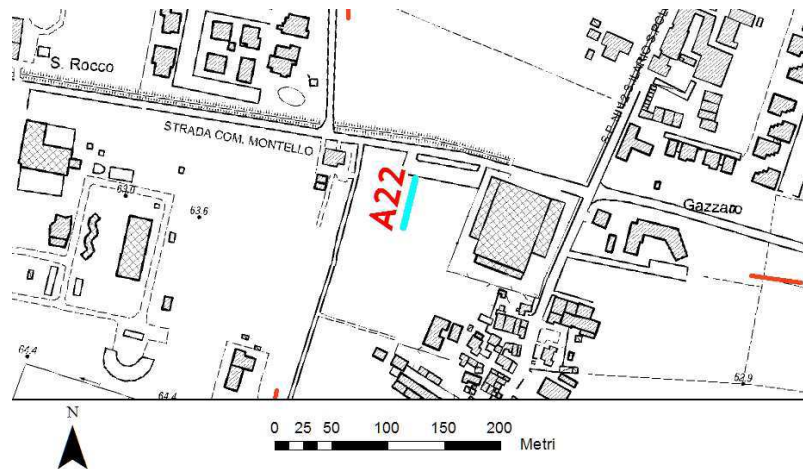
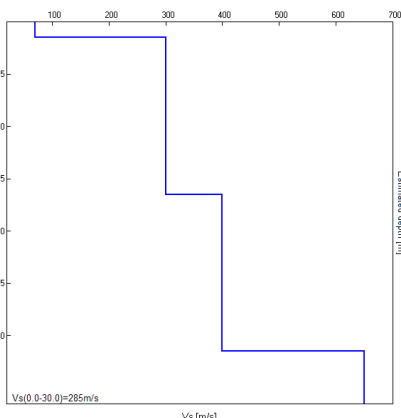
## Misura in array di tipo Re.Mi.

|  |         |   |
|--|---------|---|
| Progressivo                                | A21     |  |
| Latitudine WGS84 - 33N (inizio stesa) [°]  | 4965452 |   |
| Longitudine WGS84 - 33N (inizio stesa) [°] | 139182  |   |
| Latitudine WGS84 - 33N (fine stesa) [°]    | 4965407 |   |
| Longitudine WGS84 - 33N (fine stesa) [°]   | 139181  |   |
| Quota p.c. s.l.m. [m]                      | 52      |   |
| Anno di misura                             | 2016    |   |

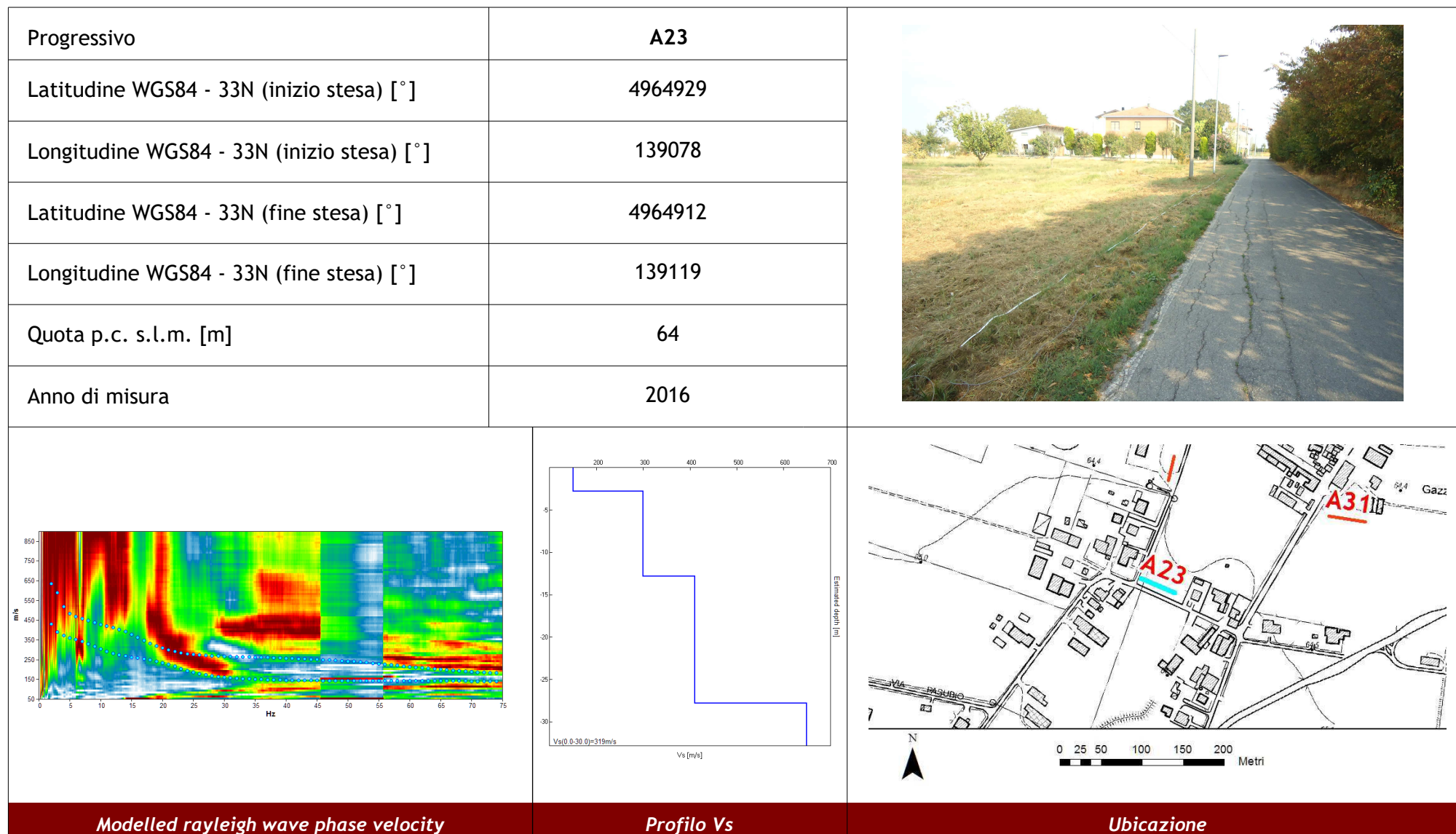
|   |   |  |
|---|---|--|
|  |  |  |
| Modelled rayleigh wave phase velocity   | Profilo Vs  |  |



## Misura in array di tipo Re.Mi.


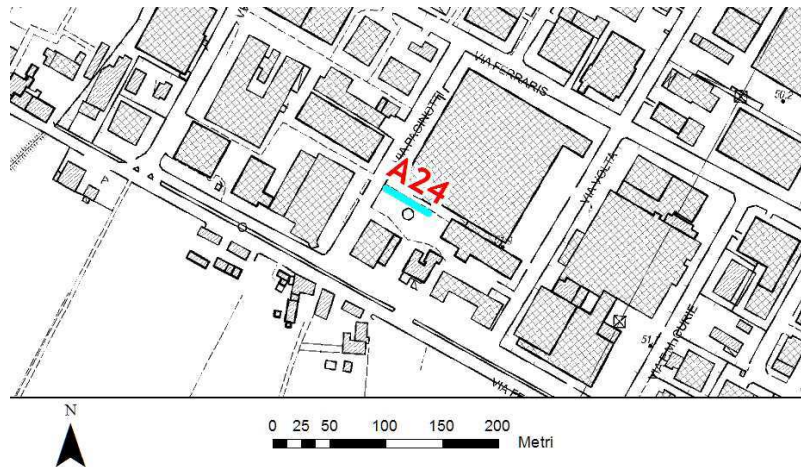
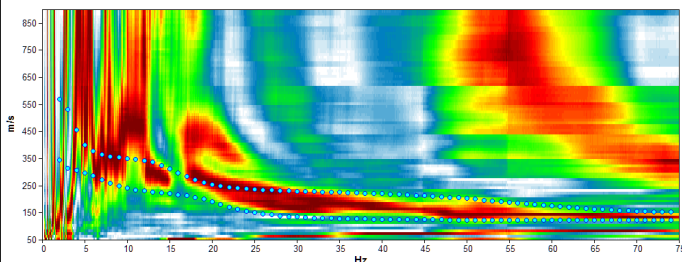
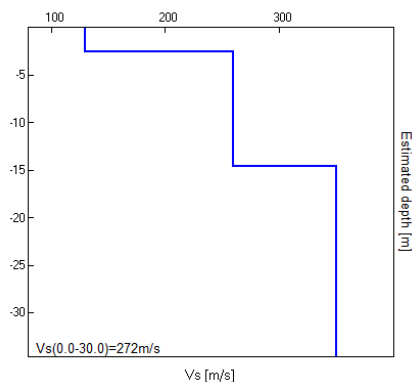
|   |         |  |
|---|---------|--|
| Progressivo   | A22     |   |
| Latitudine WGS84 - 33N (inizio stesa) [°]   | 4965265 |  |
| Longitudine WGS84 - 33N (inizio stesa) [°]  | 139240  |  |
| Latitudine WGS84 - 33N (fine stesa) [°]   | 4965221 |  |
| Longitudine WGS84 - 33N (fine stesa) [°]  | 139230  |  |
| Quota p.c. s.l.m. [m]   | 64      |  |
| Anno di misura  | 2016    |  |
|  |         |  |
|  |         |  |
| Modelled rayleigh wave phase velocity   |         | Ubicazione   |
| Profilo Vs  |         |  |

## Misura in array di tipo Re.Mi.



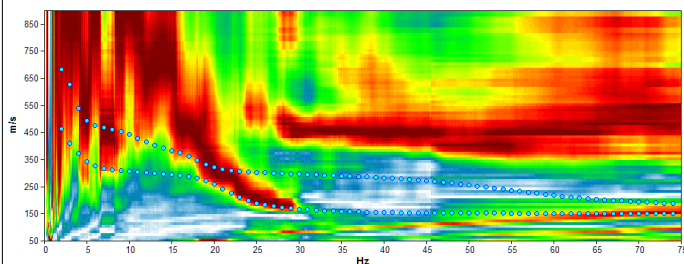


## Misura in array di tipo Re.Mi.

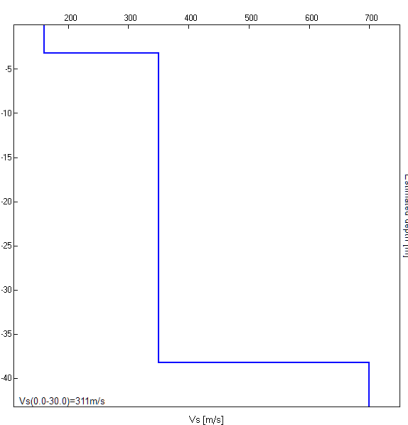
|   |         |  |
|---|---------|--|
| Progressivo   | A24     |   |
| Latitudine WGS84 - 33N (inizio stesa) [°]   | 4965400 |  |
| Longitudine WGS84 - 33N (inizio stesa) [°]  | 142088  |  |
| Latitudine WGS84 - 33N (fine stesa) [°]   | 4965377 |  |
| Longitudine WGS84 - 33N (fine stesa) [°]  | 142127  |  |
| Quota p.c. s.l.m. [m]   | 52      |  |
| Anno di misura  | 2016    |  |
|  |         |  |
|  |         |  |
| Modelled rayleigh wave phase velocity   |         | Ubicazione   |

## Misura in array di tipo Re.Mi.

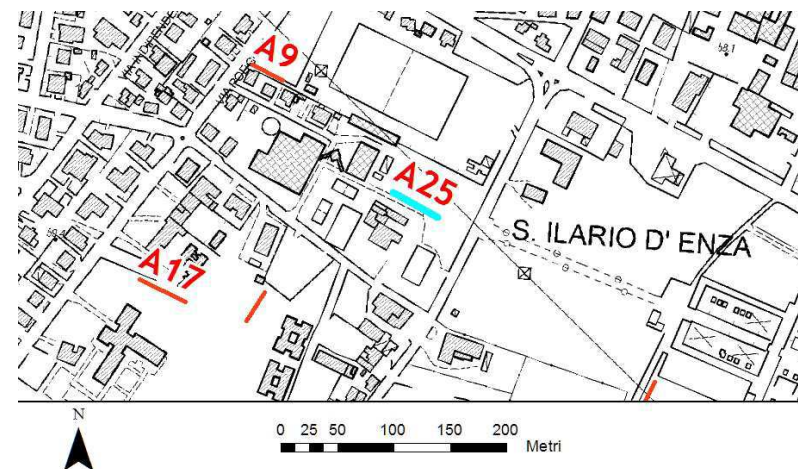
|  |         |
|--|---------|
| Progressivo                                | A25     |
| Latitudine WGS84 - 33N (inizio stesa) [°]  | 4966158 |
| Longitudine WGS84 - 33N (inizio stesa) [°] | 139765  |
| Latitudine WGS84 - 33N (fine stesa) [°]    | 4966136 |
| Longitudine WGS84 - 33N (fine stesa) [°]   | 139804  |
| Quota p.c. s.l.m. [m]                      | 58      |
| Anno di misura                             | 2016    |



Modelled rayleigh wave phase velocity



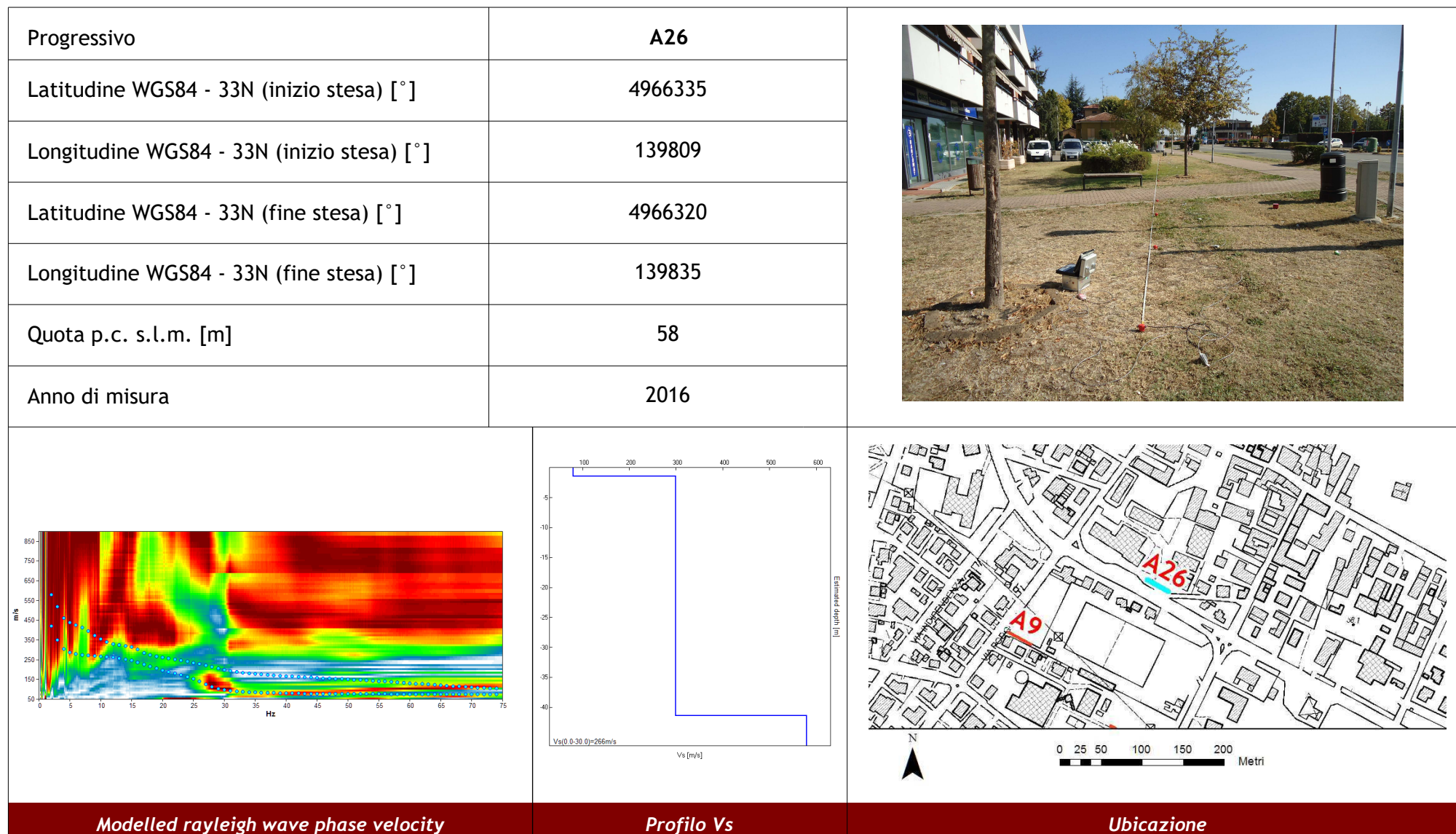
Profilo Vs



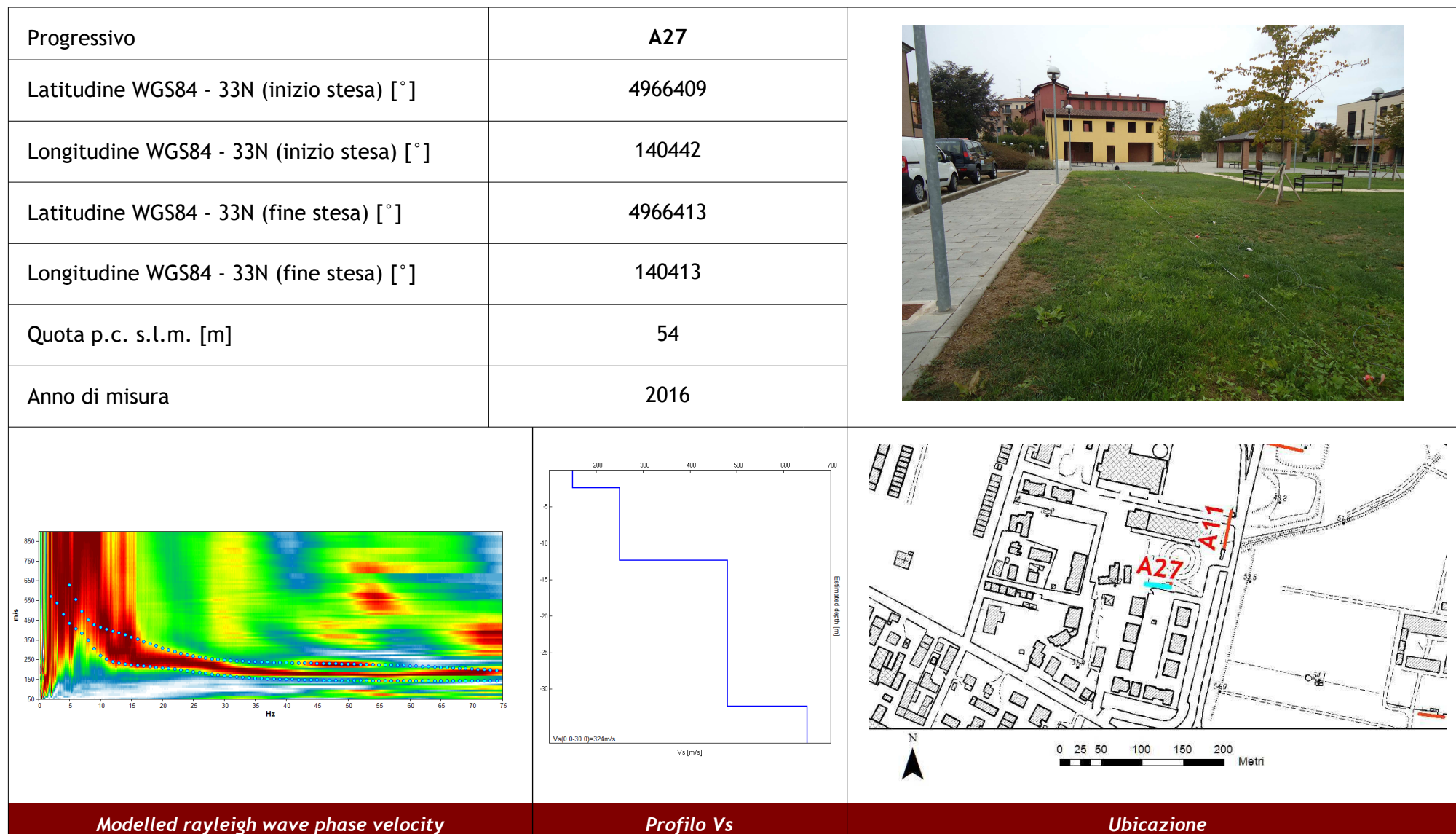
Ubicazione



## Misura in array di tipo Re.Mi.



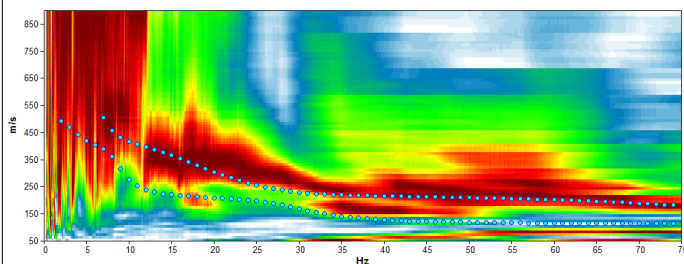
## Misura in array di tipo Re.Mi.



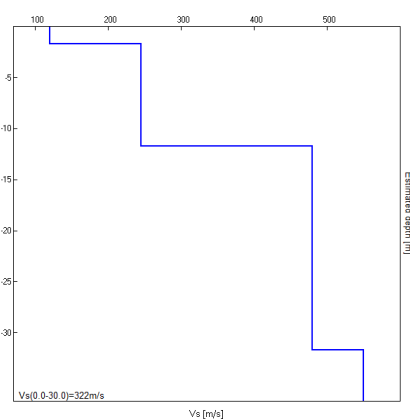


## Misura in array di tipo Re.Mi.

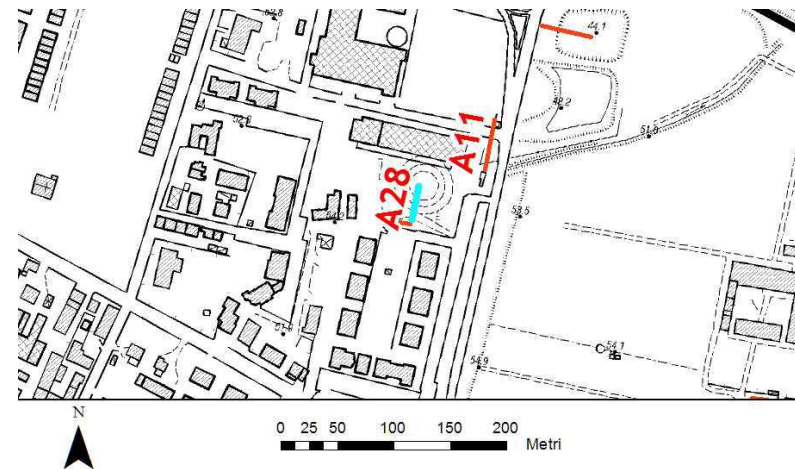
|  |         |
|--|---------|
| Progressivo                                | A28     |
| Latitudine WGS84 - 33N (inizio stesa) [°]  | 4966413 |
| Longitudine WGS84 - 33N (inizio stesa) [°] | 140444  |
| Latitudine WGS84 - 33N (fine stesa) [°]    | 4966442 |
| Longitudine WGS84 - 33N (fine stesa) [°]   | 140450  |
| Quota p.c. s.l.m. [m]                      | 54      |
| Anno di misura                             | 2016    |



Modelled rayleigh wave phase velocity

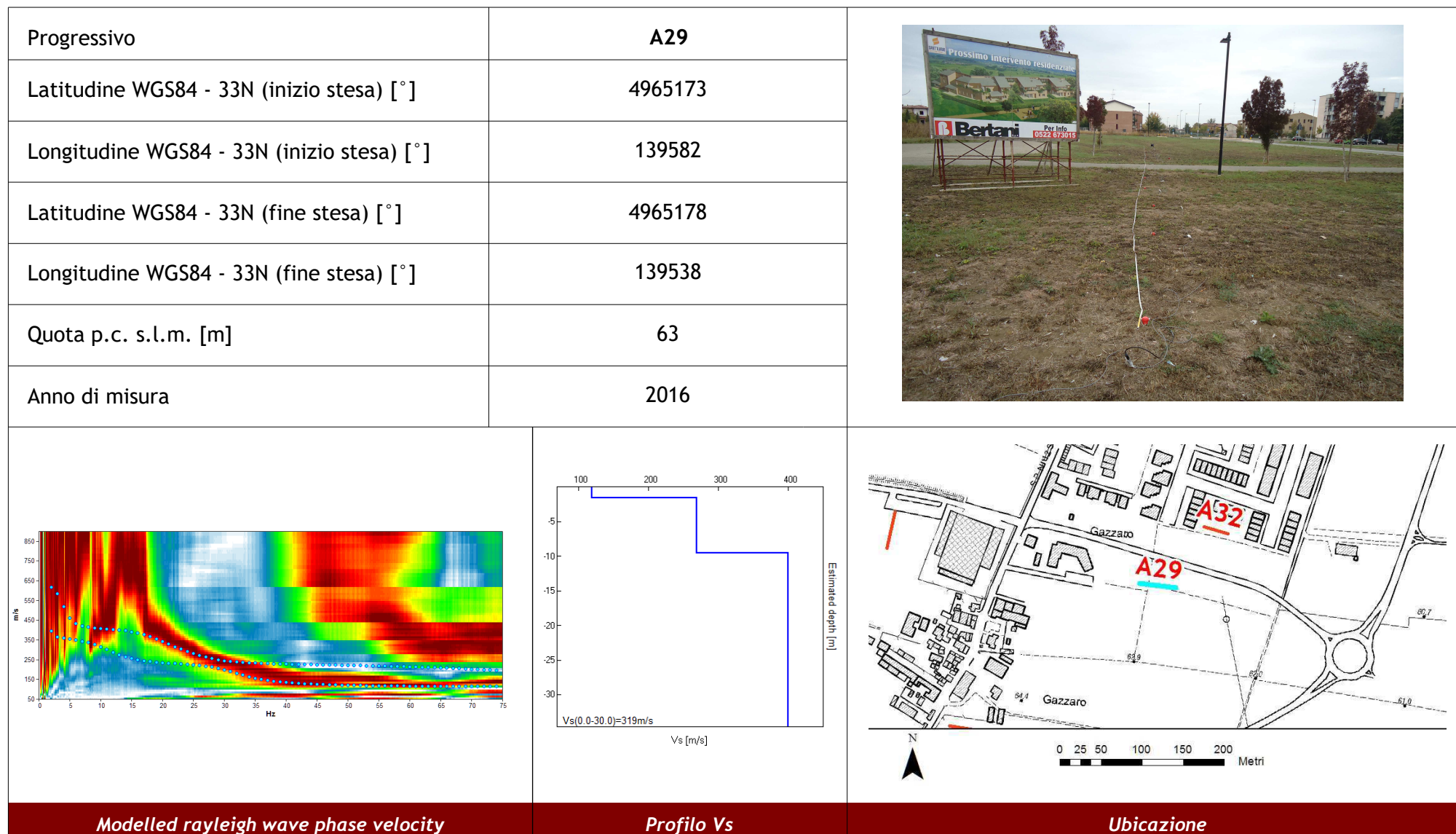


Profilo Vs




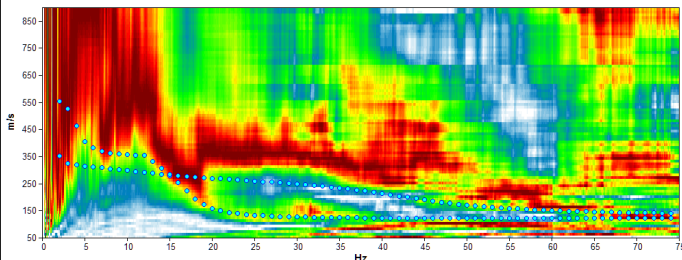
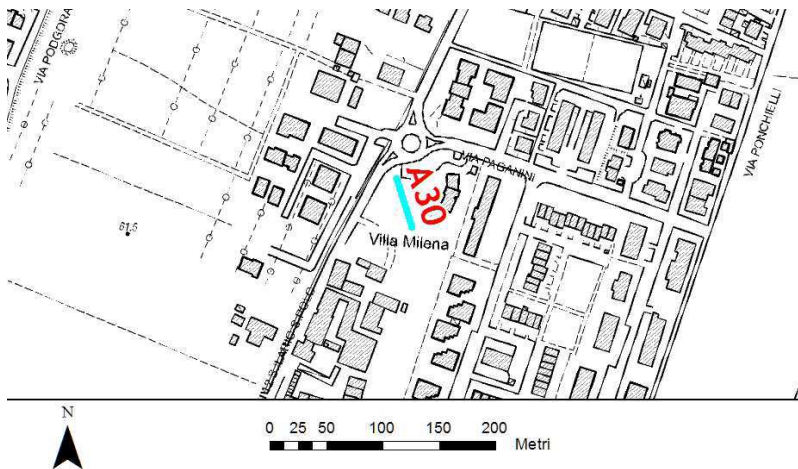
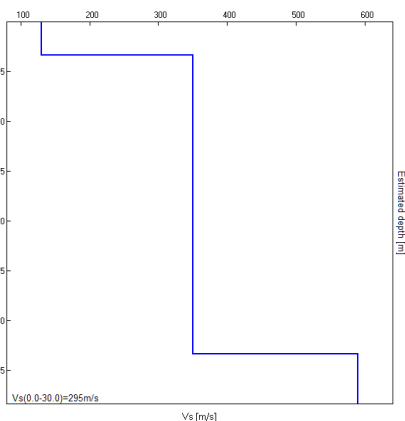
Ubicazione

## Misura in array di tipo Re.Mi.

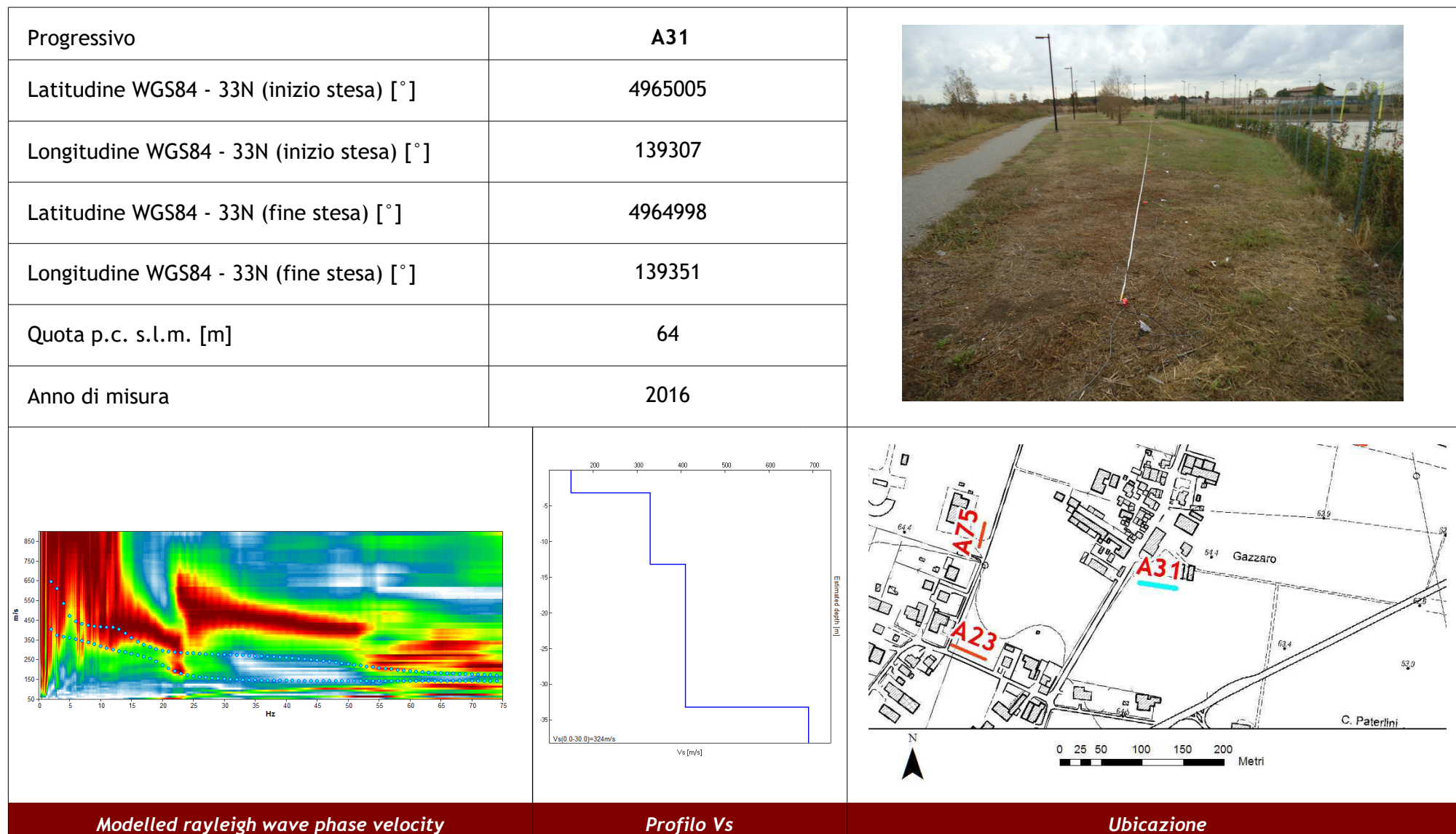




## Misura in array di tipo Re.Mi.


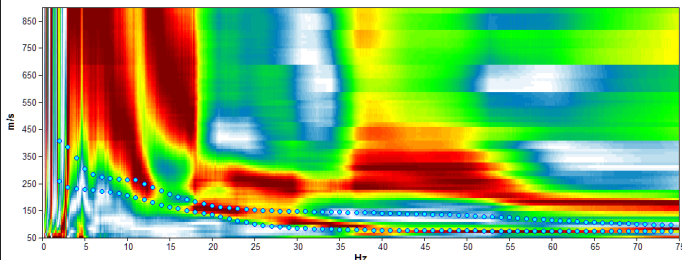
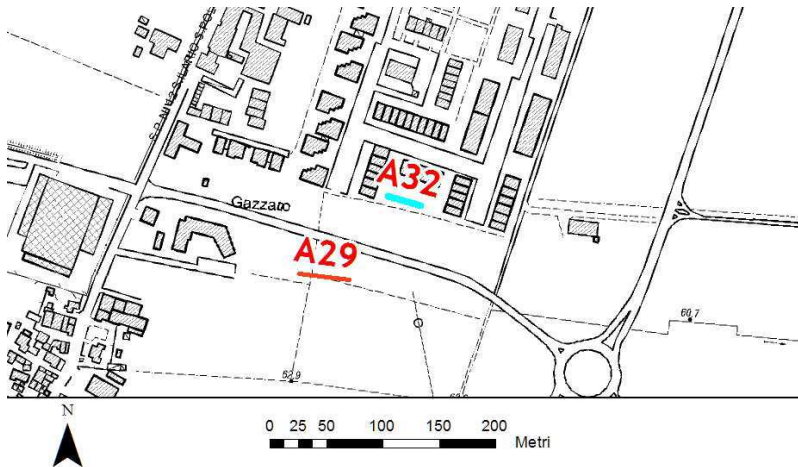
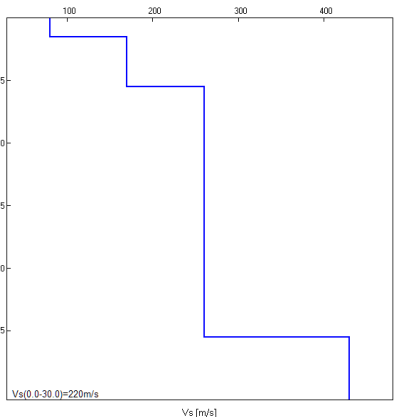
|   |         |  |
|---|---------|--|
| Progressivo   | A30     |   |
| Latitudine WGS84 - 33N (inizio stesa) [°]   | 4965517 |  |
| Longitudine WGS84 - 33N (inizio stesa) [°]  | 139539  |  |
| Latitudine WGS84 - 33N (fine stesa) [°]   | 4965474 |  |
| Longitudine WGS84 - 33N (fine stesa) [°]  | 139552  |  |
| Quota p.c. s.l.m. [m]   | 62      |  |
| Anno di misura  | 2016    |  |
|  |         |  |
|  |         |  |
| Modelled rayleigh wave phase velocity   |         | Ubicazione   |

## Misura in array di tipo Re.Mi.


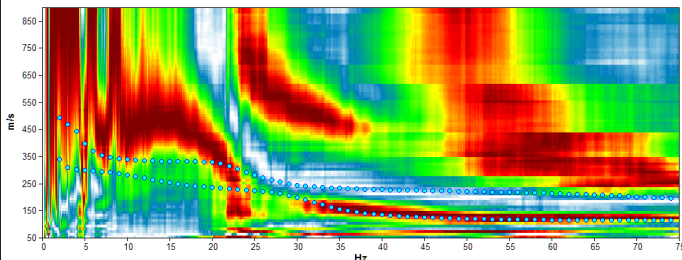
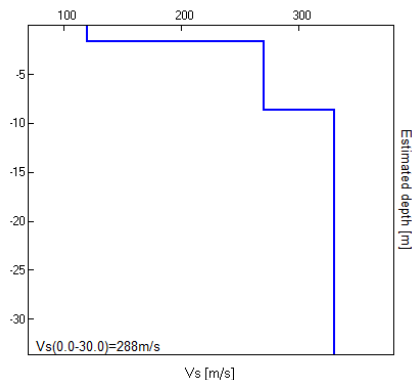
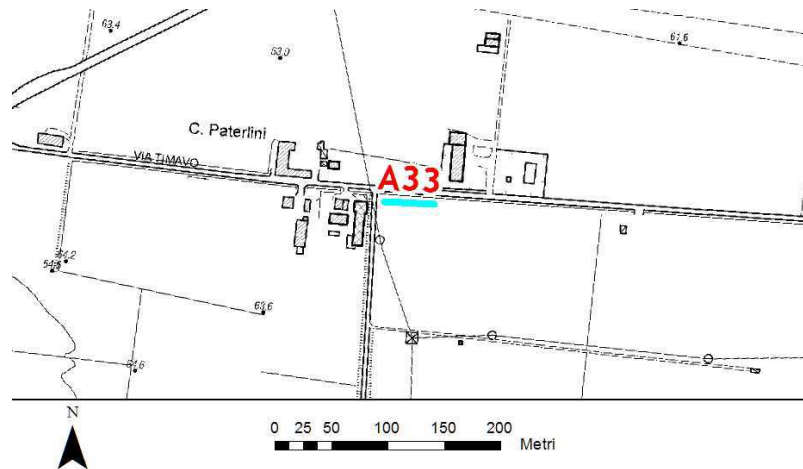




## Misura in array di tipo Re.Mi.

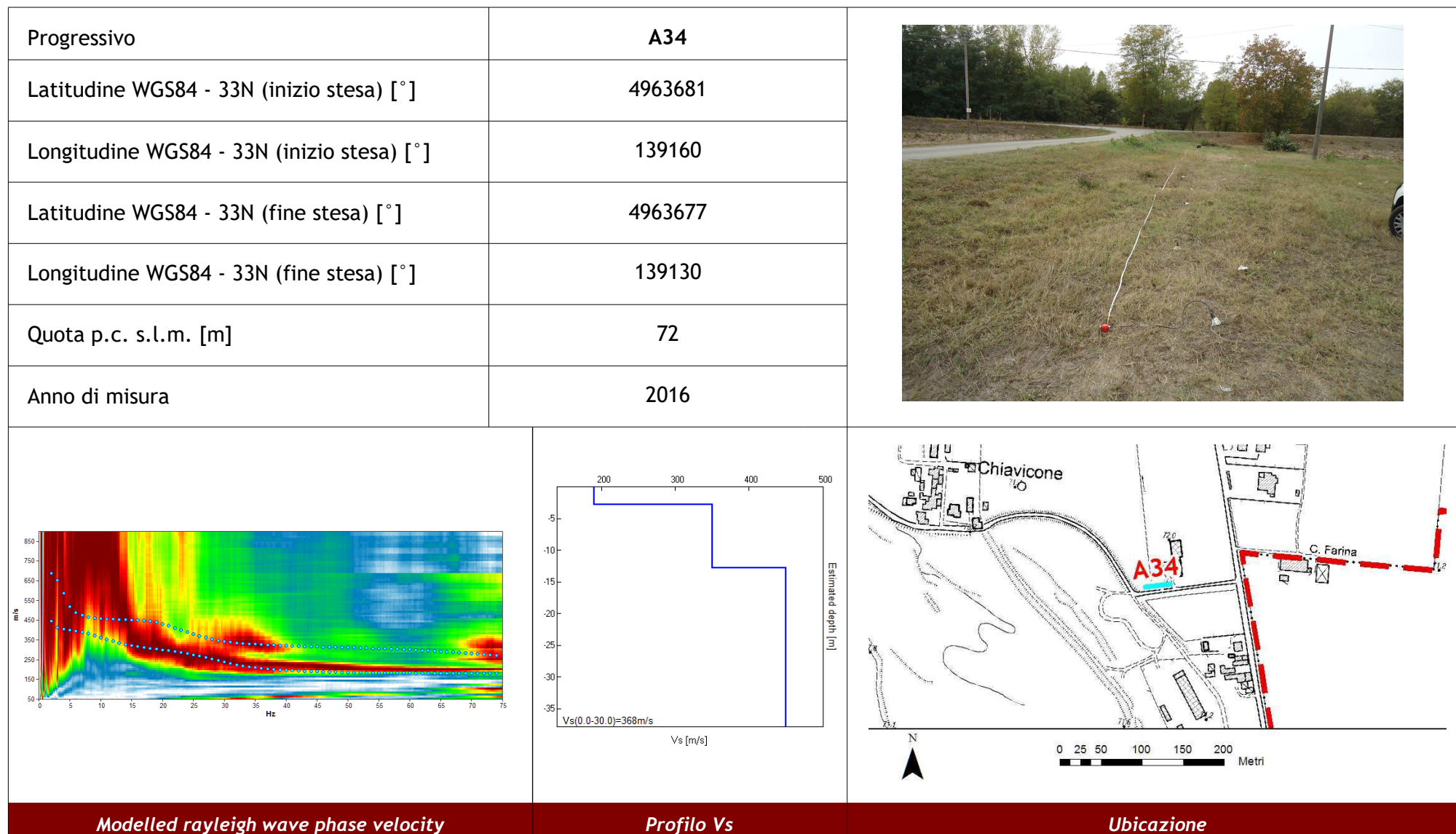
|   |         |  |
|---|---------|--|
| Progressivo   | A32     |   |
| Latitudine WGS84 - 33N (inizio stesa) [°]   | 4965247 |  |
| Longitudine WGS84 - 33N (inizio stesa) [°]  | 139617  |  |
| Latitudine WGS84 - 33N (fine stesa) [°]   | 4965239 |  |
| Longitudine WGS84 - 33N (fine stesa) [°]  | 139646  |  |
| Quota p.c. s.l.m. [m]   | 63      |  |
| Anno di misura  | 2016    |  |
|  |         |  |
|  |         |  |
| Modelled rayleigh wave phase velocity   |         | Ubicazione   |

## Misura in array di tipo Re.Mi.

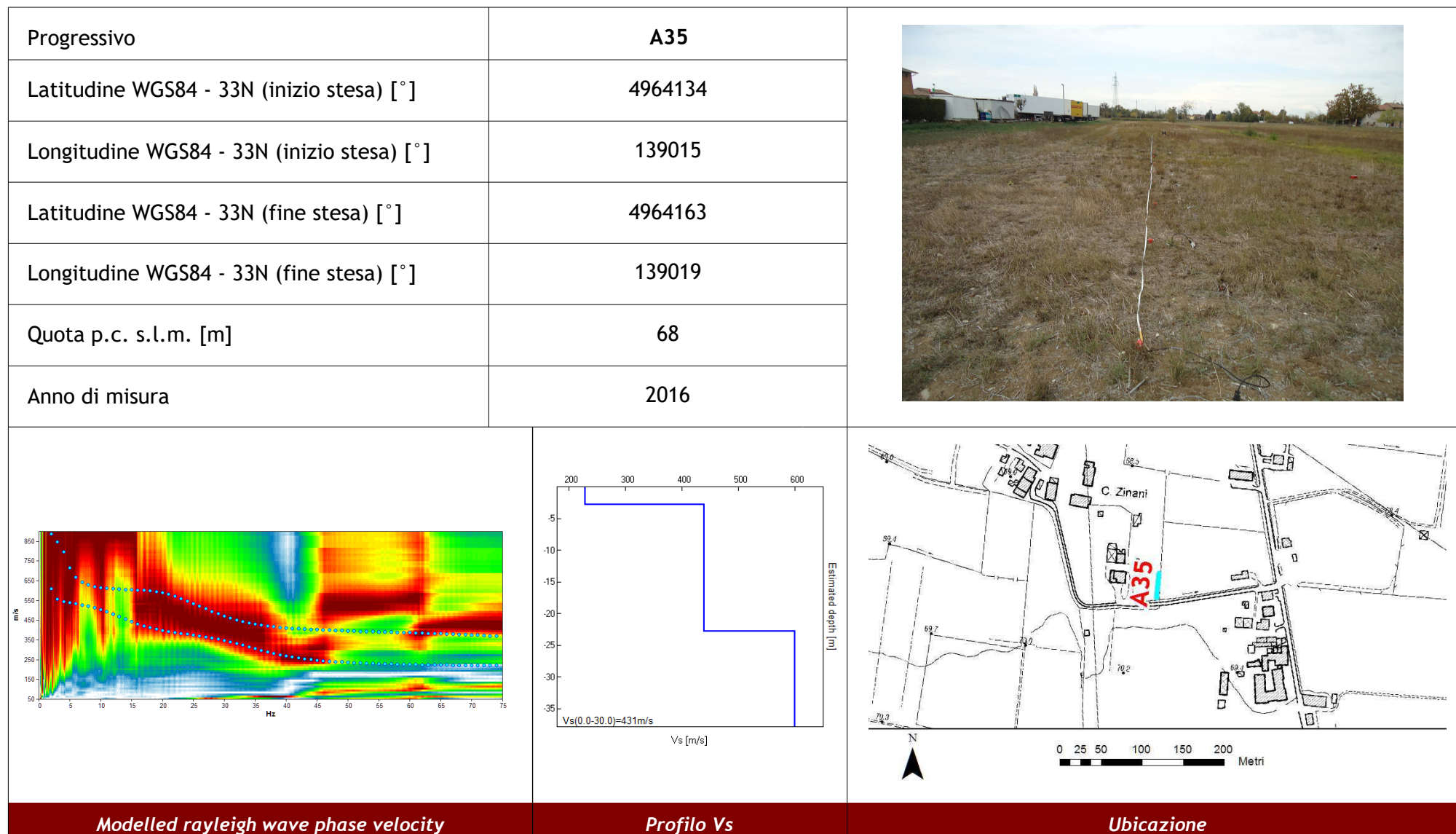
|   |         |   |  |
|---|---------|---|--|
| Progressivo   | A33     |  |  |
| Latitudine WGS84 - 33N (inizio stesa) [°]   | 4964774 |   |  |
| Longitudine WGS84 - 33N (inizio stesa) [°]  | 139725  |   |  |
| Latitudine WGS84 - 33N (fine stesa) [°]   | 4964771 |   |  |
| Longitudine WGS84 - 33N (fine stesa) [°]  | 139770  |   |  |
| Quota p.c. s.l.m. [m]   | 64      |   |  |
| Anno di misura  | 2016    |   |  |
|  |         |  |  |
| Modelled rayleigh wave phase velocity   |         |   |  |
| Profilo Vs  |         | Ubicazione  |  |



## Misura in array di tipo Re.Mi.

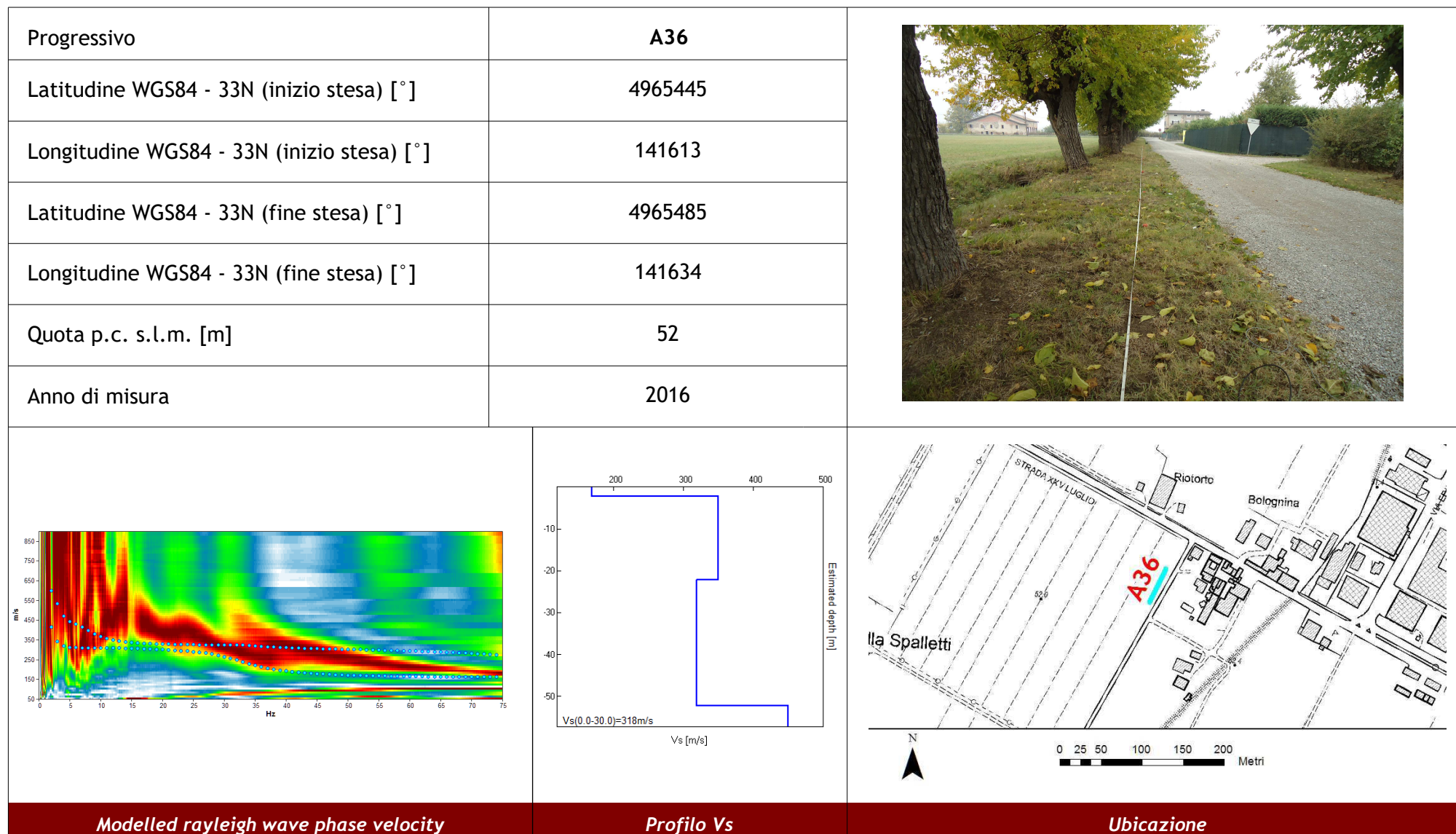


## Misura in array di tipo Re.Mi.

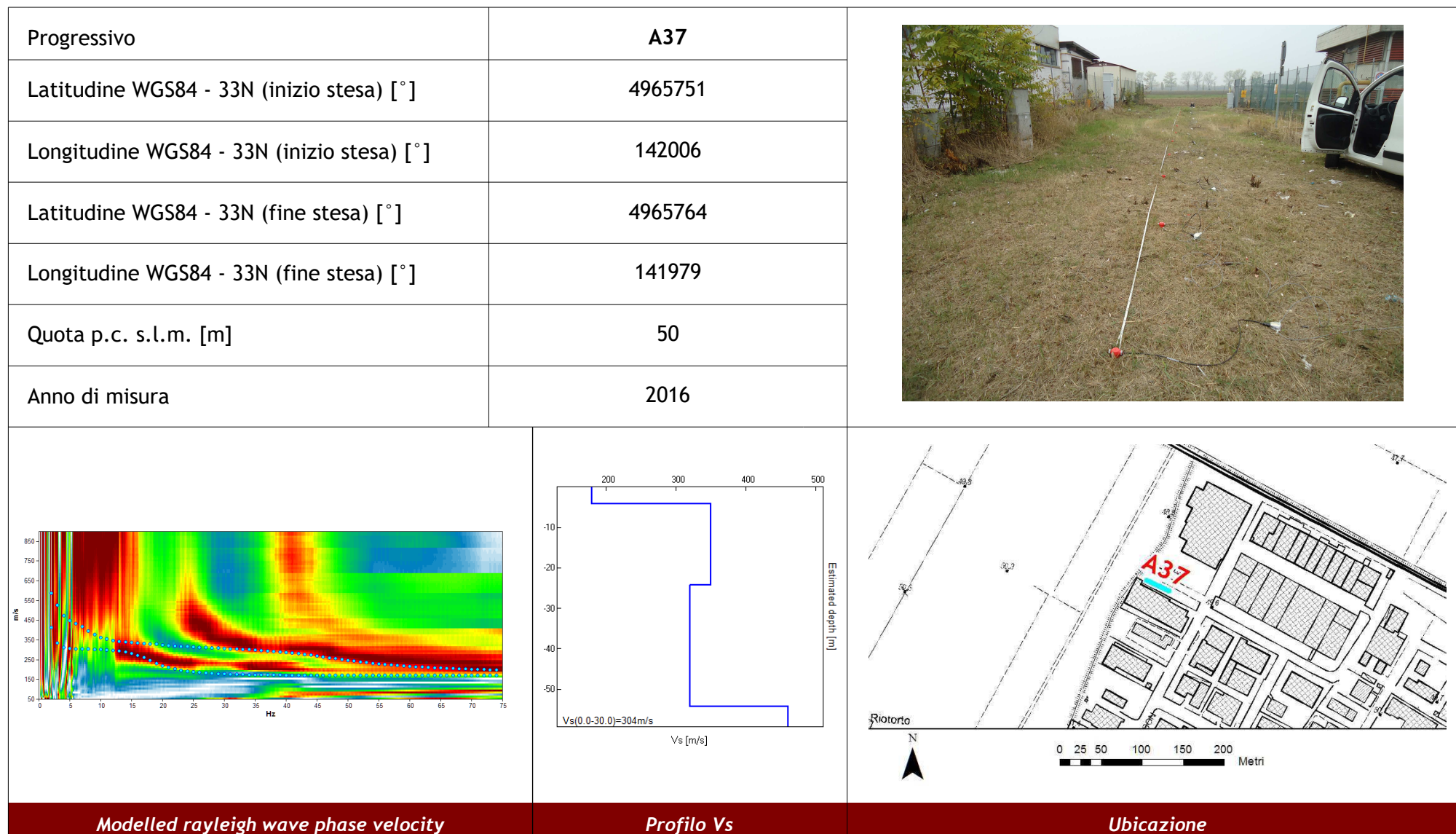




## Misura in array di tipo Re.Mi.


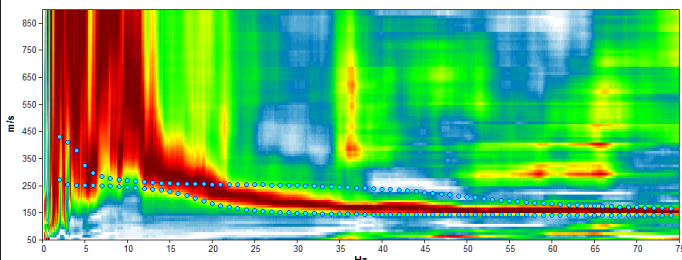
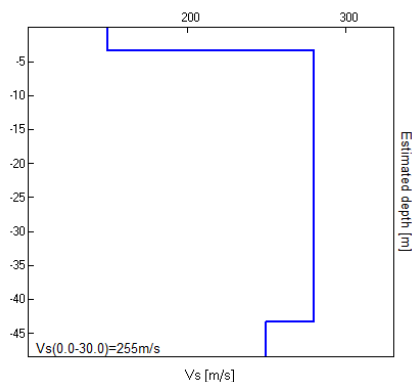


## Misura in array di tipo Re.Mi.

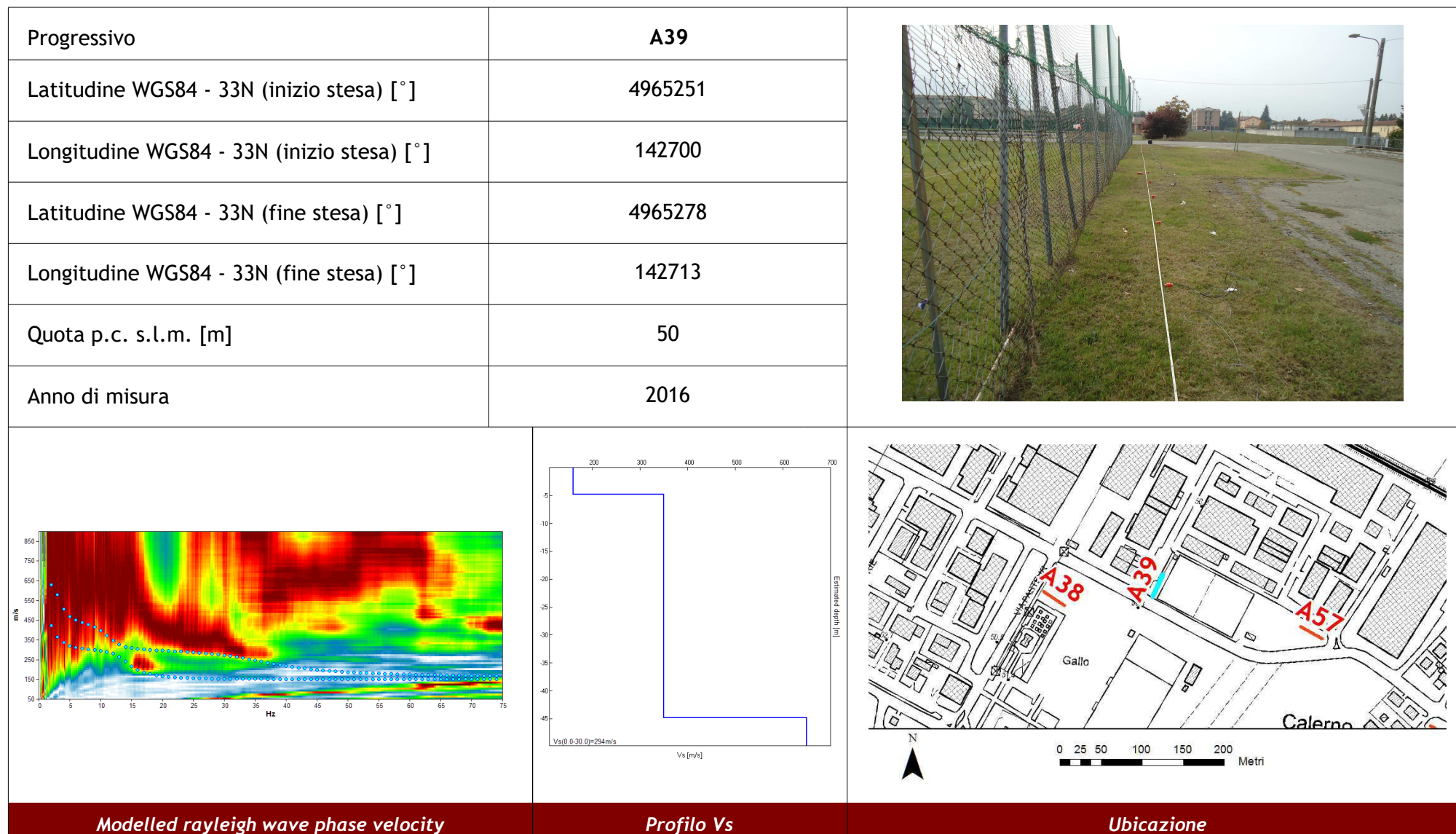




## Misura in array di tipo Re.Mi.


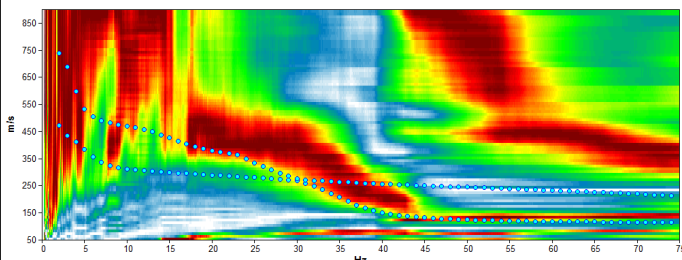
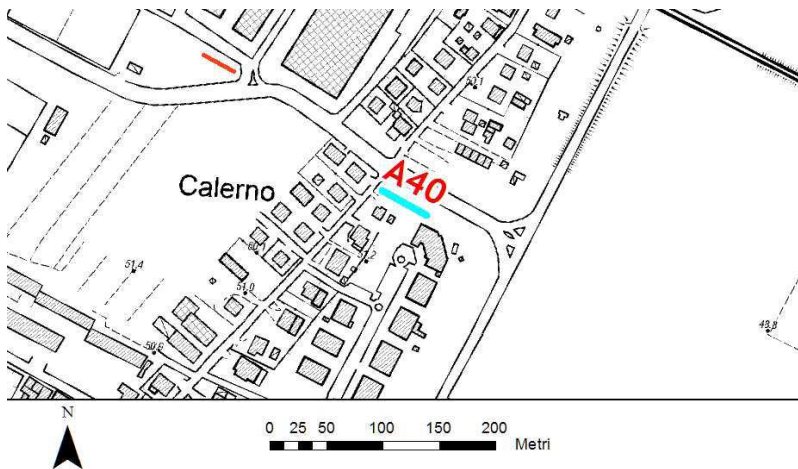
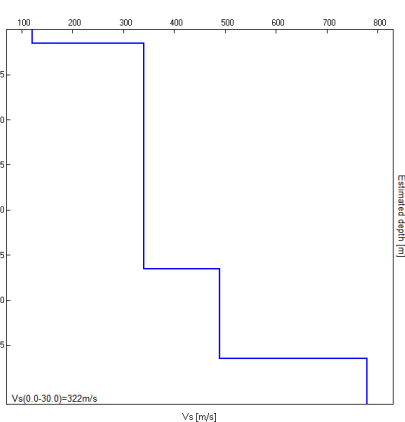
|   |         |   |
|---|---------|---|
| Progressivo   | A38     |  |
| Latitudine WGS84 - 33N (inizio stesa) [°]   | 4965258 |   |
| Longitudine WGS84 - 33N (inizio stesa) [°]  | 142568  |   |
| Latitudine WGS84 - 33N (fine stesa) [°]   | 4965241 |   |
| Longitudine WGS84 - 33N (fine stesa) [°]  | 142592  |   |
| Quota p.c. s.l.m. [m]   | 50      |   |
| Anno di misura  | 2016    |   |
|  |         |  |
| <i>Modelled rayleigh wave phase velocity</i>  |         |   |
|   |         | <i>Ubicazione</i>   |

## Misura in array di tipo Re.Mi.

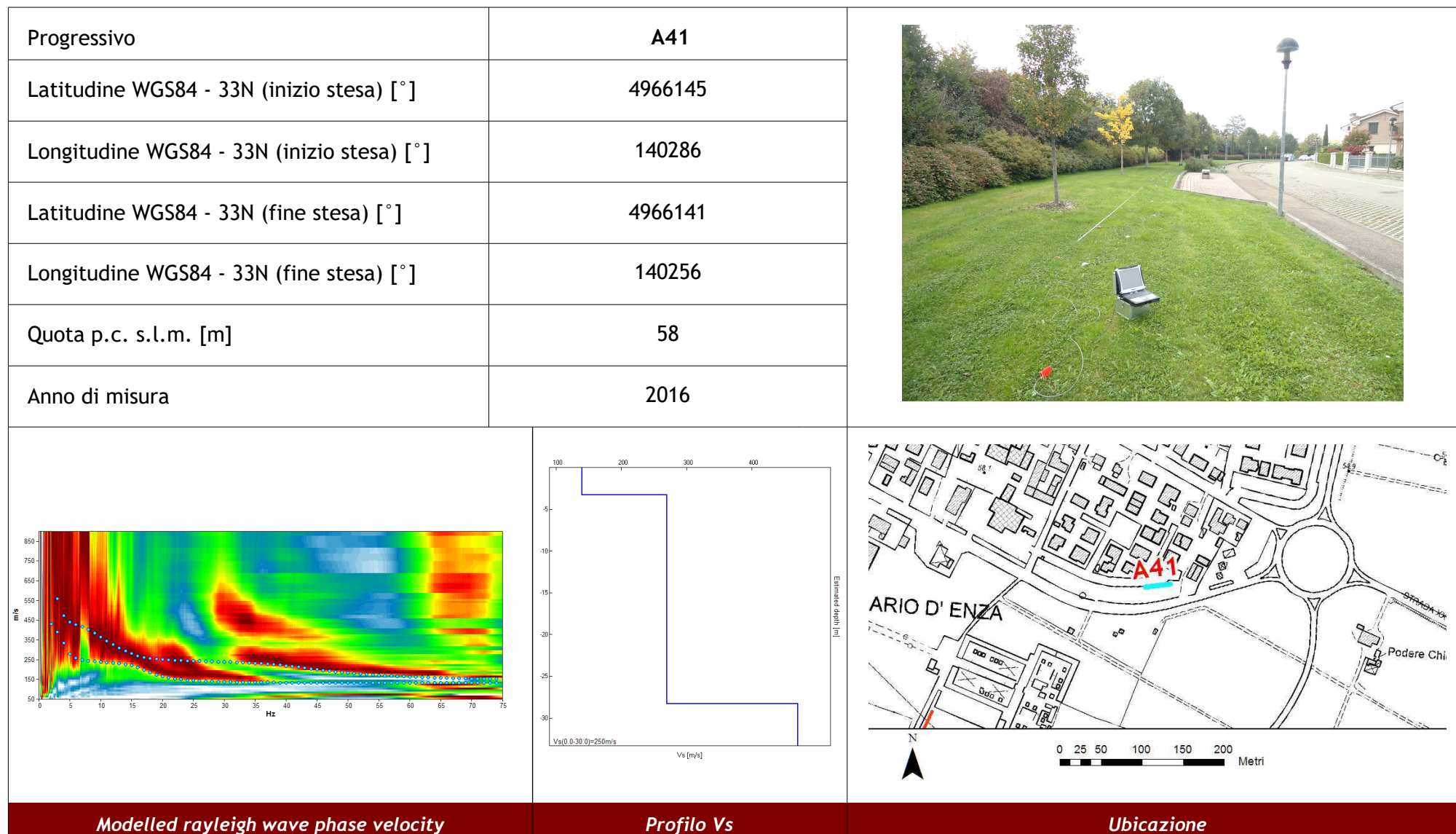




## Misura in array di tipo Re.Mi.


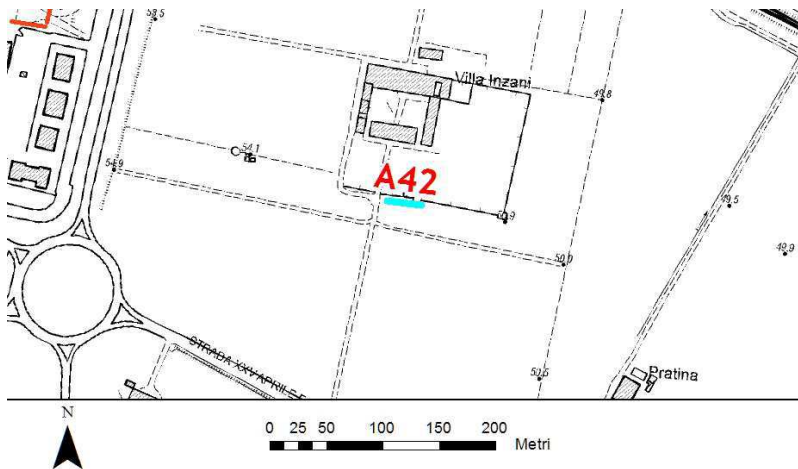
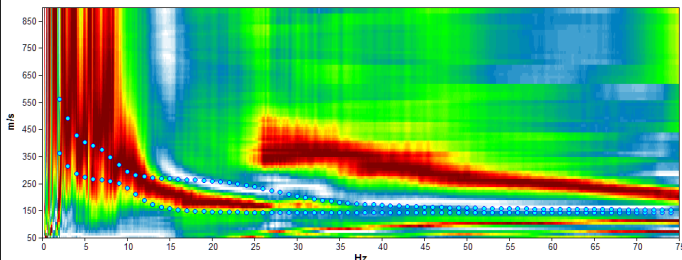
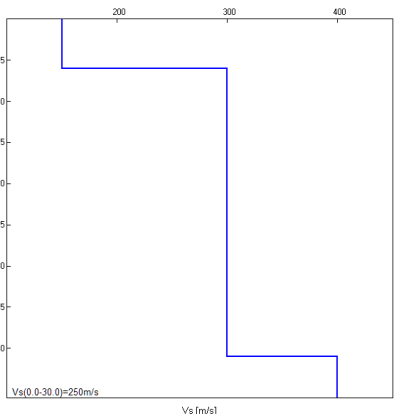
|   |         |  |
|---|---------|--|
| Progressivo   | A40     |   |
| Latitudine WGS84 - 33N (inizio stesa) [°]   | 4965095 |  |
| Longitudine WGS84 - 33N (inizio stesa) [°]  | 143038  |  |
| Latitudine WGS84 - 33N (fine stesa) [°]   | 4965073 |  |
| Longitudine WGS84 - 33N (fine stesa) [°]  | 143077  |  |
| Quota p.c. s.l.m. [m]   | 51      |  |
| Anno di misura  | 2016    |  |
|  |         |  |
|  |         |  |
| Modelled rayleigh wave phase velocity   |         | Ubicazione   |

## Misura in array di tipo Re.Mi.

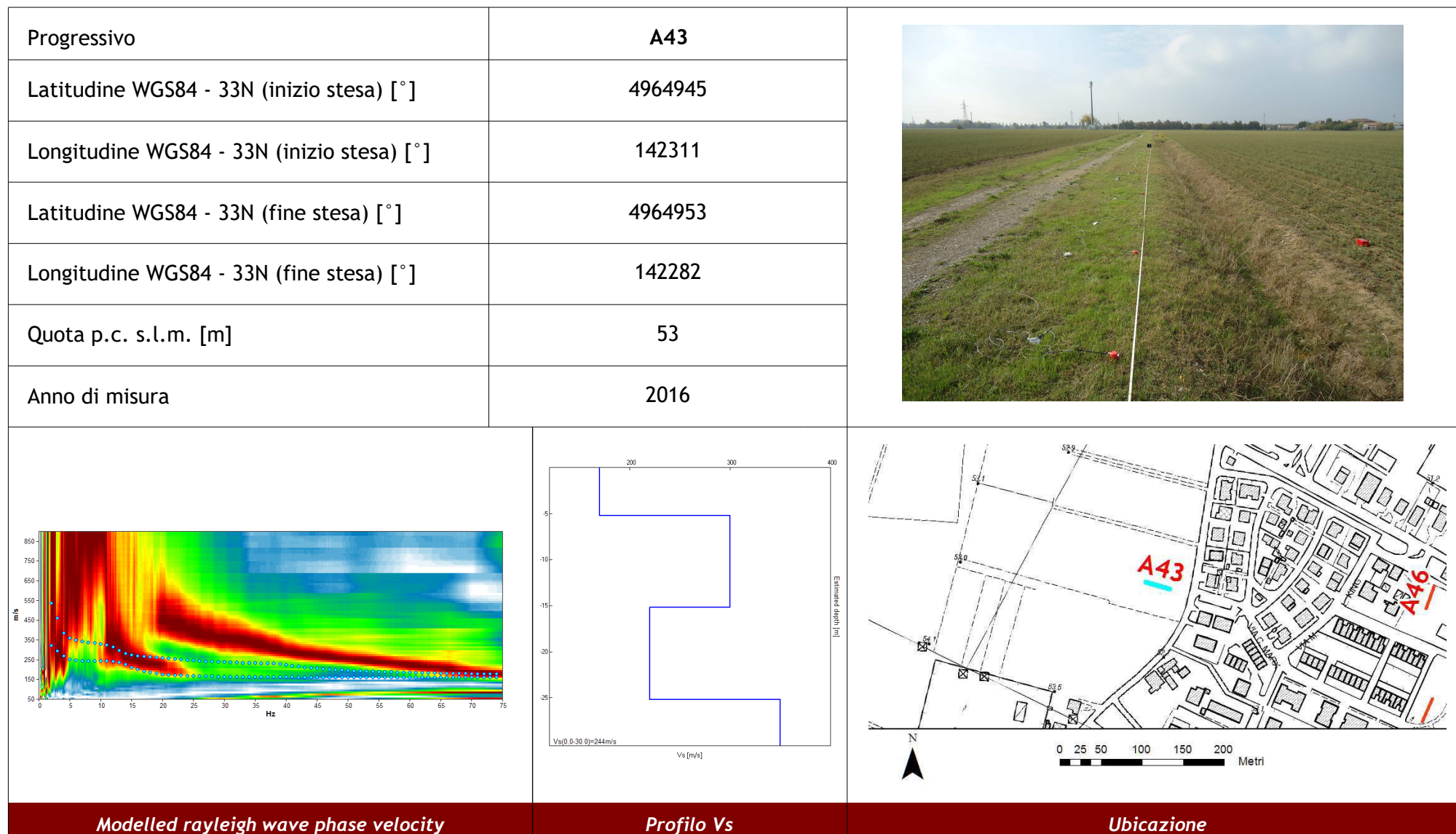




## Misura in array di tipo Re.Mi.


|   |         |  |
|---|---------|--|
| Progressivo   | A42     |   |
| Latitudine WGS84 - 33N (inizio stesa) [°]   | 4966255 |  |
| Longitudine WGS84 - 33N (inizio stesa) [°]  | 140745  |  |
| Latitudine WGS84 - 33N (fine stesa) [°]   | 4966251 |  |
| Longitudine WGS84 - 33N (fine stesa) [°]  | 140775  |  |
| Quota p.c. s.l.m. [m]   | 51      |  |
| Anno di misura  | 2016    |  |
|  |         |  |
|  |         |  |
| Modelled rayleigh wave phase velocity   |         | Ubicazione   |
| Profilo Vs  |         |  |

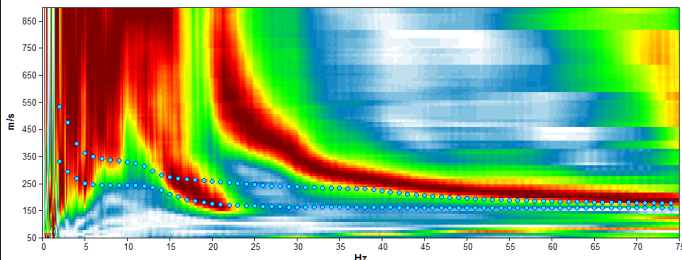
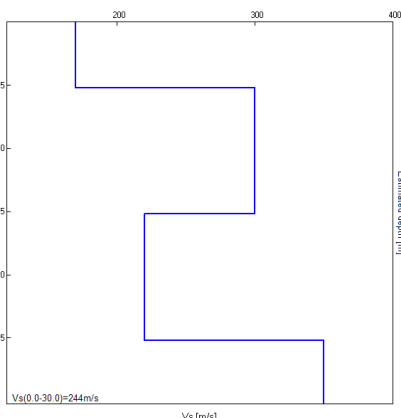
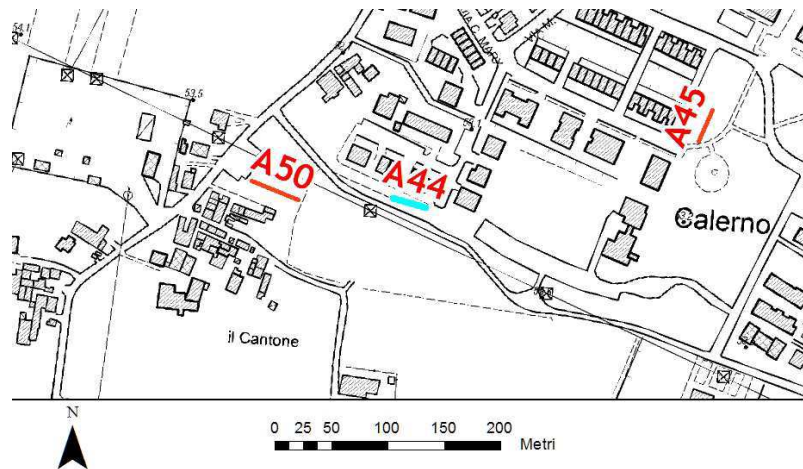
## Misura in array di tipo Re.Mi.




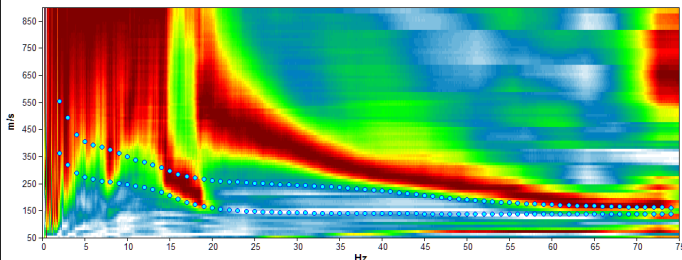
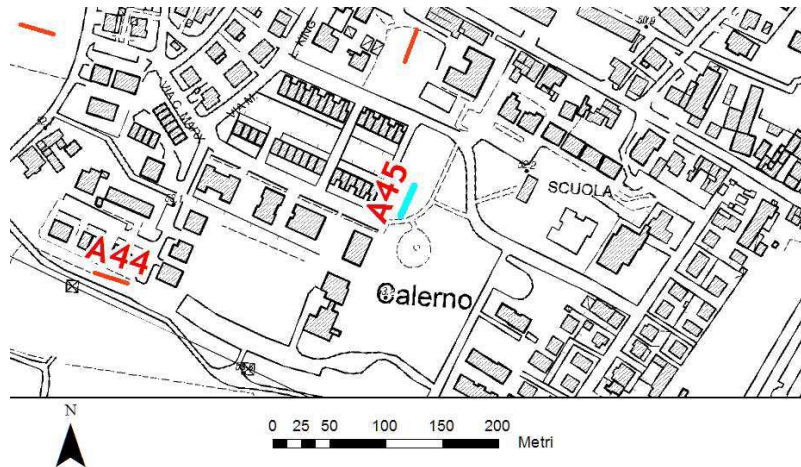
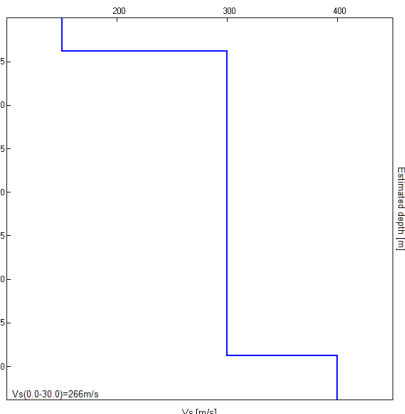


## Misura in array di tipo Re.Mi.

|  |         |   |
|--|---------|---|
| Progressivo                                | A44     |  |
| Latitudine WGS84 - 33N (inizio stesa) [°]  | 4964724 |   |
| Longitudine WGS84 - 33N (inizio stesa) [°] | 142377  |   |
| Latitudine WGS84 - 33N (fine stesa) [°]    | 4964733 |   |
| Longitudine WGS84 - 33N (fine stesa) [°]   | 142348  |   |
| Quota p.c. s.l.m. [m]                      | 53      |   |
| Anno di misura                             | 2016    |   |

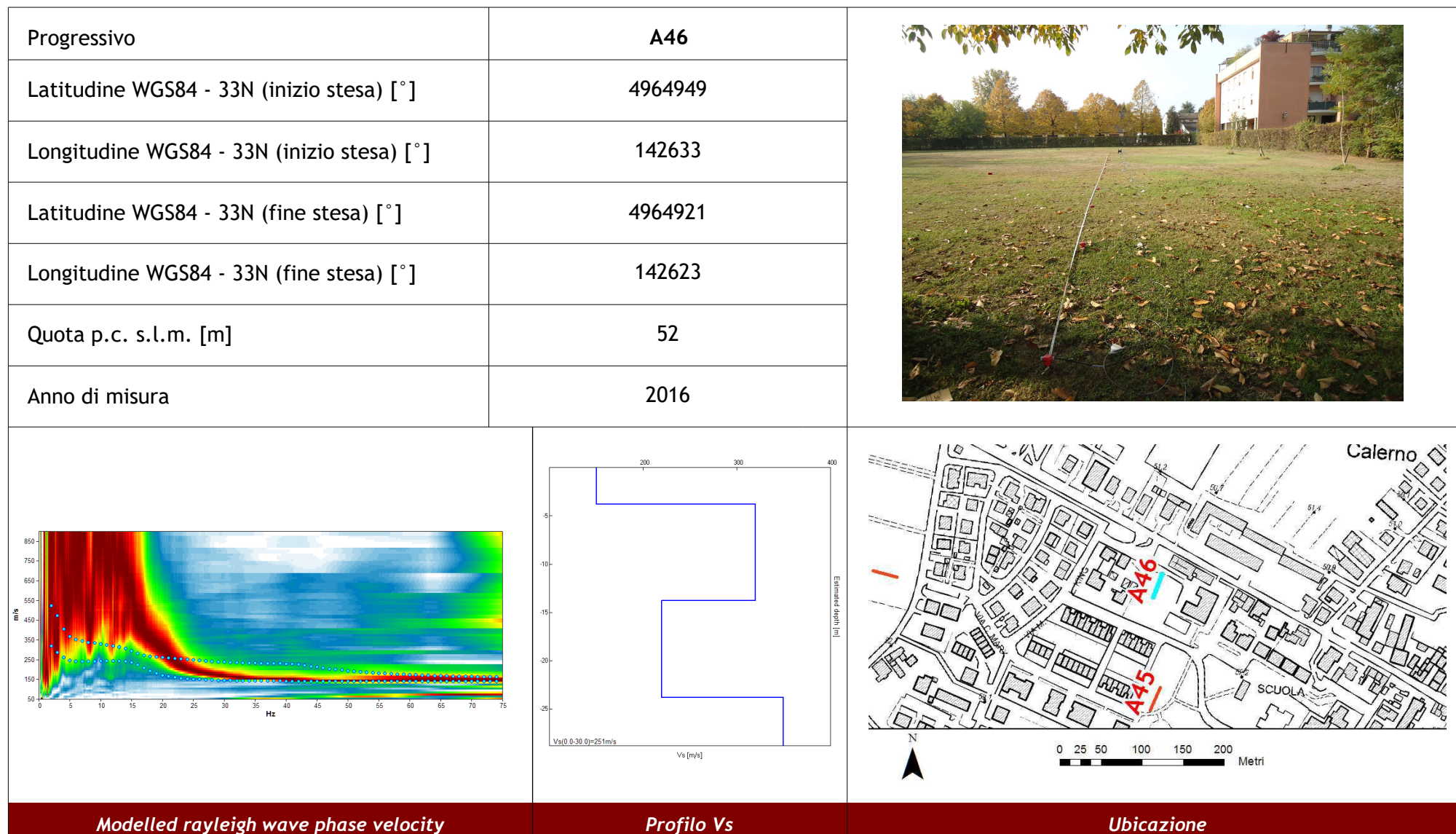
|   |   |  |
|---|---|--|
|  |  |  |
| Modelled rayleigh wave phase velocity   | Profilo Vs  | Ubicazione   |

## Misura in array di tipo Re.Mi.


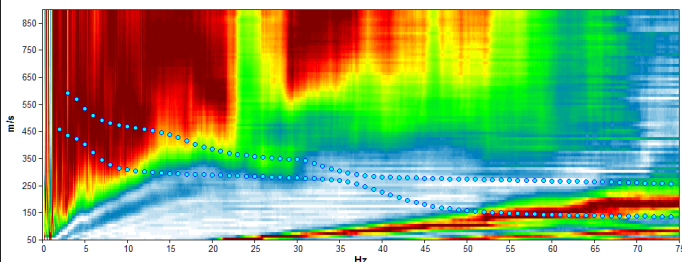
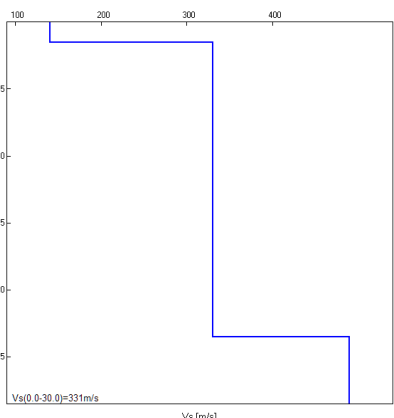
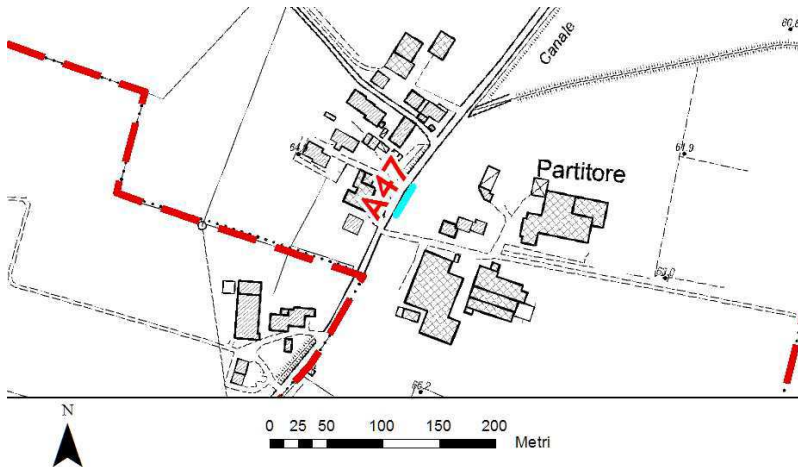
|   |         |  |
|---|---------|--|
| Progressivo   | A45     |   |
| Latitudine WGS84 - 33N (inizio stesa) [°]   | 4964784 |  |
| Longitudine WGS84 - 33N (inizio stesa) [°]  | 142619  |  |
| Latitudine WGS84 - 33N (fine stesa) [°]   | 4964811 |  |
| Longitudine WGS84 - 33N (fine stesa) [°]  | 142631  |  |
| Quota p.c. s.l.m. [m]   | 52      |  |
| Anno di misura  | 2016    |  |
|  |         |  |
|  |         |  |
| Modelled rayleigh wave phase velocity   |         | Ubicazione   |



## Misura in array di tipo Re.Mi.


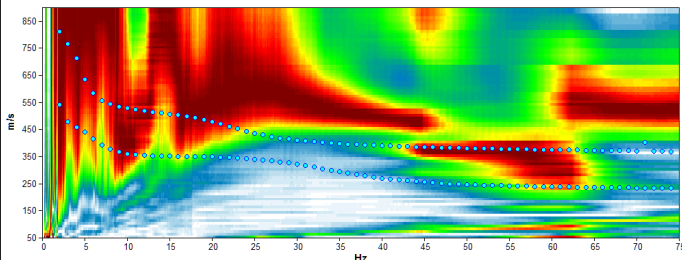
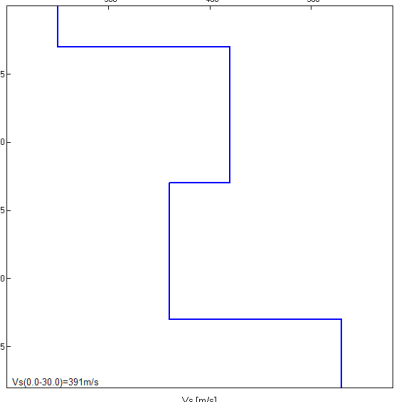
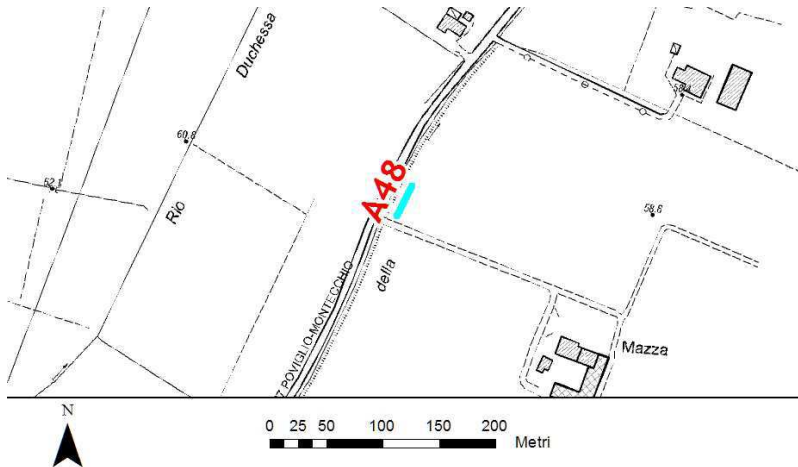


## Misura in array di tipo Re.Mi.

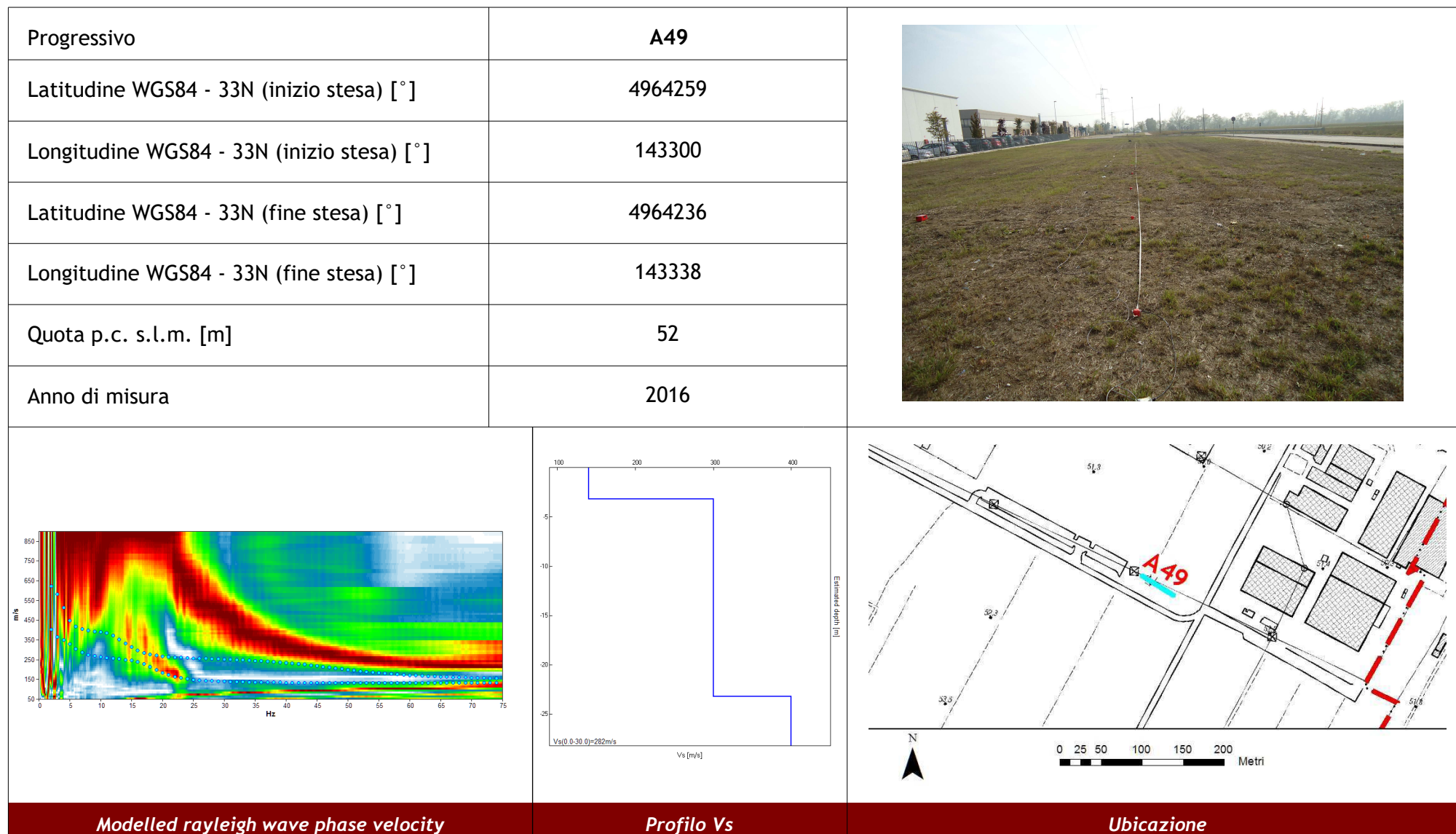
|   |         |   |  |
|---|---------|---|--|
| Progressivo   | A47     |  |  |
| Latitudine WGS84 - 33N (inizio stesa) [°]   | 4963160 |   |  |
| Longitudine WGS84 - 33N (inizio stesa) [°]  | 141882  |   |  |
| Latitudine WGS84 - 33N (fine stesa) [°]   | 4963186 |   |  |
| Longitudine WGS84 - 33N (fine stesa) [°]  | 141898  |   |  |
| Quota p.c. s.l.m. [m]   | 64      |   |  |
| Anno di misura  | 2016    |   |  |
|  |         |  |  |
| Modelled rayleigh wave phase velocity   |         |   |  |
| Profilo Vs  |         |   |  |
|   |         | Ubicazione  |  |



## Misura in array di tipo Re.Mi.

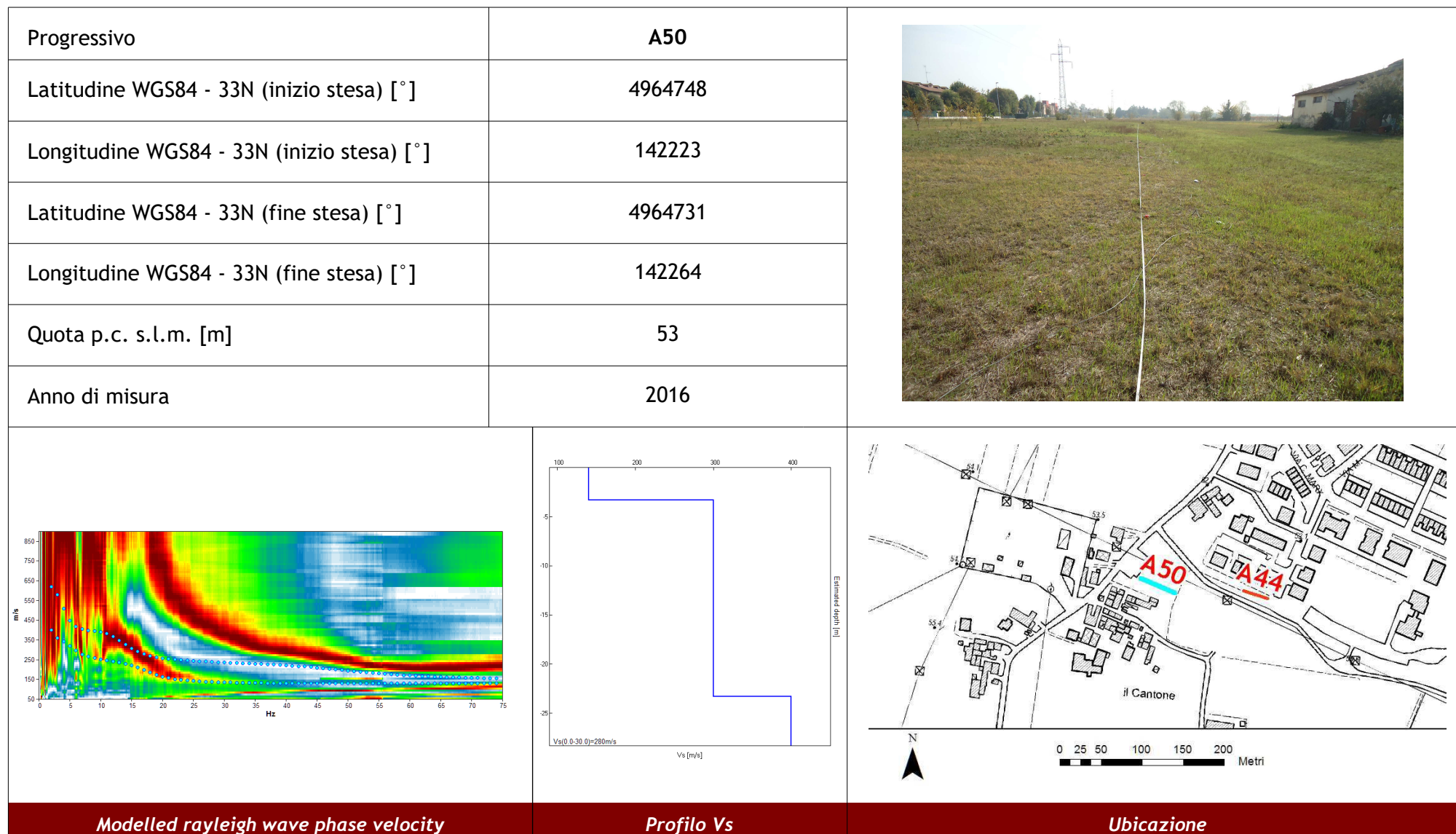
|   |         |   |  |
|---|---------|---|--|
| Progressivo   | A48     |  |  |
| Latitudine WGS84 - 33N (inizio stesa) [°]   | 4963582 |   |  |
| Longitudine WGS84 - 33N (inizio stesa) [°]  | 142165  |   |  |
| Latitudine WGS84 - 33N (fine stesa) [°]   | 4963609 |   |  |
| Longitudine WGS84 - 33N (fine stesa) [°]  | 142179  |   |  |
| Quota p.c. s.l.m. [m]   | 59      |   |  |
| Anno di misura  | 2016    |   |  |
|  |         |  |  |
| Modelled rayleigh wave phase velocity   |         |   |  |
| Profilo Vs  |         |   |  |
|   |         | Ubicazione  |  |

## Misura in array di tipo Re.Mi.

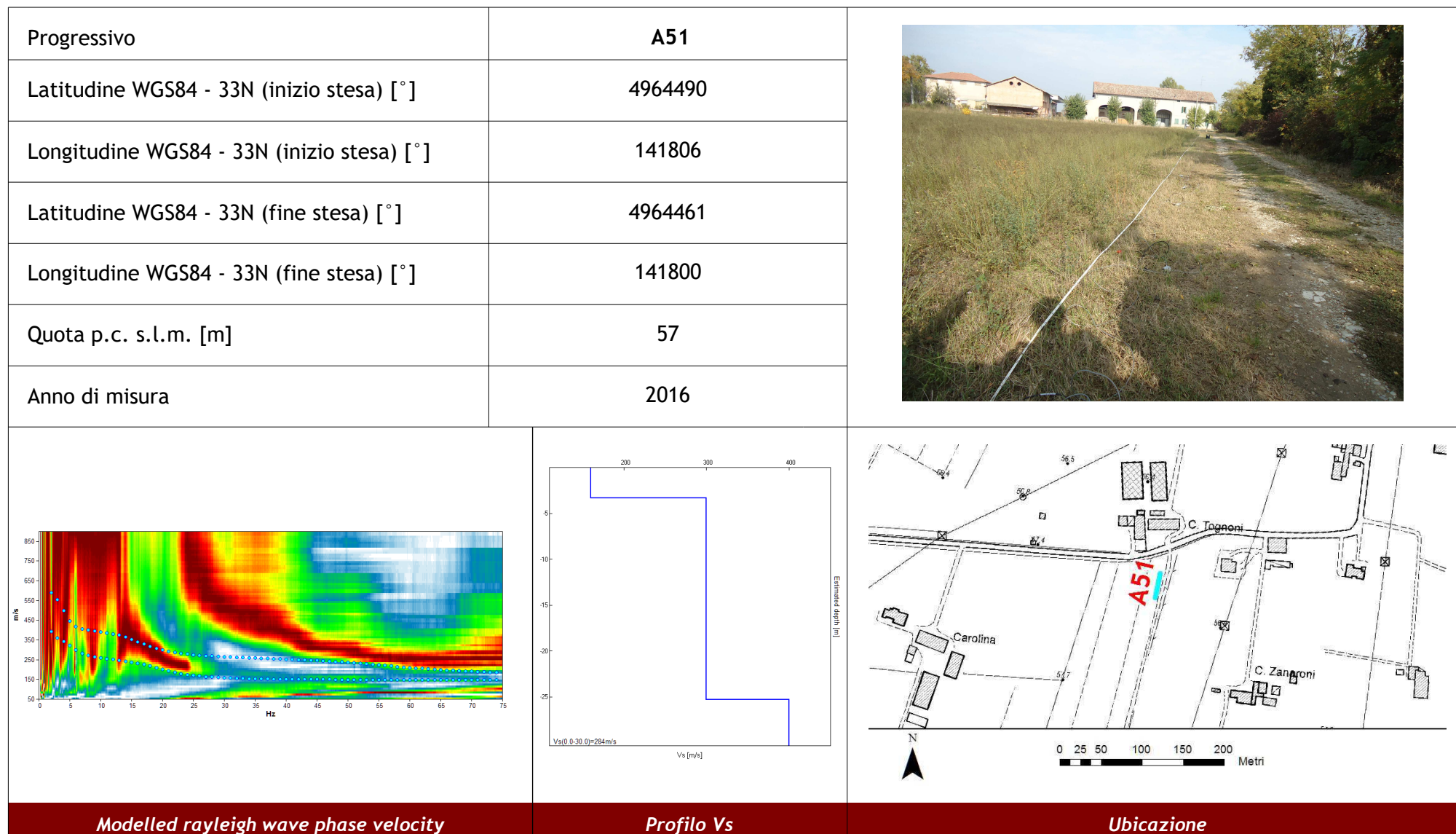




## Misura in array di tipo Re.Mi.

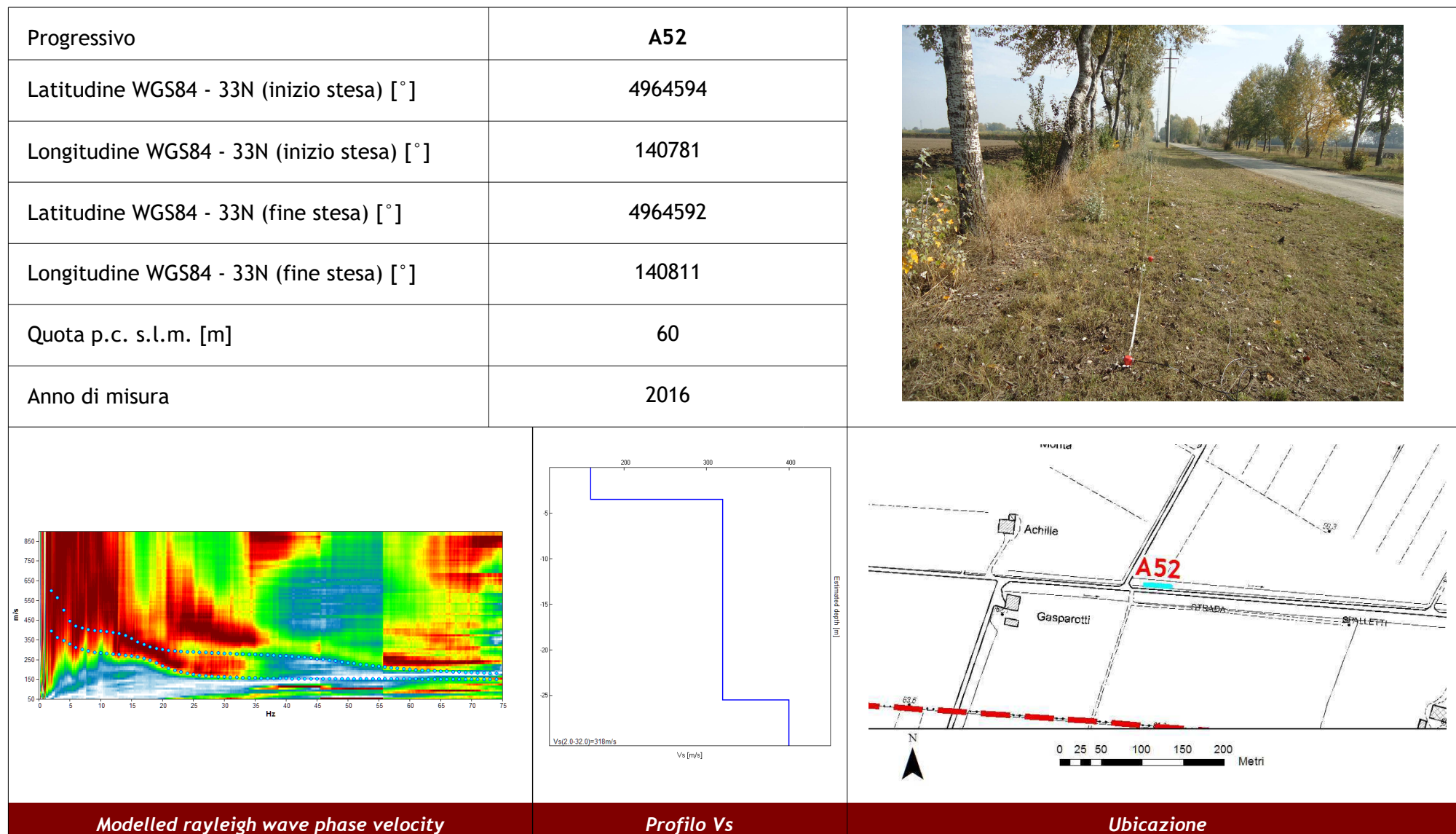


## Misura in array di tipo Re.Mi.

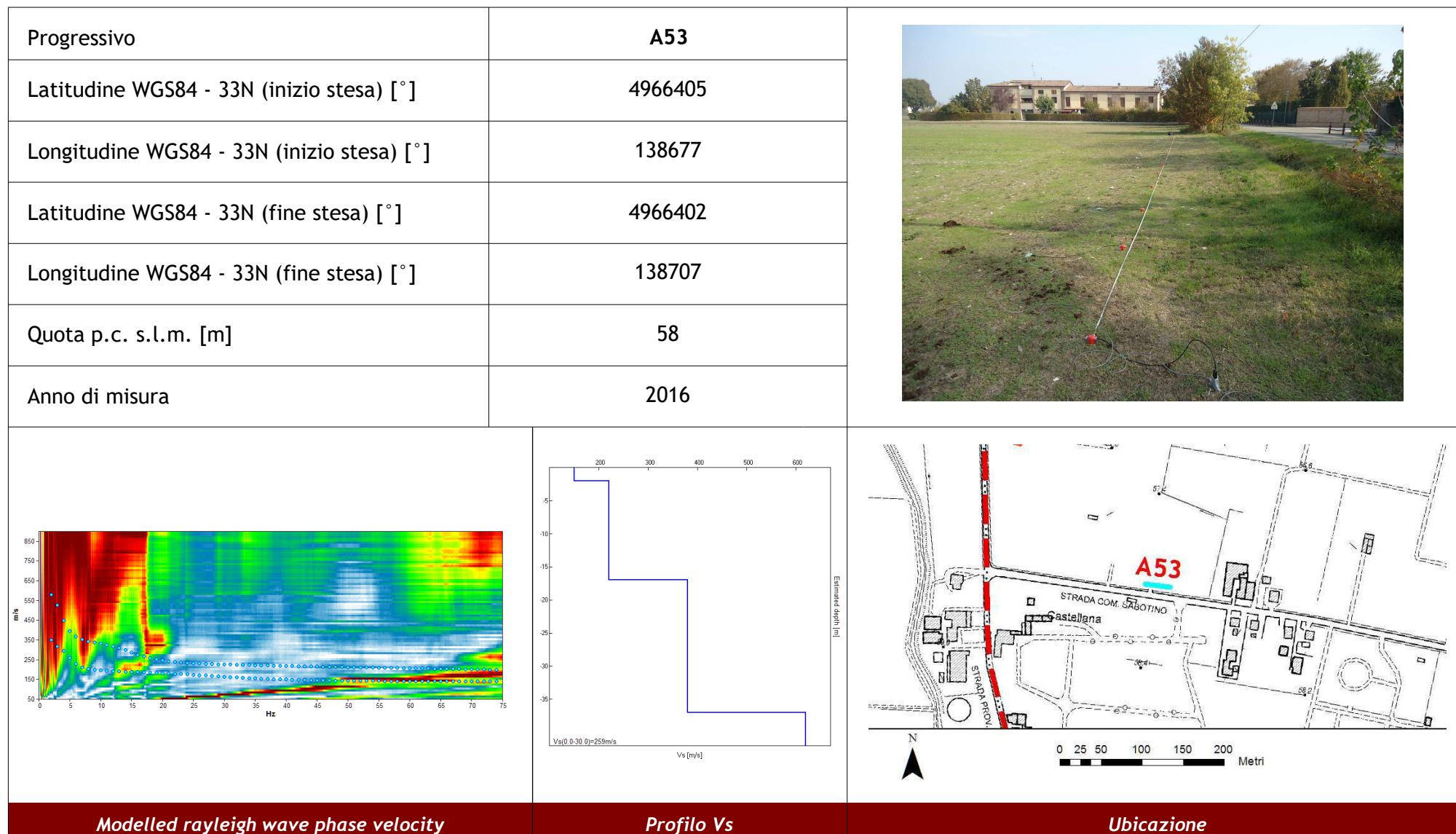




## Misura in array di tipo Re.Mi.

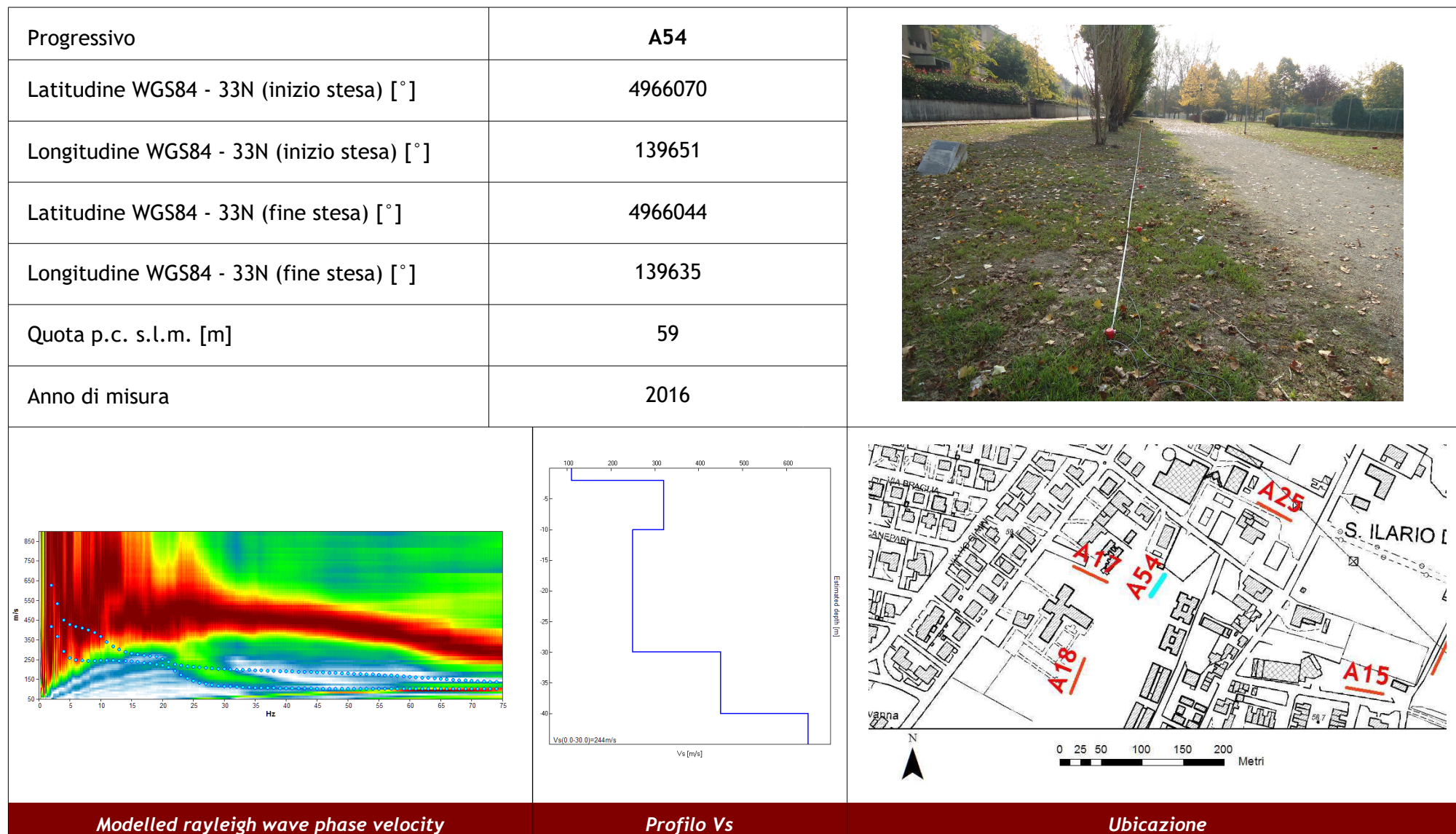


## Misura in array di tipo Re.Mi.





## Misura in array di tipo Re.Mi.

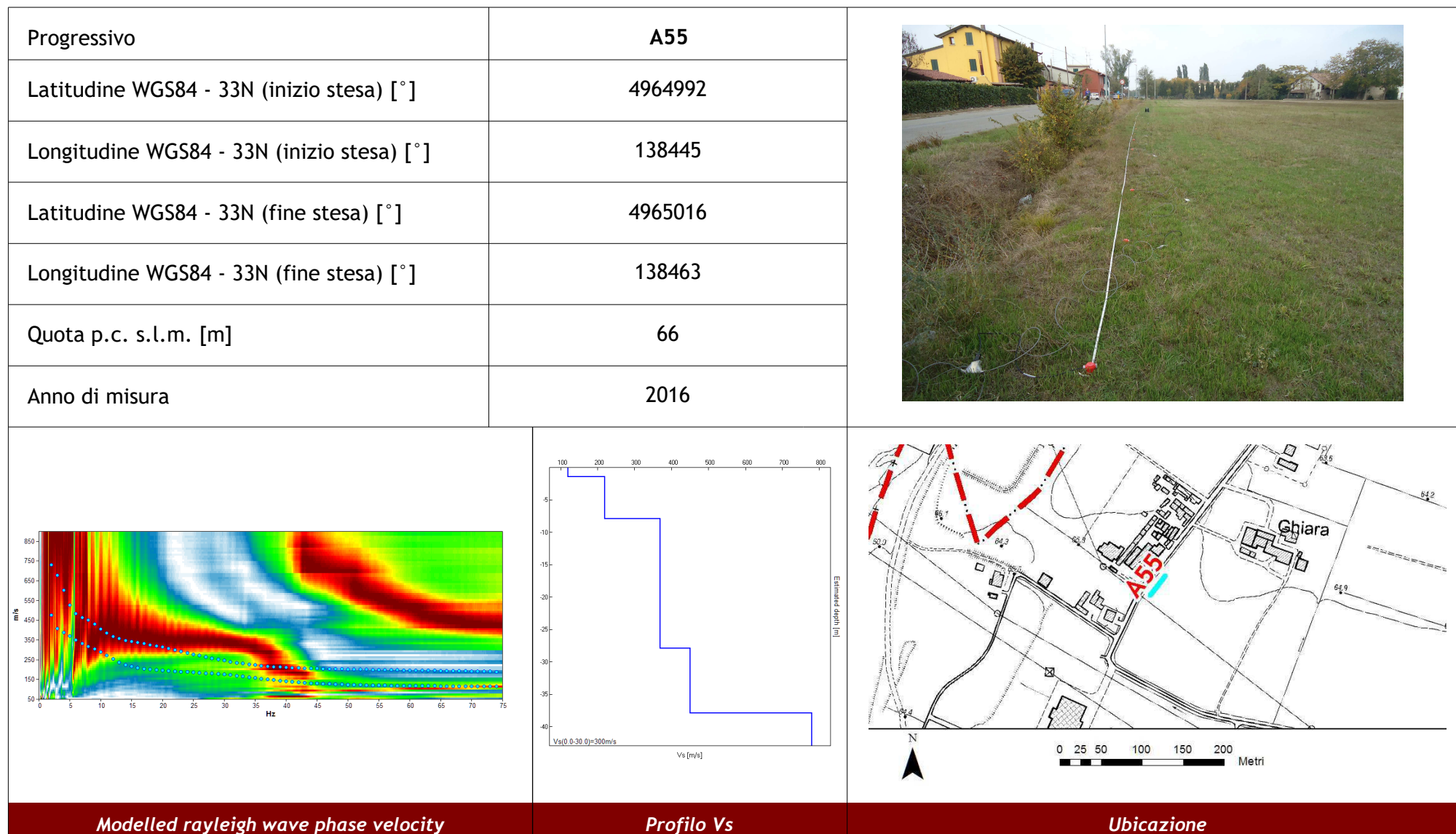


Modelled rayleigh wave phase velocity

Profilo Vs


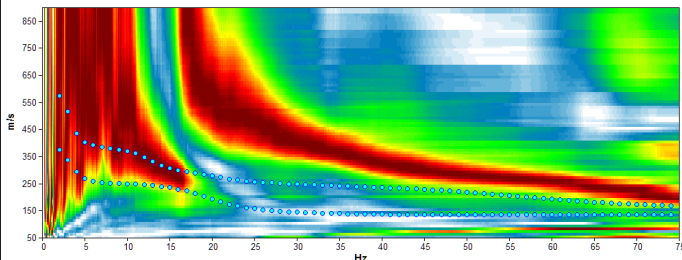
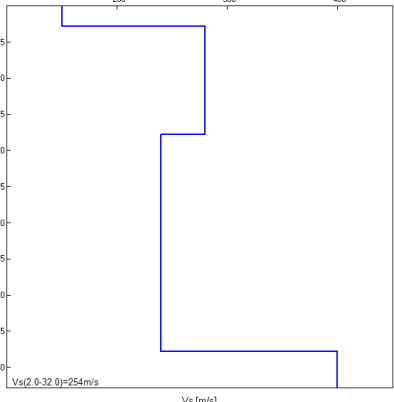
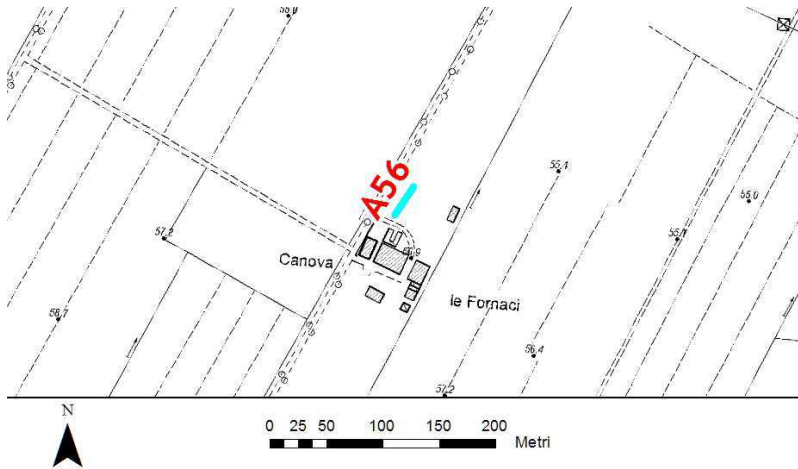
Ubicazione

## Misura in array di tipo Re.Mi.




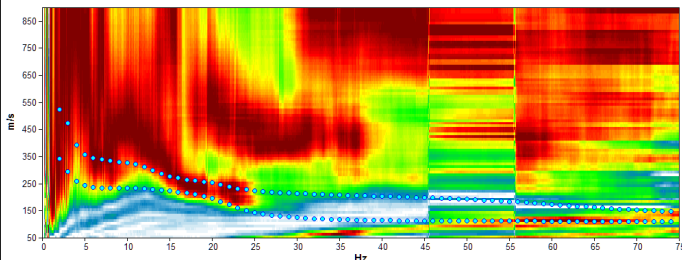
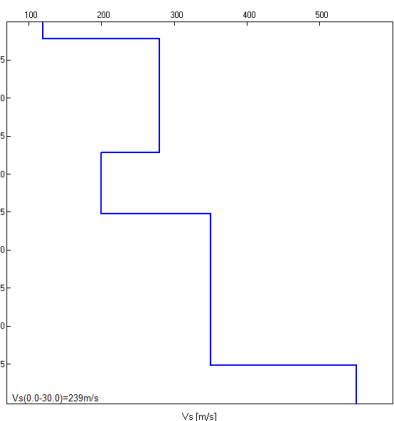
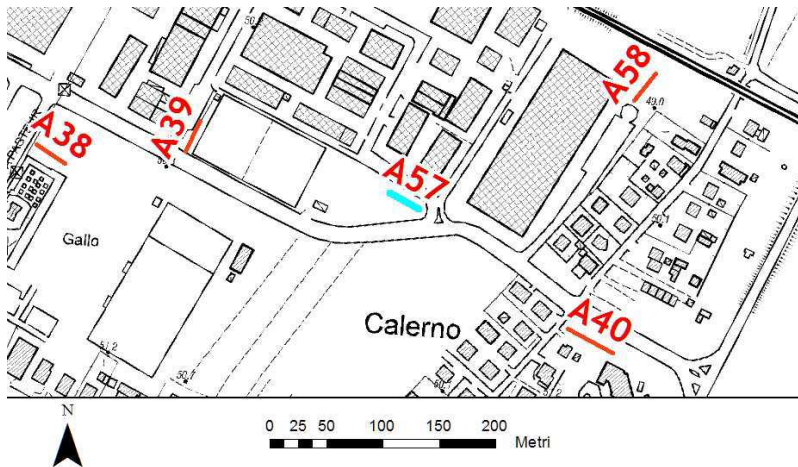


## Misura in array di tipo Re.Mi.

|   |         |   |  |
|---|---------|---|--|
| Progressivo   | A56     |  |  |
| Latitudine WGS84 - 33N (inizio stesa) [°]   | 4964871 |   |  |
| Longitudine WGS84 - 33N (inizio stesa) [°]  | 141320  |   |  |
| Latitudine WGS84 - 33N (fine stesa) [°]   | 4964897 |   |  |
| Longitudine WGS84 - 33N (fine stesa) [°]  | 141336  |   |  |
| Quota p.c. s.l.m. [m]   | 55      |   |  |
| Anno di misura  | 2016    |   |  |
|  |         |  |  |
| <i>Modelled rayleigh wave phase velocity</i>  |         |   |  |
| <i>Profilo Vs</i>   |         | <i>Ubicazione</i>   |  |

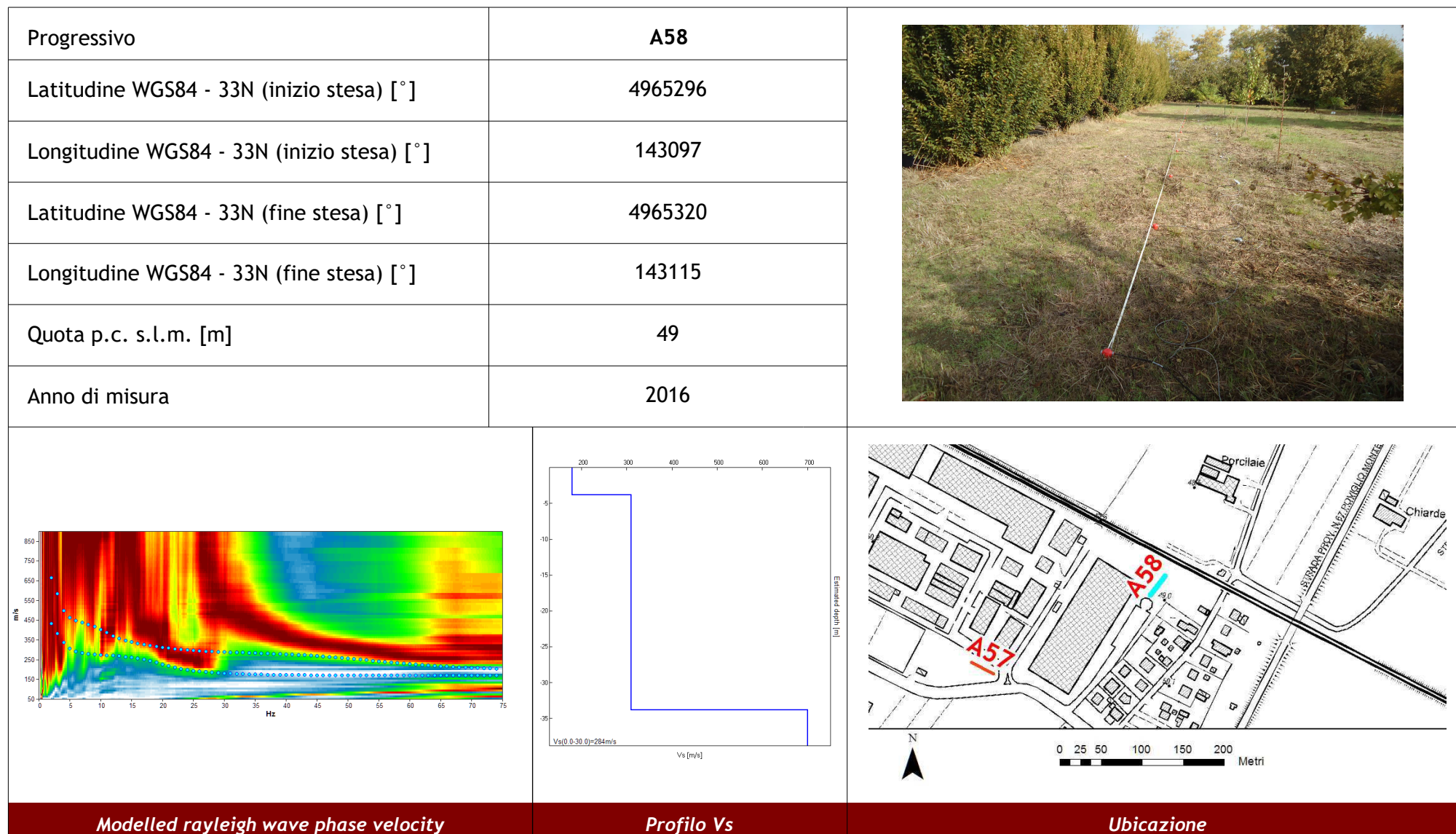
## Misura in array di tipo Re.Mi.

|  |         |   |
|--|---------|---|
| Progressivo                                | A57     |  |
| Latitudine WGS84 - 33N (inizio stesa) [°]  | 4965215 |   |
| Longitudine WGS84 - 33N (inizio stesa) [°] | 142880  |   |
| Latitudine WGS84 - 33N (fine stesa) [°]    | 4965201 |   |
| Longitudine WGS84 - 33N (fine stesa) [°]   | 142906  |   |
| Quota p.c. s.l.m. [m]                      | 50      |   |
| Anno di misura                             | 2016    |   |

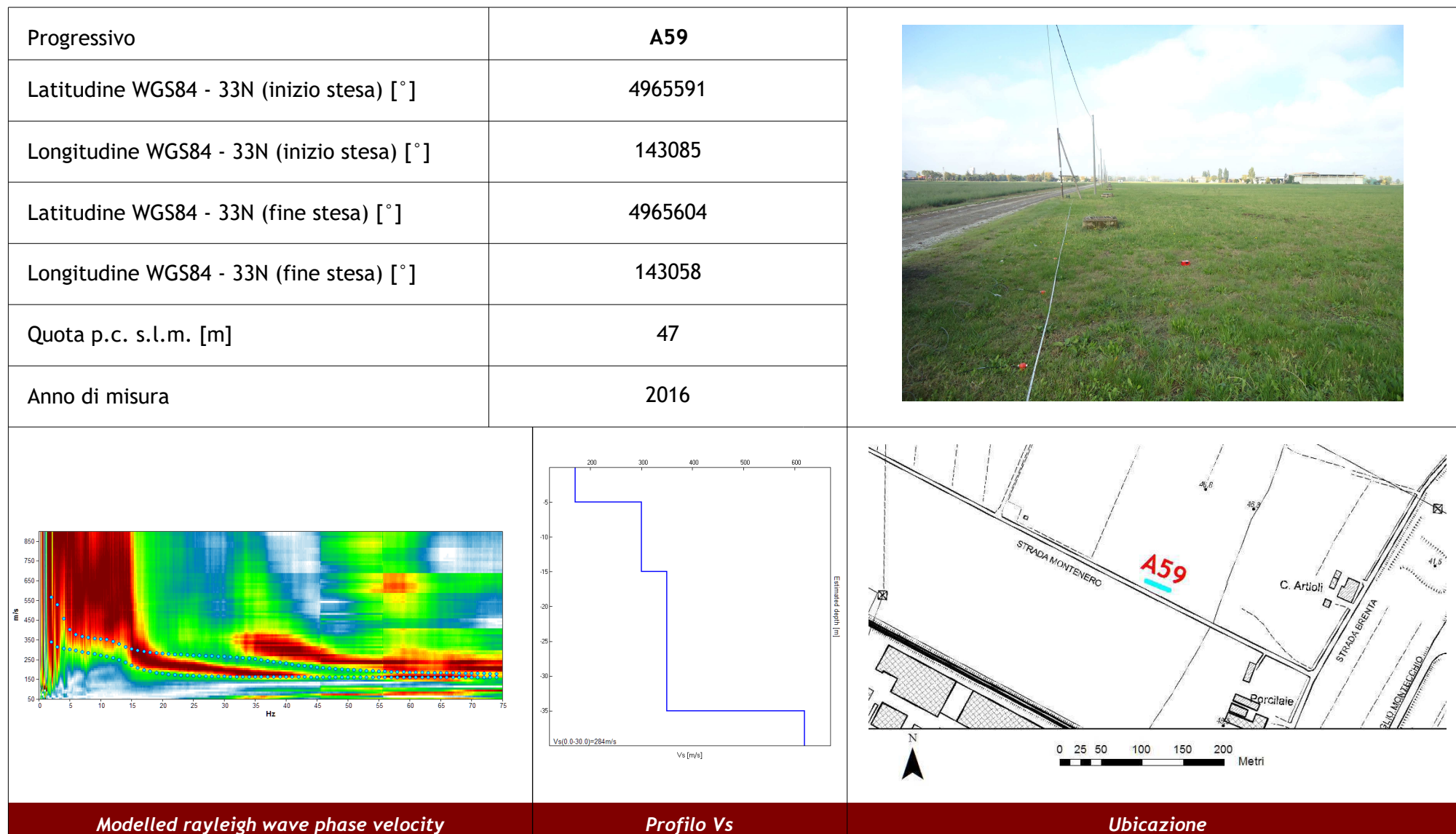
|   |   |  |
|---|---|--|
|  |  |  |
| Modelled rayleigh wave phase velocity   | Profilo Vs  |  |



## Misura in array di tipo Re.Mi.

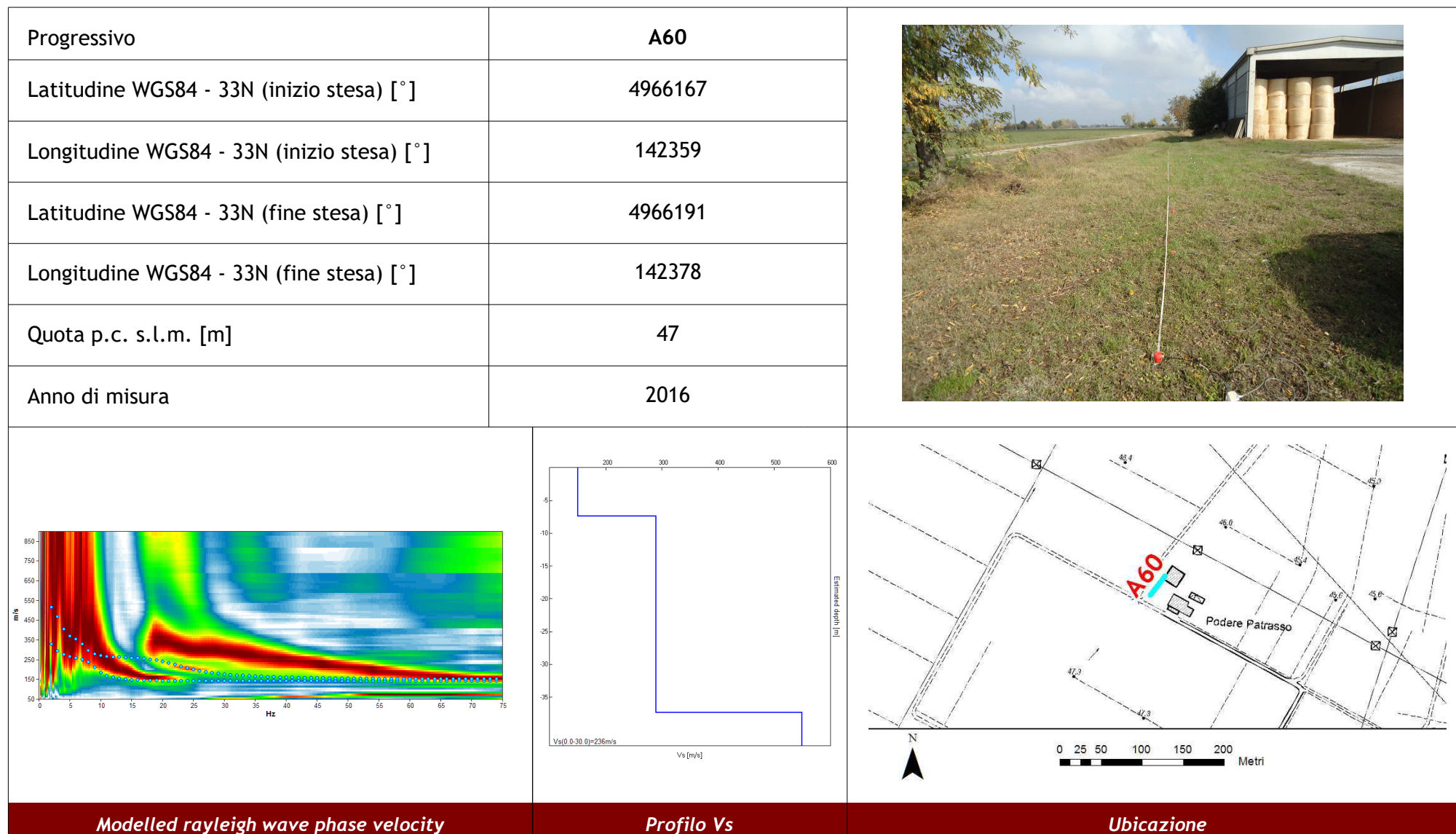


## Misura in array di tipo Re.Mi.





## Misura in array di tipo Re.Mi.

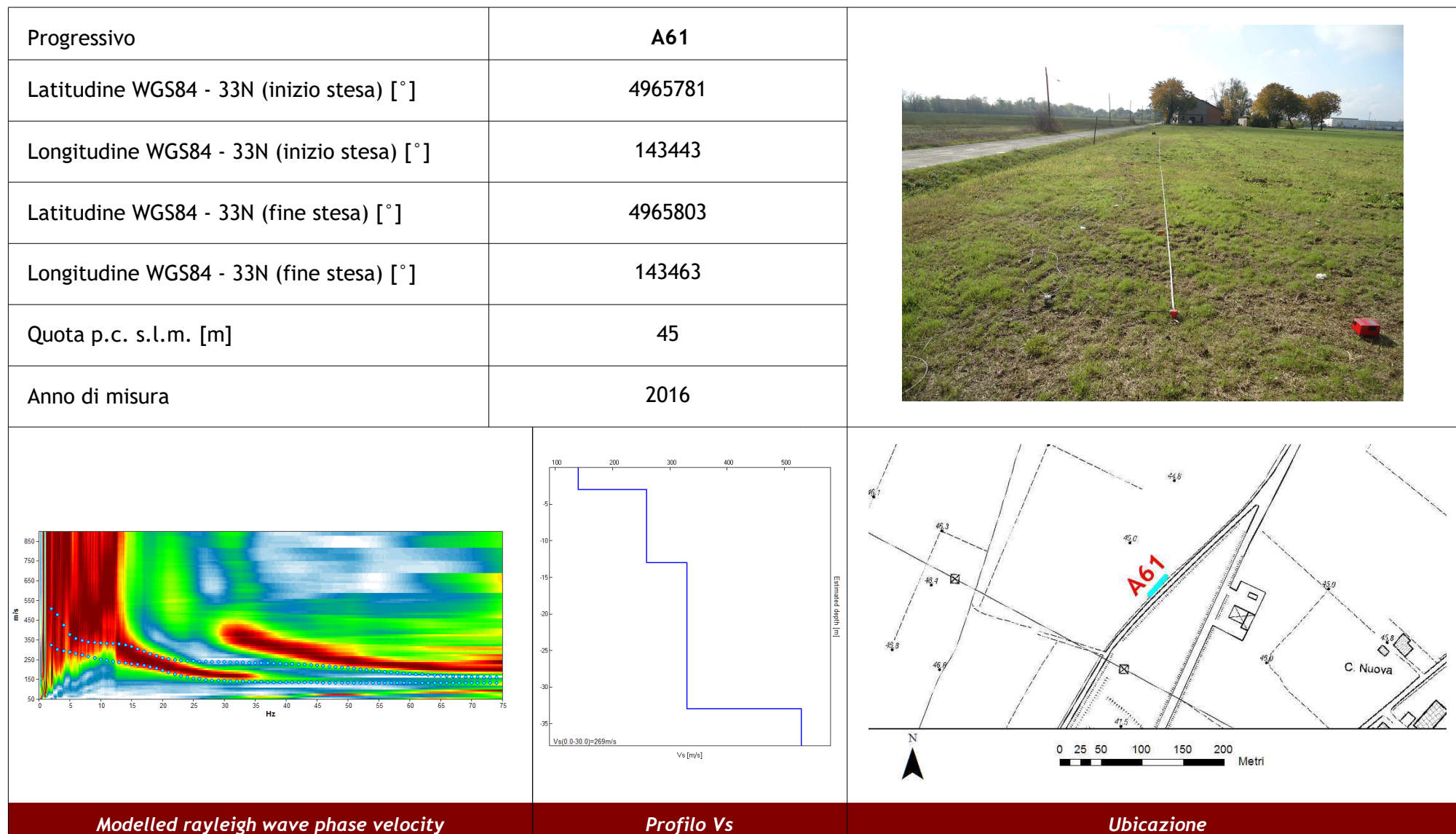


Modelled rayleigh wave phase velocity

Profilo Vs

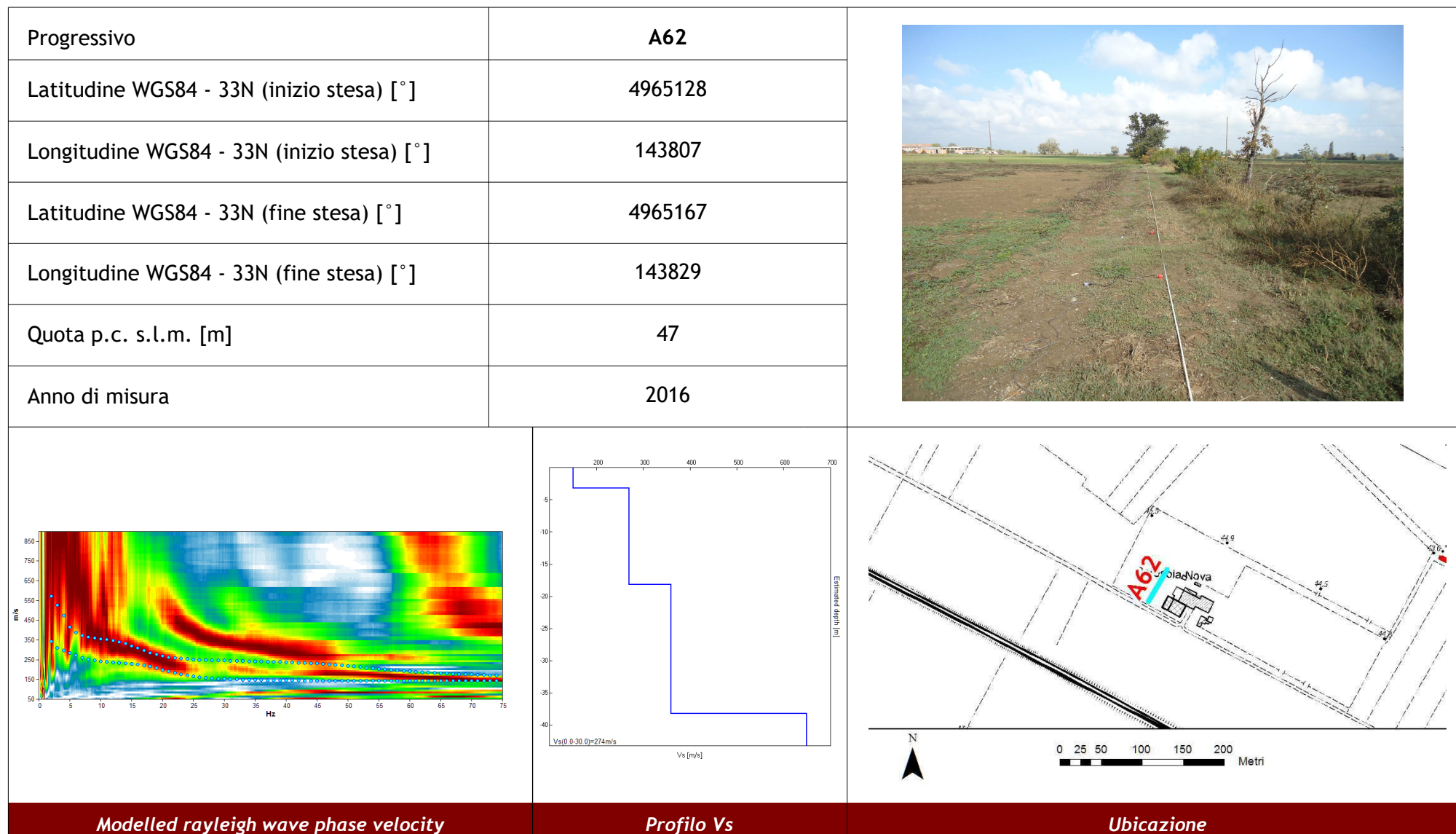
Ubicazione

## Misura in array di tipo Re.Mi.


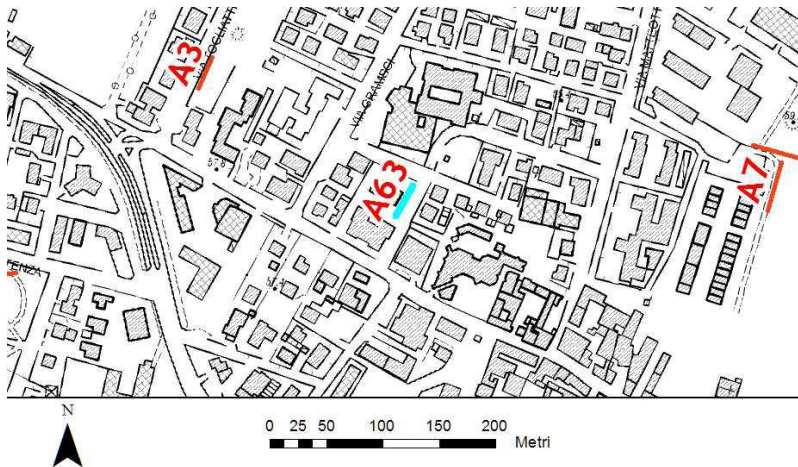
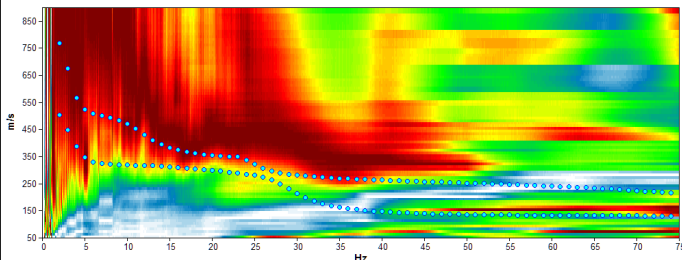
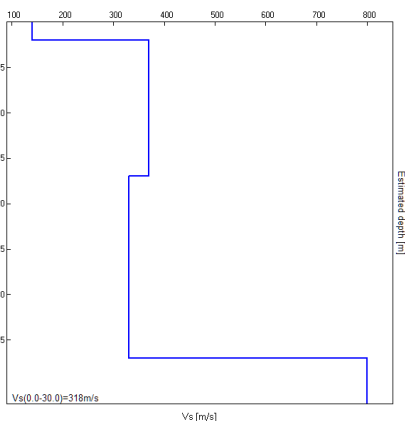




## Misura in array di tipo Re.Mi.

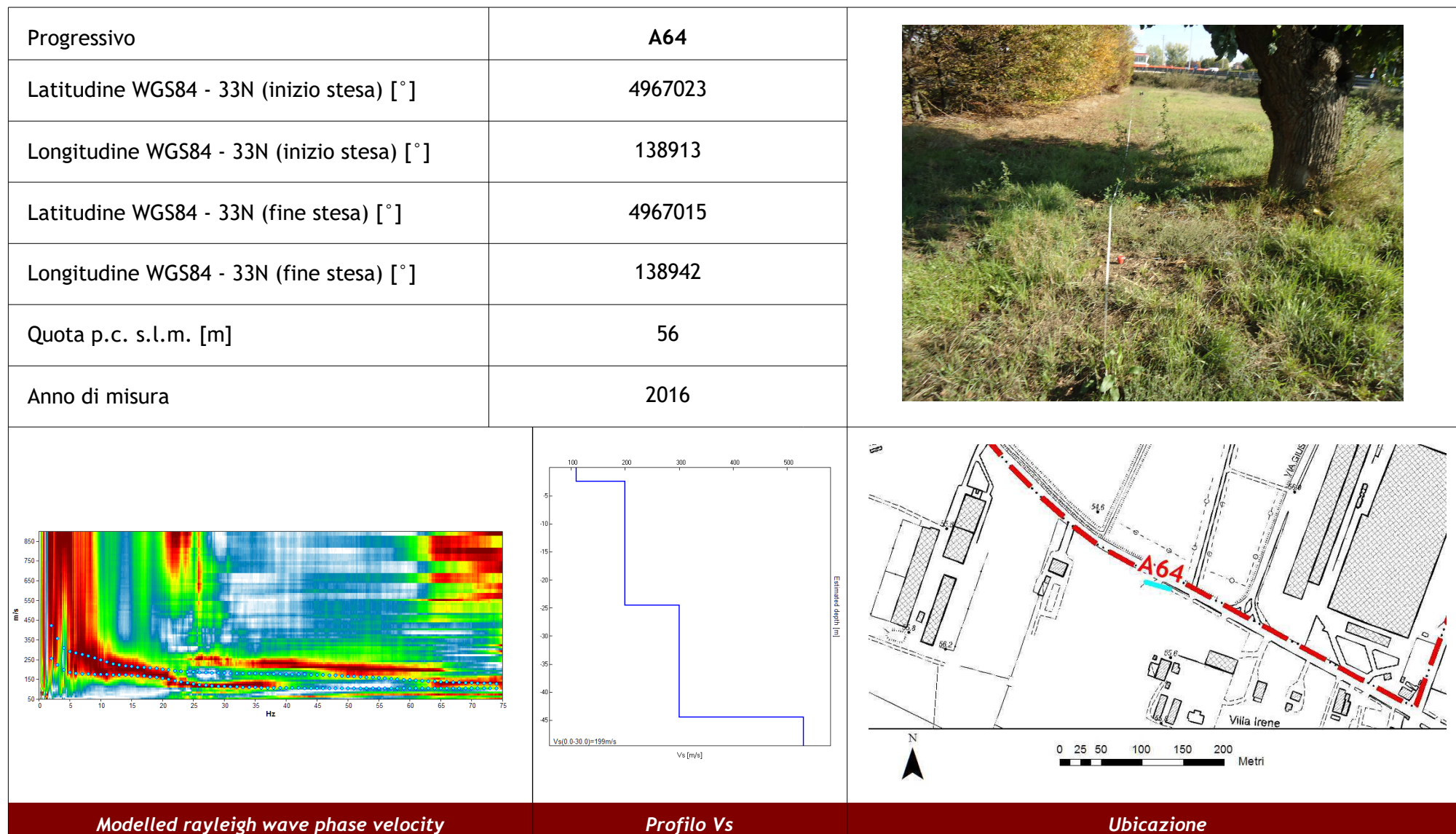


## Misura in array di tipo Re.Mi.


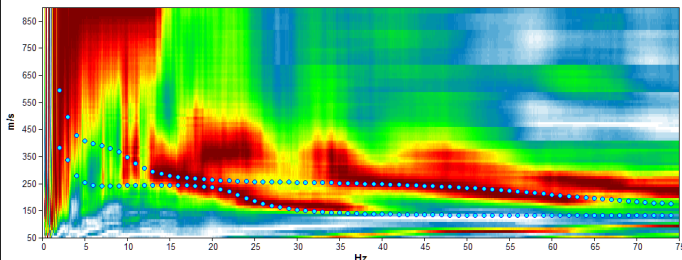
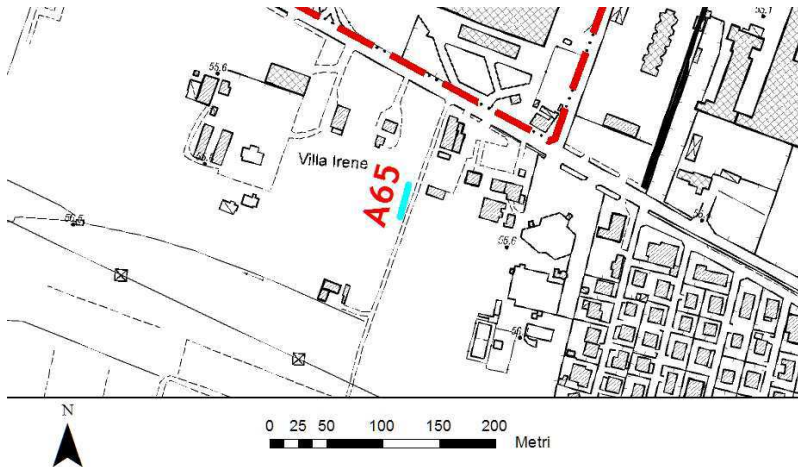
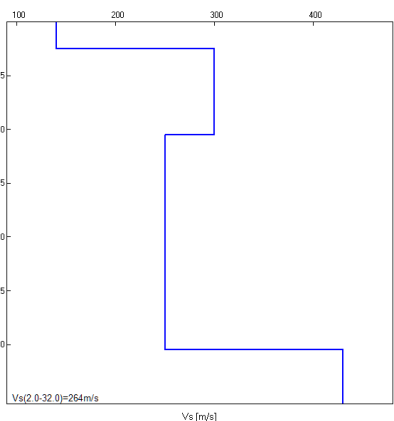
|   |         |  |
|---|---------|--|
| Progressivo   | A63     |   |
| Latitudine WGS84 - 33N (inizio stesa) [°]   | 4966596 |  |
| Longitudine WGS84 - 33N (inizio stesa) [°]  | 139824  |  |
| Latitudine WGS84 - 33N (fine stesa) [°]   | 4966622 |  |
| Longitudine WGS84 - 33N (fine stesa) [°]  | 139839  |  |
| Quota p.c. s.l.m. [m]   | 57      |  |
| Anno di misura  | 2016    |  |
|  |         |  |
|  |         |  |
| Modelled rayleigh wave phase velocity   |         | Ubicazione   |



## Misura in array di tipo Re.Mi.



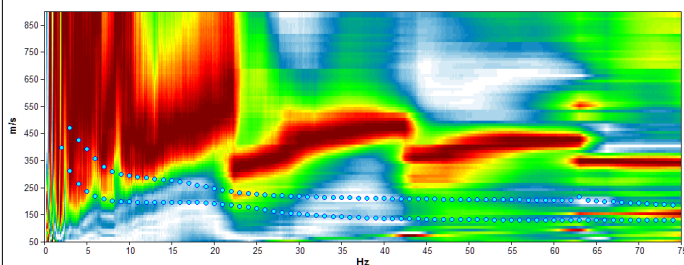
## Misura in array di tipo Re.Mi.

|   |         |  |
|---|---------|--|
| Progressivo   | A65     |   |
| Latitudine WGS84 - 33N (inizio stesa) [°]   | 4966833 |  |
| Longitudine WGS84 - 33N (inizio stesa) [°]  | 139112  |  |
| Latitudine WGS84 - 33N (fine stesa) [°]   | 4966804 |  |
| Longitudine WGS84 - 33N (fine stesa) [°]  | 139104  |  |
| Quota p.c. s.l.m. [m]   | 56      |  |
| Anno di misura  | 2016    |  |
|  |         |  |
|  |         |  |
| Modelled rayleigh wave phase velocity   |         | Ubicazione   |

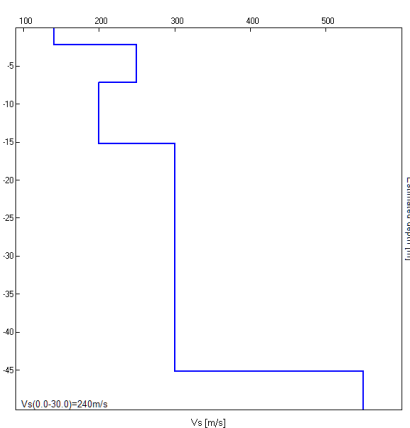


## Misura in array di tipo Re.Mi.

|  |         |
|--|---------|
| Progressivo                                | A66     |
| Latitudine WGS84 - 33N (inizio stesa) [°]  | 4966819 |
| Longitudine WGS84 - 33N (inizio stesa) [°] | 140064  |
| Latitudine WGS84 - 33N (fine stesa) [°]    | 4966848 |
| Longitudine WGS84 - 33N (fine stesa) [°]   | 140070  |
| Quota p.c. s.l.m. [m]                      | 55      |
| Anno di misura                             | 2016    |



Modelled rayleigh wave phase velocity


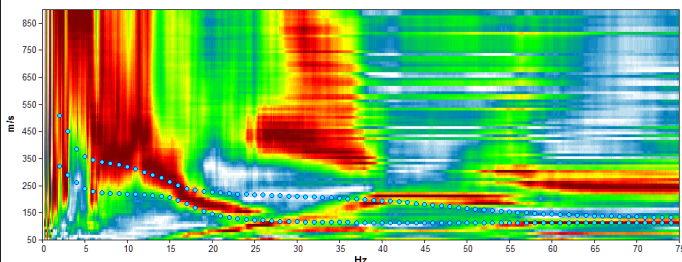
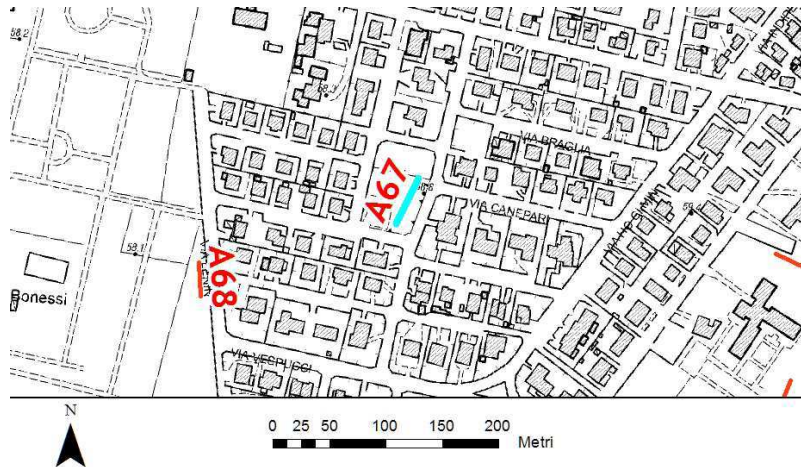
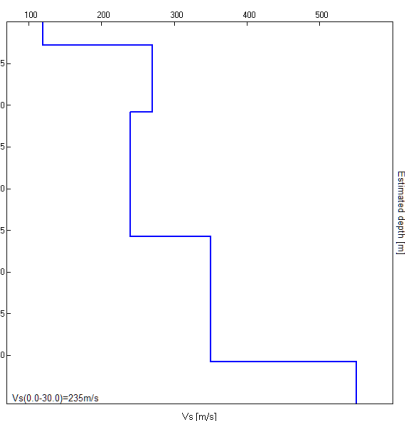


Profilo Vs



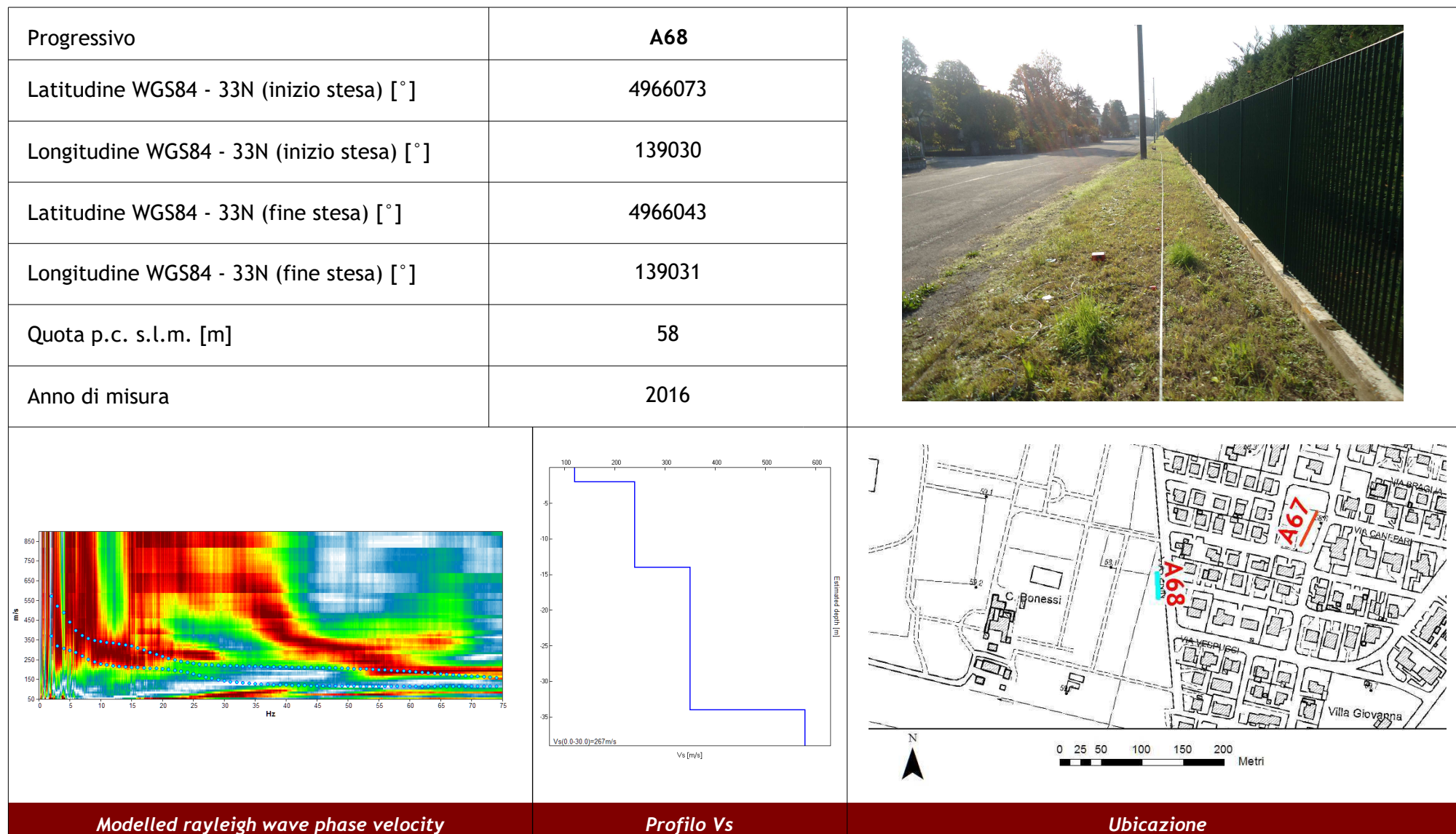
Ubicazione

## Misura in array di tipo Re.Mi.

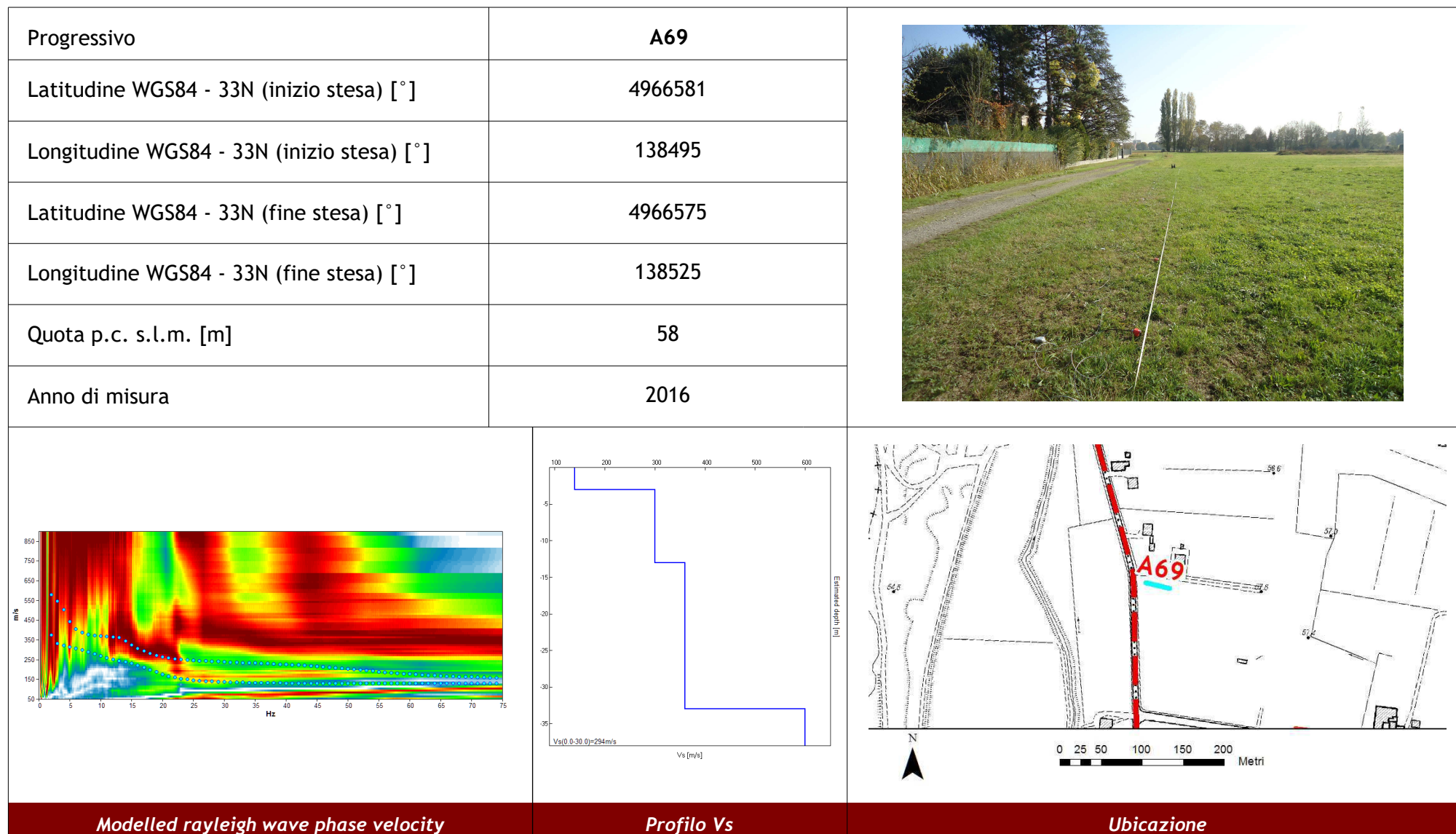
|   |         |  |
|---|---------|--|
| Progressivo   | A67     |   |
| Latitudine WGS84 - 33N (inizio stesa) [°]   | 4966107 |  |
| Longitudine WGS84 - 33N (inizio stesa) [°]  | 139204  |  |
| Latitudine WGS84 - 33N (fine stesa) [°]   | 4966147 |  |
| Longitudine WGS84 - 33N (fine stesa) [°]  | 139224  |  |
| Quota p.c. s.l.m. [m]   | 59      |  |
| Anno di misura  | 2016    |  |
|  |         |  |
|  |         |  |
| Modelled rayleigh wave phase velocity   |         | Ubicazione   |



## Misura in array di tipo Re.Mi.

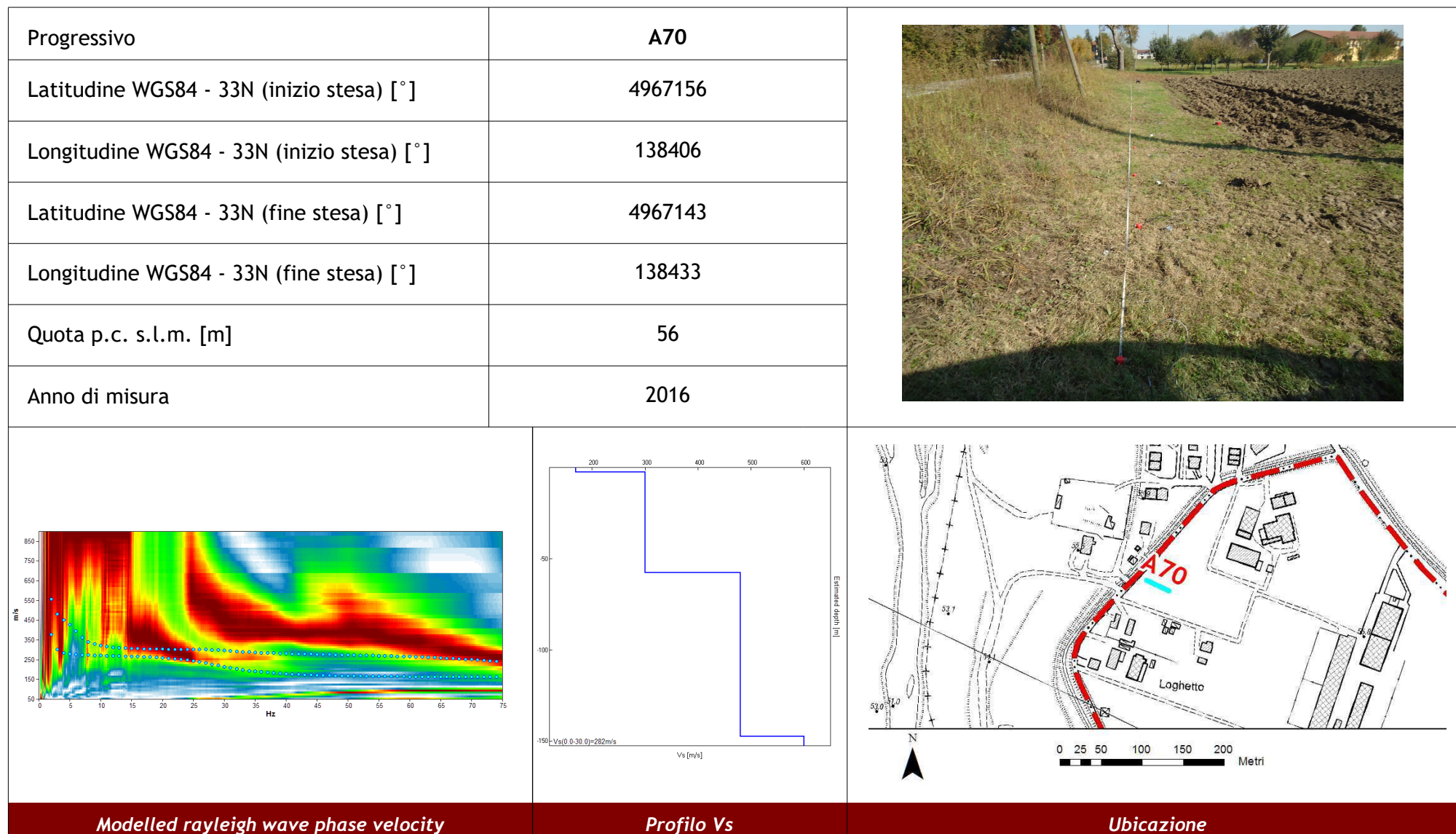


## Misura in array di tipo Re.Mi.

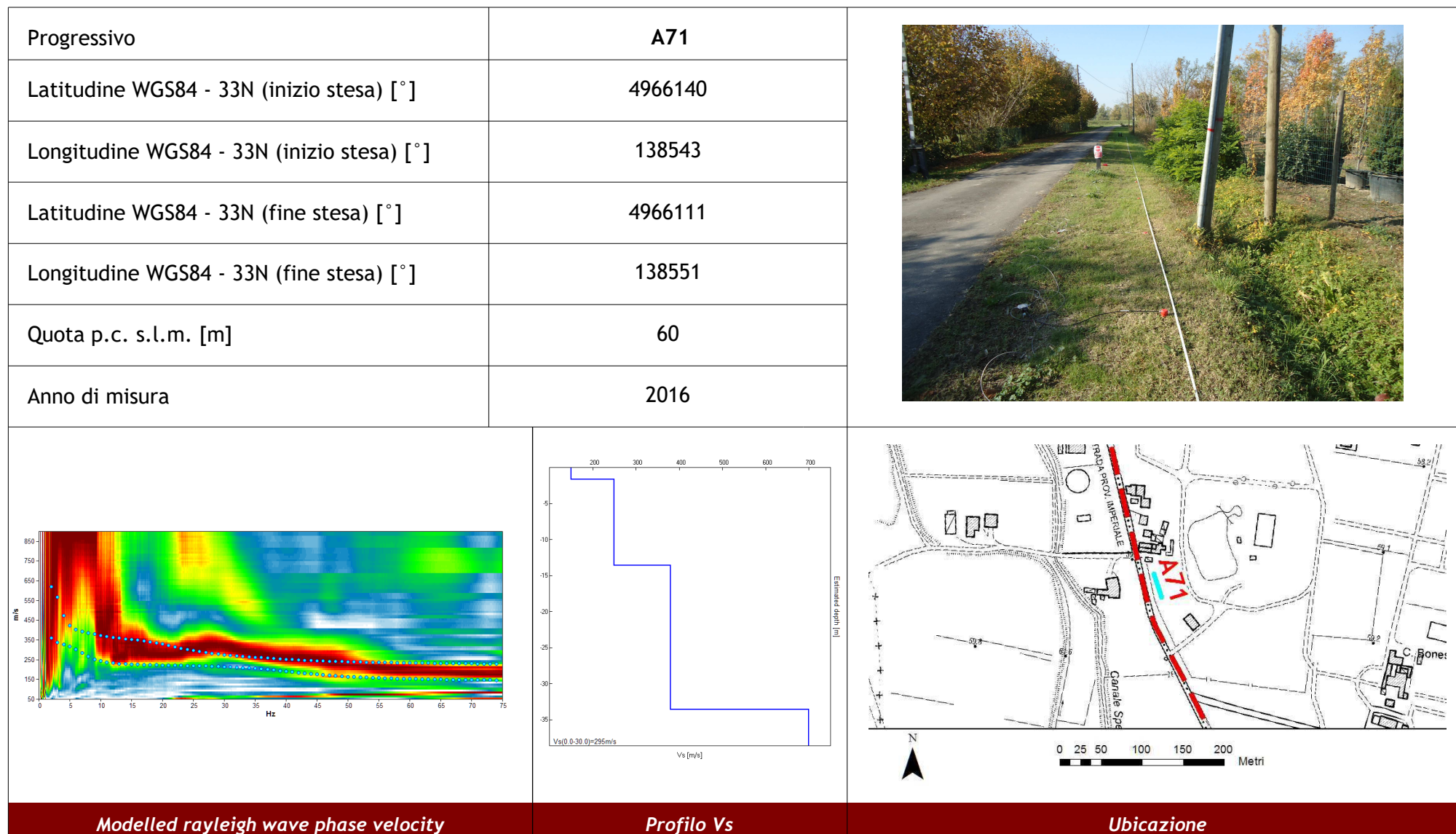




## Misura in array di tipo Re.Mi.

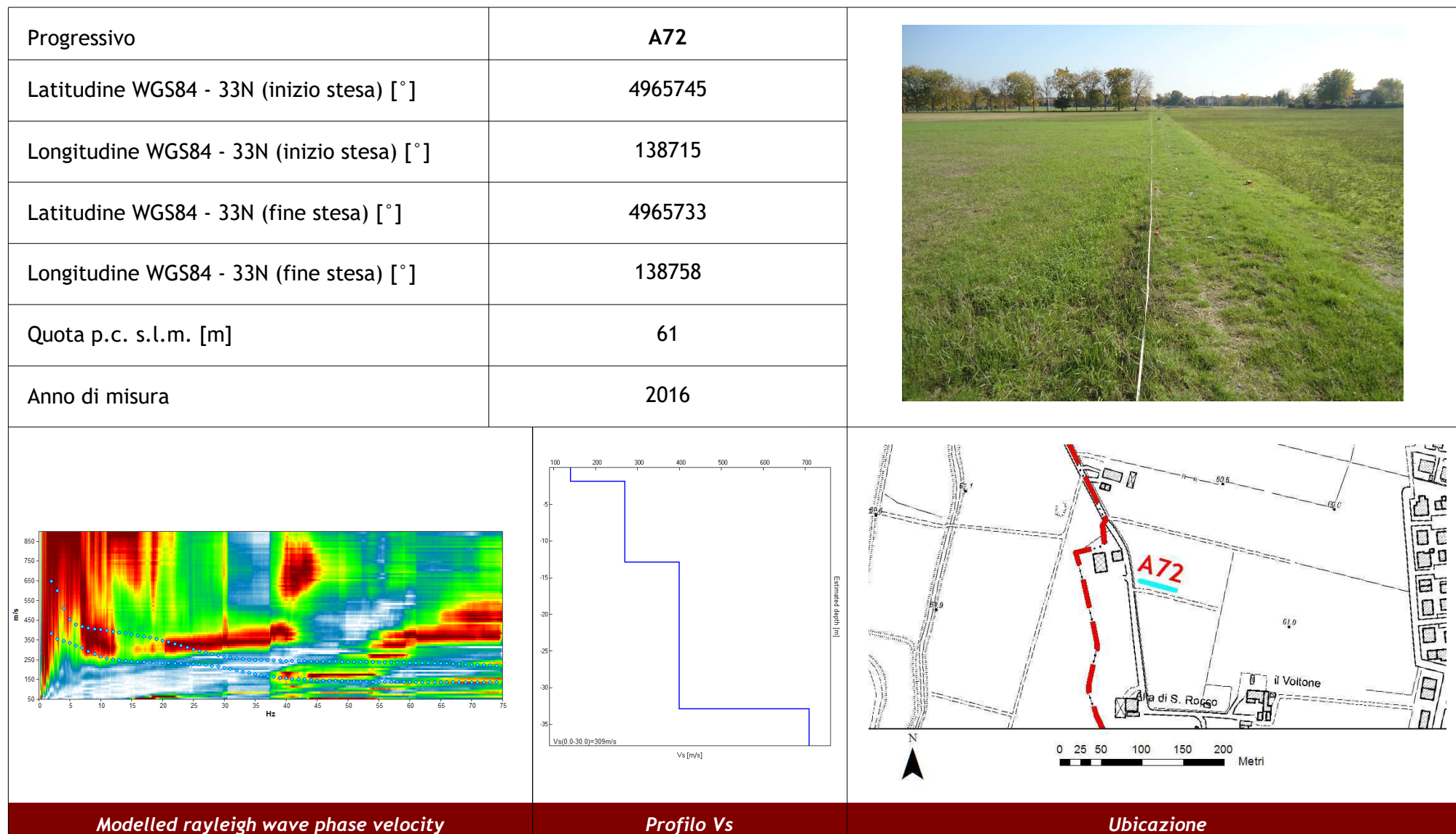


## Misura in array di tipo Re.Mi.

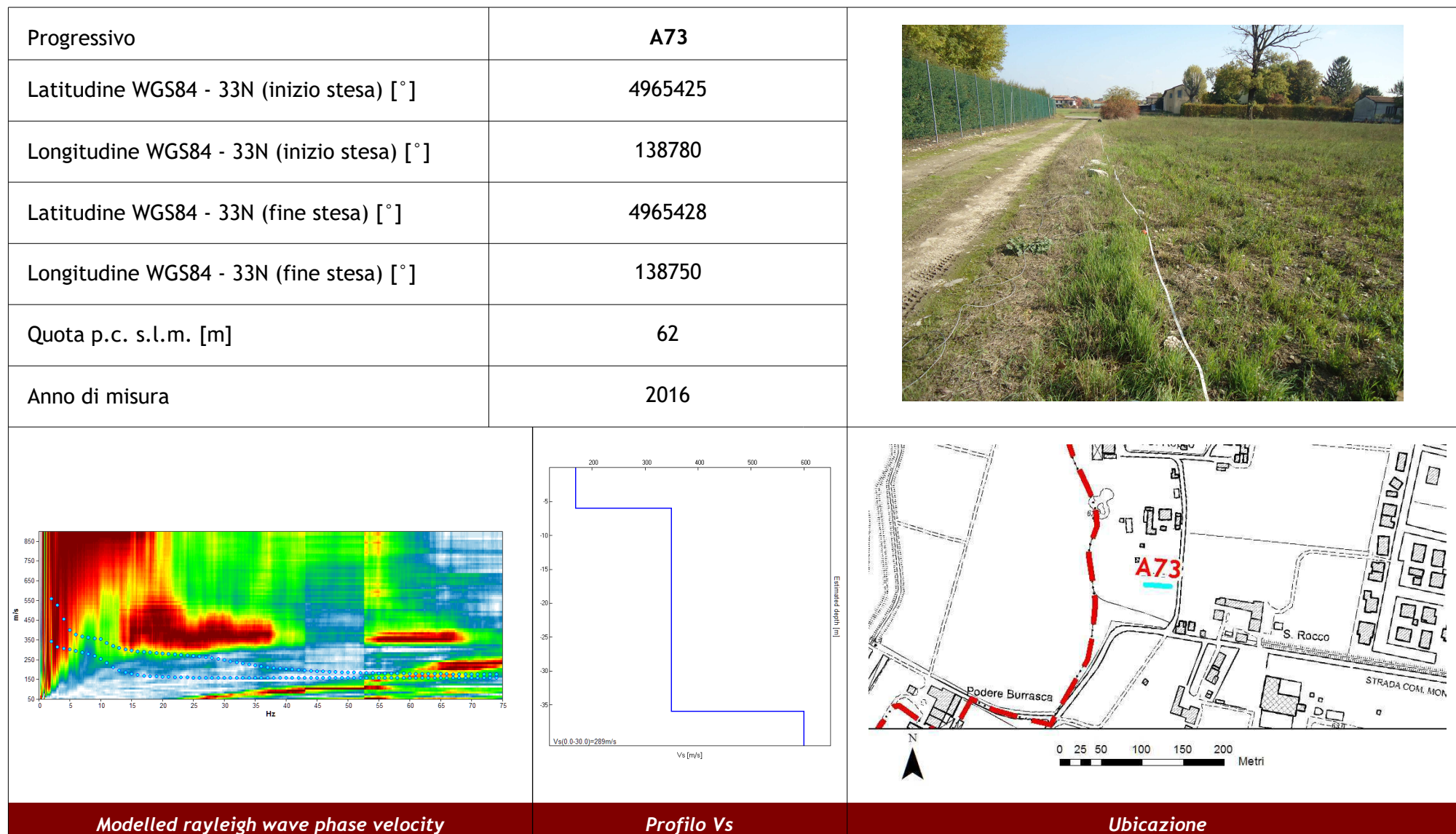




## Misura in array di tipo Re.Mi.


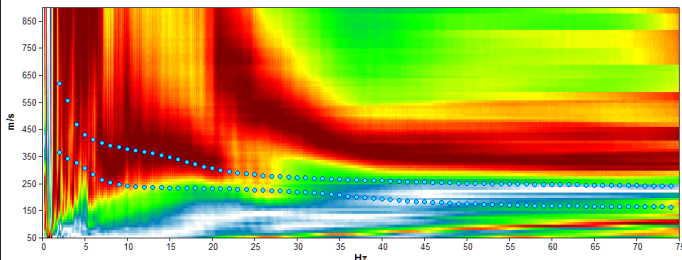
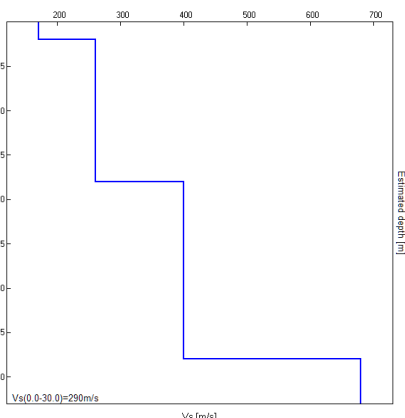
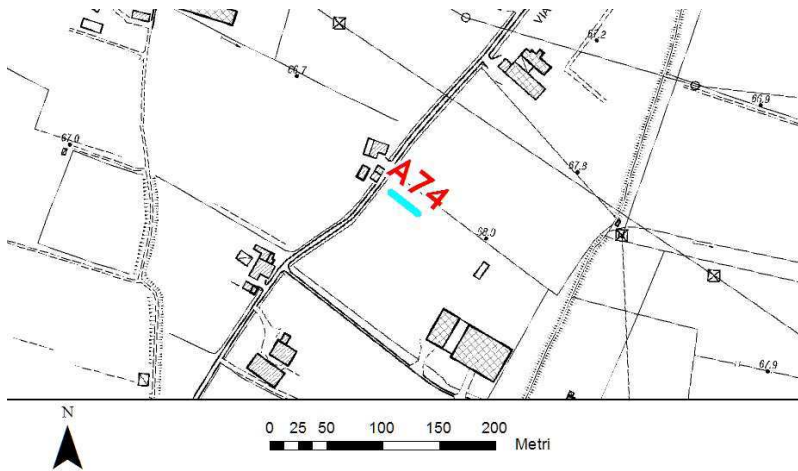


## Misura in array di tipo Re.Mi.

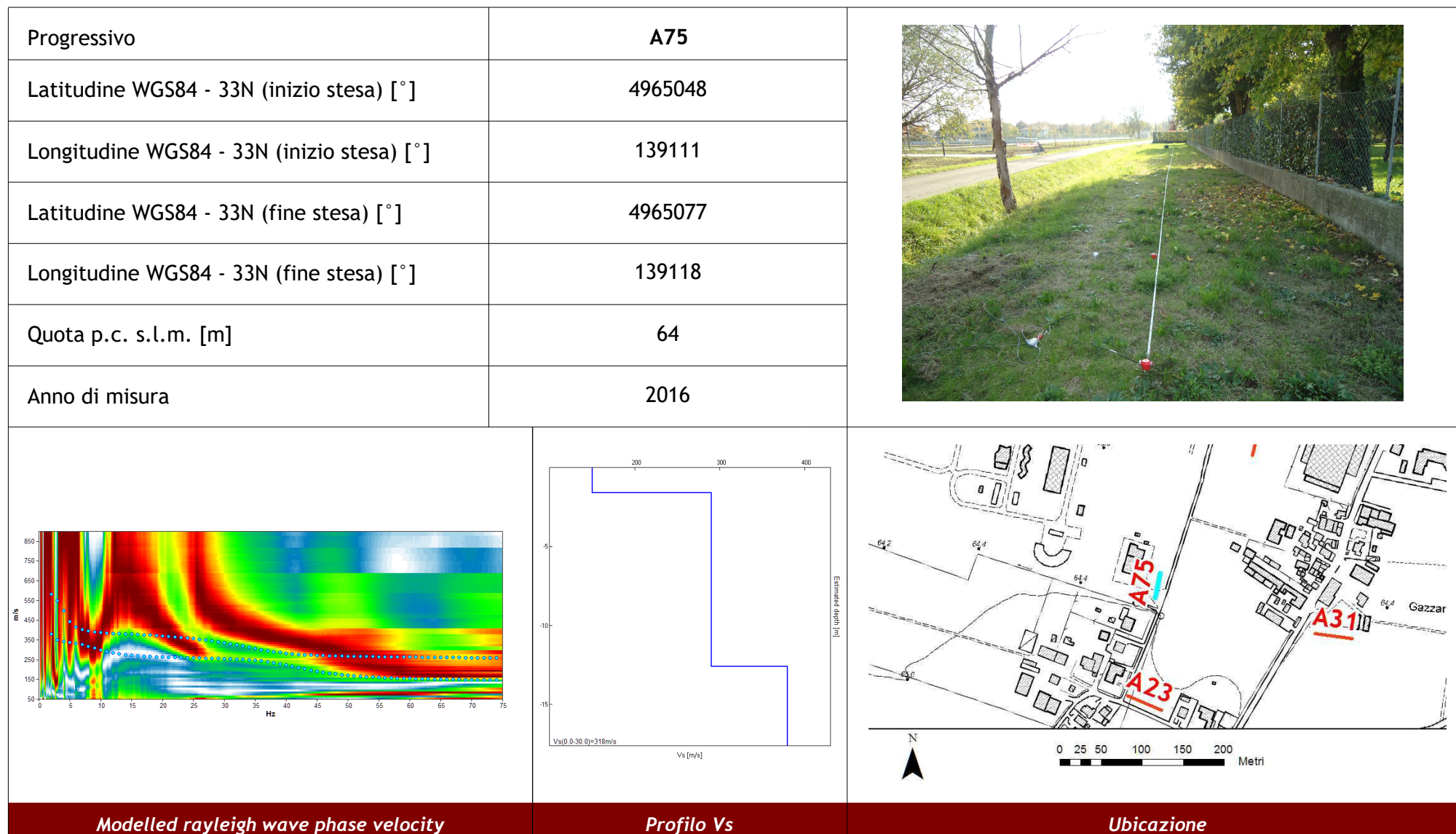




## Misura in array di tipo Re.Mi.

|  |         |   |
|--|---------|---|
| Progressivo  | A74     |  |
| Latitudine WGS84 - 33N (inizio stesa) [°]  | 4964516 |   |
| Longitudine WGS84 - 33N (inizio stesa) [°]   | 138718  |   |
| Latitudine WGS84 - 33N (fine stesa) [°]  | 4964497 |   |
| Longitudine WGS84 - 33N (fine stesa) [°]   | 138742  |   |
| Quota p.c. s.l.m. [m]  | 68      |   |
| Anno di misura   | 2016    |   |
|   |         |  |
| <i>Modelled rayleigh wave phase velocity</i>   |         |   |
|  |         |   |
| <i>Ubicazione</i>  |         |   |

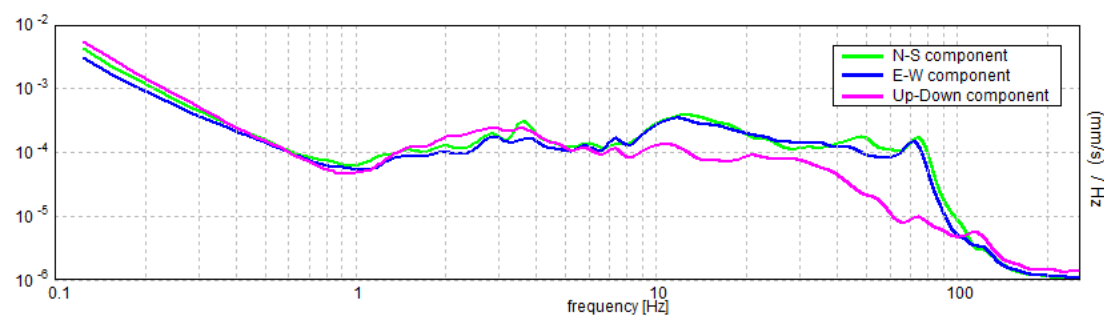
## Misura in array di tipo Re.Mi.



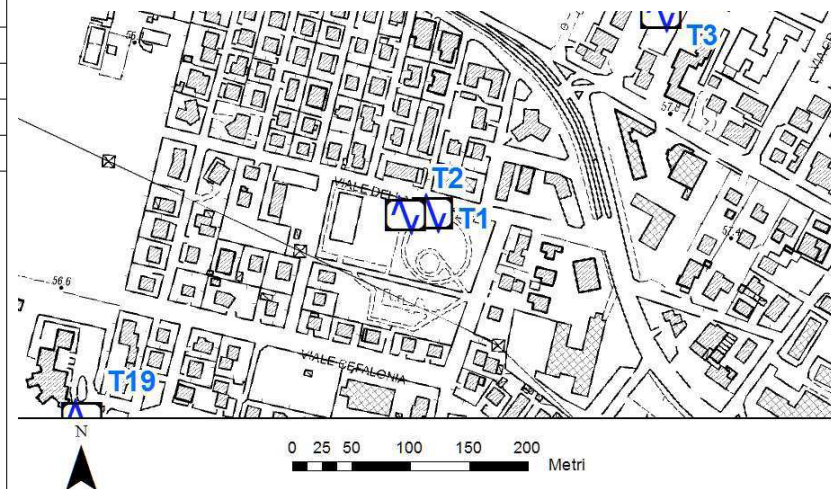


## Misura sismica H.V.S.R.

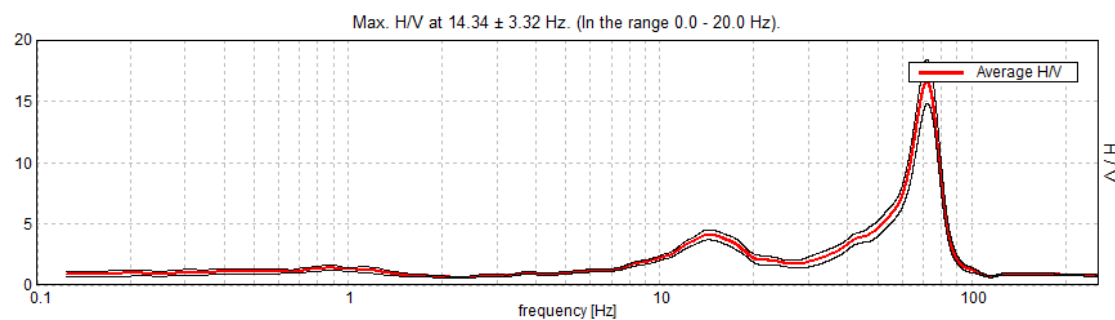
|  |         |        |
|--|---------|--------|
| Progressivo  | T1      |        |
| Latitudine e Longitudine WGS84 - 33N [°]                     | 4966553 | 139464 |
| Quota p.c. s.l.m. [m]  | 58      |        |
| Frequenza di risonanza caratteristica tra 0,1 e 20,0 Hz [Hz] | 14.34   |        |
| Condizione di amplificazione tra 0,1 e 20,0 Hz               | SI      |        |
| Presenza di artefatti  | NO      |        |



Andamento delle tre componenti del moto sismico



Ubicazione



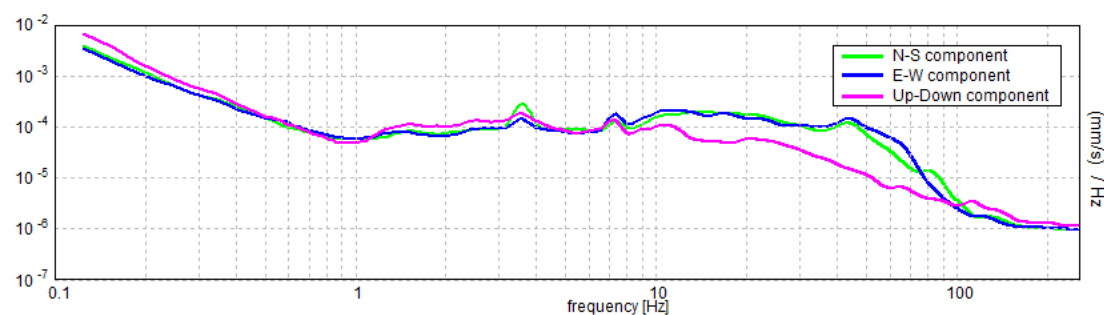
Andamento della curva H/V



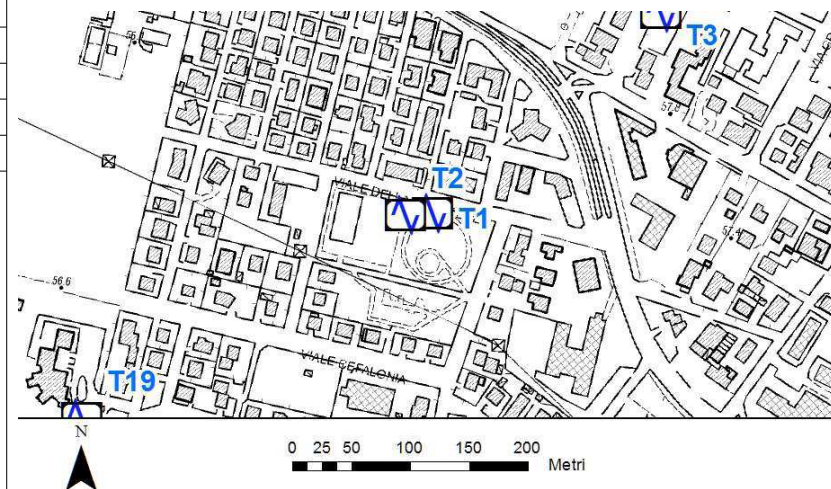
Foto

## Misura sismica H.V.S.R.

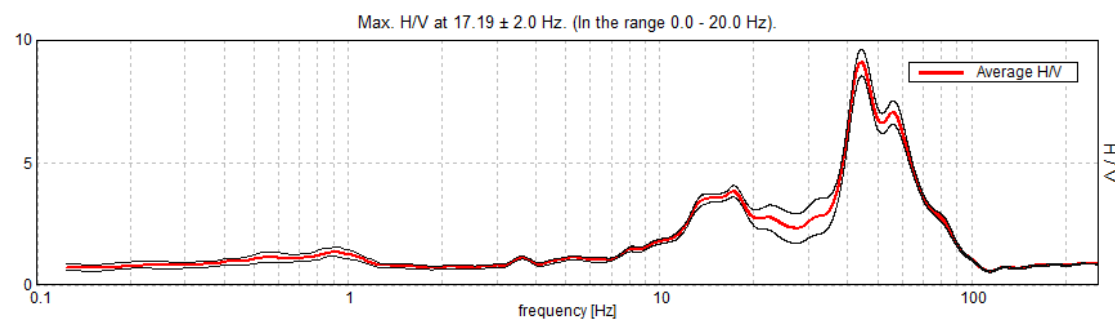
|  |         |        |
|--|---------|--------|
| Progressivo  | T2      |        |
| Latitudine e Longitudine WGS84 - 33N [°]                     | 4966551 | 139441 |
| Quota p.c. s.l.m. [m]  | 58      |        |
| Frequenza di risonanza caratteristica tra 0,1 e 20,0 Hz [Hz] | 17.19   |        |
| Condizione di amplificazione tra 0,1 e 20,0 Hz               | SI      |        |
| Presenza di artefatti  | NO      |        |



Andamento delle tre componenti del moto sismico



Ubicazione



Andamento della curva H/V

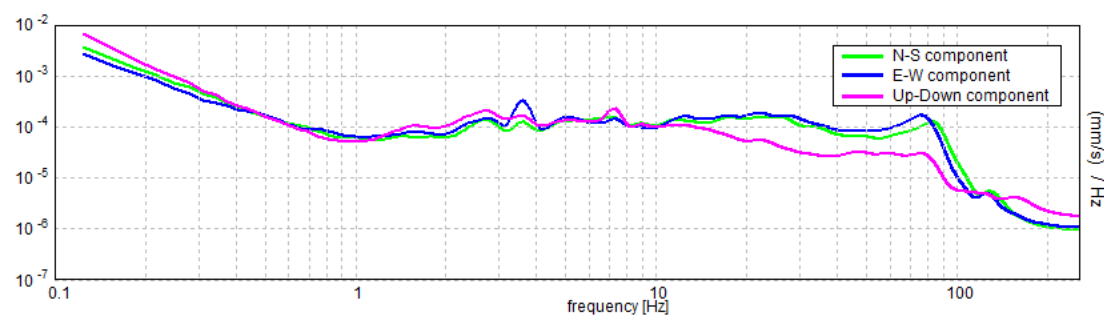


Foto

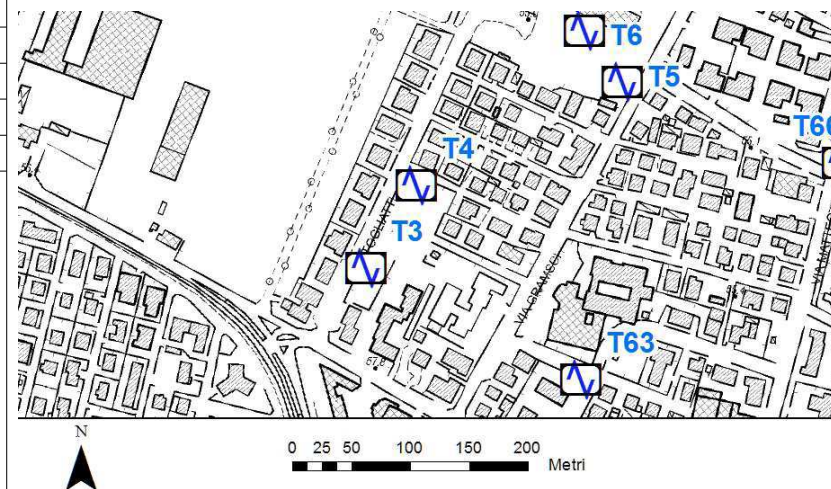


## Misura sismica H.V.S.R.

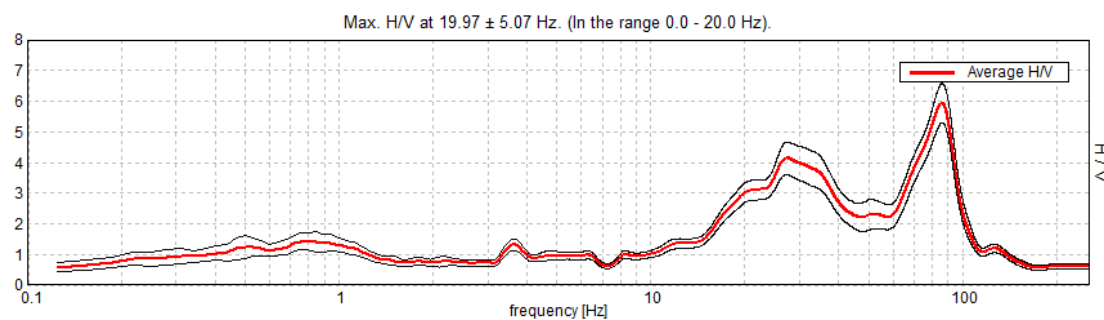
|  |         |        |
|--|---------|--------|
| Progressivo  | T3      |        |
| Latitudine e Longitudine WGS84 - 33N [°]                     | 4966722 | 139657 |
| Quota p.c. s.l.m. [m]  | 58      |        |
| Frequenza di risonanza caratteristica tra 0,1 e 20,0 Hz [Hz] | 19.97   |        |
| Condizione di amplificazione tra 0,1 e 20,0 Hz               | SI      |        |
| Presenza di artefatti  | SI      |        |



Andamento delle tre componenti del moto sismico



Ubicazione



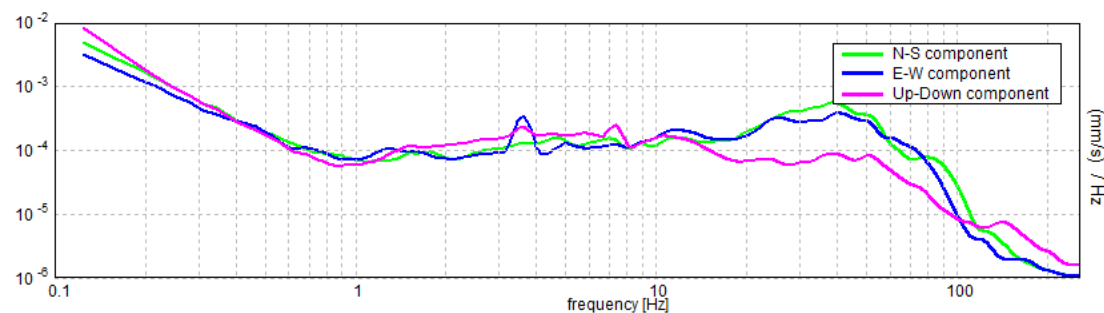
Andamento della curva H/V



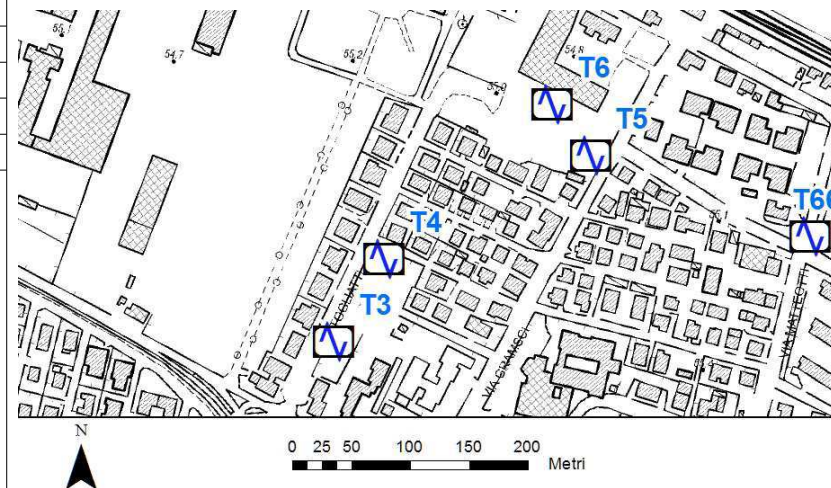
Foto

## Misura sismica H.V.S.R.

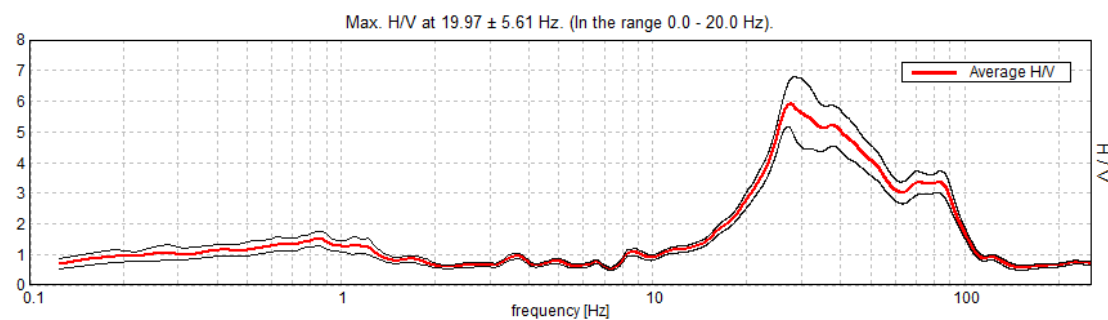
|  |         |        |
|--|---------|--------|
| Progressivo  | T4      |        |
| Latitudine e Longitudine WGS84 - 33N [°]                     | 4966792 | 139700 |
| Quota p.c. s.l.m. [m]  | 58      |        |
| Frequenza di risonanza caratteristica tra 0,1 e 20,0 Hz [Hz] | 19.97   |        |
| Condizione di amplificazione tra 0,1 e 20,0 Hz               | SI      |        |
| Presenza di artefatti  | SI      |        |



Andamento delle tre componenti del moto sismico



Ubicazione



Andamento della curva H/V

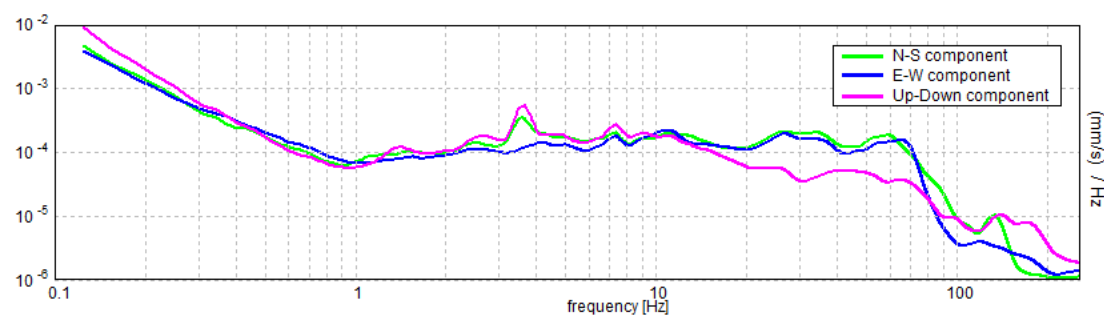


Foto

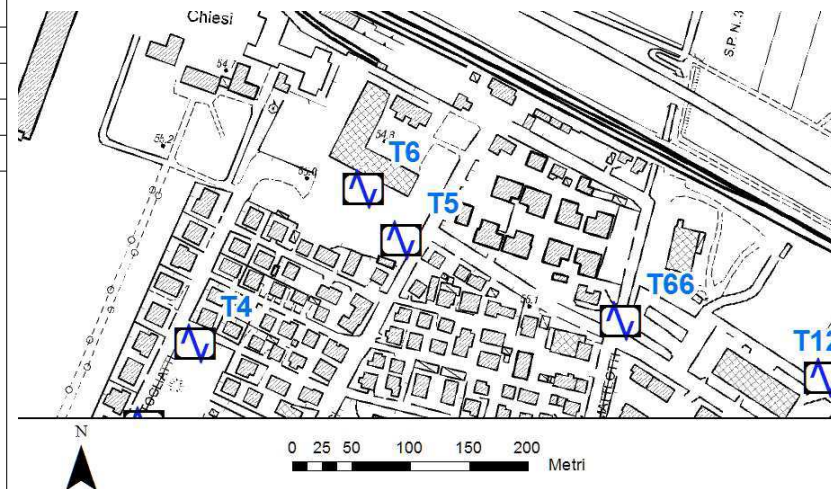


## Misura sismica H.V.S.R.

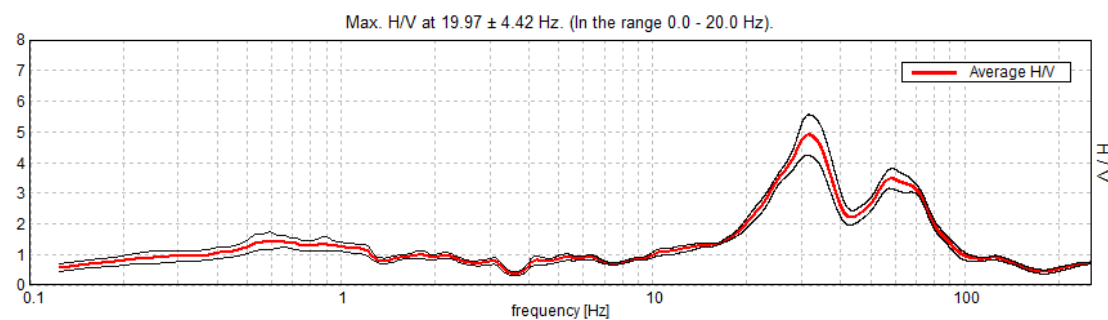
|  |         |        |
|--|---------|--------|
| Progressivo  | T5      |        |
| Latitudine e Longitudine WGS84 - 33N [°]                     | 4966880 | 139875 |
| Quota p.c. s.l.m. [m]  | 55      |        |
| Frequenza di risonanza caratteristica tra 0,1 e 20,0 Hz [Hz] | 19.97   |        |
| Condizione di amplificazione tra 0,1 e 20,0 Hz               | SI      |        |
| Presenza di artefatti  | SI      |        |



Andamento delle tre componenti del moto sismico



Ubicazione



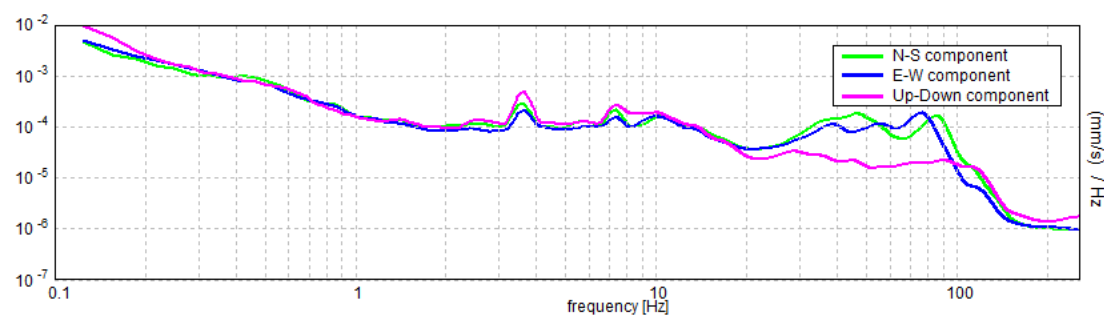
Andamento della curva H/V



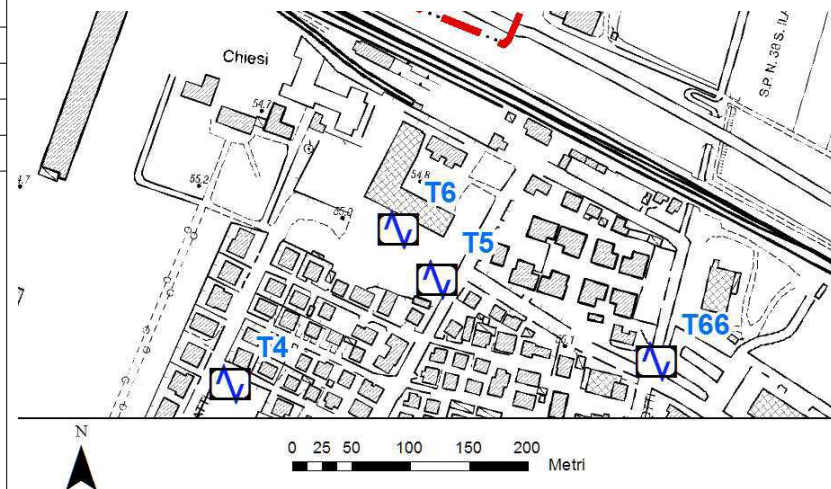
Foto

## Misura sismica H.V.S.R.

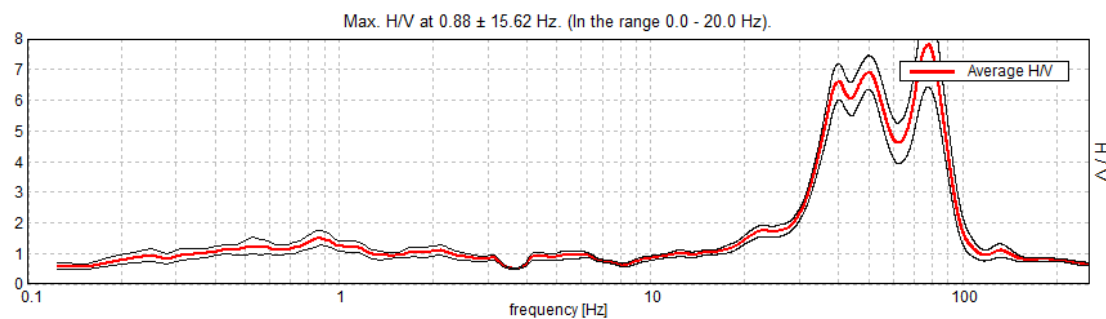
|  |         |        |
|--|---------|--------|
| Progressivo  | T6      |        |
| Latitudine e Longitudine WGS84 - 33N [°]                     | 4966923 | 139843 |
| Quota p.c. s.l.m. [m]  | 55      |        |
| Frequenza di risonanza caratteristica tra 0,1 e 20,0 Hz [Hz] | 0.88    |        |
| Condizione di amplificazione tra 0,1 e 20,0 Hz               | NO      |        |
| Presenza di artefatti  | SI      |        |



Andamento delle tre componenti del moto sismico



Ubicazione



Andamento della curva H/V

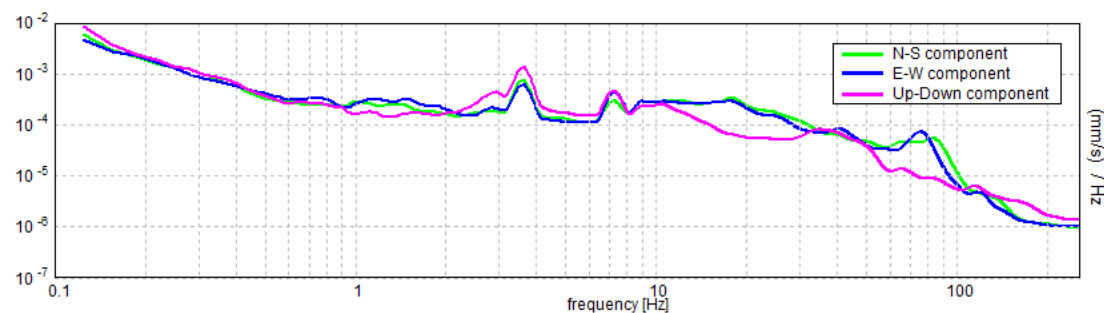


Foto

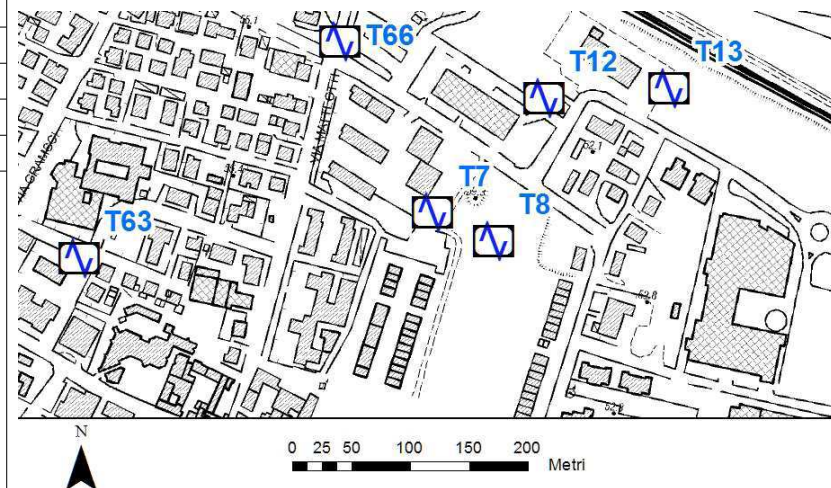


## Misura sismica H.V.S.R.

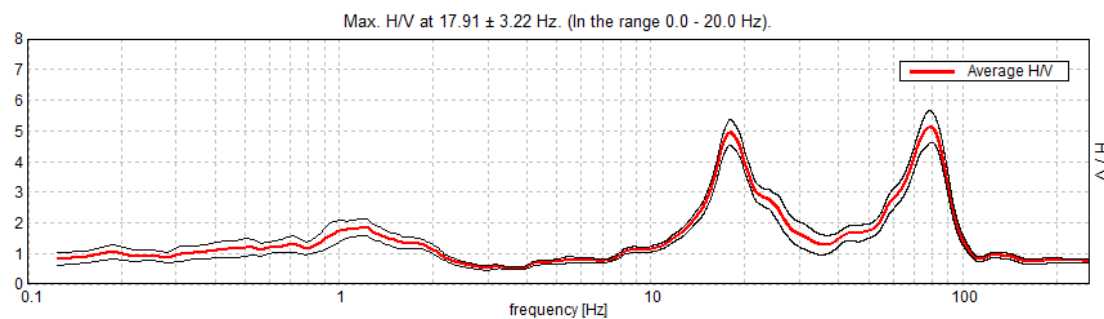
|  |         |        |
|--|---------|--------|
| Progressivo  | T7      |        |
| Latitudine e Longitudine WGS84 - 33N [°]                     | 4966666 | 140140 |
| Quota p.c. s.l.m. [m]  | 59      |        |
| Frequenza di risonanza caratteristica tra 0,1 e 20,0 Hz [Hz] | 17.91   |        |
| Condizione di amplificazione tra 0,1 e 20,0 Hz               | SI      |        |
| Presenza di artefatti  | SI      |        |



Andamento delle tre componenti del moto sismico



Ubicazione



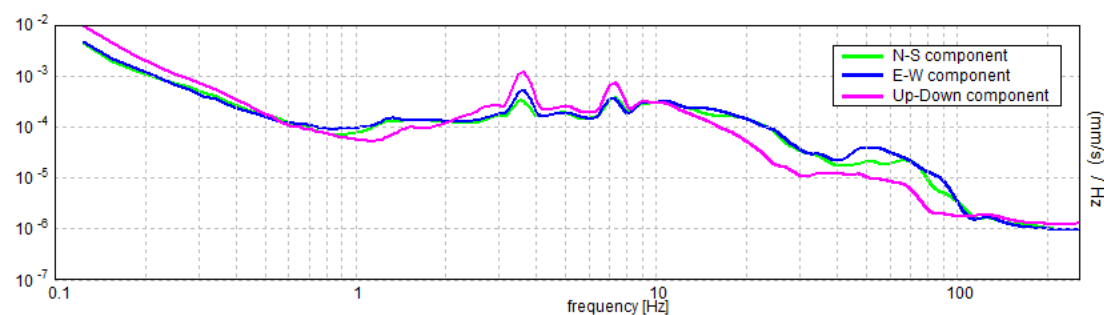
Andamento della curva H/V



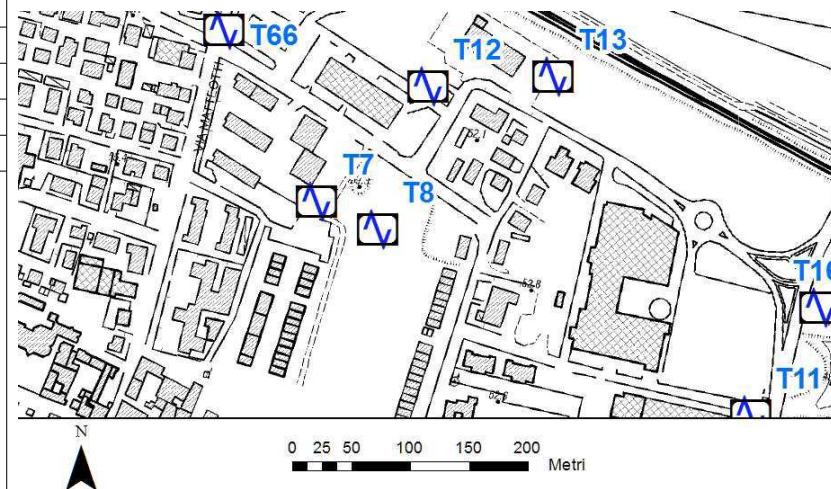
Foto

## Misura sismica H.V.S.R.

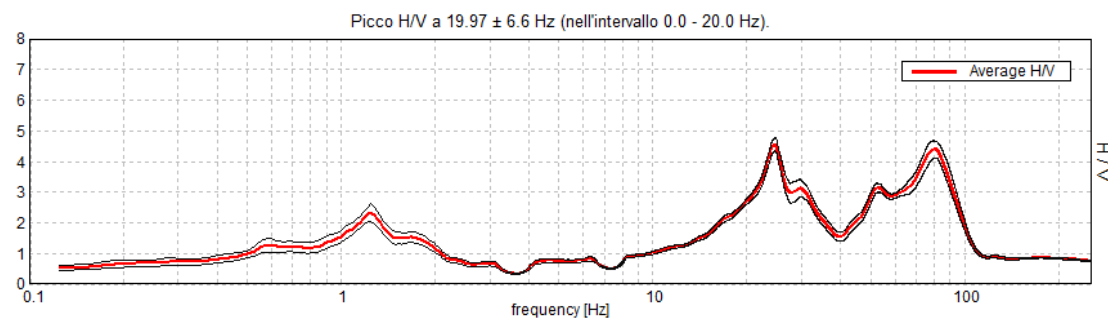
|  |         |        |
|--|---------|--------|
| Progressivo  | T8      |        |
| Latitudine e Longitudine WGS84 - 33N [°]                     | 4966642 | 140191 |
| Quota p.c. s.l.m. [m]  | 59      |        |
| Frequenza di risonanza caratteristica tra 0,1 e 20,0 Hz [Hz] | 19.97   |        |
| Condizione di amplificazione tra 0,1 e 20,0 Hz               | SI      |        |
| Presenza di artefatti  | SI      |        |



Andamento delle tre componenti del moto sismico



Ubicazione



Andamento della curva H/V

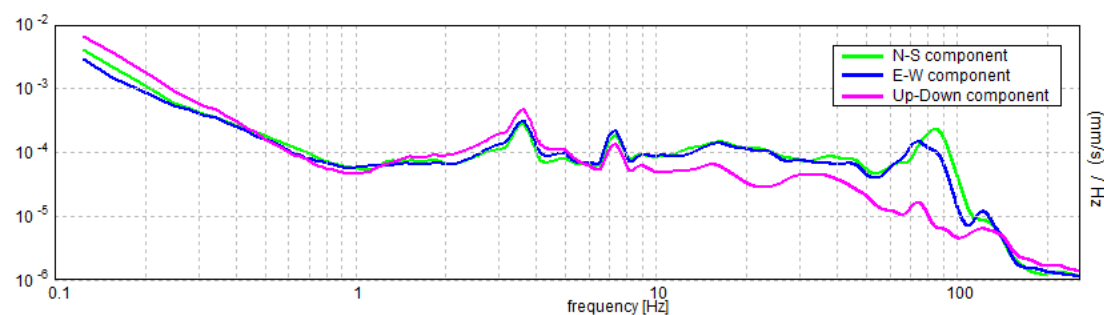


Foto

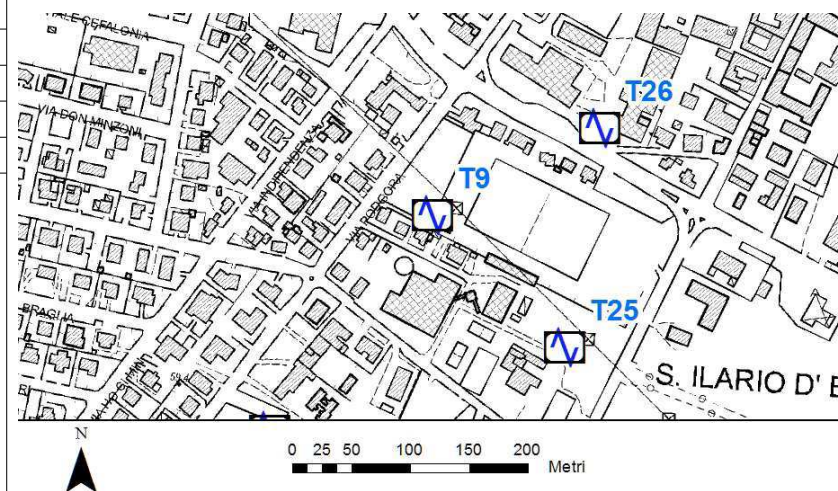


## Misura sismica H.V.S.R.

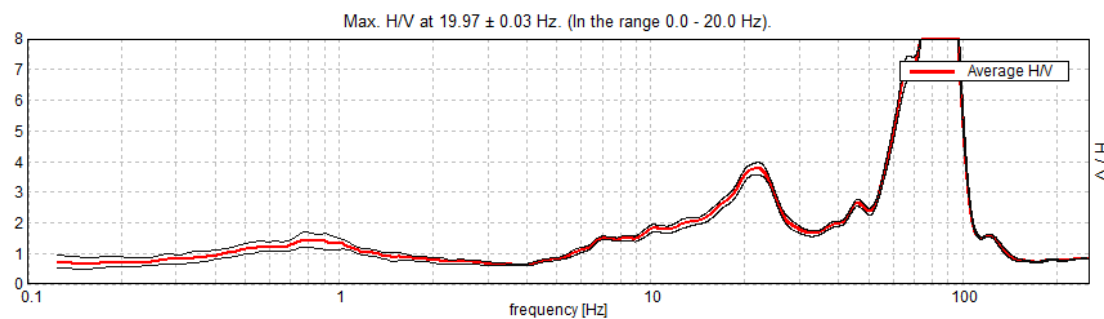
|  |         |        |
|--|---------|--------|
| Progressivo  | T9      |        |
| Latitudine e Longitudine WGS84 - 33N [°]                     | 4966259 | 139681 |
| Quota p.c. s.l.m. [m]  | 59      |        |
| Frequenza di risonanza caratteristica tra 0,1 e 20,0 Hz [Hz] | 19.97   |        |
| Condizione di amplificazione tra 0,1 e 20,0 Hz               | SI      |        |
| Presenza di artefatti  | SI      |        |



Andamento delle tre componenti del moto sismico



Ubicazione



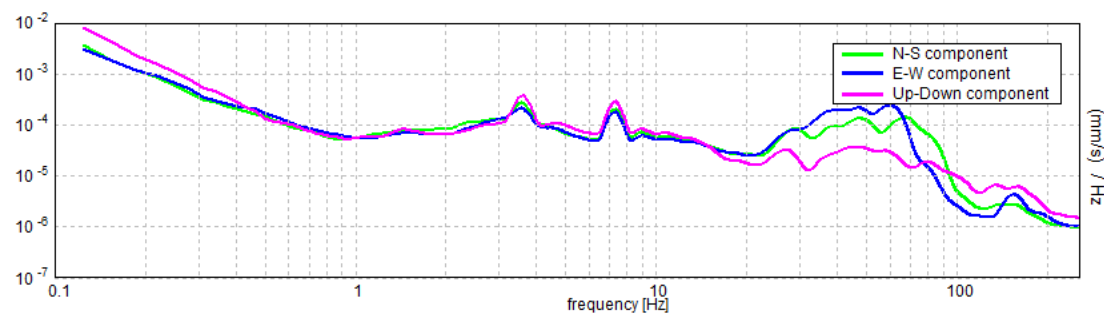
Andamento della curva H/V



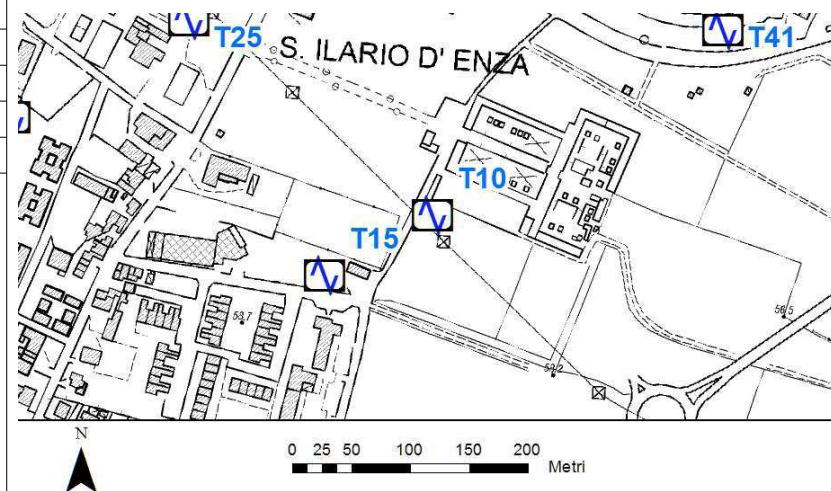
Foto

## Misura sismica H.V.S.R.

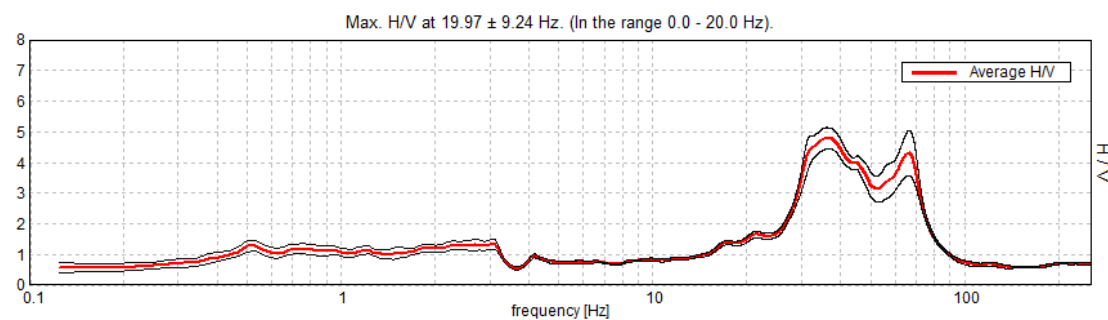
|  |         |        |
|--|---------|--------|
| Progressivo  | T10     |        |
| Latitudine e Longitudine WGS84 - 33N [°]                     | 4965982 | 140000 |
| Quota p.c. s.l.m. [m]  | 58      |        |
| Frequenza di risonanza caratteristica tra 0,1 e 20,0 Hz [Hz] | 19.97   |        |
| Condizione di amplificazione tra 0,1 e 20,0 Hz               | NO      |        |
| Presenza di artefatti  | SI      |        |



Andamento delle tre componenti del moto sismico



Ubicazione



Andamento della curva H/V

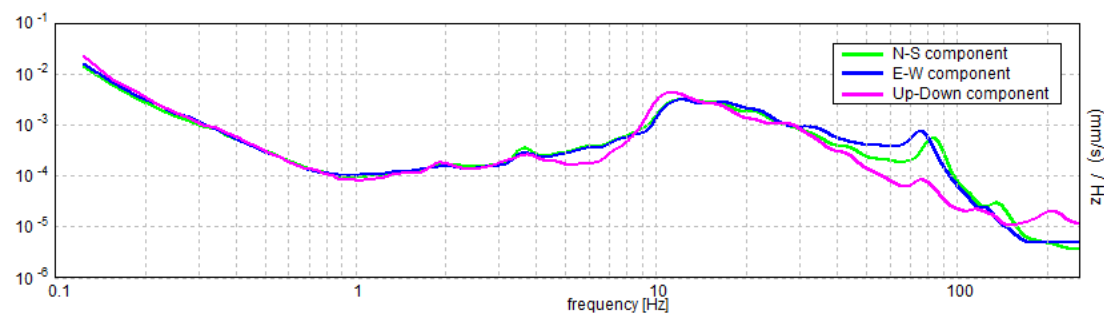


Foto

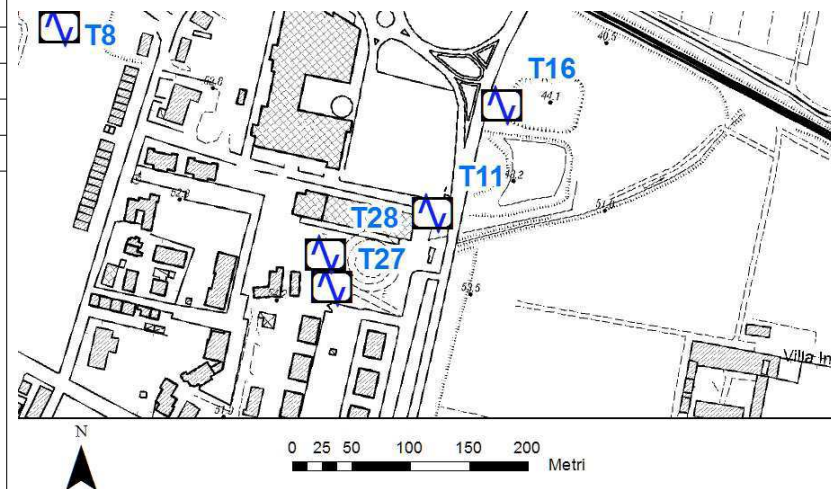


## Misura sismica H.V.S.R.

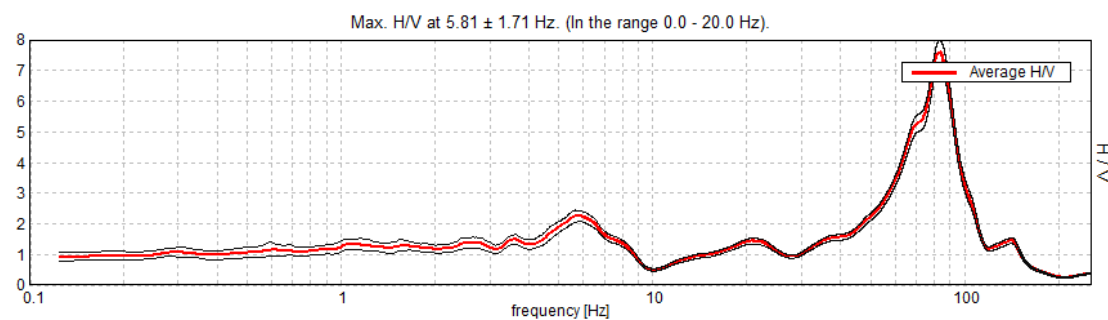
|  |         |        |
|--|---------|--------|
| Progressivo  | T11     |        |
| Latitudine e Longitudine WGS84 - 33N [°]                     | 4966484 | 140508 |
| Quota p.c. s.l.m. [m]  | 54      |        |
| Frequenza di risonanza caratteristica tra 0,1 e 20,0 Hz [Hz] | 5.81    |        |
| Condizione di amplificazione tra 0,1 e 20,0 Hz               | SI      |        |
| Presenza di artefatti  | NO      |        |



Andamento delle tre componenti del moto sismico



Ubicazione



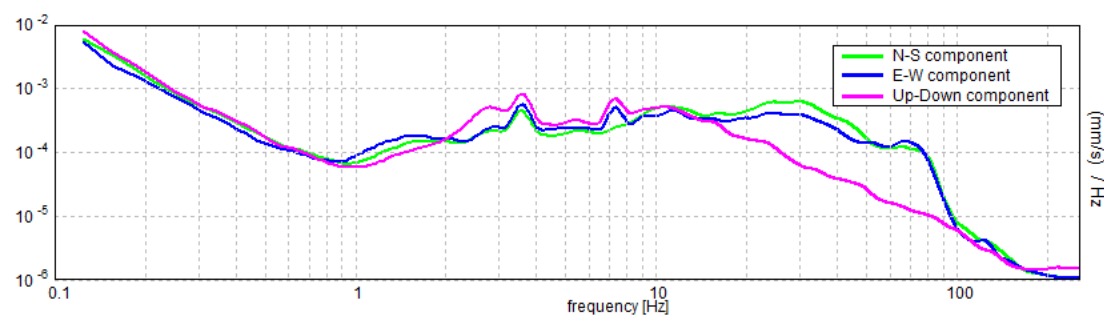
Andamento della curva H/V



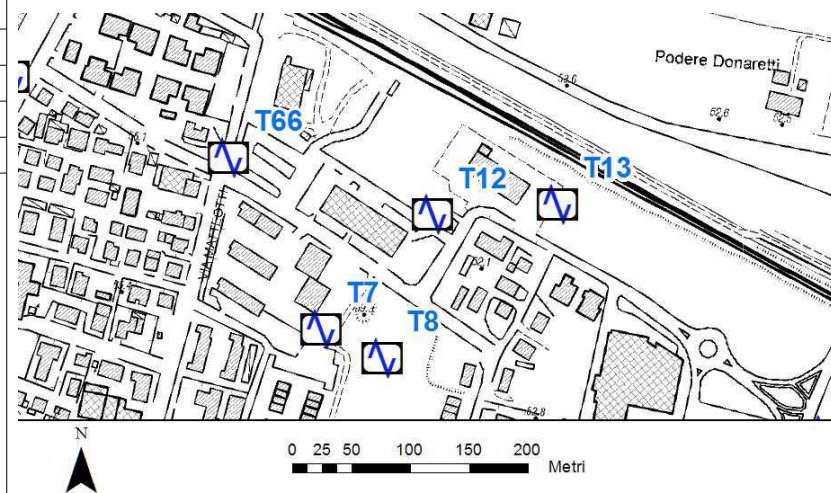
Foto

## Misura sismica H.V.S.R.

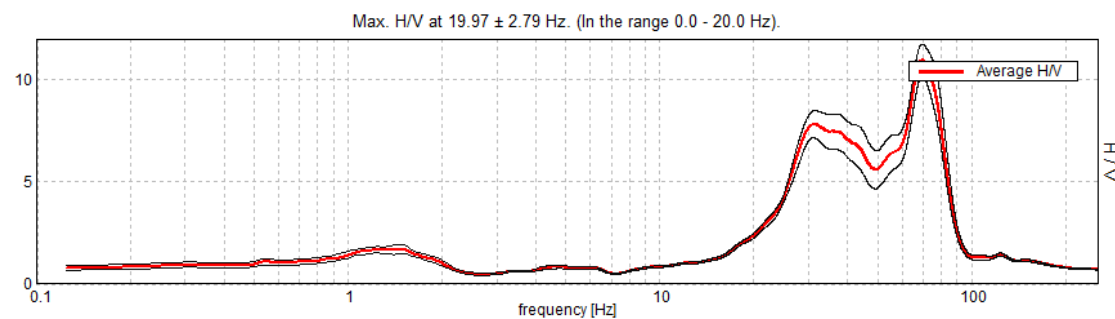
|  |         |        |
|--|---------|--------|
| Progressivo  | T12     |        |
| Latitudine e Longitudine WGS84 - 33N [°]                     | 4966763 | 140234 |
| Quota p.c. s.l.m. [m]  | 52      |        |
| Frequenza di risonanza caratteristica tra 0,1 e 20,0 Hz [Hz] | 19.97   |        |
| Condizione di amplificazione tra 0,1 e 20,0 Hz               | SI      |        |
| Presenza di artefatti  | SI      |        |



Andamento delle tre componenti del moto sismico



Ubicazione



Andamento della curva H/V

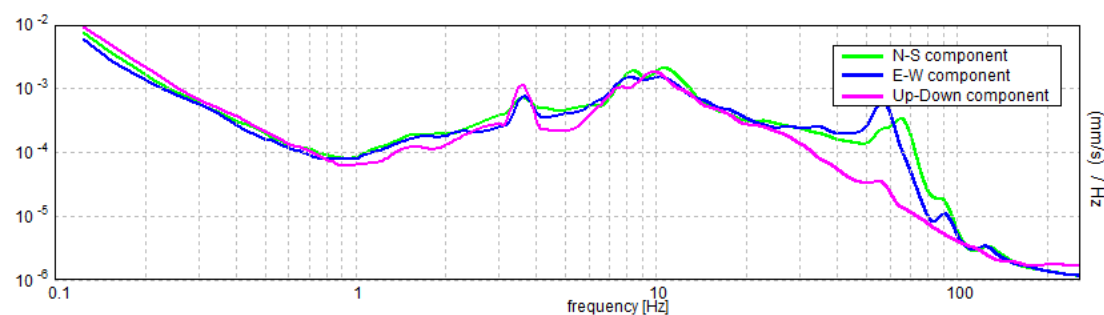


Foto

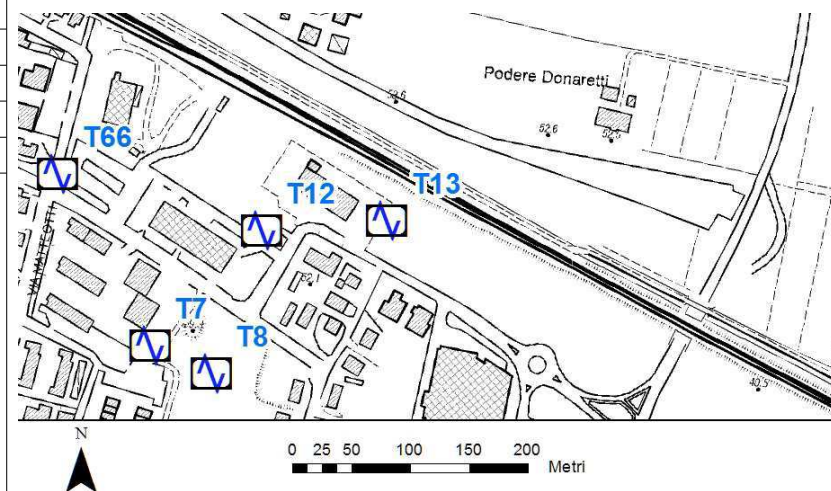


## Misura sismica H.V.S.R.

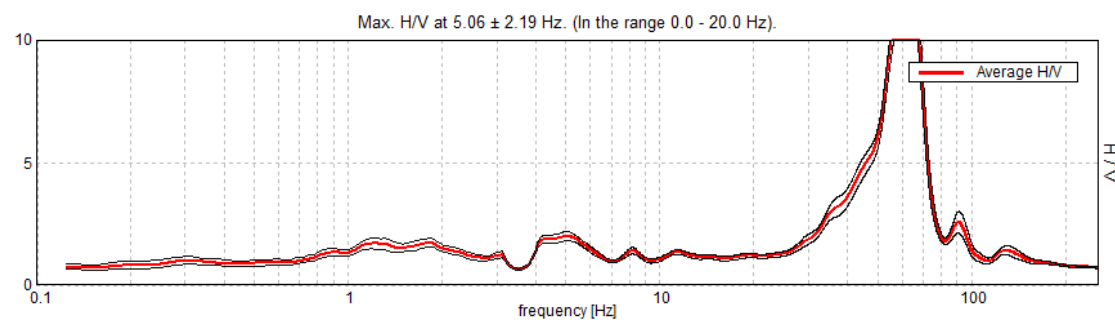
|  |         |        |
|--|---------|--------|
| Progressivo  | T13     |        |
| Latitudine e Longitudine WGS84 - 33N [°]                     | 4966772 | 140340 |
| Quota p.c. s.l.m. [m]  | 52      |        |
| Frequenza di risonanza caratteristica tra 0,1 e 20,0 Hz [Hz] | 5.06    |        |
| Condizione di amplificazione tra 0,1 e 20,0 Hz               | SI      |        |
| Presenza di artefatti  | SI      |        |



Andamento delle tre componenti del moto sismico



Ubicazione



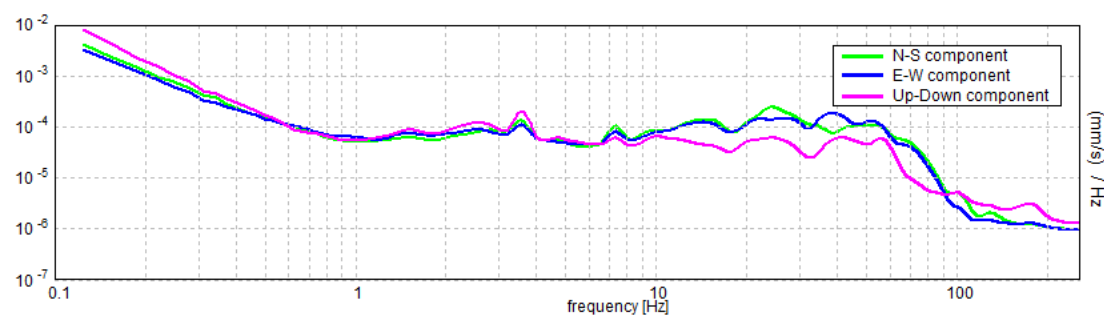
Andamento della curva H/V



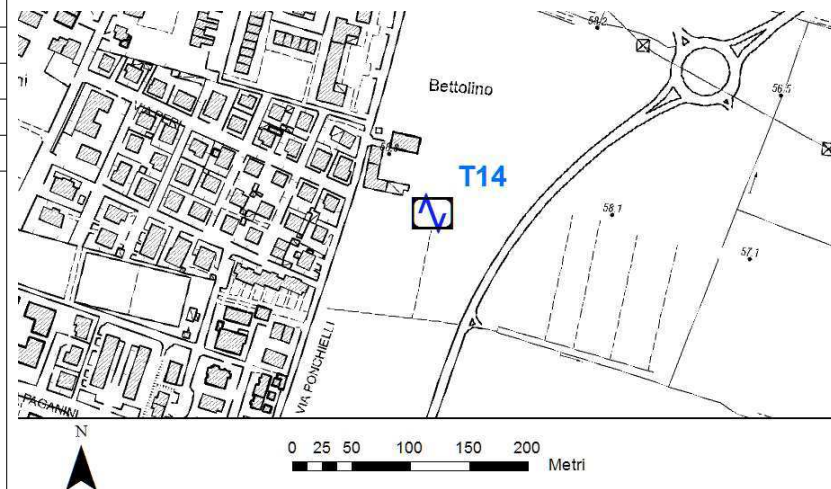
Foto

## Misura sismica H.V.S.R.

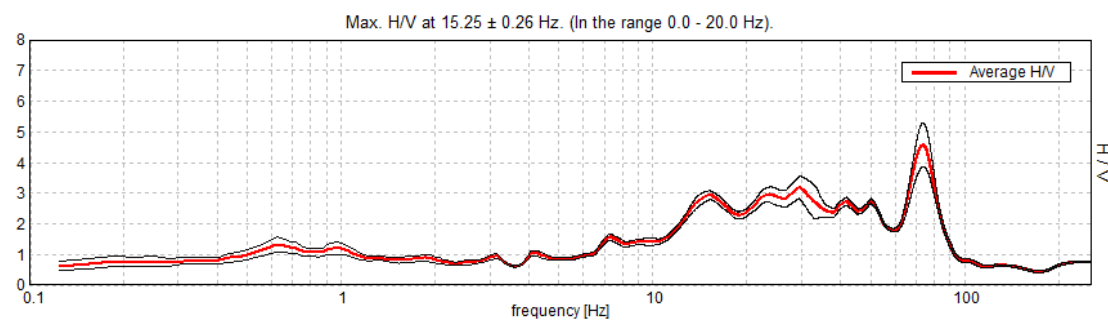
|  |         |        |
|--|---------|--------|
| Progressivo  | T14     |        |
| Latitudine e Longitudine WGS84 - 33N [°]                     | 4965689 | 139963 |
| Quota p.c. s.l.m. [m]  | 59      |        |
| Frequenza di risonanza caratteristica tra 0,1 e 20,0 Hz [Hz] | 15.25   |        |
| Condizione di amplificazione tra 0,1 e 20,0 Hz               | SI      |        |
| Presenza di artefatti  | SI      |        |



Andamento delle tre componenti del moto sismico



Ubicazione



Andamento della curva H/V

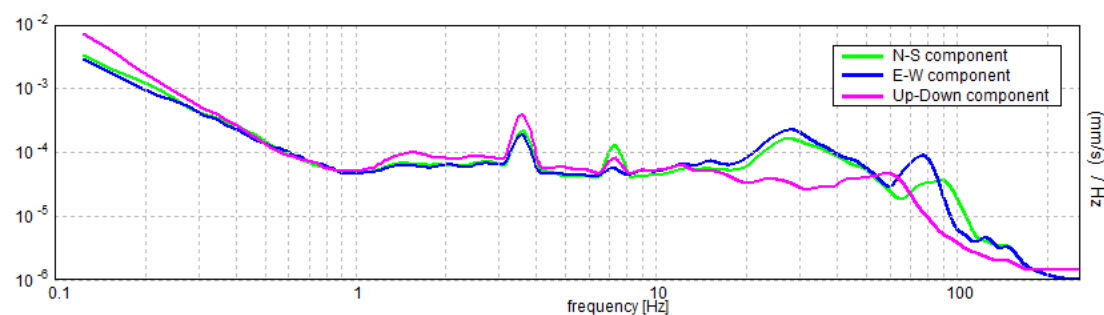


Foto

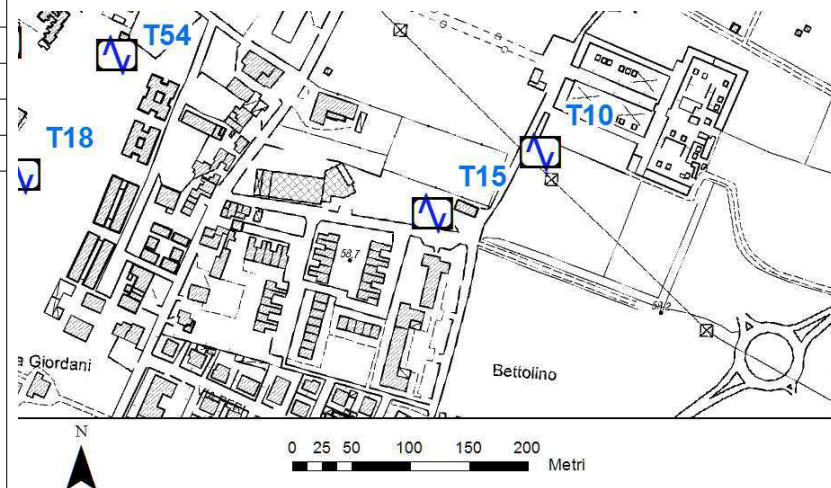


## Misura sismica H.V.S.R.

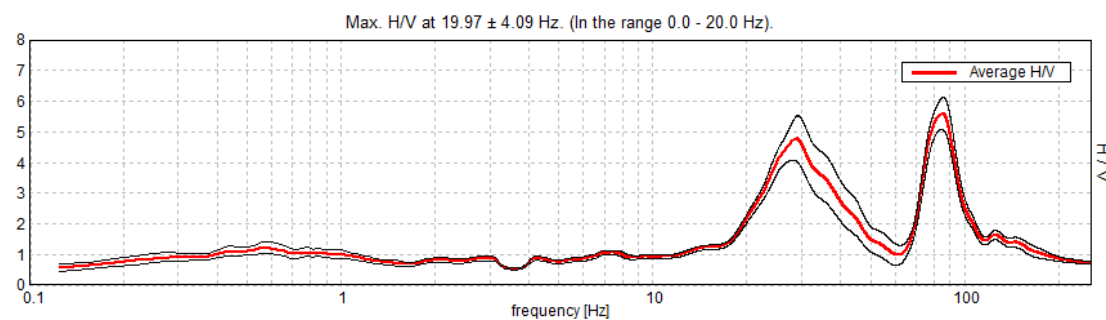
|  |         |        |
|--|---------|--------|
| Progressivo  | T15     |        |
| Latitudine e Longitudine WGS84 - 33N [°]                     | 4965931 | 139909 |
| Quota p.c. s.l.m. [m]  | 59      |        |
| Frequenza di risonanza caratteristica tra 0,1 e 20,0 Hz [Hz] | 19.97   |        |
| Condizione di amplificazione tra 0,1 e 20,0 Hz               | SI      |        |
| Presenza di artefatti  | SI      |        |



Andamento delle tre componenti del moto sismico



Ubicazione



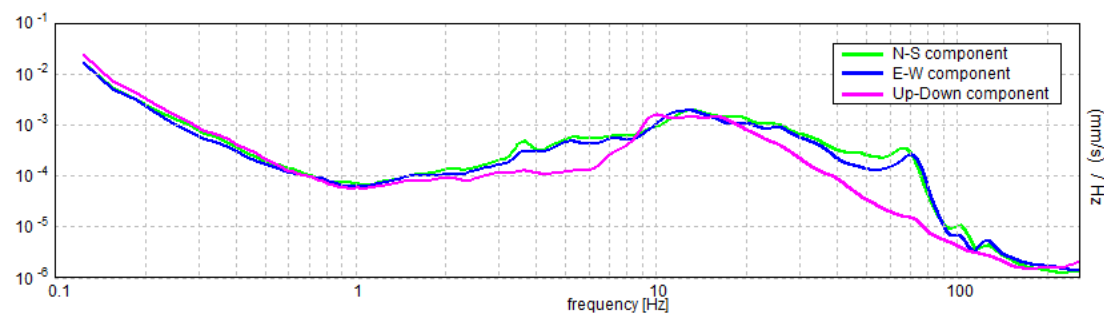
Andamento della curva H/V



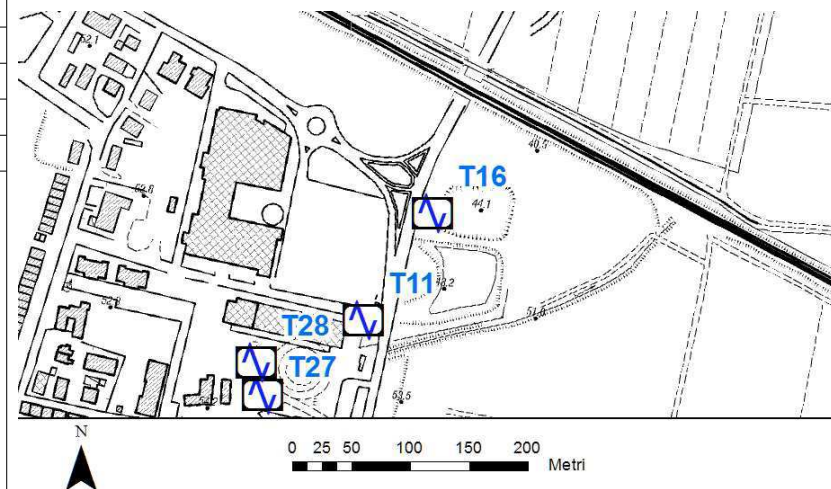
Foto

## Misura sismica H.V.S.R.

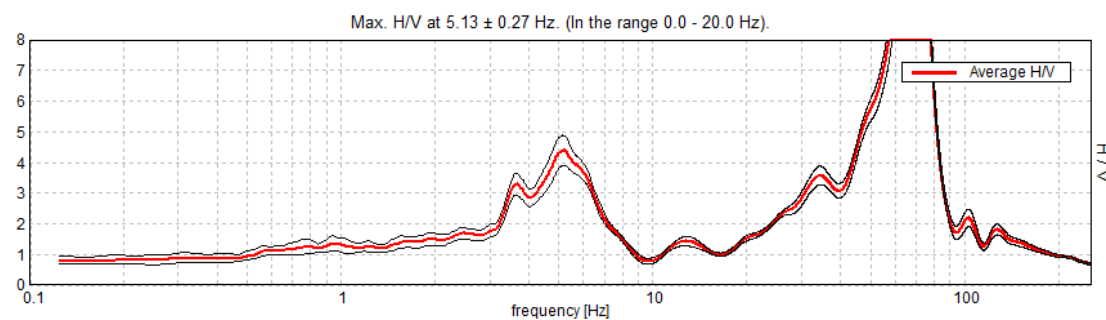
|  |            |        |
|--|------------|--------|
| Progressivo  | <b>T16</b> |        |
| Latitudine e Longitudine WGS84 - 33N [°]                     | 4966576    | 140566 |
| Quota p.c. s.l.m. [m]  | 44         |        |
| Frequenza di risonanza caratteristica tra 0,1 e 20,0 Hz [Hz] | 5.13       |        |
| Condizione di amplificazione tra 0,1 e 20,0 Hz               | SI         |        |
| Presenza di artefatti  | NO         |        |



Andamento delle tre componenti del moto sismico



Ubicazione



Andamento della curva H/V

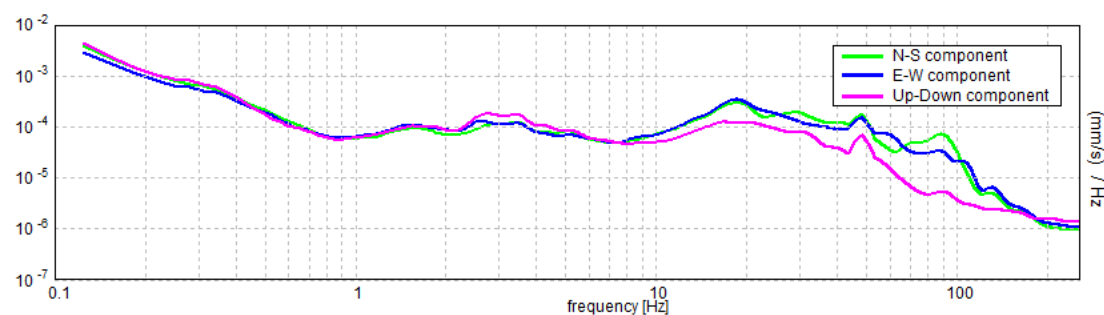


Foto

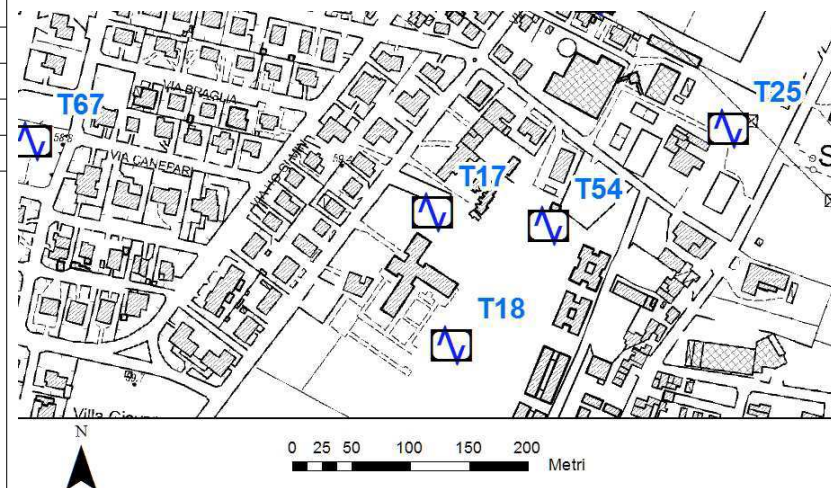


## Misura sismica H.V.S.R.

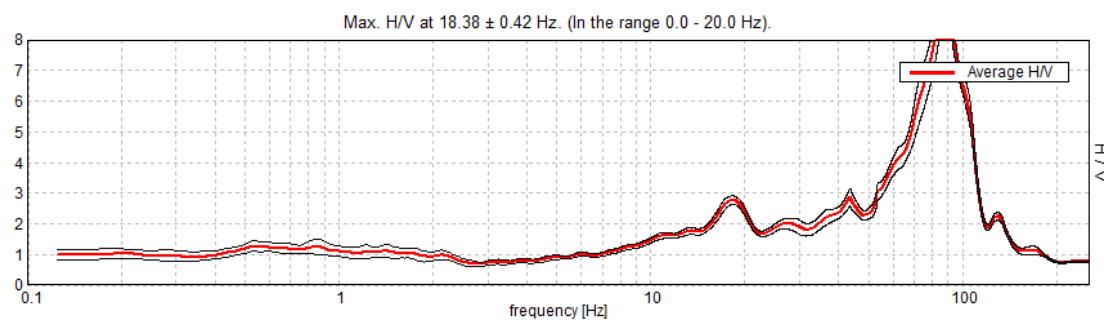
|  |         |        |
|--|---------|--------|
| Progressivo  | T17     |        |
| Latitudine e Longitudine WGS84 - 33N [°]                     | 4966076 | 139543 |
| Quota p.c. s.l.m. [m]  | 59      |        |
| Frequenza di risonanza caratteristica tra 0,1 e 20,0 Hz [Hz] | 18.38   |        |
| Condizione di amplificazione tra 0,1 e 20,0 Hz               | SI      |        |
| Presenza di artefatti  | NO      |        |



Andamento delle tre componenti del moto sismico



Ubicazione



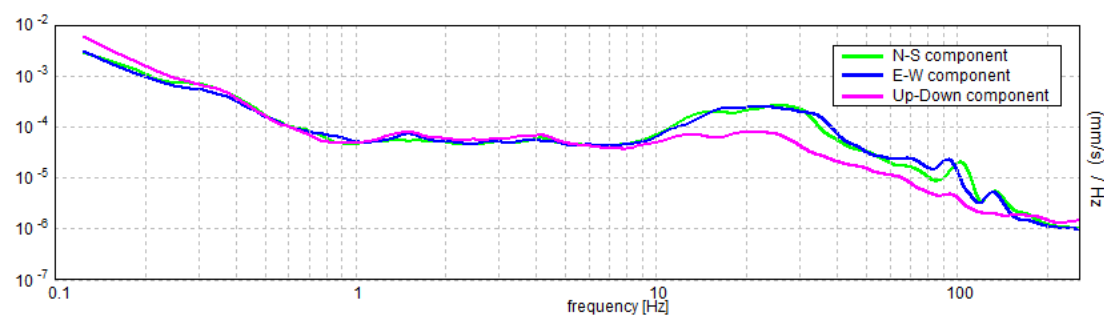
Andamento della curva H/V



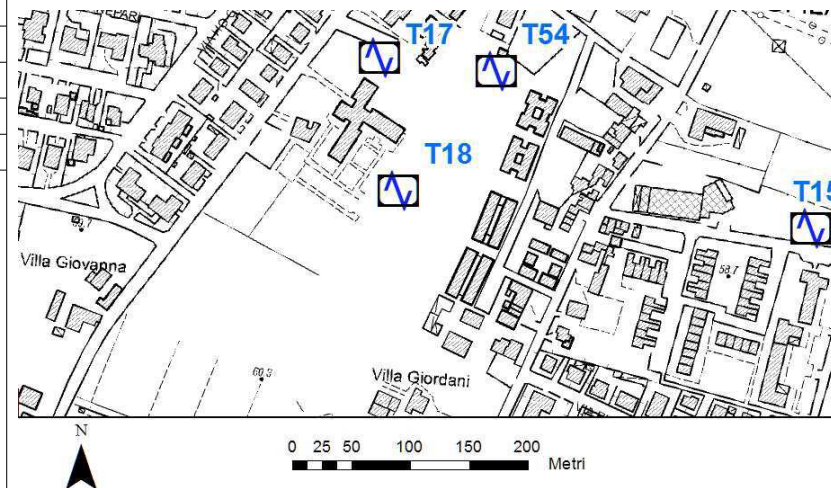
Foto

## Misura sismica H.V.S.R.

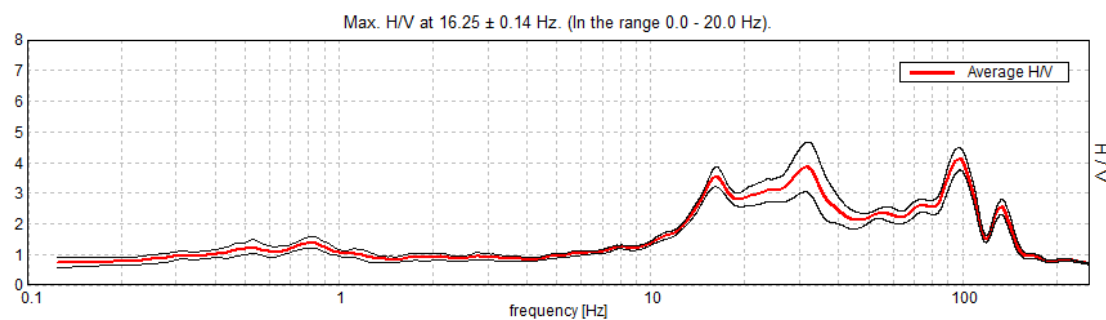
|  |            |        |
|--|------------|--------|
| Progressivo  | <b>T18</b> |        |
| Latitudine e Longitudine WGS84 - 33N [°]                     | 4965963    | 139559 |
| Quota p.c. s.l.m. [m]  | 60         |        |
| Frequenza di risonanza caratteristica tra 0,1 e 20,0 Hz [Hz] | 16.25      |        |
| Condizione di amplificazione tra 0,1 e 20,0 Hz               | SI         |        |
| Presenza di artefatti  | NO         |        |



Andamento delle tre componenti del moto sismico



Ubicazione



Andamento della curva H/V

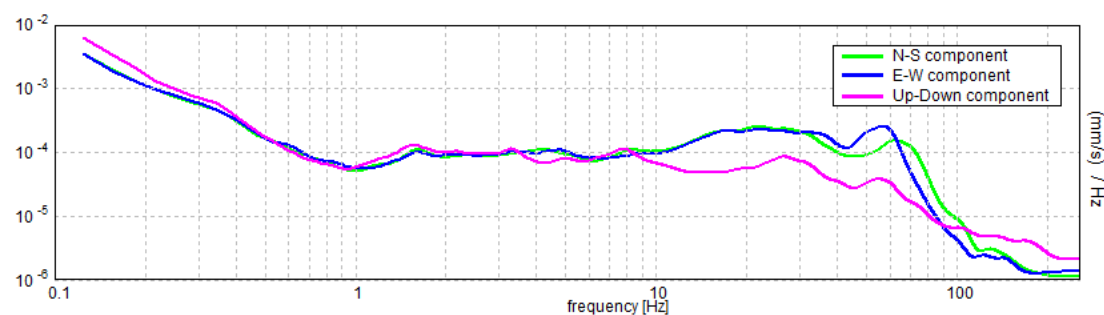


Foto

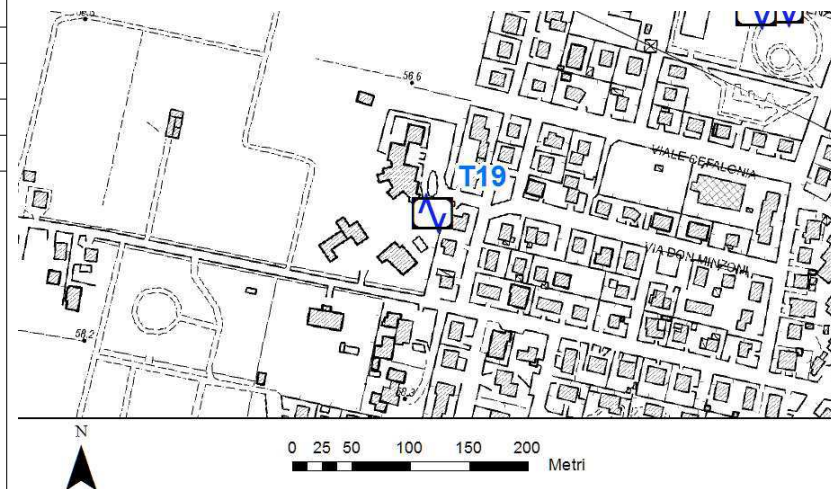


## Misura sismica H.V.S.R.

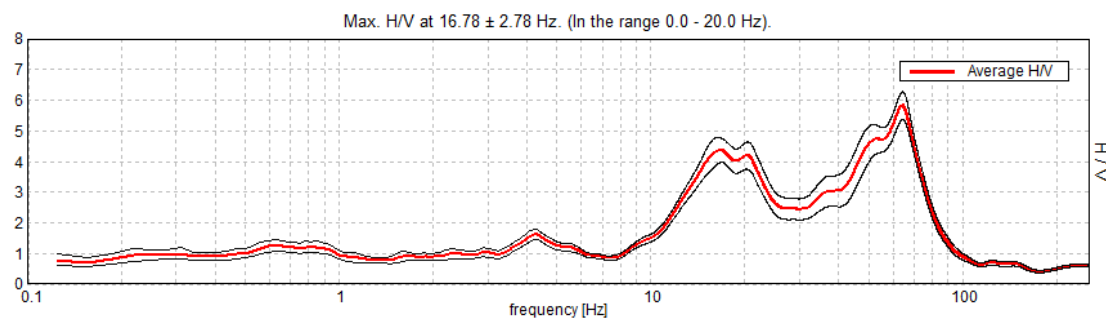
|  |            |        |
|--|------------|--------|
| Progressivo  | <b>T19</b> |        |
| Latitudine e Longitudine WGS84 - 33N [°]                     | 4966379    | 139166 |
| Quota p.c. s.l.m. [m]  | 57         |        |
| Frequenza di risonanza caratteristica tra 0,1 e 20,0 Hz [Hz] | 16.78      |        |
| Condizione di amplificazione tra 0,1 e 20,0 Hz               | SI         |        |
| Presenza di artefatti  | NO         |        |



Andamento delle tre componenti del moto sismico



Ubicazione



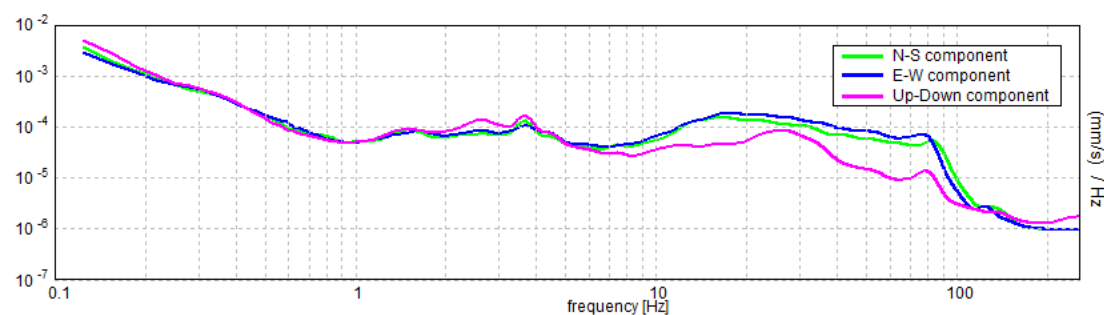
Andamento della curva H/V



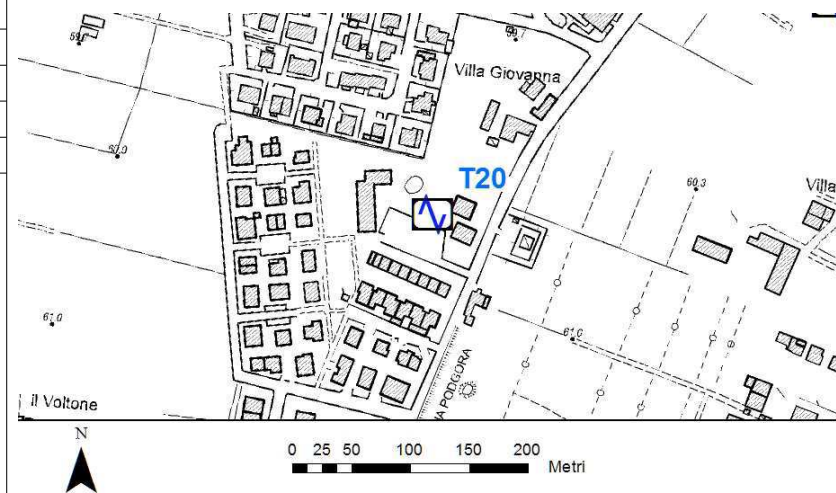
Foto

## Misura sismica H.V.S.R.

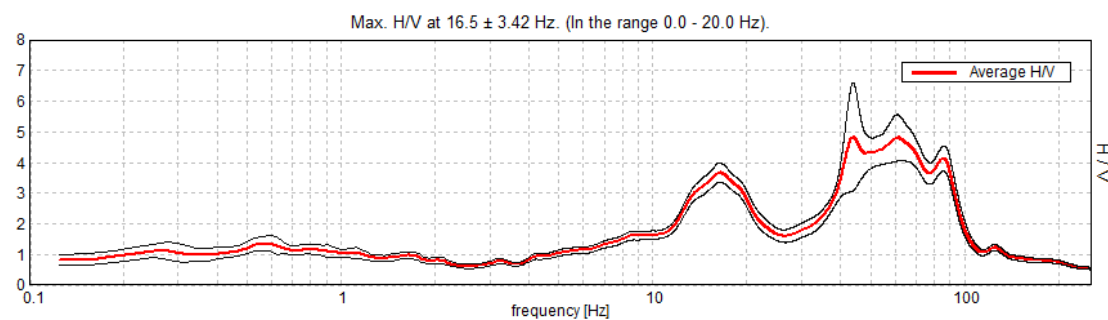
|  |         |        |
|--|---------|--------|
| Progressivo  | T20     |        |
| Latitudine e Longitudine WGS84 - 33N [°]                     | 4965782 | 139219 |
| Quota p.c. s.l.m. [m]  | 61      |        |
| Frequenza di risonanza caratteristica tra 0,1 e 20,0 Hz [Hz] | 16.5    |        |
| Condizione di amplificazione tra 0,1 e 20,0 Hz               | SI      |        |
| Presenza di artefatti  | NO      |        |



Andamento delle tre componenti del moto sismico



Ubicazione



Andamento della curva H/V

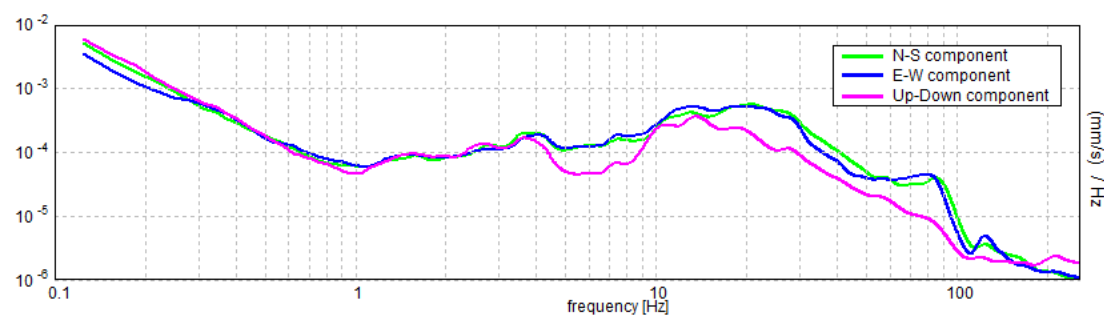


Foto

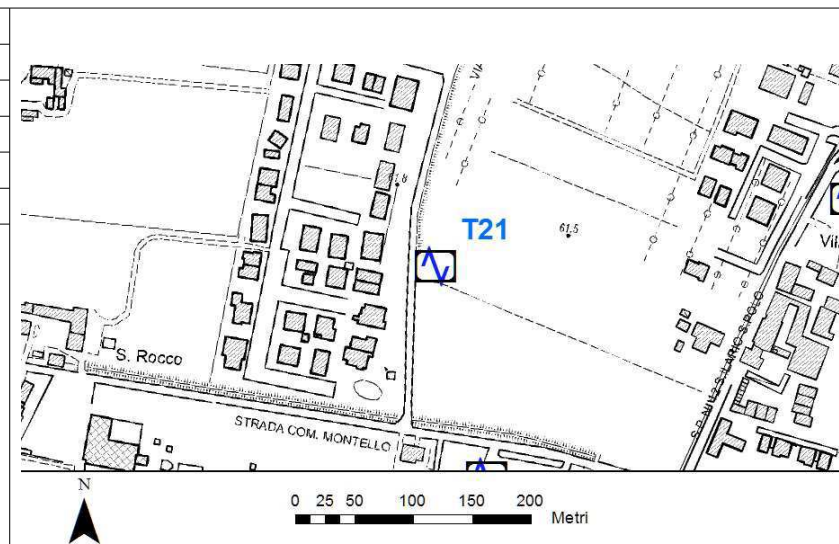


## Misura sismica H.V.S.R.

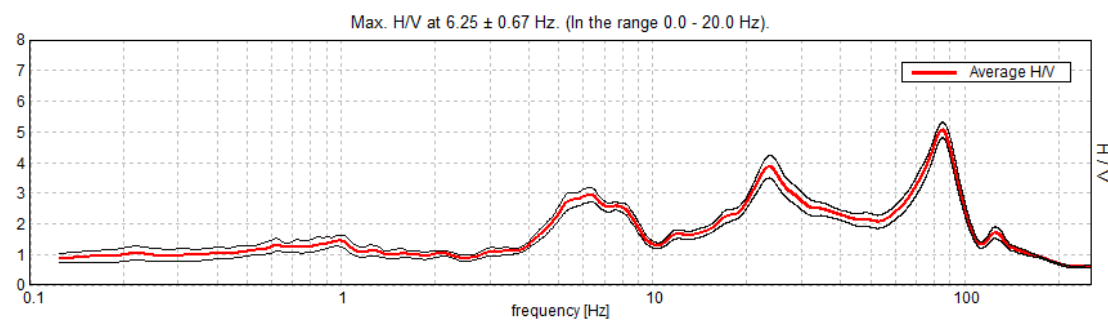
|  |         |        |
|--|---------|--------|
| Progressivo  | T21     |        |
| Latitudine e Longitudine WGS84 - 33N [°]                     | 4965442 | 139189 |
| Quota p.c. s.l.m. [m]  | 52      |        |
| Frequenza di risonanza caratteristica tra 0,1 e 20,0 Hz [Hz] | 6.25    |        |
| Condizione di amplificazione tra 0,1 e 20,0 Hz               | SI      |        |
| Presenza di artefatti  | NO      |        |



Andamento delle tre componenti del moto sismico



Ubicazione



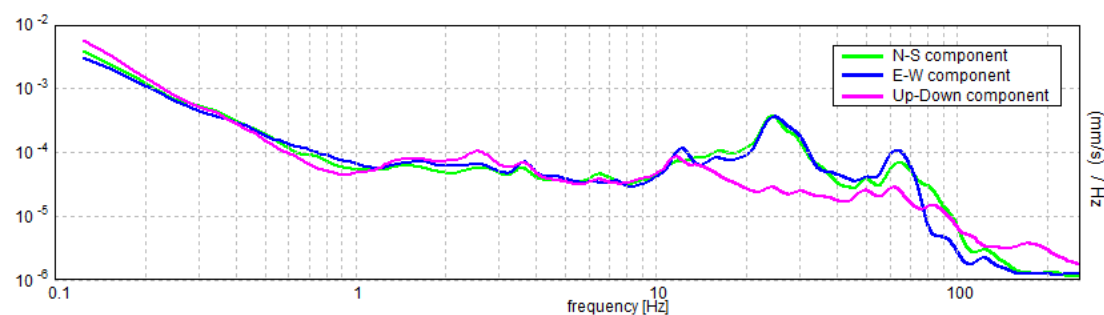
Andamento della curva H/V



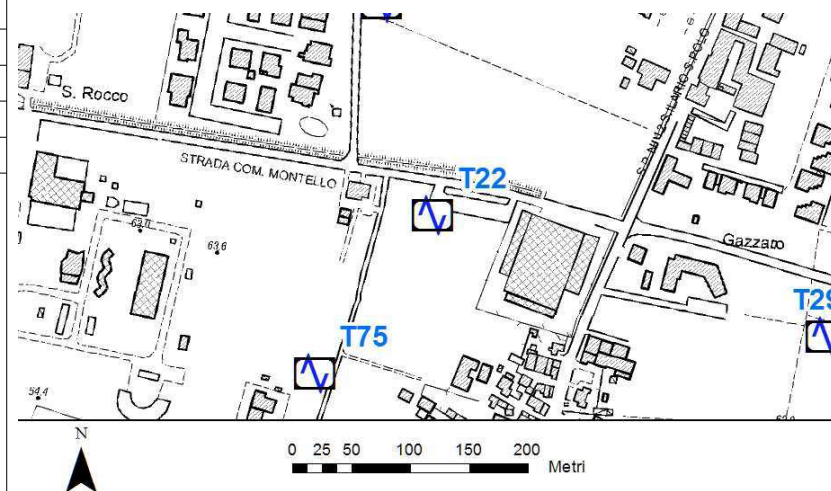
Foto

## Misura sismica H.V.S.R.

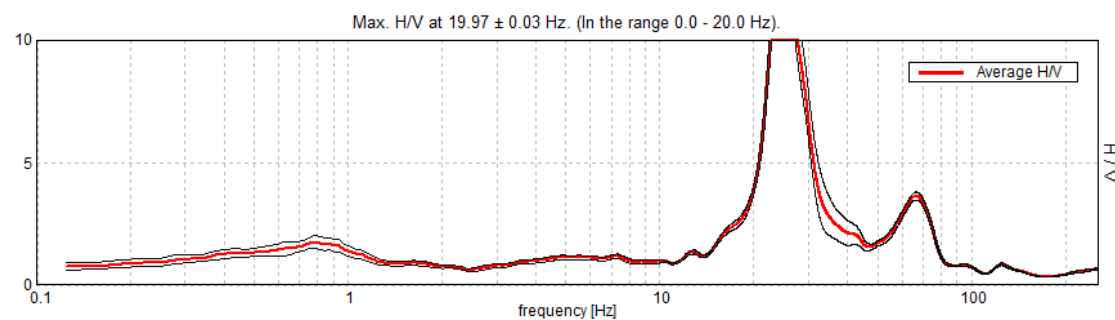
|  |         |        |
|--|---------|--------|
| Progressivo  | T22     |        |
| Latitudine e Longitudine WGS84 - 33N [°]                     | 4965262 | 139232 |
| Quota p.c. s.l.m. [m]  | 64      |        |
| Frequenza di risonanza caratteristica tra 0,1 e 20,0 Hz [Hz] | 19.97   |        |
| Condizione di amplificazione tra 0,1 e 20,0 Hz               | SI      |        |
| Presenza di artefatti  | NO      |        |



Andamento delle tre componenti del moto sismico



Ubicazione



Andamento della curva H/V

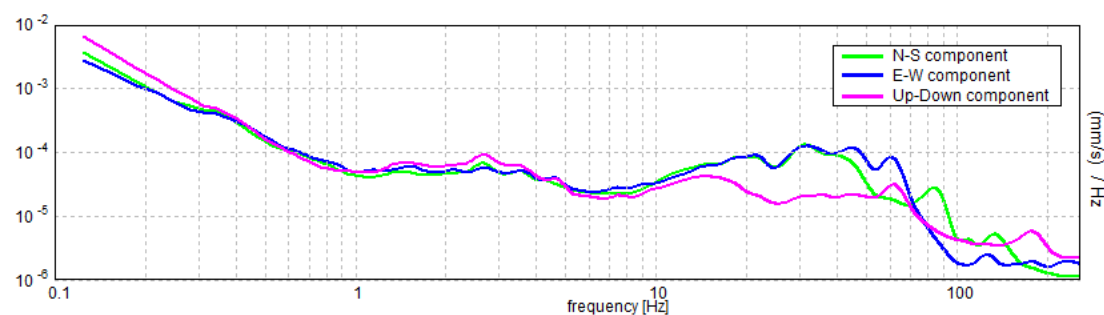


Foto

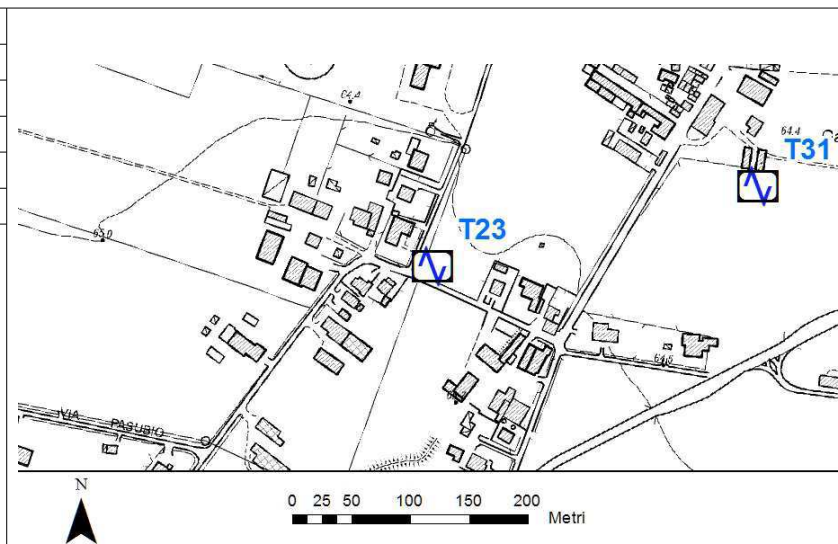


## Misura sismica H.V.S.R.

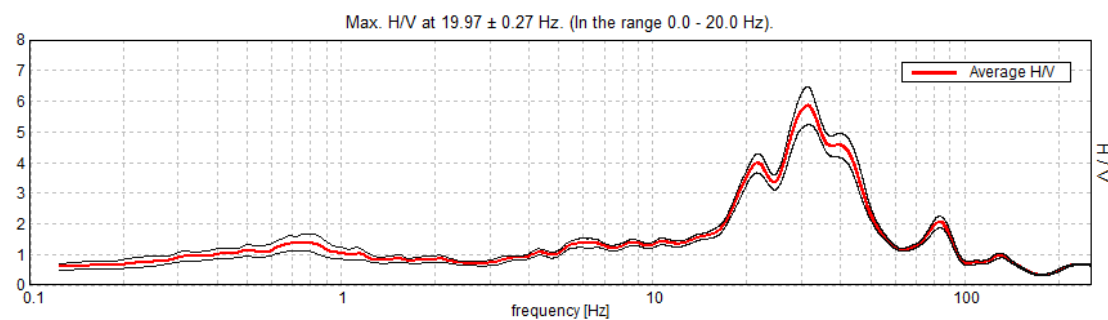
|  |            |        |
|--|------------|--------|
| Progressivo  | <b>T23</b> |        |
| Latitudine e Longitudine WGS84 - 33N [°]                     | 4964927    | 139091 |
| Quota p.c. s.l.m. [m]  | 64         |        |
| Frequenza di risonanza caratteristica tra 0,1 e 20,0 Hz [Hz] | 19.97      |        |
| Condizione di amplificazione tra 0,1 e 20,0 Hz               | SI         |        |
| Presenza di artefatti  | NO         |        |



Andamento delle tre componenti del moto sismico



Ubicazione



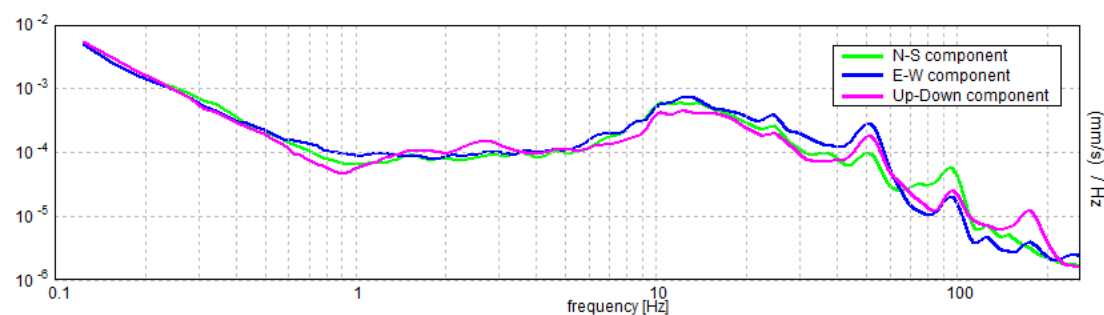
Andamento della curva H/V



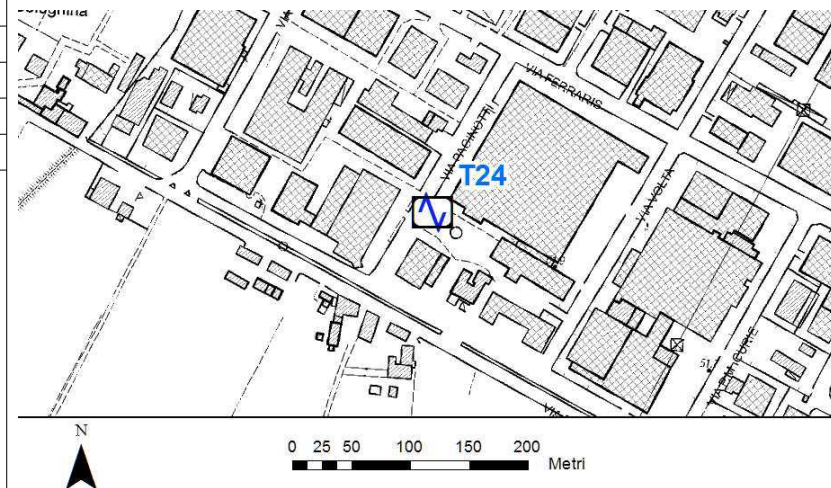
Foto

## Misura sismica H.V.S.R.

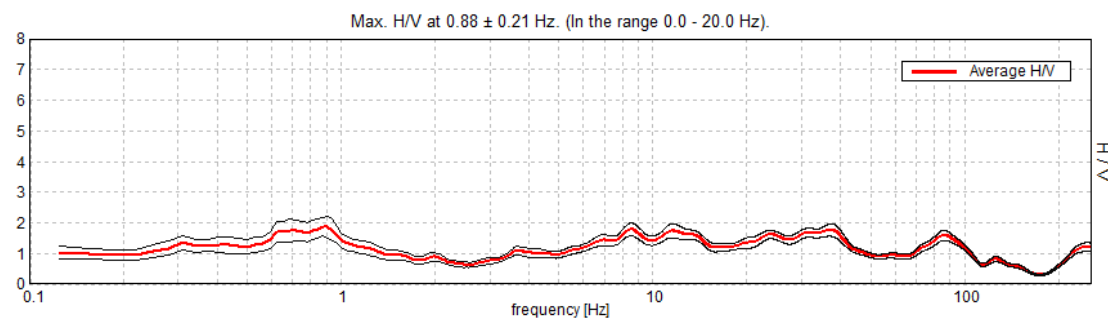
|  |            |        |
|--|------------|--------|
| Progressivo  | <b>T24</b> |        |
| Latitudine e Longitudine WGS84 - 33N [°]                     | 4965394    | 142088 |
| Quota p.c. s.l.m. [m]  | 52         |        |
| Frequenza di risonanza caratteristica tra 0,1 e 20,0 Hz [Hz] | 0.88       |        |
| Condizione di amplificazione tra 0,1 e 20,0 Hz               | SI         |        |
| Presenza di artefatti  | NO         |        |



*Andamento delle tre componenti del moto sismico*



*Ubicazione*



*Andamento della curva H/V*

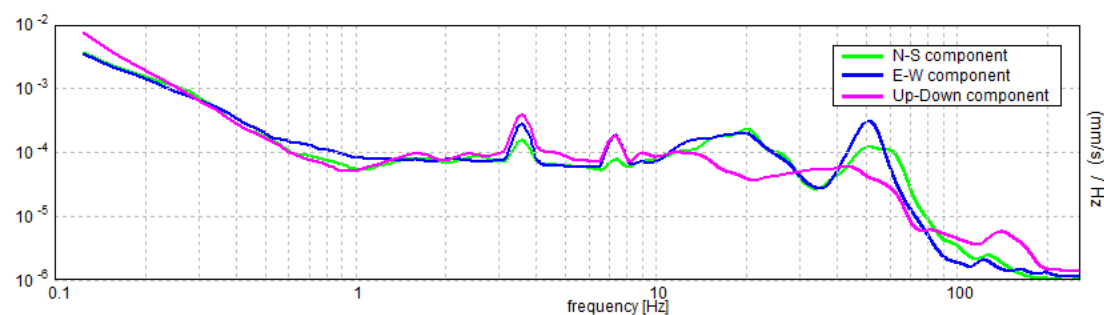


*Foto*

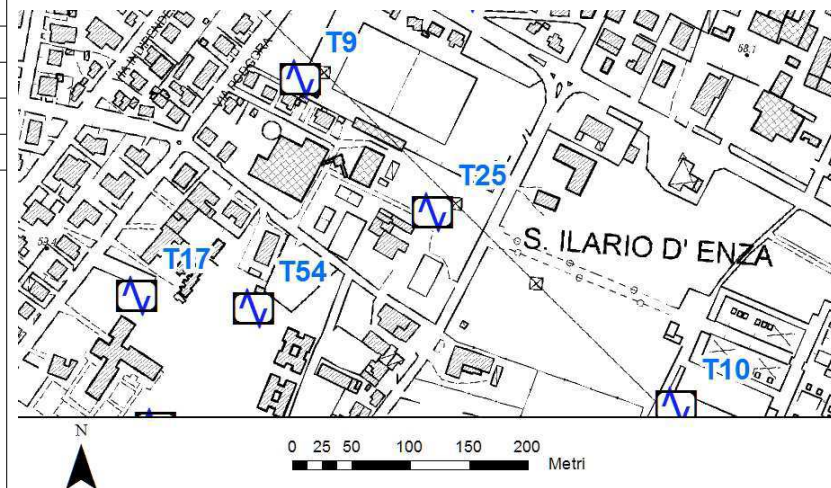


## Misura sismica H.V.S.R.

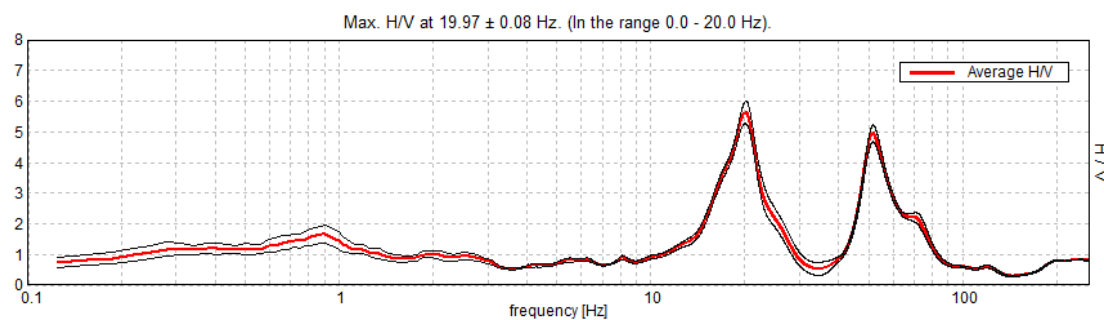
|  |         |        |
|--|---------|--------|
| Progressivo  | T25     |        |
| Latitudine e Longitudine WGS84 - 33N [°]                     | 4966147 | 139793 |
| Quota p.c. s.l.m. [m]  | 58      |        |
| Frequenza di risonanza caratteristica tra 0,1 e 20,0 Hz [Hz] | 19.97   |        |
| Condizione di amplificazione tra 0,1 e 20,0 Hz               | SI      |        |
| Presenza di artefatti  | SI      |        |



Andamento delle tre componenti del moto sismico



Ubicazione



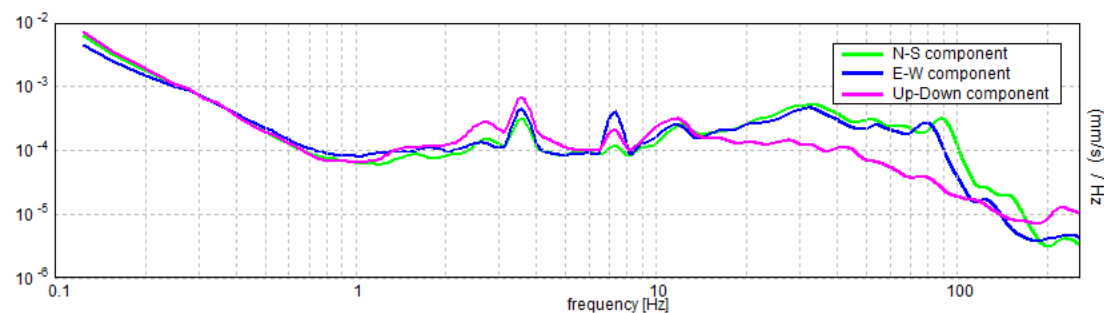
Andamento della curva H/V



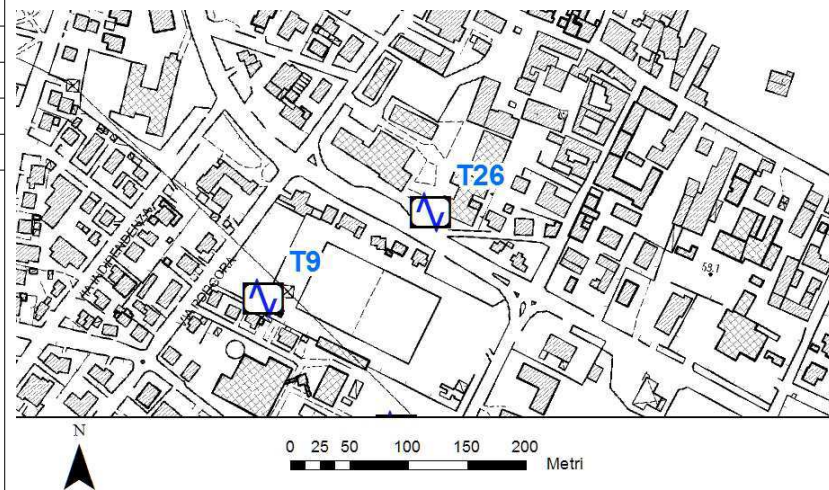
Foto

## Misura sismica H.V.S.R.

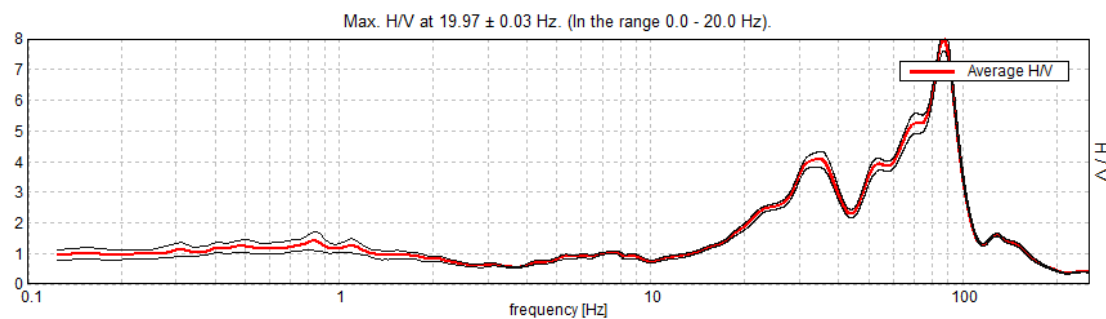
|  |            |        |
|--|------------|--------|
| Progressivo  | <b>T26</b> |        |
| Latitudine e Longitudine WGS84 - 33N [°]                     | 4966333    | 139823 |
| Quota p.c. s.l.m. [m]  | 58         |        |
| Frequenza di risonanza caratteristica tra 0,1 e 20,0 Hz [Hz] | 19.97      |        |
| Condizione di amplificazione tra 0,1 e 20,0 Hz               | SI         |        |
| Presenza di artefatti  | SI         |        |



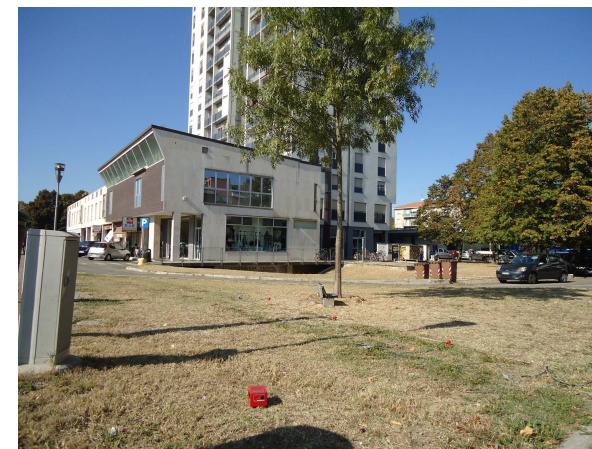
*Andamento delle tre componenti del moto sismico*



*Ubicazione*



*Andamento della curva H/V*

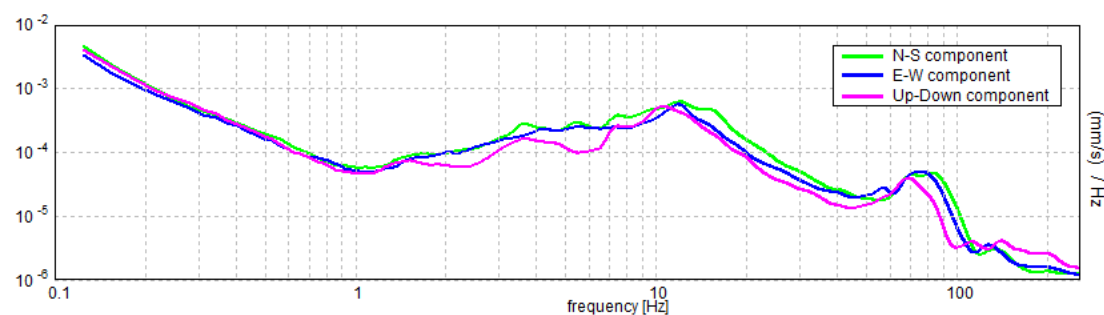


*Foto*

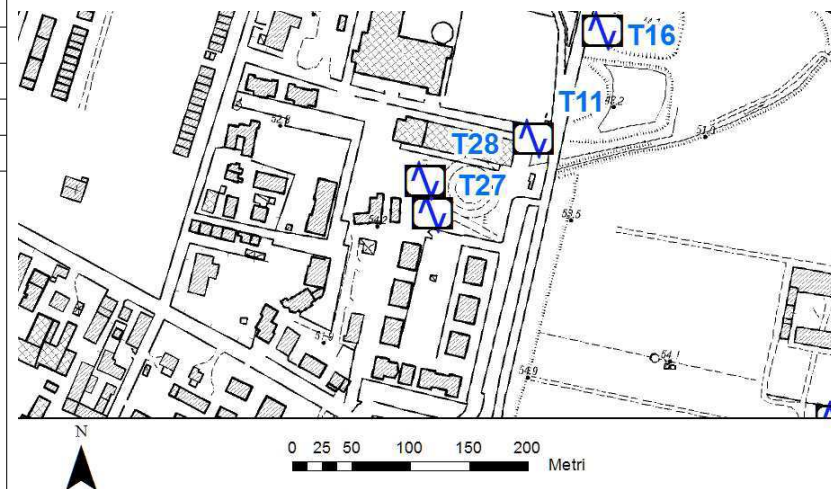


## Misura sismica H.V.S.R.

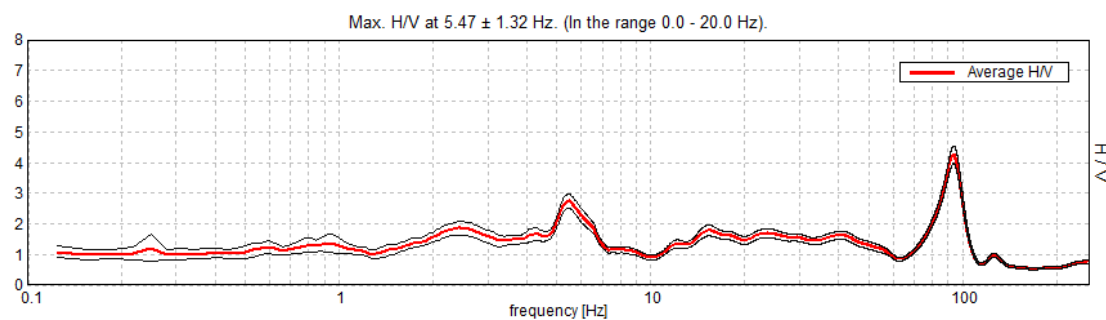
|  |            |        |
|--|------------|--------|
| Progressivo  | <b>T27</b> |        |
| Latitudine e Longitudine WGS84 - 33N [°]                     | 4966422    | 140423 |
| Quota p.c. s.l.m. [m]  | 54         |        |
| Frequenza di risonanza caratteristica tra 0,1 e 20,0 Hz [Hz] | 5.47       |        |
| Condizione di amplificazione tra 0,1 e 20,0 Hz               | SI         |        |
| Presenza di artefatti  | NO         |        |



*Andamento delle tre componenti del moto sismico*



*Ubicazione*



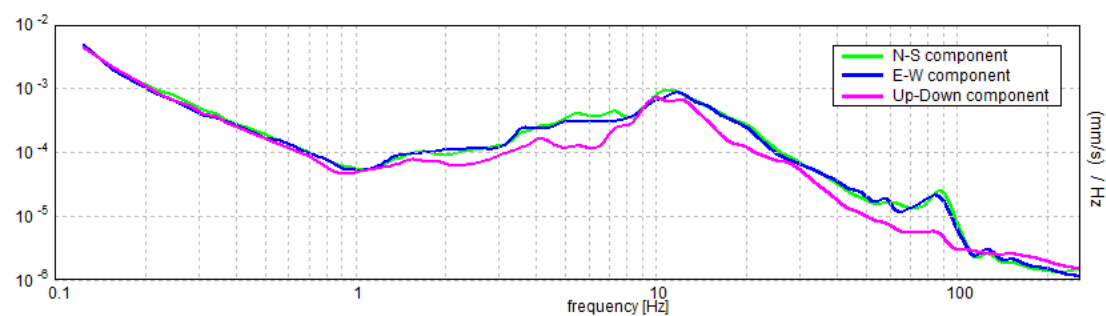
*Andamento della curva H/V*



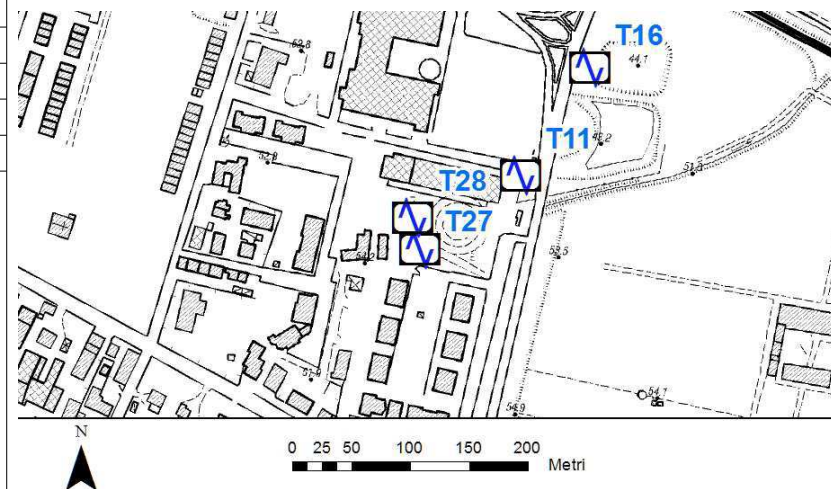
*Foto*

## Misura sismica H.V.S.R.

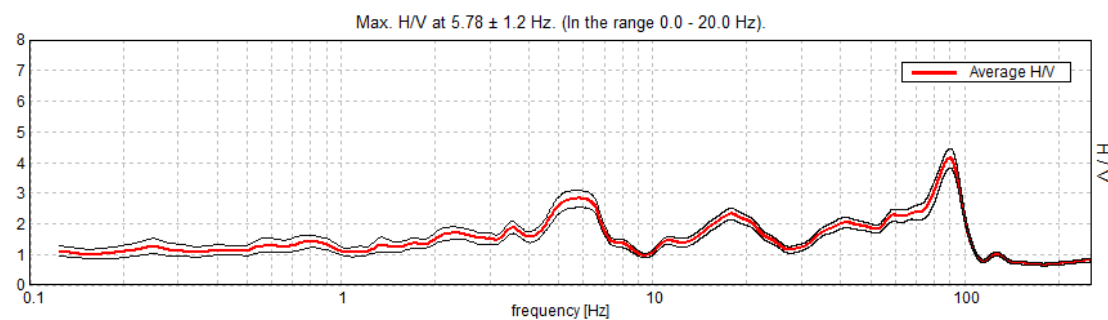
|  |            |        |
|--|------------|--------|
| Progressivo  | <b>T28</b> |        |
| Latitudine e Longitudine WGS84 - 33N [°]                     | 4966449    | 140417 |
| Quota p.c. s.l.m. [m]  | 54         |        |
| Frequenza di risonanza caratteristica tra 0,1 e 20,0 Hz [Hz] | 5.87       |        |
| Condizione di amplificazione tra 0,1 e 20,0 Hz               | SI         |        |
| Presenza di artefatti  | NO         |        |



Andamento delle tre componenti del moto sismico



Ubicazione



Andamento della curva H/V

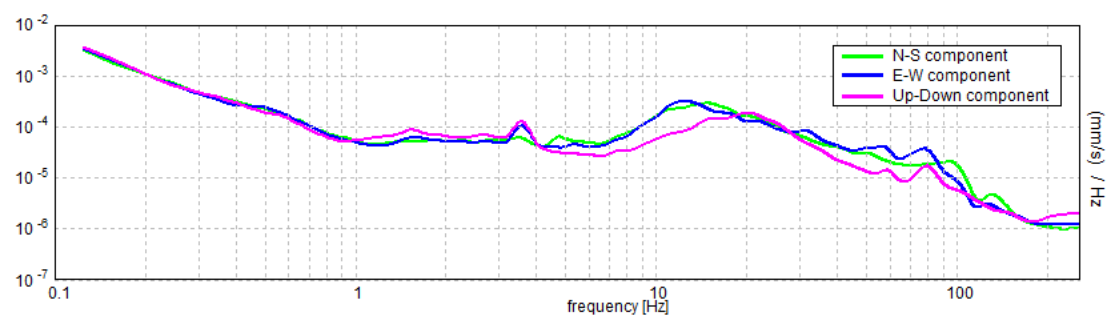


Foto

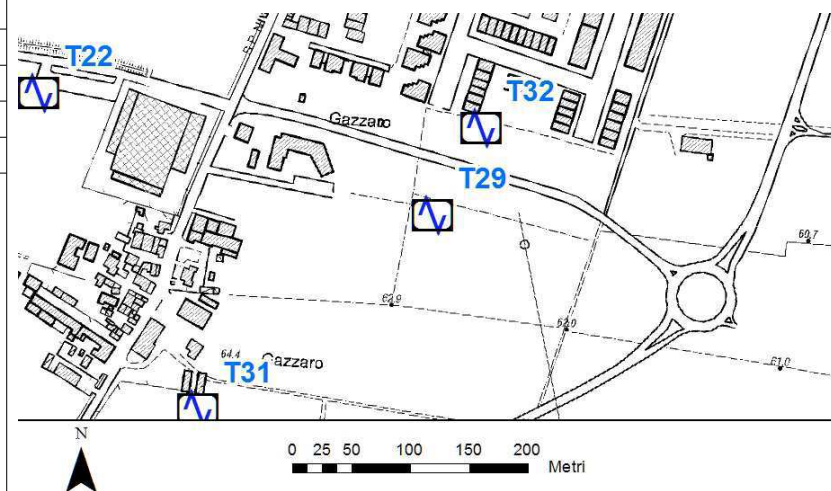


## Misura sismica H.V.S.R.

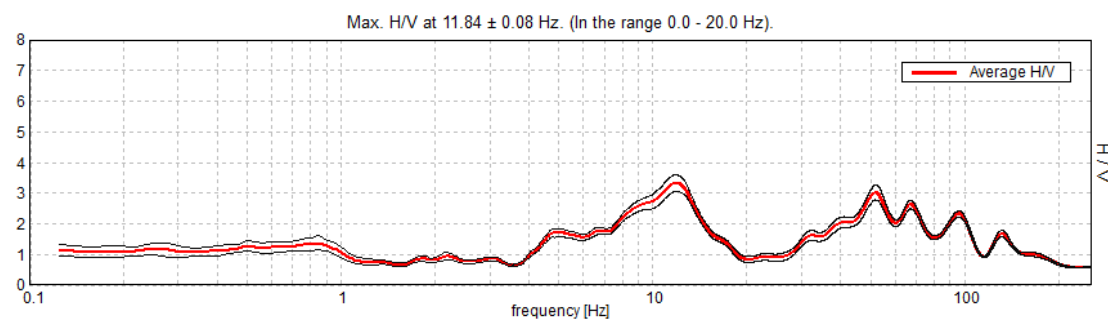
|  |            |        |
|--|------------|--------|
| Progressivo  | <b>T29</b> |        |
| Latitudine e Longitudine WGS84 - 33N [°]                     | 4965159    | 139566 |
| Quota p.c. s.l.m. [m]  | 63         |        |
| Frequenza di risonanza caratteristica tra 0,1 e 20,0 Hz [Hz] | 11.84      |        |
| Condizione di amplificazione tra 0,1 e 20,0 Hz               | SI         |        |
| Presenza di artefatti  | SI         |        |



Andamento delle tre componenti del moto sismico



Ubicazione



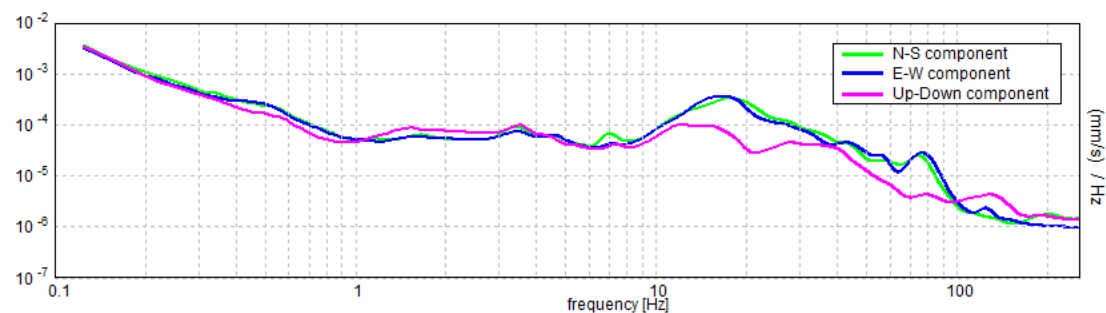
Andamento della curva H/V



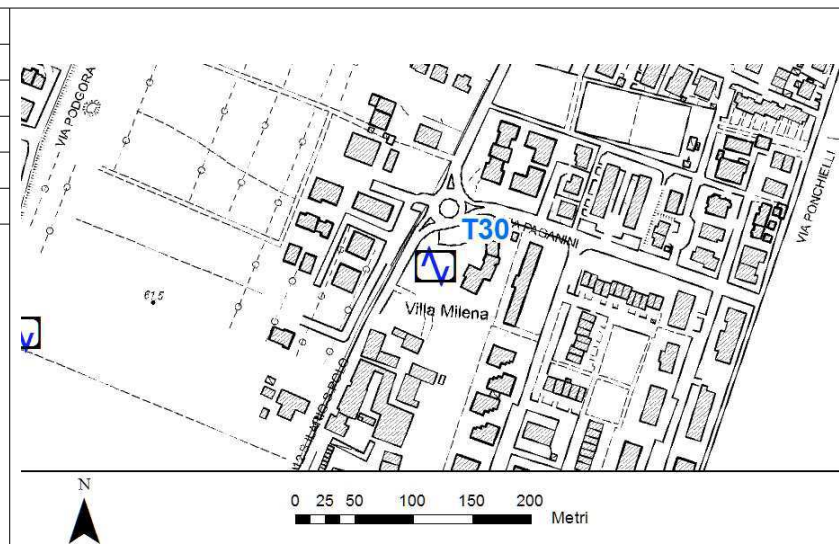
Foto

## Misura sismica H.V.S.R.

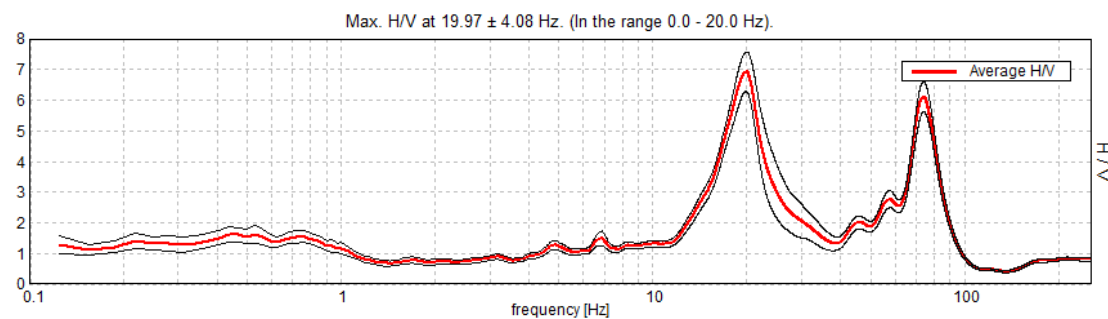
|  |         |        |
|--|---------|--------|
| Progressivo  | T30     |        |
| Latitudine e Longitudine WGS84 - 33N [°]                     | 4965499 | 139541 |
| Quota p.c. s.l.m. [m]  | 62      |        |
| Frequenza di risonanza caratteristica tra 0,1 e 20,0 Hz [Hz] | 19.97   |        |
| Condizione di amplificazione tra 0,1 e 20,0 Hz               | SI      |        |
| Presenza di artefatti  | NO      |        |



Andamento delle tre componenti del moto sismico



Ubicazione



Andamento della curva H/V

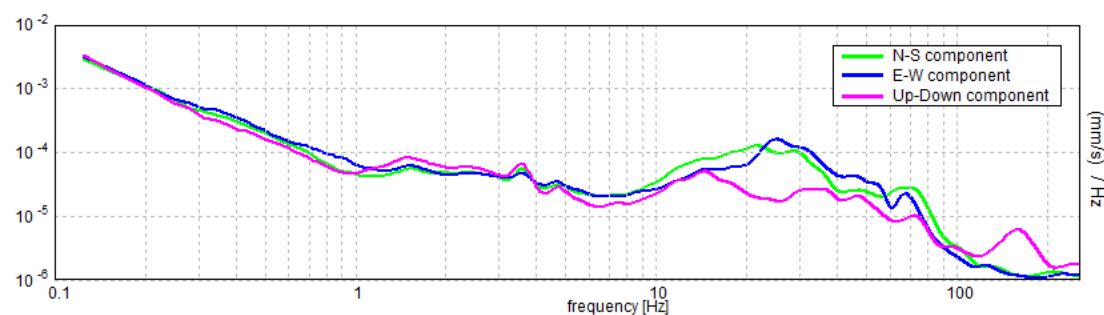


Foto

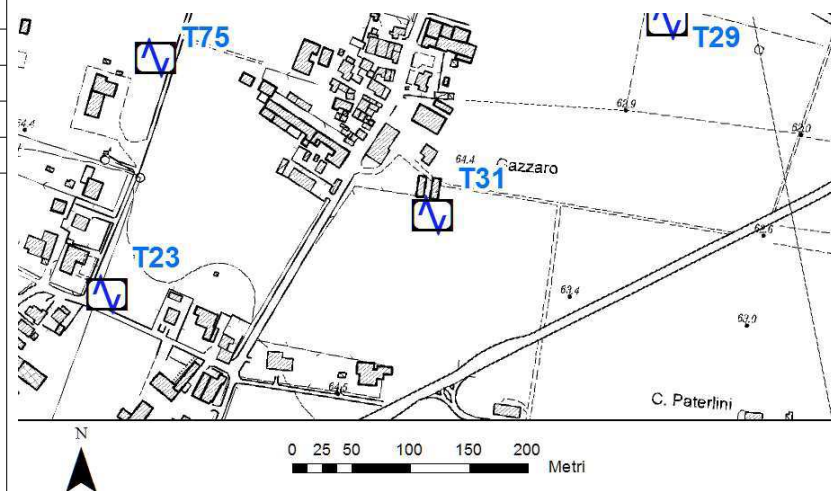


## Misura sismica H.V.S.R.

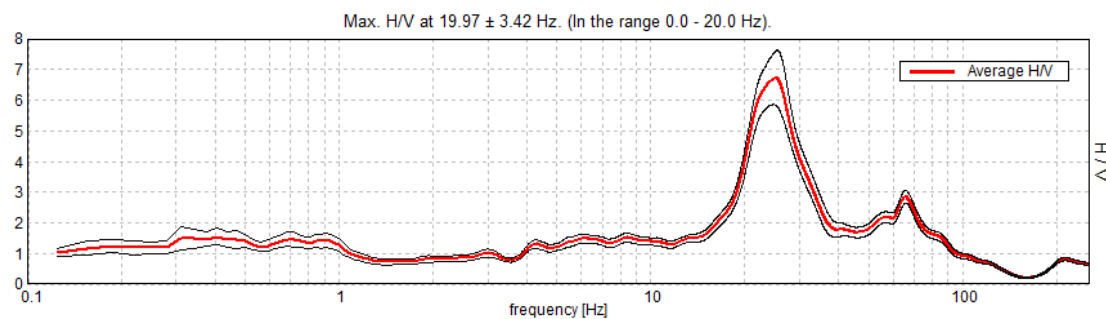
|  |         |        |
|--|---------|--------|
| Progressivo  | T31     |        |
| Latitudine e Longitudine WGS84 - 33N [°]                     | 4964994 | 139367 |
| Quota p.c. s.l.m. [m]  | 64      |        |
| Frequenza di risonanza caratteristica tra 0,1 e 20,0 Hz [Hz] | 19.97   |        |
| Condizione di amplificazione tra 0,1 e 20,0 Hz               | SI      |        |
| Presenza di artefatti  | NO      |        |



Andamento delle tre componenti del moto sismico



Ubicazione



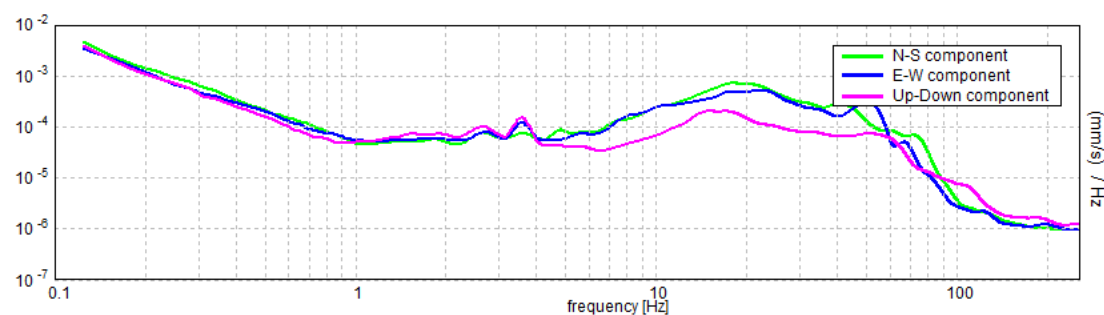
Andamento della curva H/V



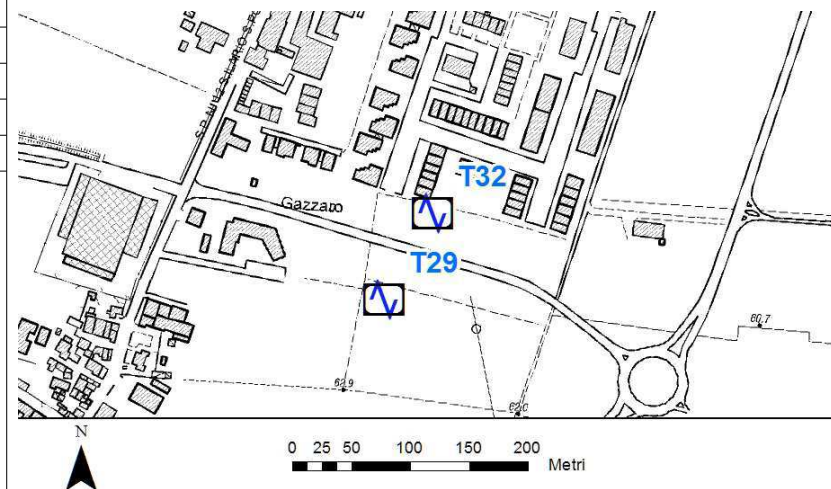
Foto

## Misura sismica H.V.S.R.

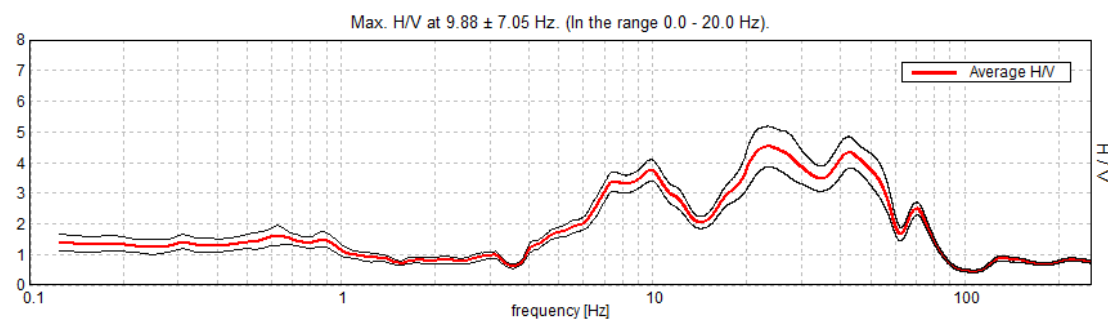
|  |            |        |
|--|------------|--------|
| Progressivo  | <b>T32</b> |        |
| Latitudine e Longitudine WGS84 - 33N [°]                     | 4965233    | 139607 |
| Quota p.c. s.l.m. [m]  | 63         |        |
| Frequenza di risonanza caratteristica tra 0,1 e 20,0 Hz [Hz] | 9.88       |        |
| Condizione di amplificazione tra 0,1 e 20,0 Hz               | SI         |        |
| Presenza di artefatti  | SI         |        |



*Andamento delle tre componenti del moto sismico*



*Ubicazione*



*Andamento della curva H/V*

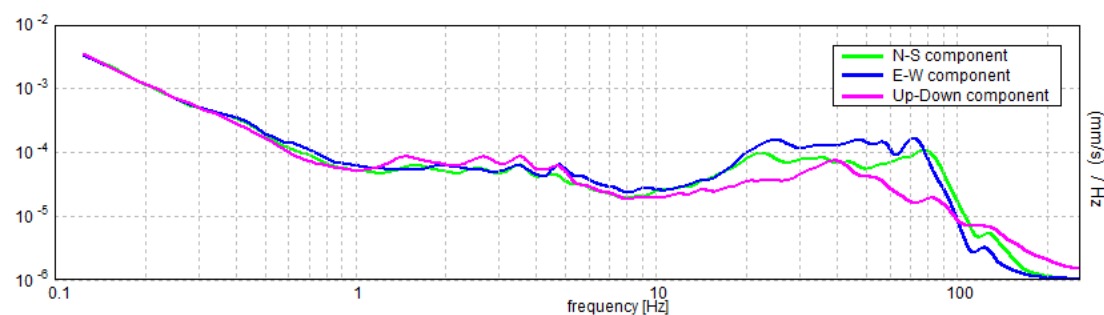


*Foto*

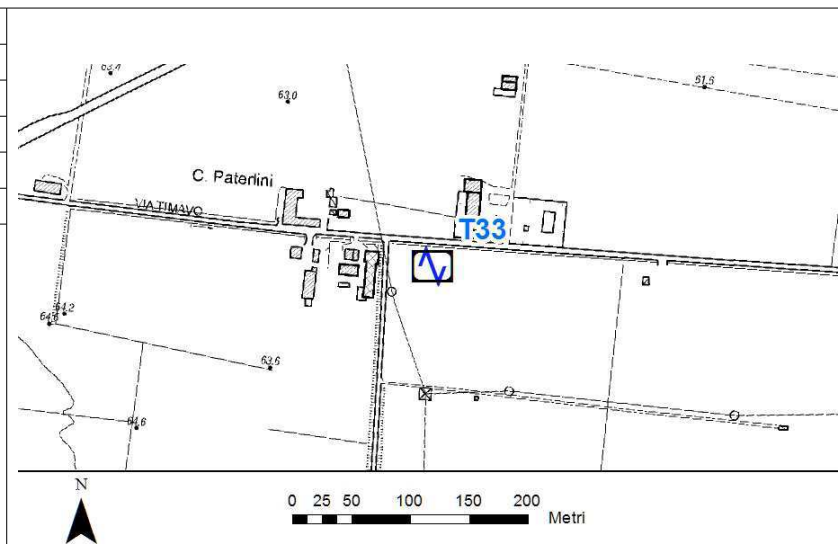


## Misura sismica H.V.S.R.

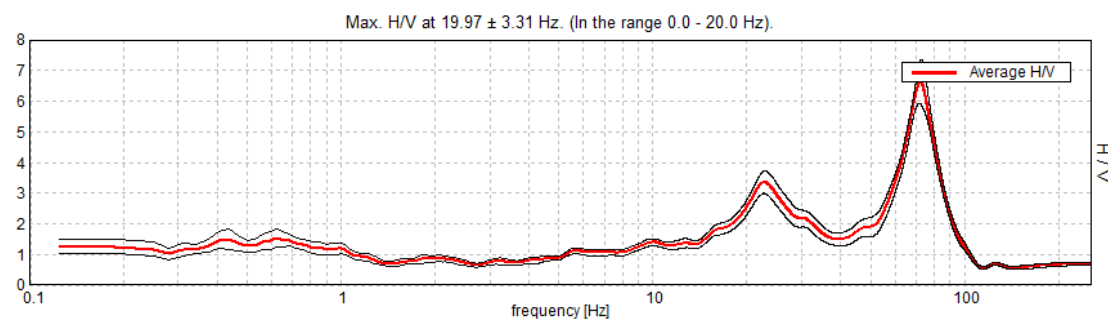
|  |            |        |
|--|------------|--------|
| Progressivo  | <b>T33</b> |        |
| Latitudine e Longitudine WGS84 - 33N [°]                     | 4964761    | 139756 |
| Quota p.c. s.l.m. [m]  | 64         |        |
| Frequenza di risonanza caratteristica tra 0,1 e 20,0 Hz [Hz] | 19.97      |        |
| Condizione di amplificazione tra 0,1 e 20,0 Hz               | SI         |        |
| Presenza di artefatti  | NO         |        |



*Andamento delle tre componenti del moto sismico*



*Ubicazione*



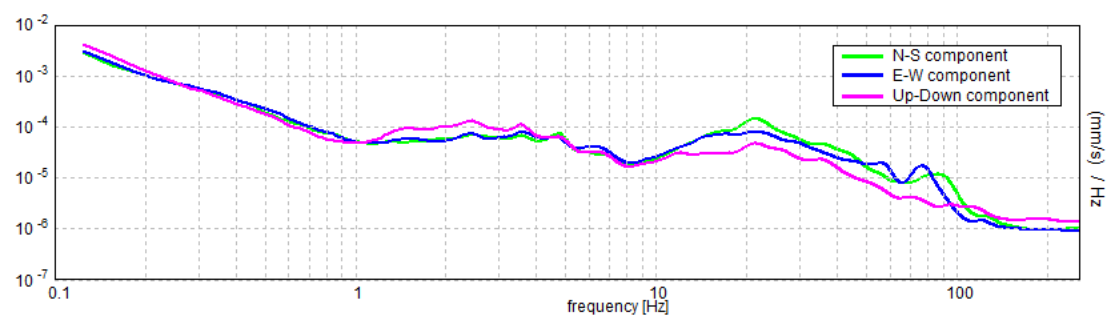
*Andamento della curva H/V*



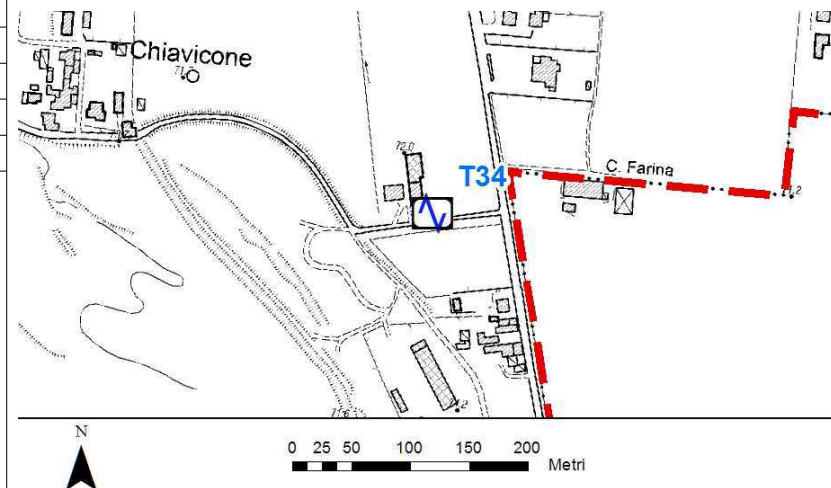
*Foto*

## Misura sismica H.V.S.R.

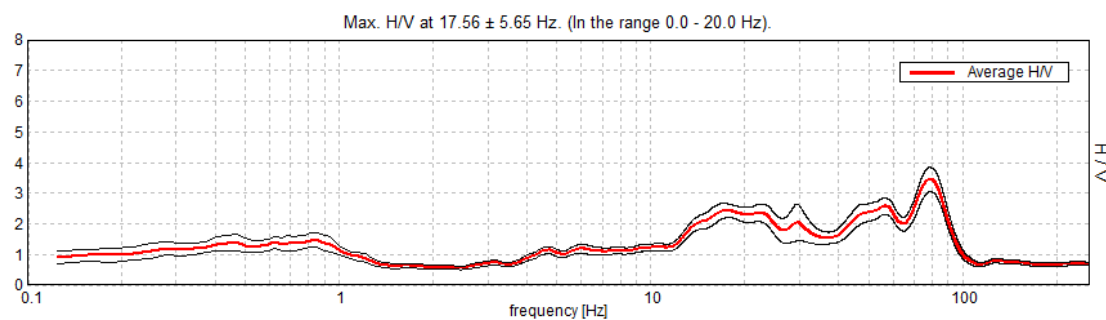
|  |            |        |
|--|------------|--------|
| Progressivo  | <b>T34</b> |        |
| Latitudine e Longitudine WGS84 - 33N [°]                     | 4963683    | 139183 |
| Quota p.c. s.l.m. [m]  | 72         |        |
| Frequenza di risonanza caratteristica tra 0,1 e 20,0 Hz [Hz] | 17.56      |        |
| Condizione di amplificazione tra 0,1 e 20,0 Hz               | SI         |        |
| Presenza di artefatti  | NO         |        |



*Andamento delle tre componenti del moto sismico*



*Ubicazione*



*Andamento della curva H/V*

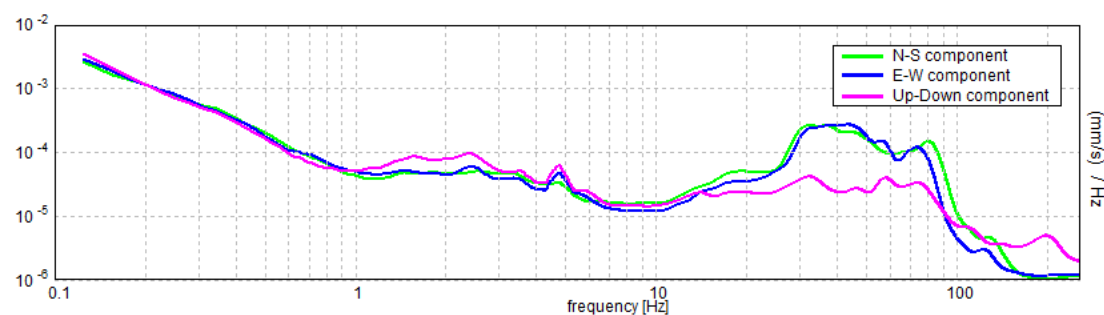


*Foto*

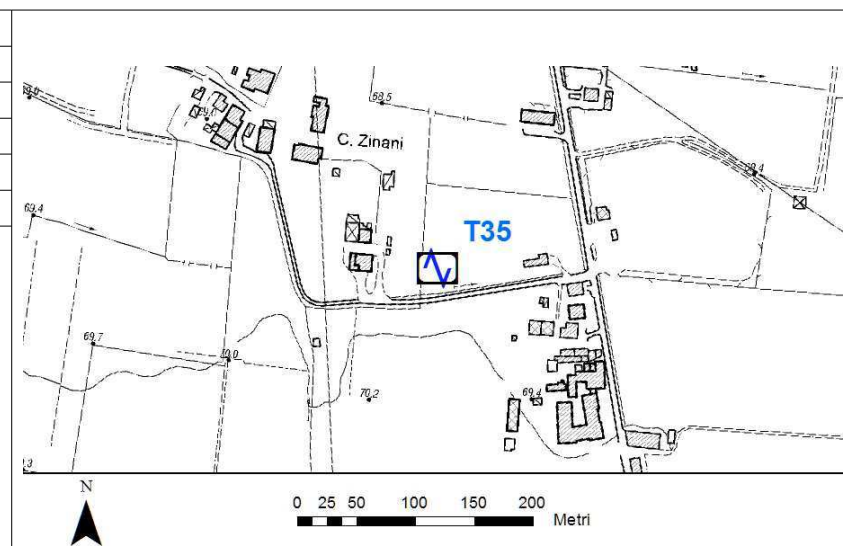


## Misura sismica H.V.S.R.

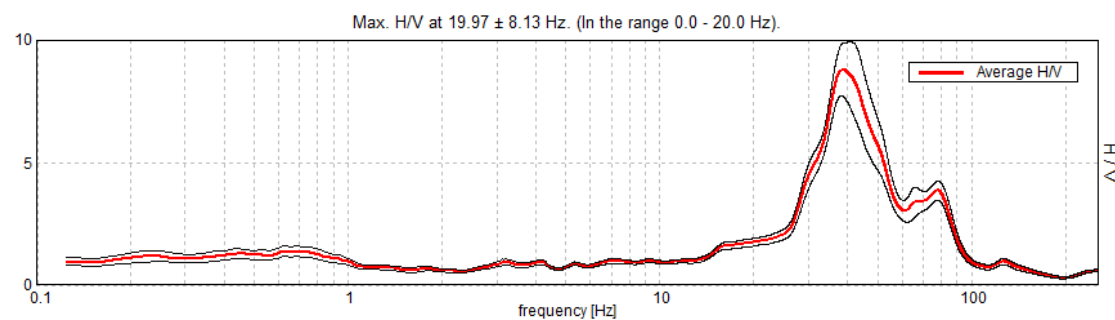
|  |            |        |
|--|------------|--------|
| Progressivo  | <b>T35</b> |        |
| Latitudine e Longitudine WGS84 - 33N [°]                     | 4964154    | 139034 |
| Quota p.c. s.l.m. [m]  | 68         |        |
| Frequenza di risonanza caratteristica tra 0,1 e 20,0 Hz [Hz] | 19.97      |        |
| Condizione di amplificazione tra 0,1 e 20,0 Hz               | NO         |        |
| Presenza di artefatti  | SI         |        |



Andamento delle tre componenti del moto sismico



Ubicazione



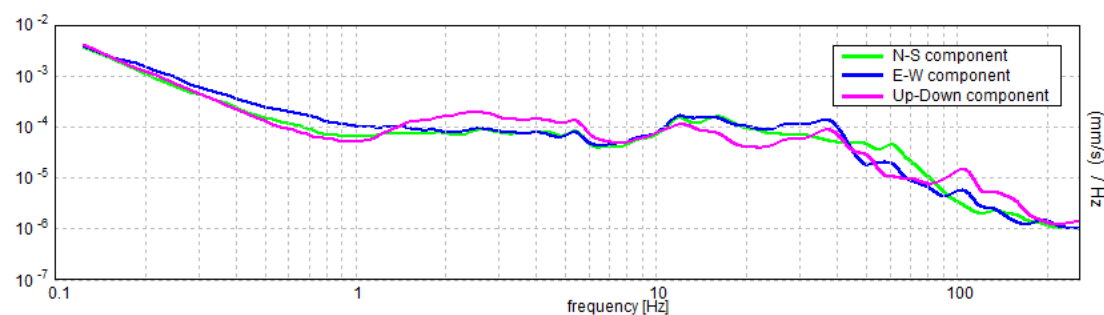
Andamento della curva H/V



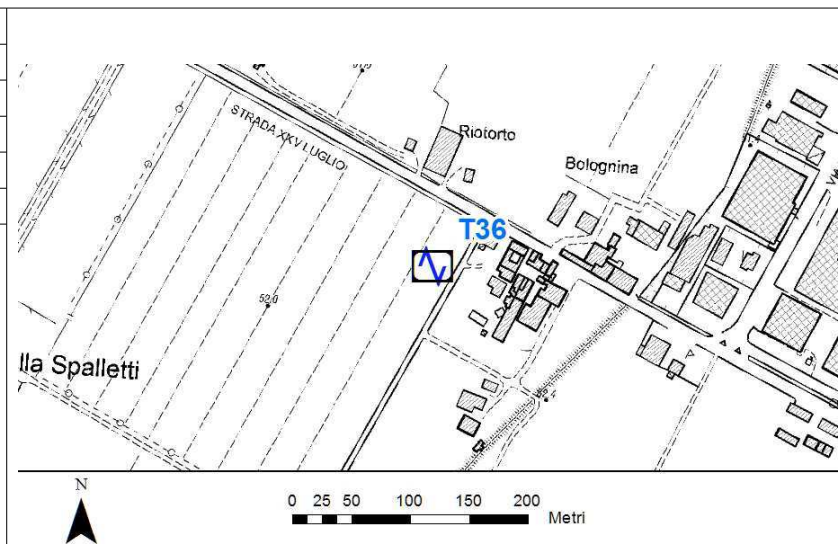
Foto

## Misura sismica H.V.S.R.

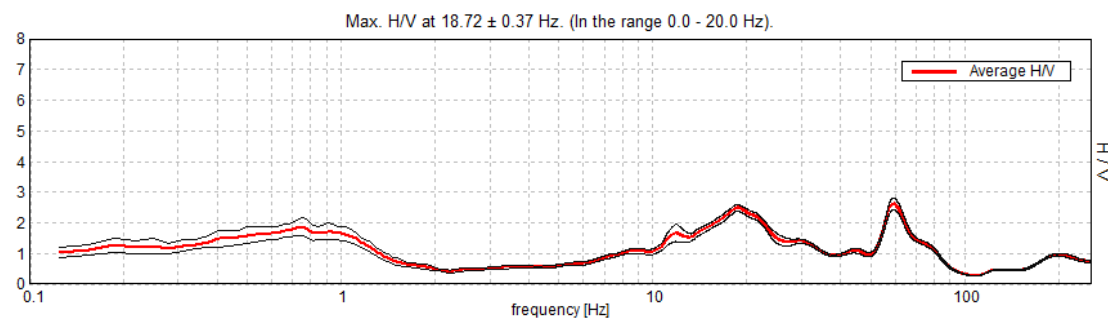
|  |            |        |
|--|------------|--------|
| Progressivo  | <b>T36</b> |        |
| Latitudine e Longitudine WGS84 - 33N [°]                     | 4965482    | 141621 |
| Quota p.c. s.l.m. [m]  | 52         |        |
| Frequenza di risonanza caratteristica tra 0,1 e 20,0 Hz [Hz] | 18.72      |        |
| Condizione di amplificazione tra 0,1 e 20,0 Hz               | SI         |        |
| Presenza di artefatti  | NO         |        |



*Andamento delle tre componenti del moto sismico*



*Ubicazione*



*Andamento della curva H/V*

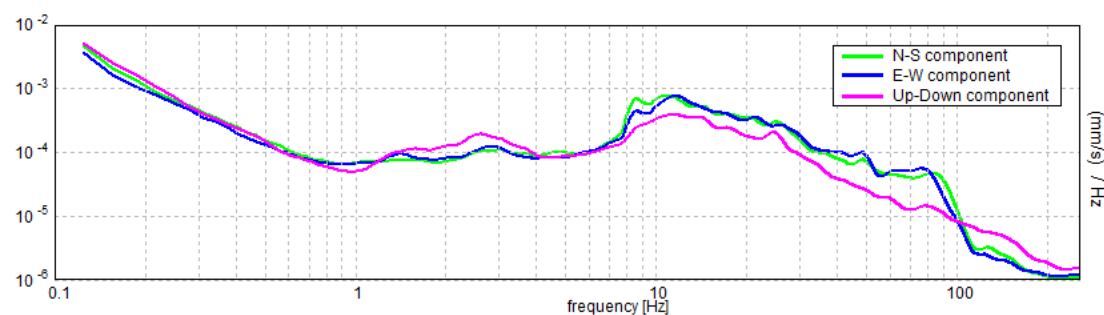


*Foto*

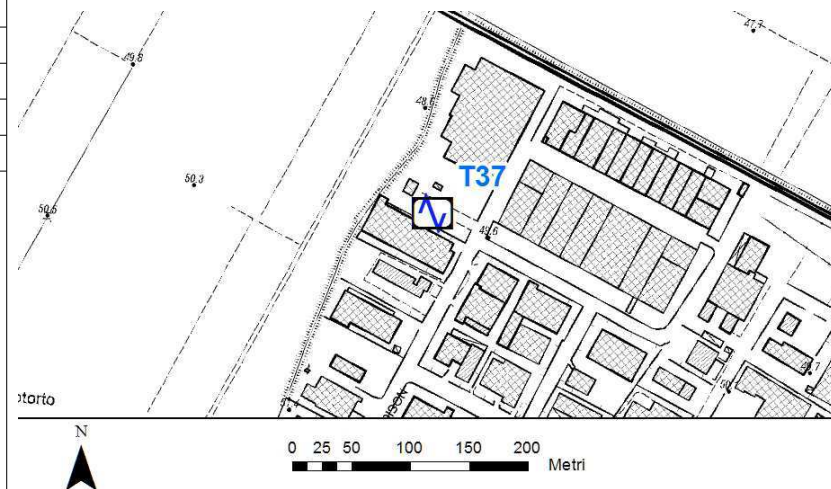


## Misura sismica H.V.S.R.

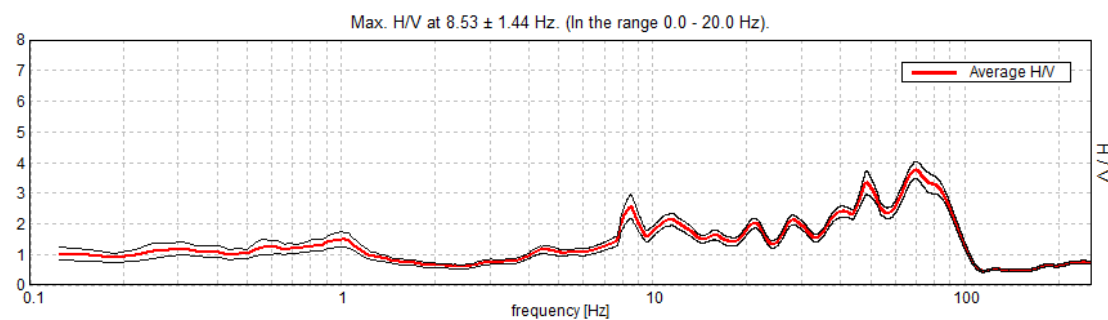
|  |            |        |
|--|------------|--------|
| Progressivo  | <b>T37</b> |        |
| Latitudine e Longitudine WGS84 - 33N [°]                     | 4965751    | 142012 |
| Quota p.c. s.l.m. [m]  | 50         |        |
| Frequenza di risonanza caratteristica tra 0,1 e 20,0 Hz [Hz] | 8.53       |        |
| Condizione di amplificazione tra 0,1 e 20,0 Hz               | SI         |        |
| Presenza di artefatti  | SI         |        |



Andamento delle tre componenti del moto sismico



Ubicazione



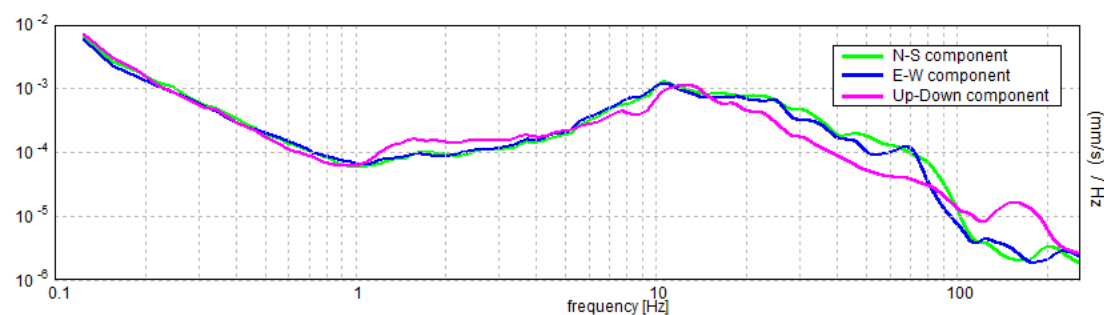
Andamento della curva H/V



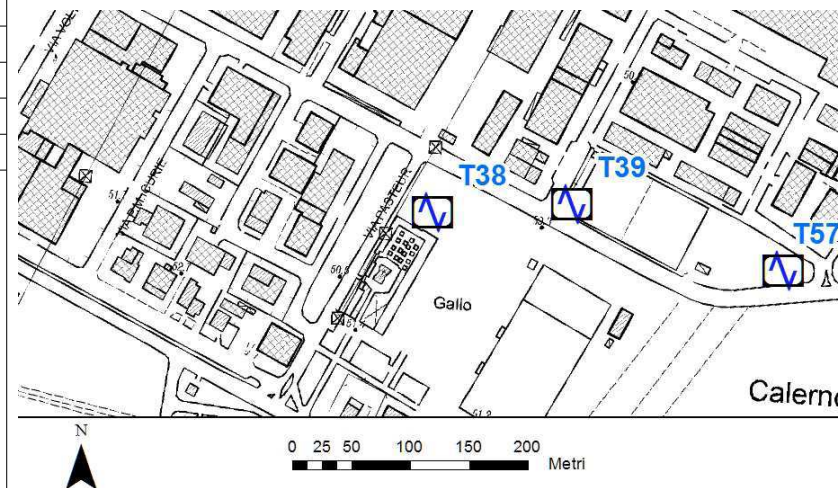
Foto

## Misura sismica H.V.S.R.

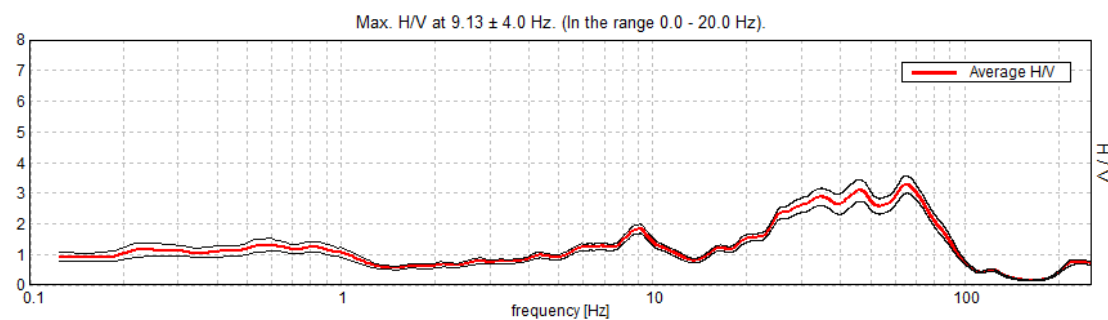
|  |            |        |
|--|------------|--------|
| Progressivo  | <b>T38</b> |        |
| Latitudine e Longitudine WGS84 - 33N [°]                     | 4965251    | 142590 |
| Quota p.c. s.l.m. [m]  | 50         |        |
| Frequenza di risonanza caratteristica tra 0,1 e 20,0 Hz [Hz] | 9.13       |        |
| Condizione di amplificazione tra 0,1 e 20,0 Hz               | SI         |        |
| Presenza di artefatti  | NO         |        |



Andamento delle tre componenti del moto sismico



Ubicazione



Andamento della curva H/V

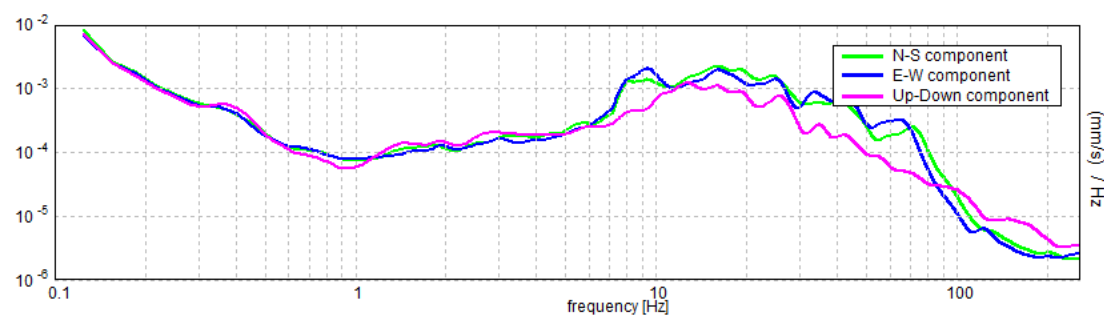


Foto

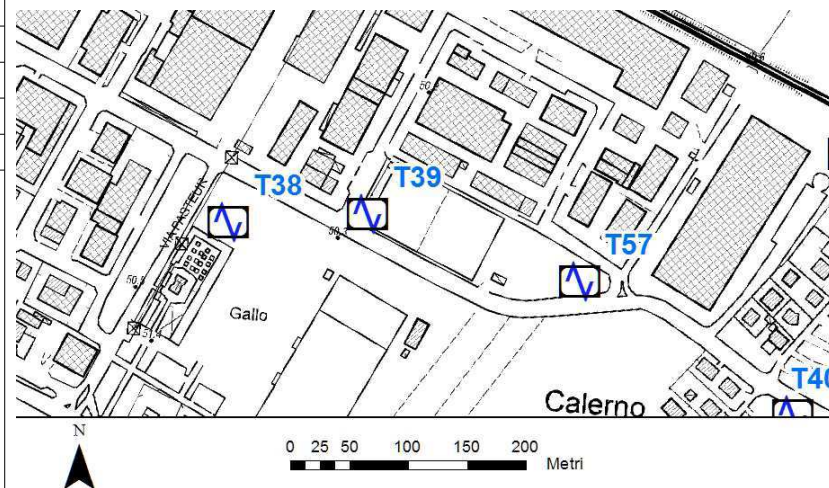


## Misura sismica H.V.S.R.

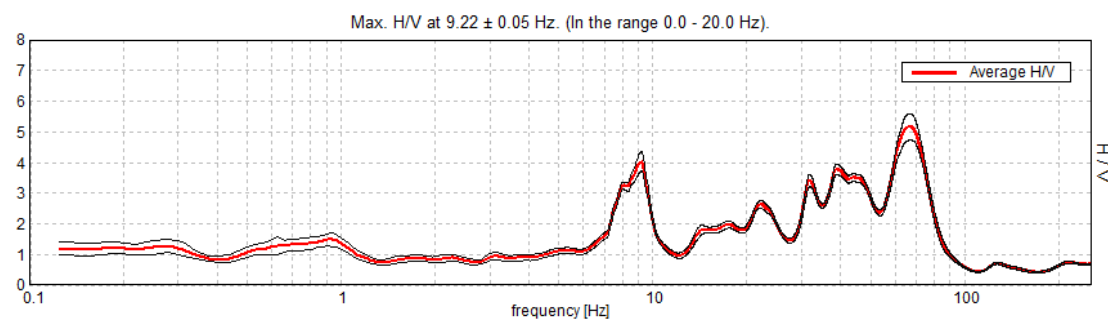
|  |            |        |
|--|------------|--------|
| Progressivo  | <b>T39</b> |        |
| Latitudine e Longitudine WGS84 - 33N [°]                     | 4965258    | 142708 |
| Quota p.c. s.l.m. [m]  | 50         |        |
| Frequenza di risonanza caratteristica tra 0,1 e 20,0 Hz [Hz] | 9.22       |        |
| Condizione di amplificazione tra 0,1 e 20,0 Hz               | SI         |        |
| Presenza di artefatti  | NO         |        |



*Andamento delle tre componenti del moto sismico*



*Ubicazione*



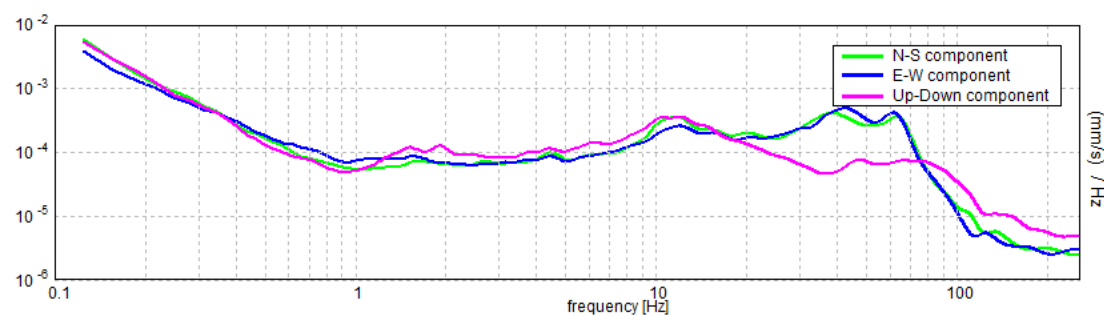
*Andamento della curva H/V*



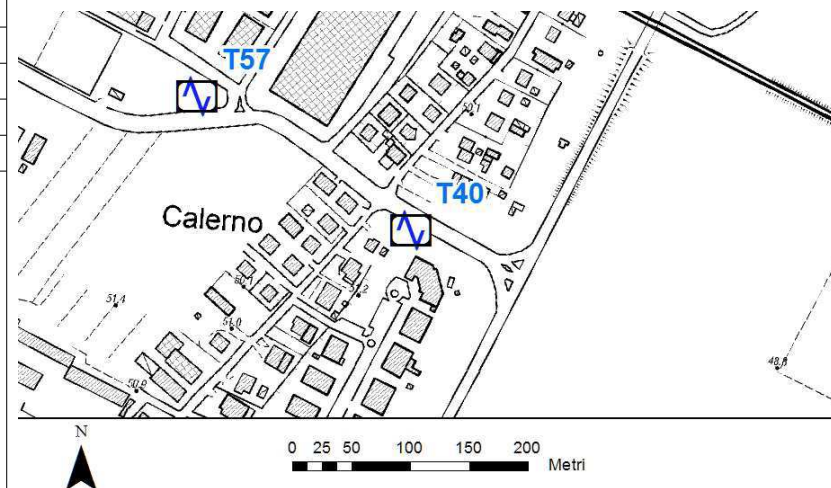
*Foto*

## Misura sismica H.V.S.R.

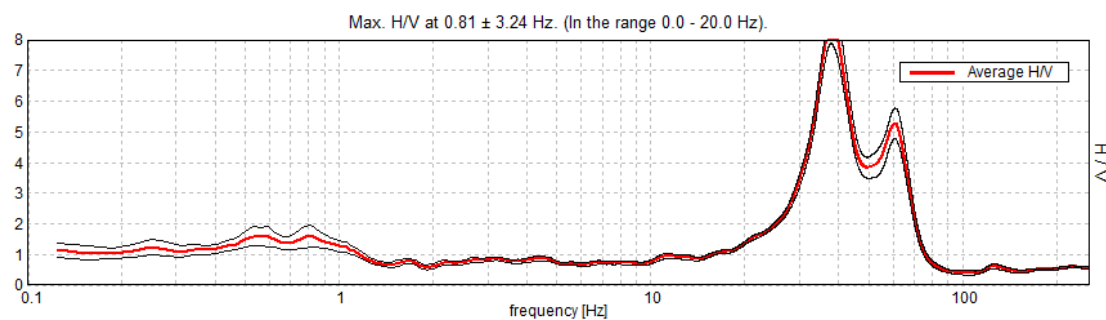
|  |         |        |
|--|---------|--------|
| Progressivo  | T40     |        |
| Latitudine e Longitudine WGS84 - 33N [°]                     | 4965087 | 143069 |
| Quota p.c. s.l.m. [m]  | 51      |        |
| Frequenza di risonanza caratteristica tra 0,1 e 20,0 Hz [Hz] | 0.81    |        |
| Condizione di amplificazione tra 0,1 e 20,0 Hz               | SI      |        |
| Presenza di artefatti  | NO      |        |



Andamento delle tre componenti del moto sismico



Ubicazione



Andamento della curva H/V

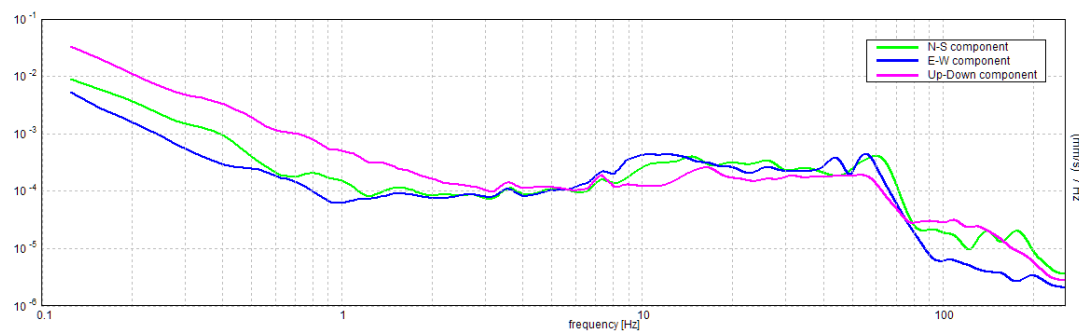


Foto

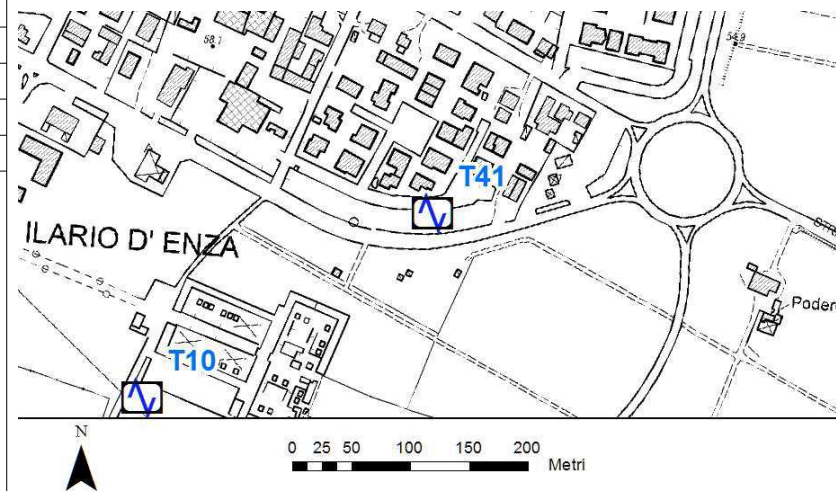


## Misura sismica H.V.S.R.

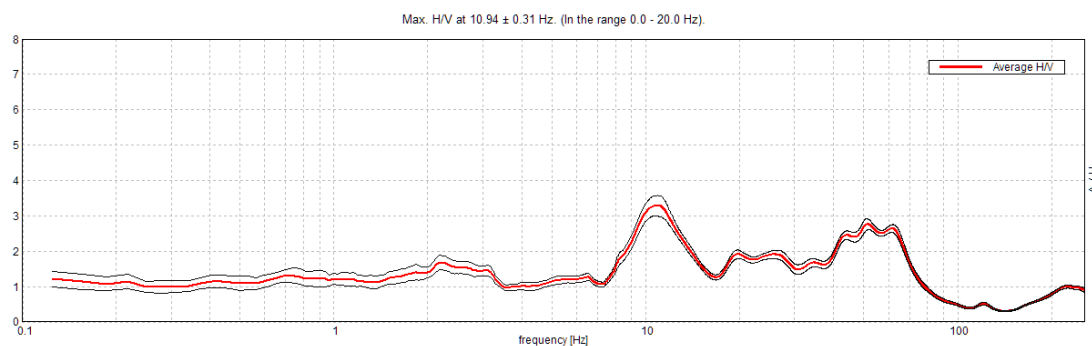
|  |         |        |
|--|---------|--------|
| Progressivo  | T41     |        |
| Latitudine e Longitudine WGS84 - 33N [°]                     | 4966139 | 140246 |
| Quota p.c. s.l.m. [m]  | 59      |        |
| Frequenza di risonanza caratteristica tra 0,1 e 20,0 Hz [Hz] | 10.94   |        |
| Condizione di amplificazione tra 0,1 e 20,0 Hz               | SI      |        |
| Presenza di artefatti  | SI      |        |



Andamento delle tre componenti del moto sismico



Ubicazione



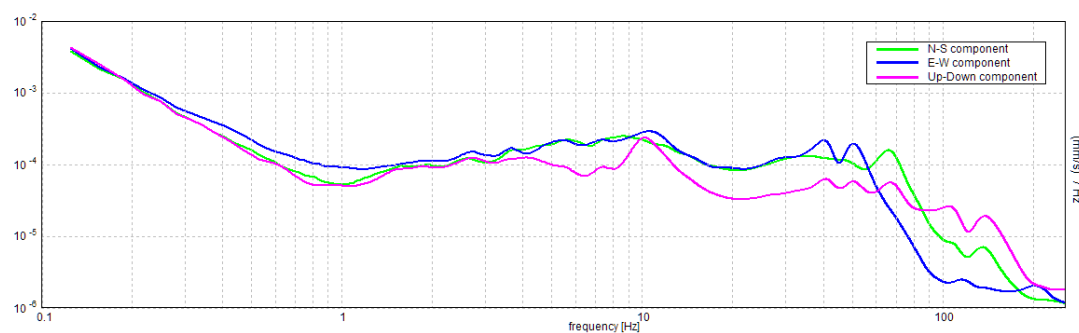
Andamento della curva H/V



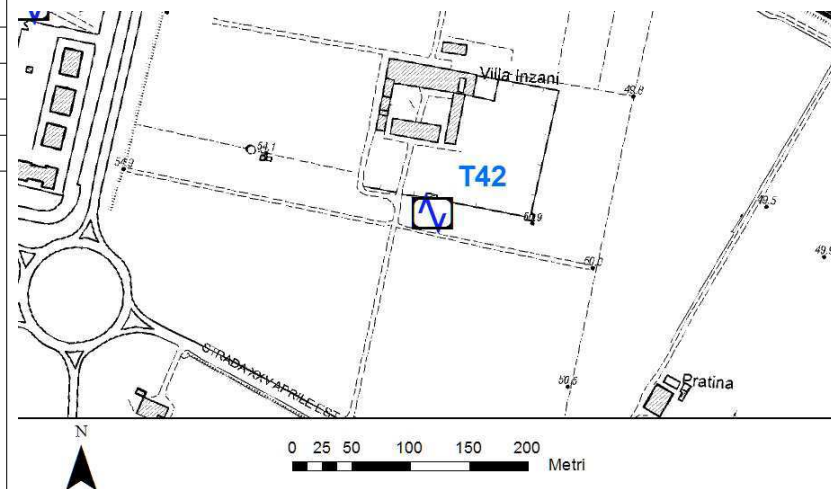
Foto

## Misura sismica H.V.S.R.

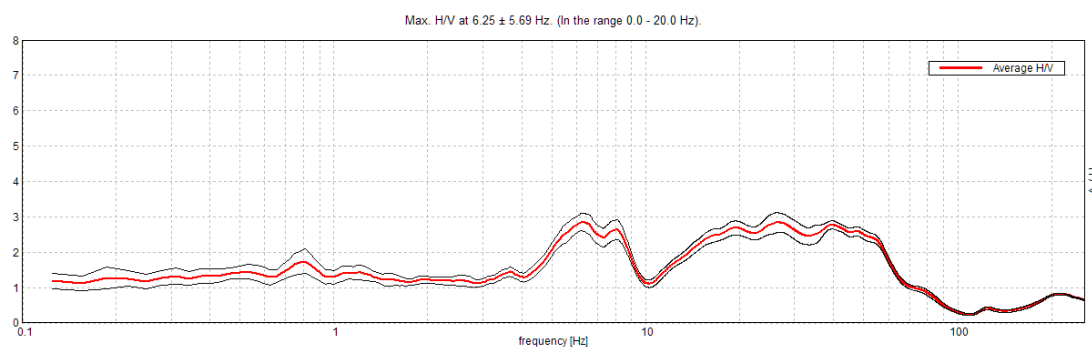
|  |            |        |
|--|------------|--------|
| Progressivo  | <b>T42</b> |        |
| Latitudine e Longitudine WGS84 - 33N [°]                     | 4966245    | 140765 |
| Quota p.c. s.l.m. [m]  | 51         |        |
| Frequenza di risonanza caratteristica tra 0,1 e 20,0 Hz [Hz] | 6.25       |        |
| Condizione di amplificazione tra 0,1 e 20,0 Hz               | SI         |        |
| Presenza di artefatti  | NO         |        |



*Andamento delle tre componenti del moto sismico*



*Ubicazione*



*Andamento della curva H/V*

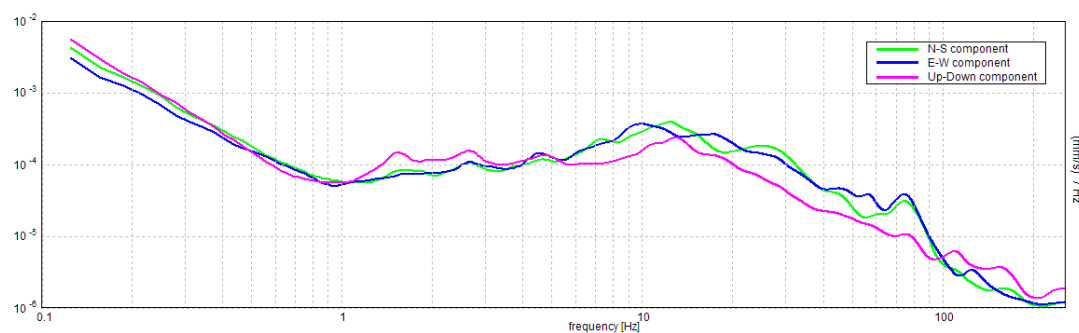


*Foto*

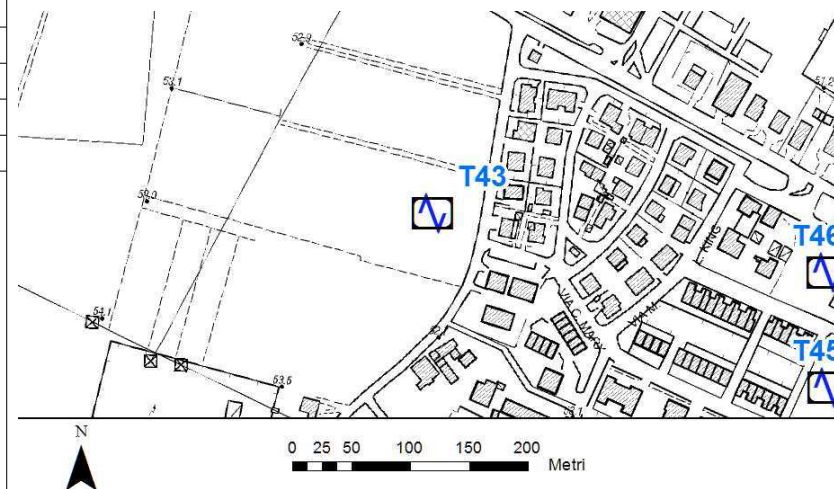


## Misura sismica H.V.S.R.

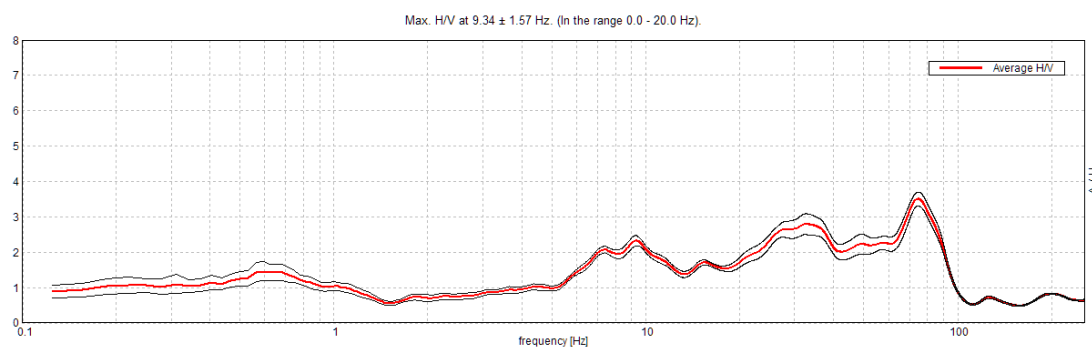
|  |            |        |
|--|------------|--------|
| Progressivo  | <b>T43</b> |        |
| Latitudine e Longitudine WGS84 - 33N [°]                     | 4964967    | 142299 |
| Quota p.c. s.l.m. [m]  | 53         |        |
| Frequenza di risonanza caratteristica tra 0,1 e 20,0 Hz [Hz] | 9.34       |        |
| Condizione di amplificazione tra 0,1 e 20,0 Hz               | SI         |        |
| Presenza di artefatti  | NO         |        |



*Andamento delle tre componenti del moto sismico*



*Ubicazione*



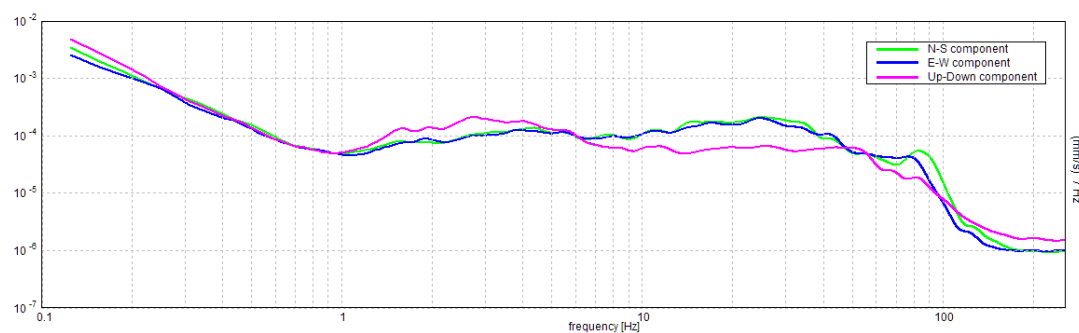
*Andamento della curva H/V*



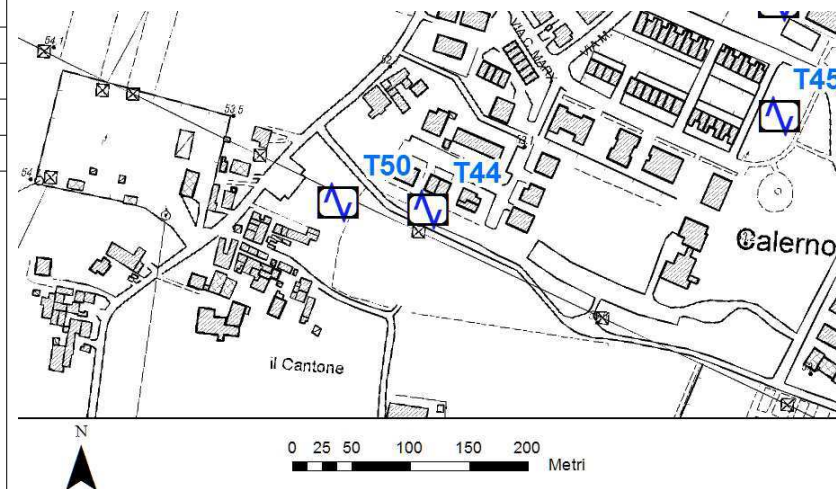
*Foto*

## Misura sismica H.V.S.R.

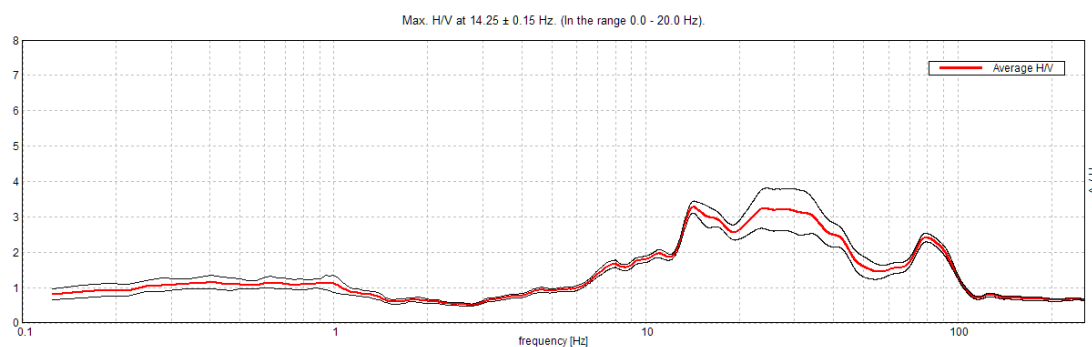
|  |            |        |
|--|------------|--------|
| Progressivo  | <b>T44</b> |        |
| Latitudine e Longitudine WGS84 - 33N [°]                     | 4964740    | 142336 |
| Quota p.c. s.l.m. [m]  | 54         |        |
| Frequenza di risonanza caratteristica tra 0,1 e 20,0 Hz [Hz] | 14.25      |        |
| Condizione di amplificazione tra 0,1 e 20,0 Hz               | SI         |        |
| Presenza di artefatti  | NO         |        |



Andamento delle tre componenti del moto sismico



Ubicazione



Andamento della curva H/V

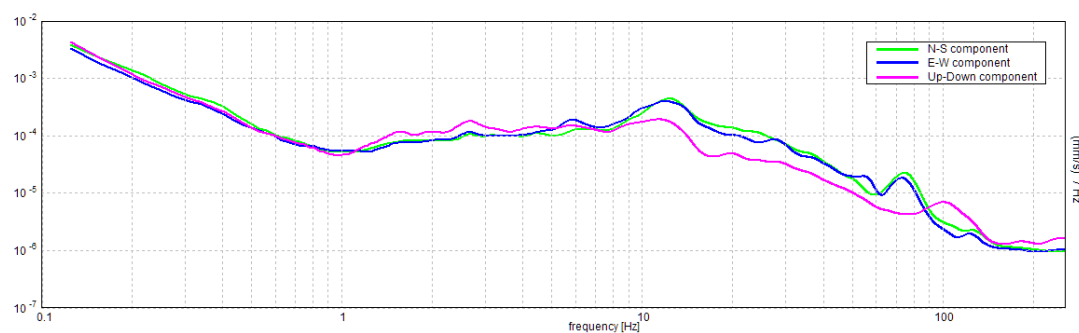


Foto

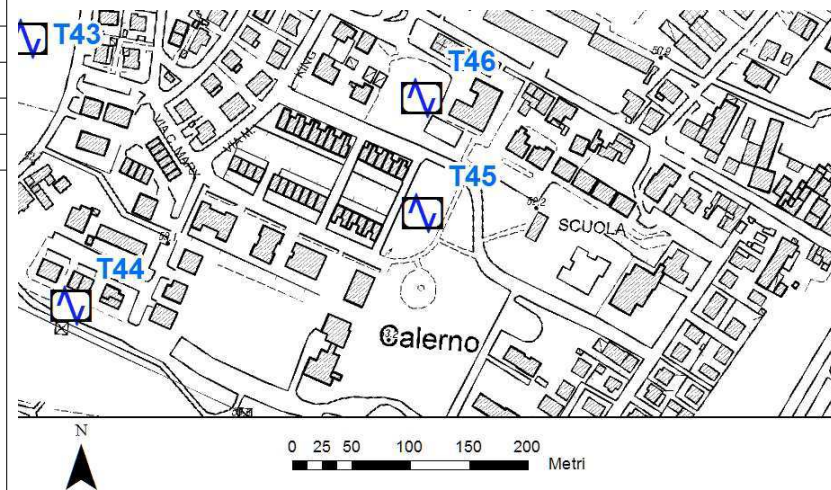


## Misura sismica H.V.S.R.

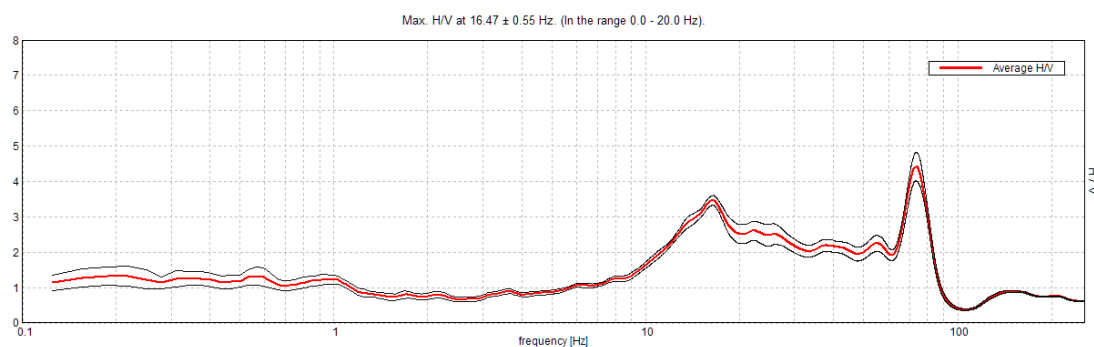
|  |            |        |
|--|------------|--------|
| Progressivo  | <b>T45</b> |        |
| Latitudine e Longitudine WGS84 - 33N [°]                     | 4964819    | 142634 |
| Quota p.c. s.l.m. [m]  | 52         |        |
| Frequenza di risonanza caratteristica tra 0,1 e 20,0 Hz [Hz] | 16.47      |        |
| Condizione di amplificazione tra 0,1 e 20,0 Hz               | SI         |        |
| Presenza di artefatti  | NO         |        |



Andamento delle tre componenti del moto sismico



Ubicazione



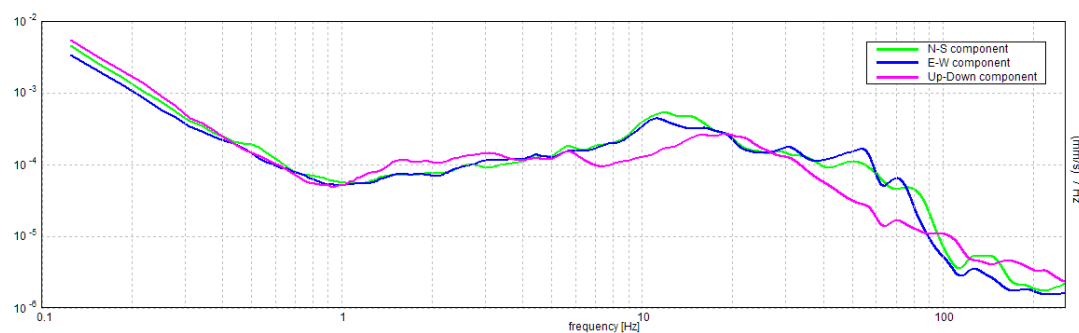
Andamento della curva H/V



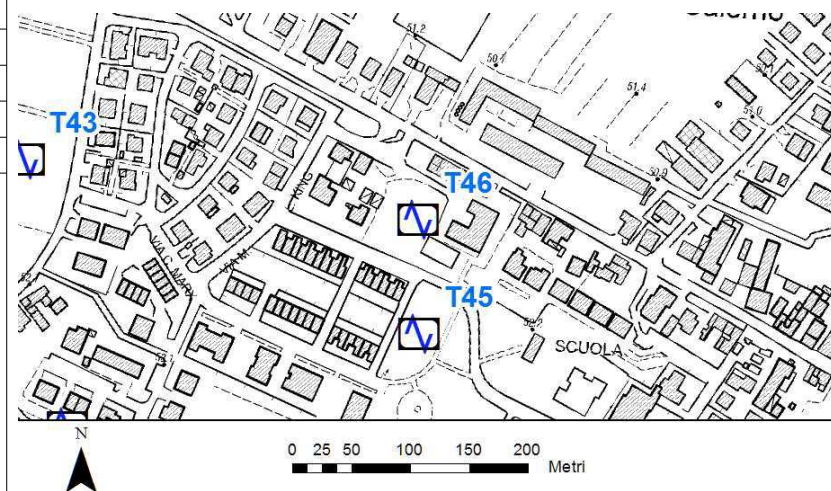
Foto

## Misura sismica H.V.S.R.

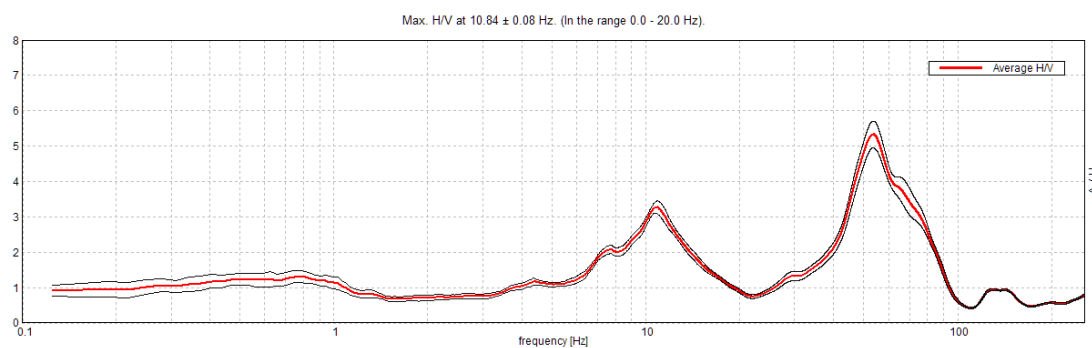
|  |            |        |
|--|------------|--------|
| Progressivo  | <b>T46</b> |        |
| Latitudine e Longitudine WGS84 - 33N [°]                     | 4964917    | 142634 |
| Quota p.c. s.l.m. [m]  | 52         |        |
| Frequenza di risonanza caratteristica tra 0,1 e 20,0 Hz [Hz] | 10.84      |        |
| Condizione di amplificazione tra 0,1 e 20,0 Hz               | SI         |        |
| Presenza di artefatti  | NO         |        |



Andamento delle tre componenti del moto sismico



Ubicazione



Andamento della curva H/V

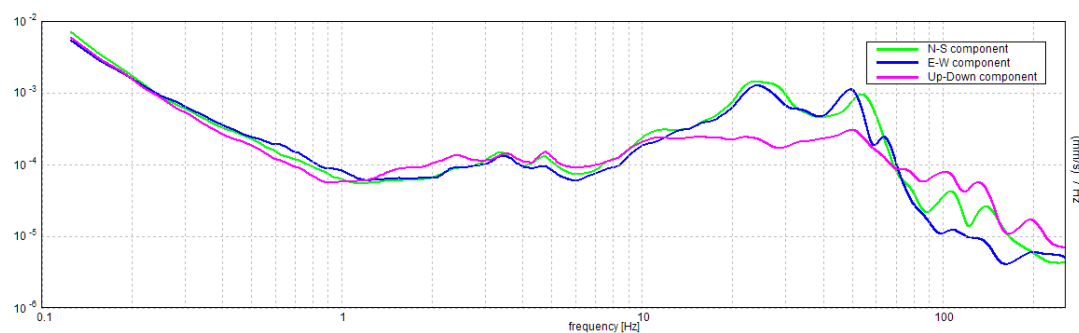


Foto

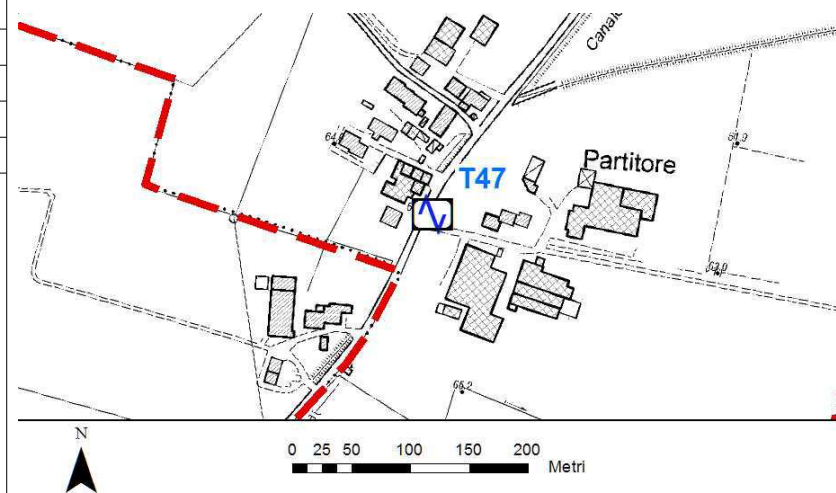


## Misura sismica H.V.S.R.

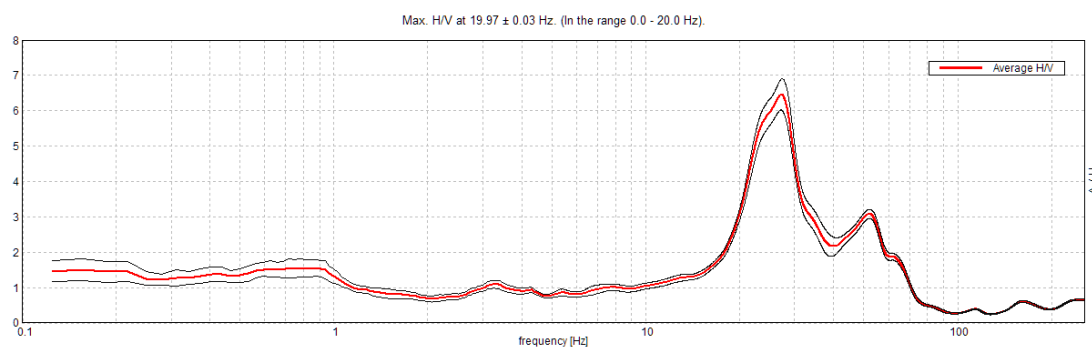
|  |            |        |
|--|------------|--------|
| Progressivo  | <b>T47</b> |        |
| Latitudine e Longitudine WGS84 - 33N [°]                     | 4963154    | 141880 |
| Quota p.c. s.l.m. [m]  | 64         |        |
| Frequenza di risonanza caratteristica tra 0,1 e 20,0 Hz [Hz] | 19.97      |        |
| Condizione di amplificazione tra 0,1 e 20,0 Hz               | SI         |        |
| Presenza di artefatti  | NO         |        |



Andamento delle tre componenti del moto sismico



Ubicazione



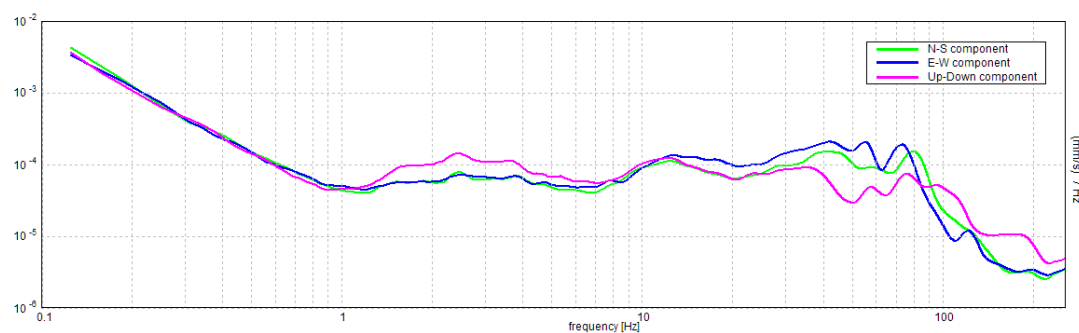
Andamento della curva H/V



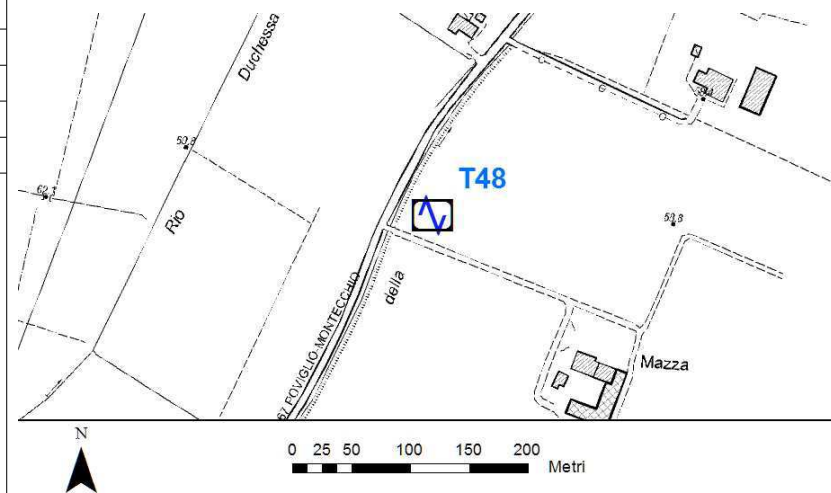
Foto

## Misura sismica H.V.S.R.

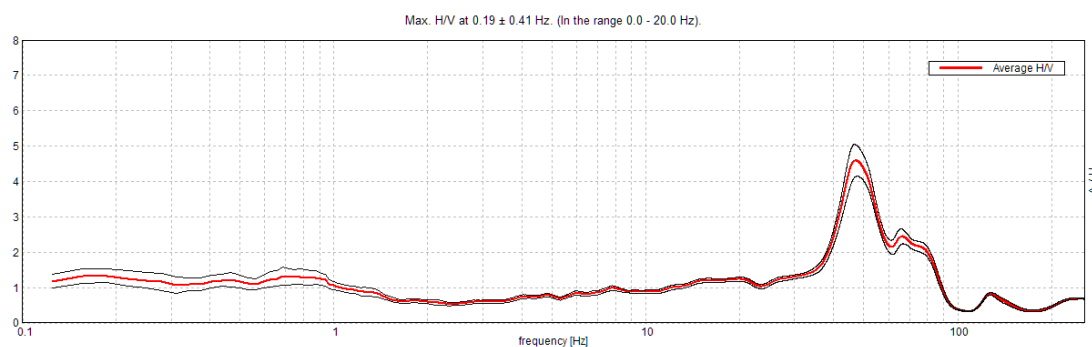
|  |            |        |
|--|------------|--------|
| Progressivo  | <b>T48</b> |        |
| Latitudine e Longitudine WGS84 - 33N [°]                     | 4963591    | 142188 |
| Quota p.c. s.l.m. [m]  | 59         |        |
| Frequenza di risonanza caratteristica tra 0,1 e 20,0 Hz [Hz] | 0.75       |        |
| Condizione di amplificazione tra 0,1 e 20,0 Hz               | NO         |        |
| Presenza di artefatti  | NO         |        |



*Andamento delle tre componenti del moto sismico*



*Ubicazione*



*Andamento della curva H/V*

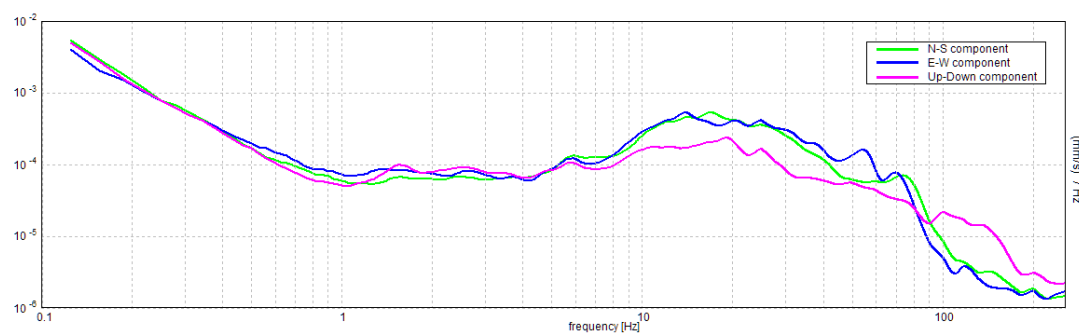


*Foto*

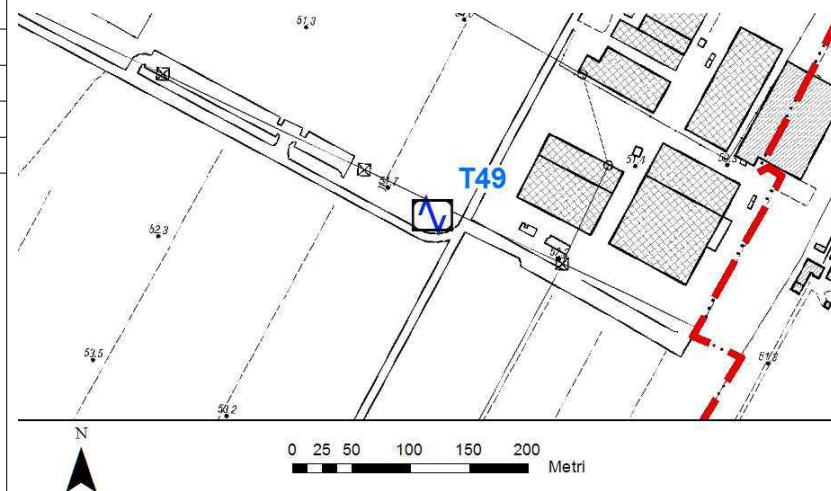


## Misura sismica H.V.S.R.

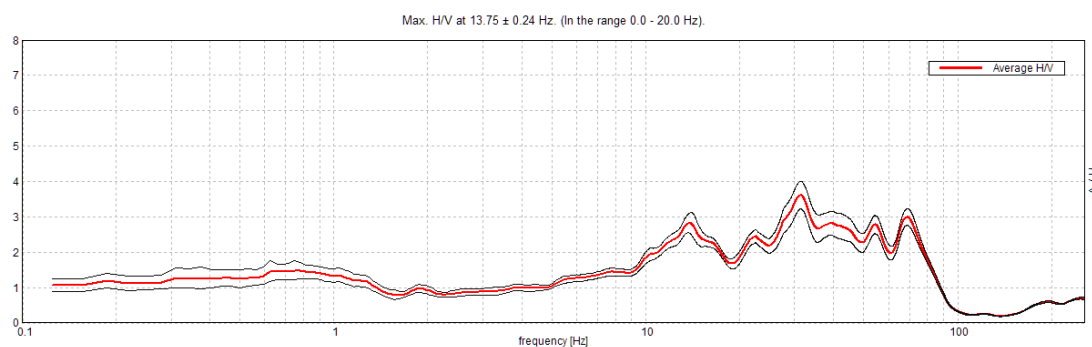
|  |            |        |
|--|------------|--------|
| Progressivo  | <b>T49</b> |        |
| Latitudine e Longitudine WGS84 - 33N [°]                     | 4964226    | 143349 |
| Quota p.c. s.l.m. [m]  | 52         |        |
| Frequenza di risonanza caratteristica tra 0,1 e 20,0 Hz [Hz] | 13.75      |        |
| Condizione di amplificazione tra 0,1 e 20,0 Hz               | SI         |        |
| Presenza di artefatti  | NO         |        |



*Andamento delle tre componenti del moto sismico*



*Ubicazione*



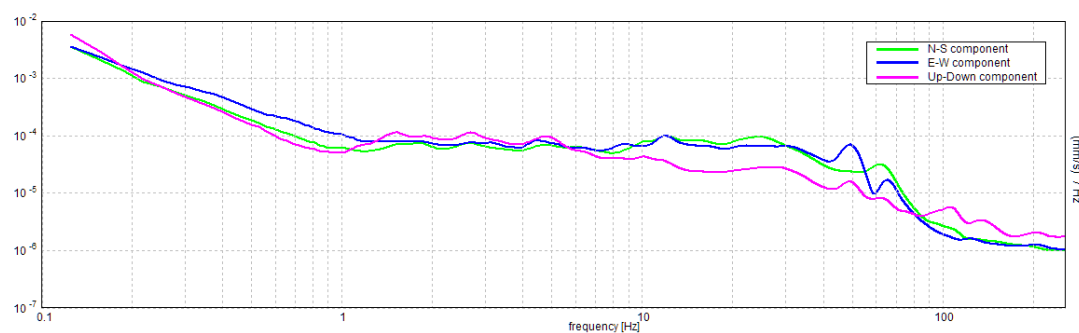
*Andamento della curva H/V*



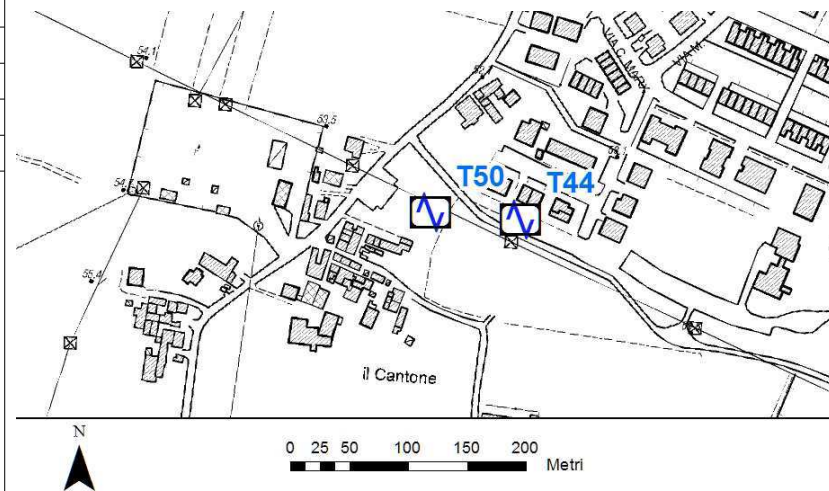
*Foto*

## Misura sismica H.V.S.R.

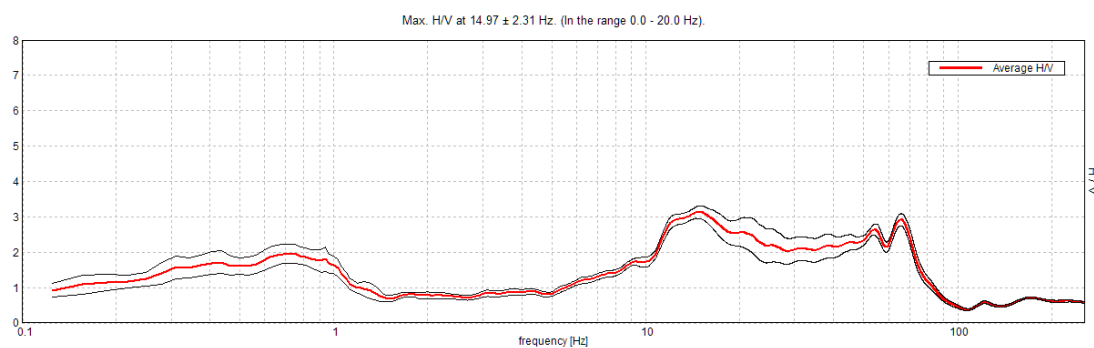
|  |            |        |
|--|------------|--------|
| Progressivo  | <b>T50</b> |        |
| Latitudine e Longitudine WGS84 - 33N [°]                     | 4964746    | 142260 |
| Quota p.c. s.l.m. [m]  | 54         |        |
| Frequenza di risonanza caratteristica tra 0,1 e 20,0 Hz [Hz] | 14.97      |        |
| Condizione di amplificazione tra 0,1 e 20,0 Hz               | SI         |        |
| Presenza di artefatti  | NO         |        |



*Andamento delle tre componenti del moto sismico*



*Ubicazione*



*Andamento della curva H/V*

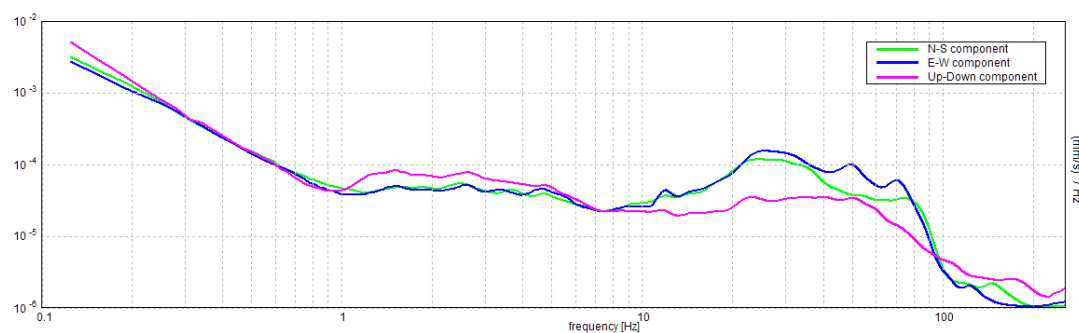


*Foto*

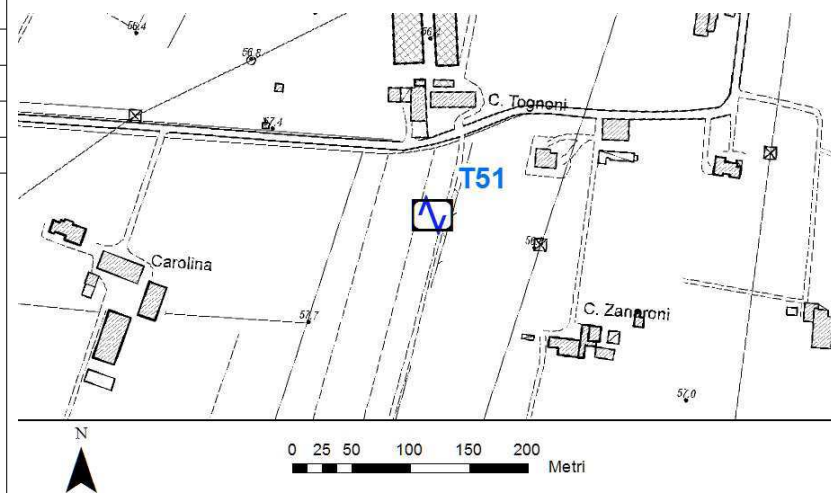


## Misura sismica H.V.S.R.

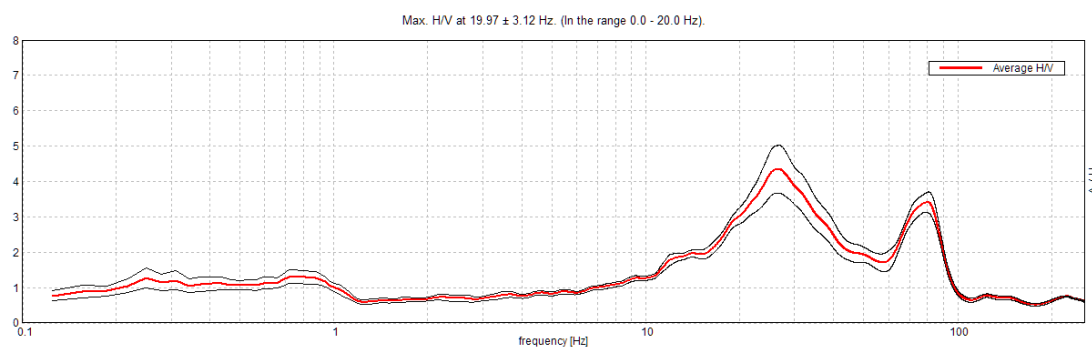
|  |            |        |
|--|------------|--------|
| Progressivo  | <b>T51</b> |        |
| Latitudine e Longitudine WGS84 - 33N [°]                     | 4964451    | 141793 |
| Quota p.c. s.l.m. [m]  | 57         |        |
| Frequenza di risonanza caratteristica tra 0,1 e 20,0 Hz [Hz] | 19.97      |        |
| Condizione di amplificazione tra 0,1 e 20,0 Hz               | SI         |        |
| Presenza di artefatti  | NO         |        |



*Andamento delle tre componenti del moto sismico*



*Ubicazione*



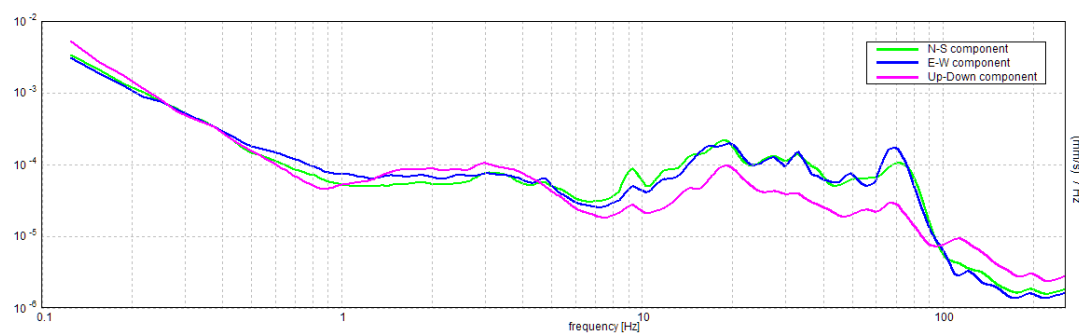
*Andamento della curva H/V*



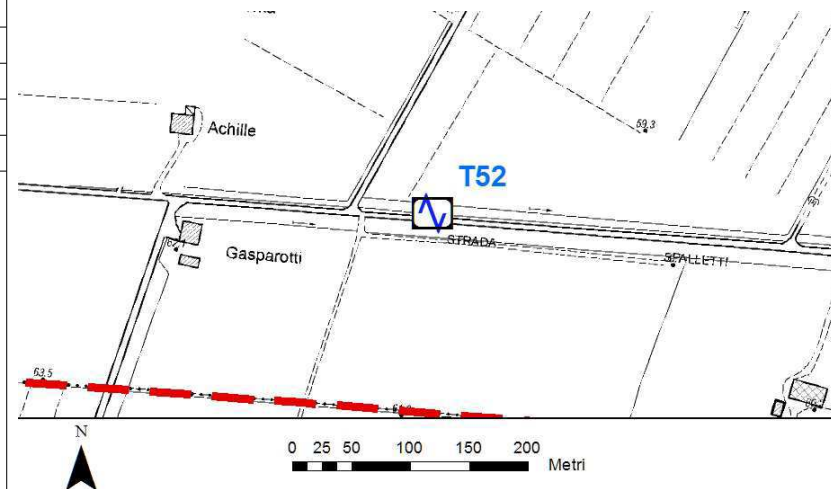
*Foto*

## Misura sismica H.V.S.R.

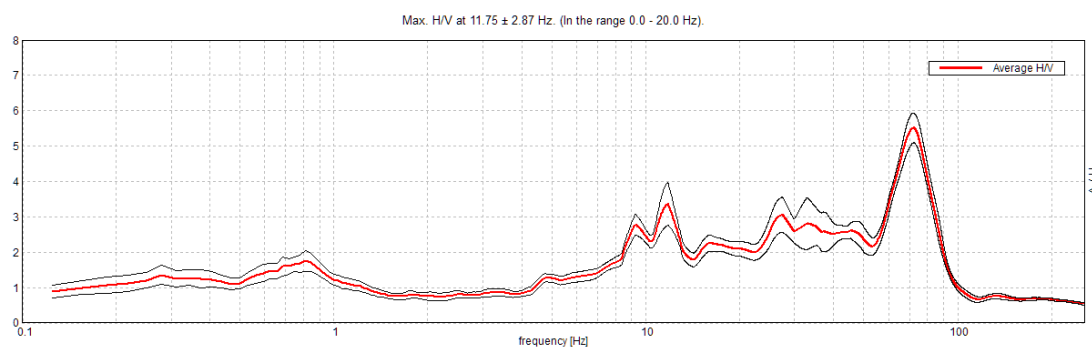
|  |            |        |
|--|------------|--------|
| Progressivo  | <b>T52</b> |        |
| Latitudine e Longitudine WGS84 - 33N [°]                     | 4964589    | 140825 |
| Quota p.c. s.l.m. [m]  | 60         |        |
| Frequenza di risonanza caratteristica tra 0,1 e 20,0 Hz [Hz] | 11.75      |        |
| Condizione di amplificazione tra 0,1 e 20,0 Hz               | SI         |        |
| Presenza di artefatti  | SI         |        |



*Andamento delle tre componenti del moto sismico*



*Ubicazione*



*Andamento della curva H/V*

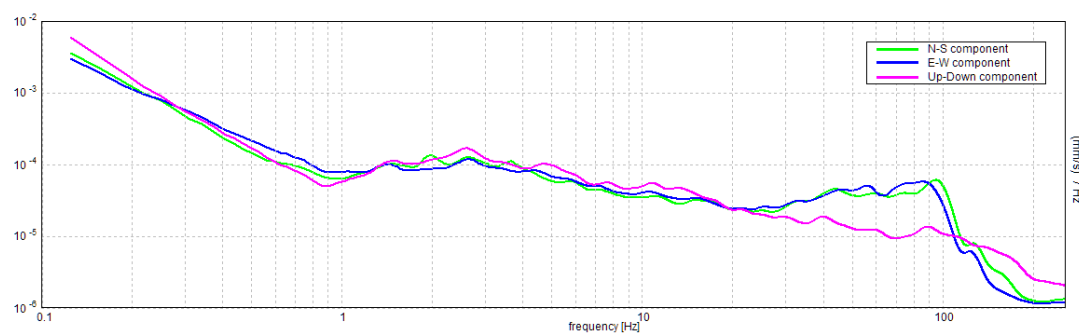


*Foto*

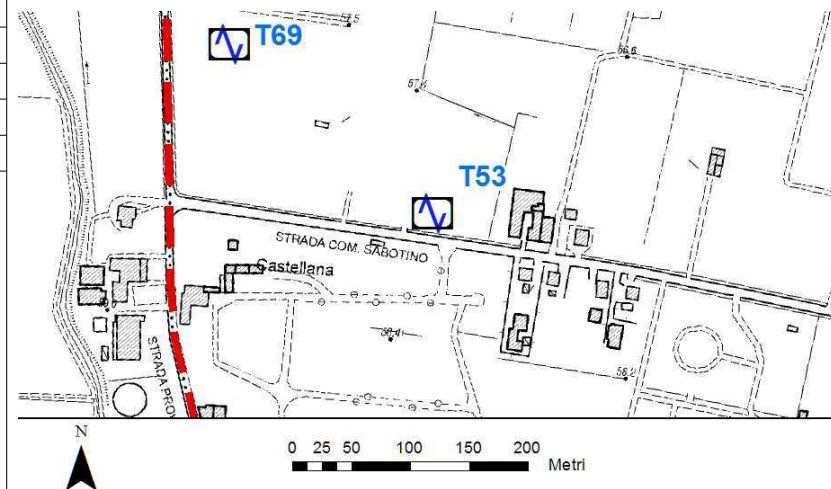


## Misura sismica H.V.S.R.

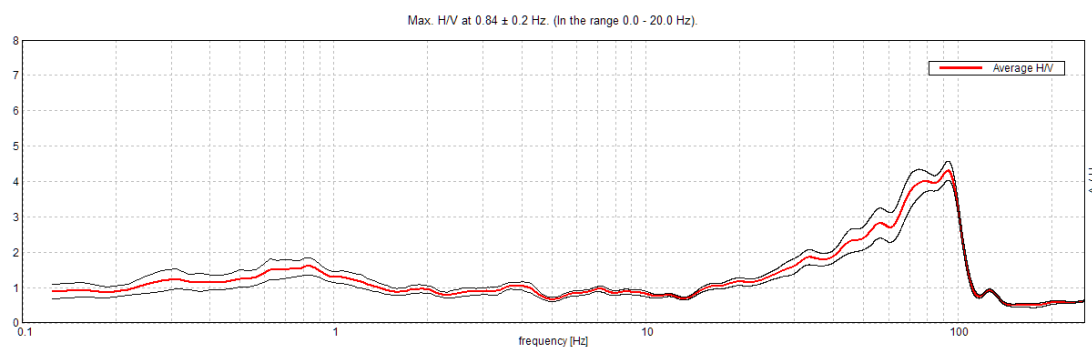
|  |            |        |
|--|------------|--------|
| Progressivo  | <b>T53</b> |        |
| Latitudine e Longitudine WGS84 - 33N [°]                     | 4966411    | 138707 |
| Quota p.c. s.l.m. [m]  | 58         |        |
| Frequenza di risonanza caratteristica tra 0,1 e 20,0 Hz [Hz] | 0.84       |        |
| Condizione di amplificazione tra 0,1 e 20,0 Hz               | NO         |        |
| Presenza di artefatti  | NO         |        |



*Andamento delle tre componenti del moto sismico*



*Ubicazione*



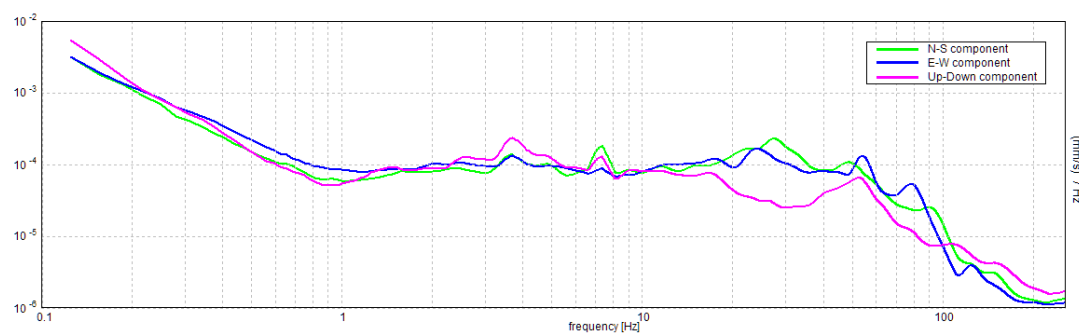
*Andamento della curva H/V*



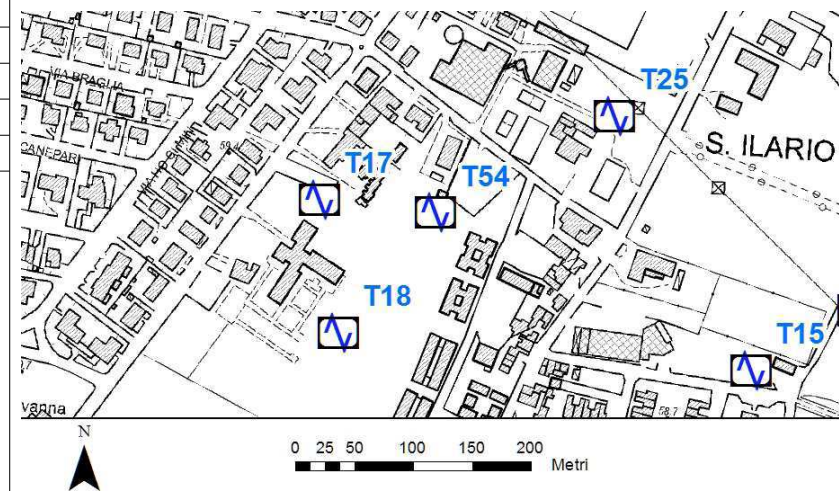
*Foto*

## Misura sismica H.V.S.R.

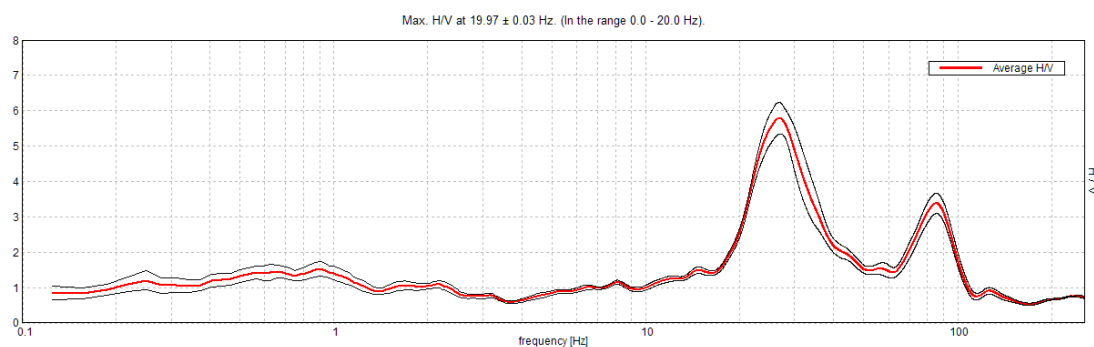
|  |            |        |
|--|------------|--------|
| Progressivo  | <b>T54</b> |        |
| Latitudine e Longitudine WGS84 - 33N [°]                     | 4966065    | 139641 |
| Quota p.c. s.l.m. [m]  | 59         |        |
| Frequenza di risonanza caratteristica tra 0,1 e 20,0 Hz [Hz] | 19.97      |        |
| Condizione di amplificazione tra 0,1 e 20,0 Hz               | SI         |        |
| Presenza di artefatti  | SI         |        |



Andamento delle tre componenti del moto sismico



Ubicazione



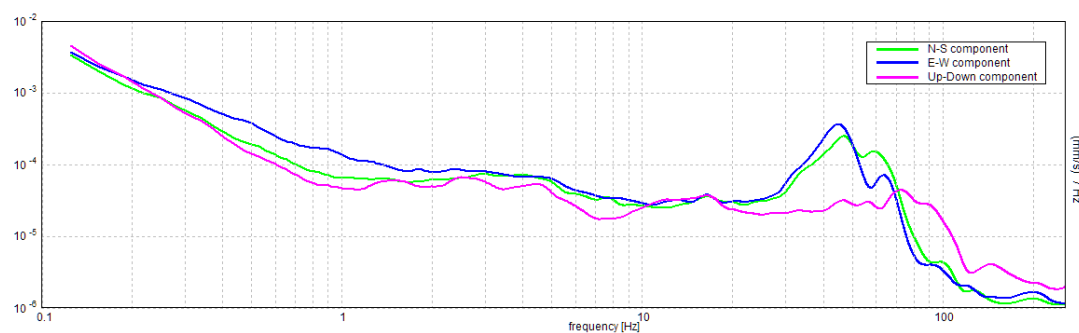
Andamento della curva H/V



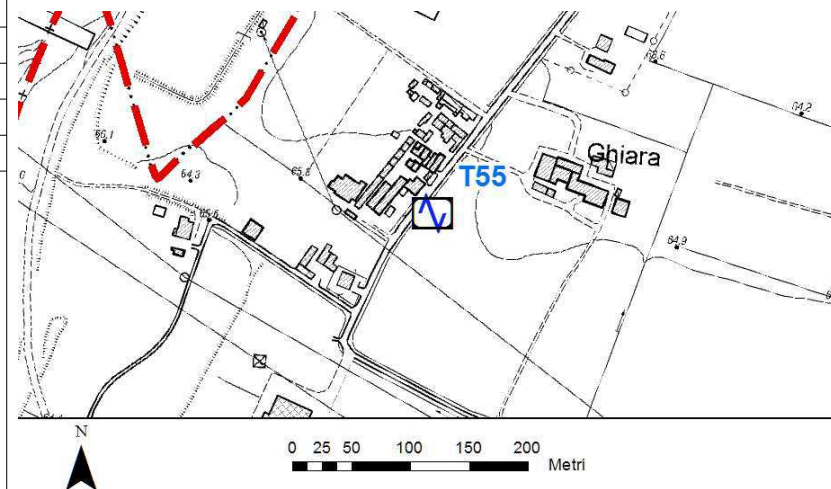
Foto

## Misura sismica H.V.S.R.

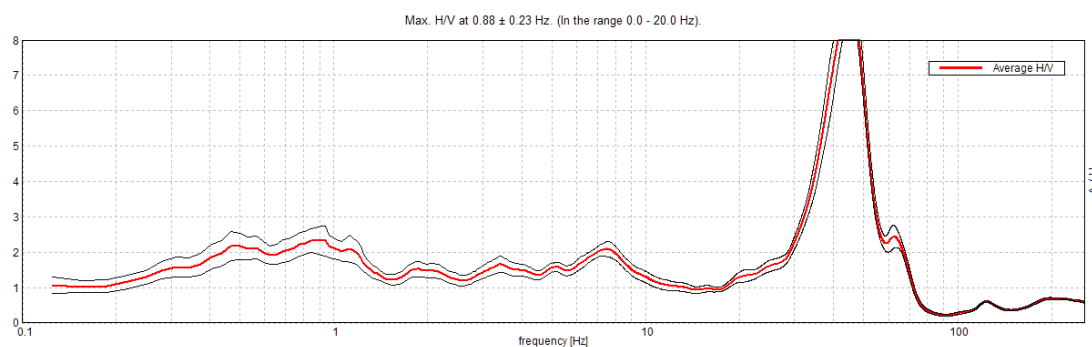
|  |            |        |
|--|------------|--------|
| Progressivo  | <b>T55</b> |        |
| Latitudine e Longitudine WGS84 - 33N [°]                     | 4965024    | 138469 |
| Quota p.c. s.l.m. [m]  | 66         |        |
| Frequenza di risonanza caratteristica tra 0,1 e 20,0 Hz [Hz] | 0.88       |        |
| Condizione di amplificazione tra 0,1 e 20,0 Hz               | SI         |        |
| Presenza di artefatti  | NO         |        |



Andamento delle tre componenti del moto sismico



Ubicazione



Andamento della curva H/V

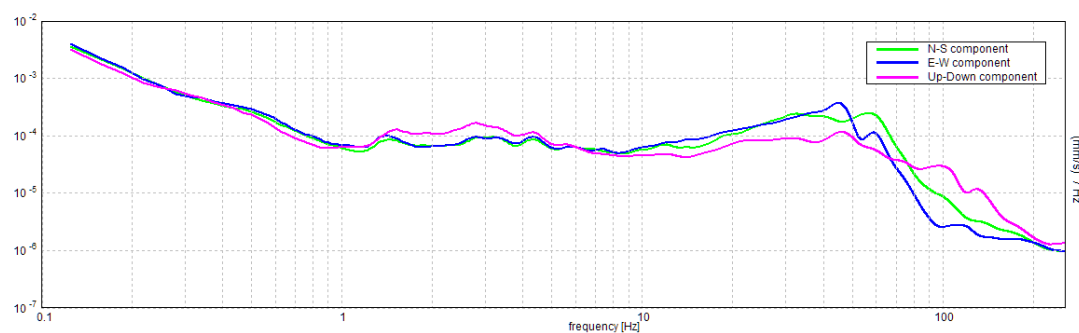


Foto

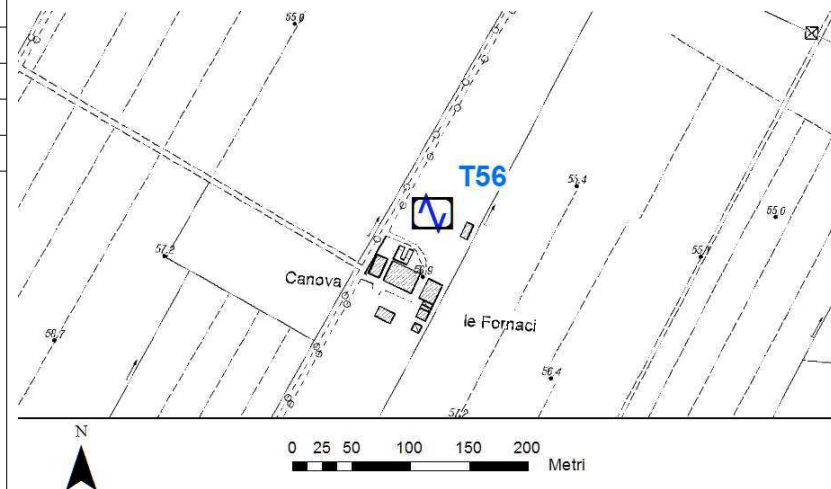


## Misura sismica H.V.S.R.

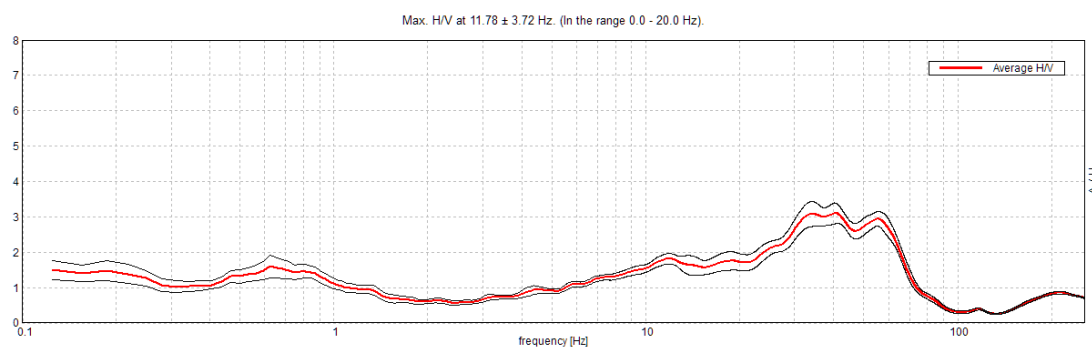
|  |            |        |
|--|------------|--------|
| Progressivo  | <b>T56</b> |        |
| Latitudine e Longitudine WGS84 - 33N [°]                     | 4964887    | 141342 |
| Quota p.c. s.l.m. [m]  | 55         |        |
| Frequenza di risonanza caratteristica tra 0,1 e 20,0 Hz [Hz] | 11.78      |        |
| Condizione di amplificazione tra 0,1 e 20,0 Hz               | SI         |        |
| Presenza di artefatti  | NO         |        |



*Andamento delle tre componenti del moto sismico*



*Ubicazione*



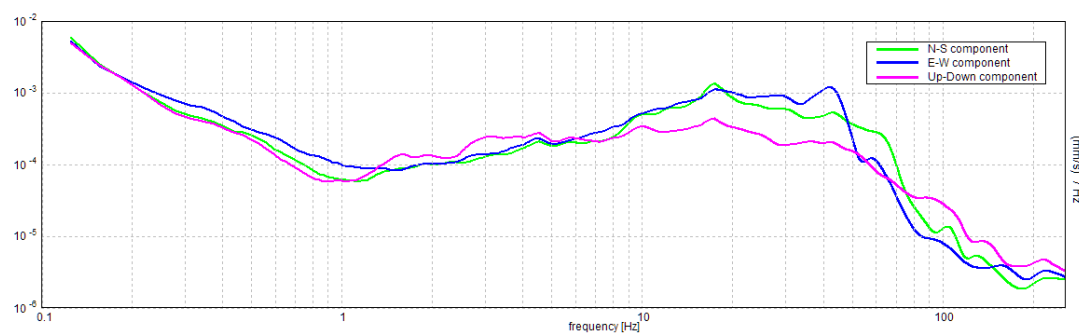
*Andamento della curva H/V*



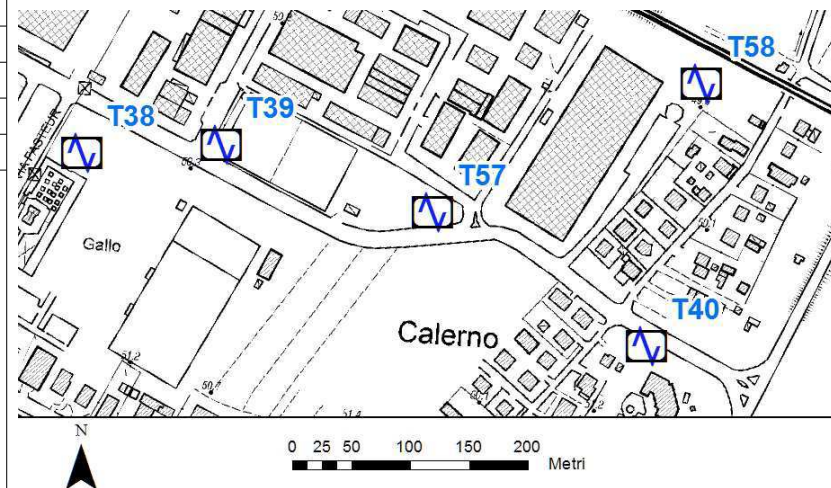
*Foto*

## Misura sismica H.V.S.R.

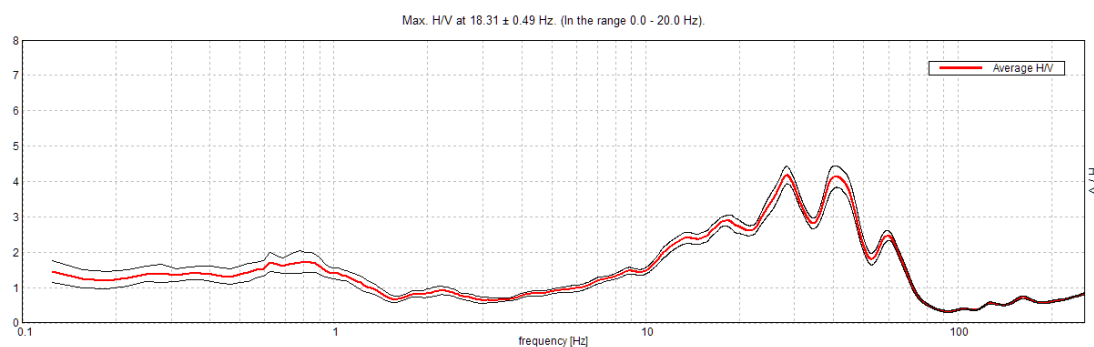
|  |            |        |
|--|------------|--------|
| Progressivo  | <b>T57</b> |        |
| Latitudine e Longitudine WGS84 - 33N [°]                     | 4965201    | 142887 |
| Quota p.c. s.l.m. [m]  | 50         |        |
| Frequenza di risonanza caratteristica tra 0,1 e 20,0 Hz [Hz] | 18.31      |        |
| Condizione di amplificazione tra 0,1 e 20,0 Hz               | SI         |        |
| Presenza di artefatti  | NO         |        |



Andamento delle tre componenti del moto sismico



Ubicazione



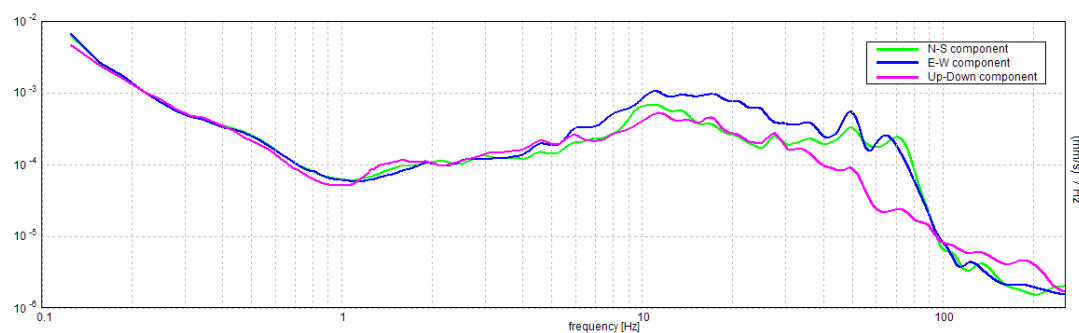
Andamento della curva H/V



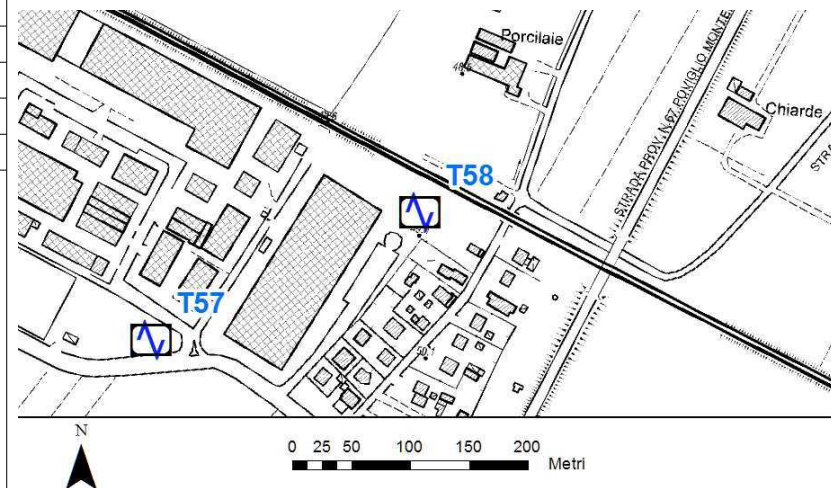
Foto

## Misura sismica H.V.S.R.

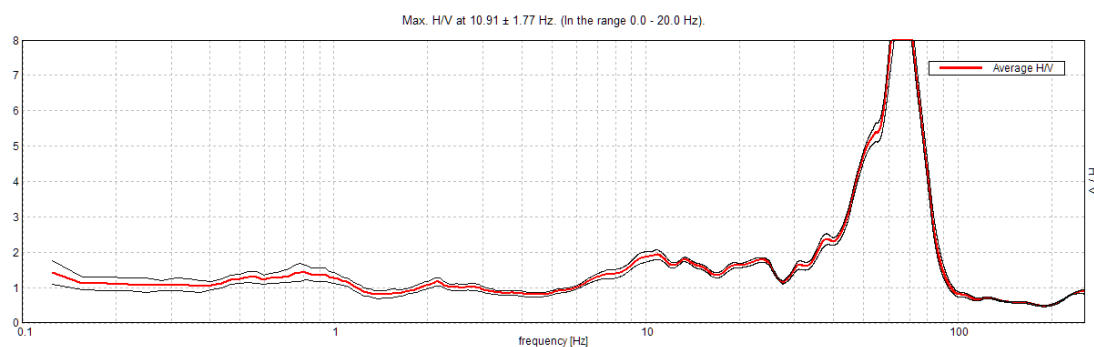
|  |            |        |
|--|------------|--------|
| Progressivo  | <b>T58</b> |        |
| Latitudine e Longitudine WGS84 - 33N [°]                     | 4965309    | 143116 |
| Quota p.c. s.l.m. [m]  | 49         |        |
| Frequenza di risonanza caratteristica tra 0,1 e 20,0 Hz [Hz] | 10.91      |        |
| Condizione di amplificazione tra 0,1 e 20,0 Hz               | SI         |        |
| Presenza di artefatti  | SI         |        |



*Andamento delle tre componenti del moto sismico*



*Ubicazione*



*Andamento della curva H/V*

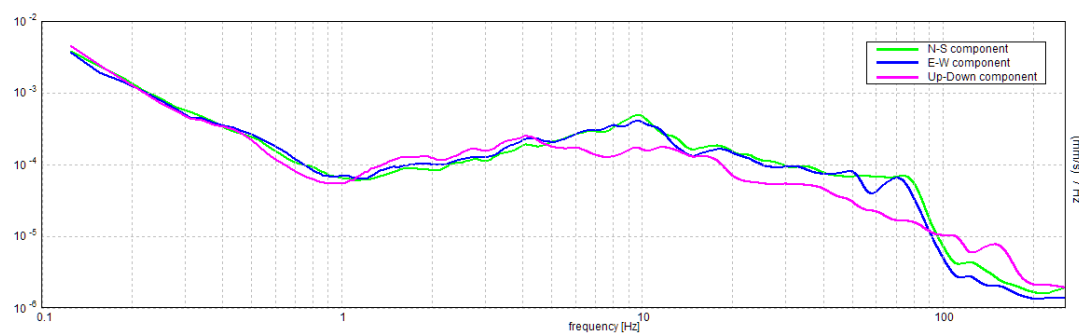


*Foto*

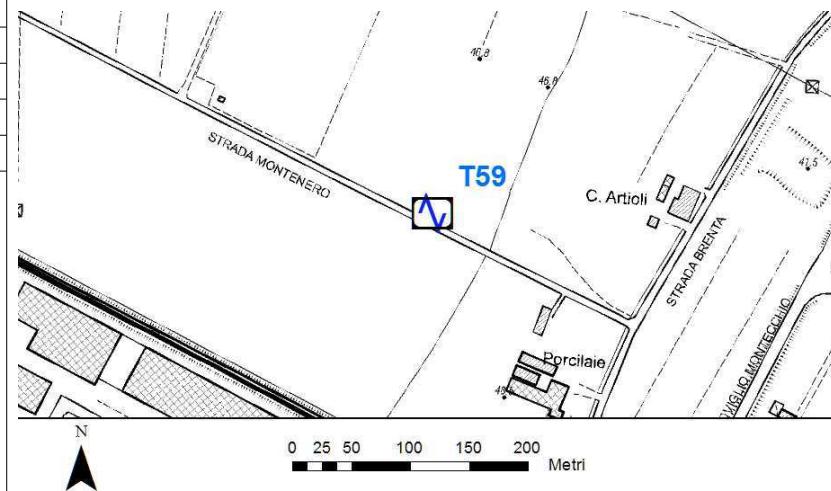


## Misura sismica H.V.S.R.

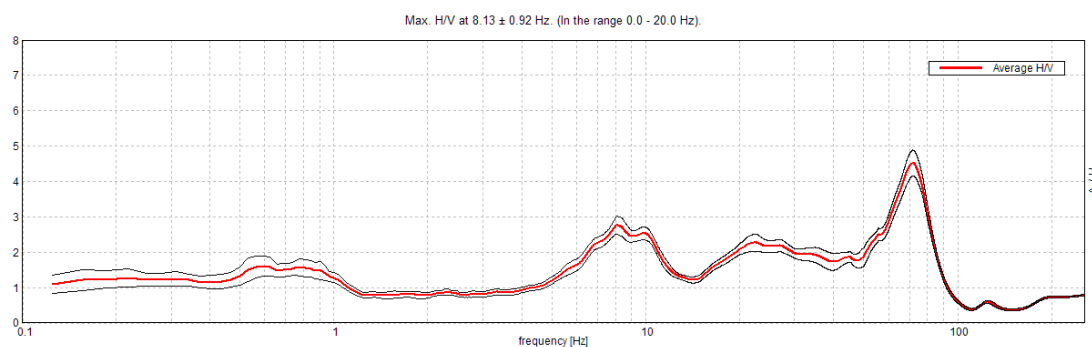
|  |            |        |
|--|------------|--------|
| Progressivo  | <b>T59</b> |        |
| Latitudine e Longitudine WGS84 - 33N [°]                     | 4965584    | 143090 |
| Quota p.c. s.l.m. [m]  | 47         |        |
| Frequenza di risonanza caratteristica tra 0,1 e 20,0 Hz [Hz] | 8.13       |        |
| Condizione di amplificazione tra 0,1 e 20,0 Hz               | SI         |        |
| Presenza di artefatti  | NO         |        |



*Andamento delle tre componenti del moto sismico*



*Ubicazione*



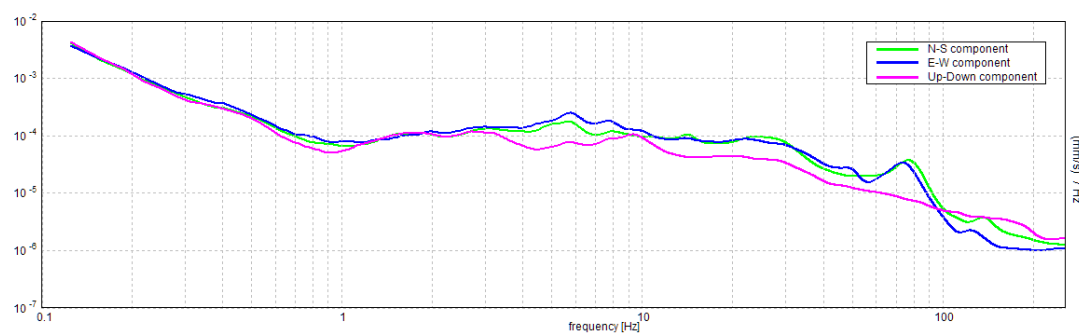
*Andamento della curva H/V*



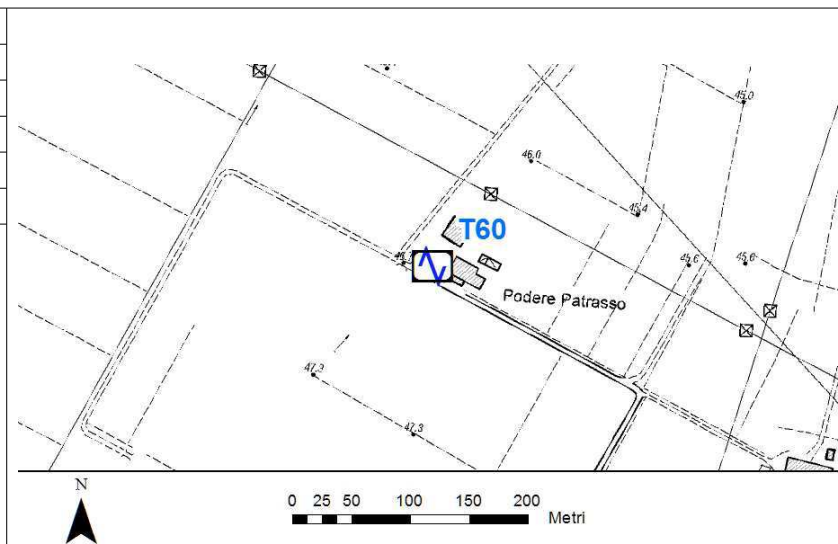
*Foto*

## Misura sismica H.V.S.R.

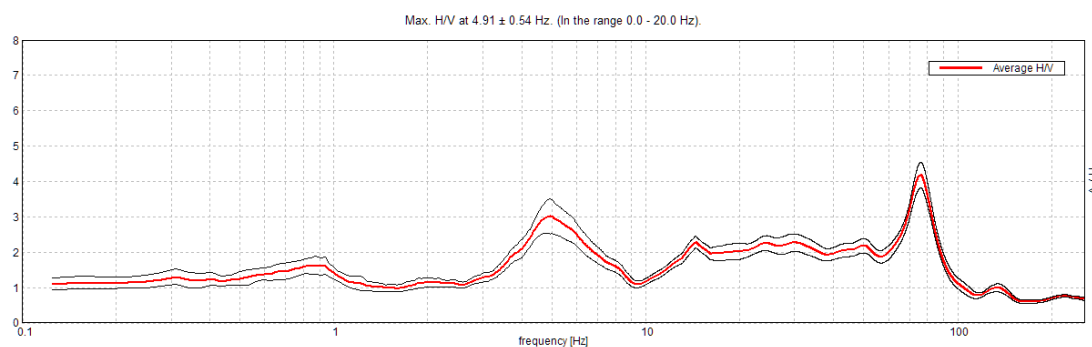
|  |            |        |
|--|------------|--------|
| Progressivo  | <b>T60</b> |        |
| Latitudine e Longitudine WGS84 - 33N [°]                     | 4966160    | 142367 |
| Quota p.c. s.l.m. [m]  | 47         |        |
| Frequenza di risonanza caratteristica tra 0,1 e 20,0 Hz [Hz] | 4.91       |        |
| Condizione di amplificazione tra 0,1 e 20,0 Hz               | SI         |        |
| Presenza di artefatti  | NO         |        |



*Andamento delle tre componenti del moto sismico*



*Ubicazione*



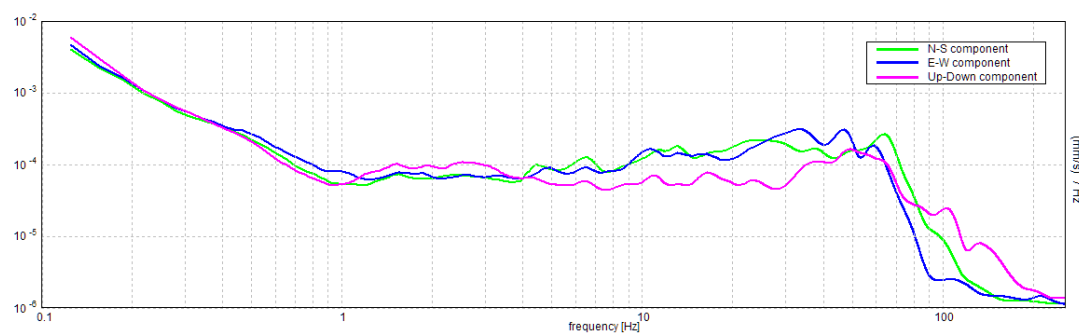
*Andamento della curva H/V*



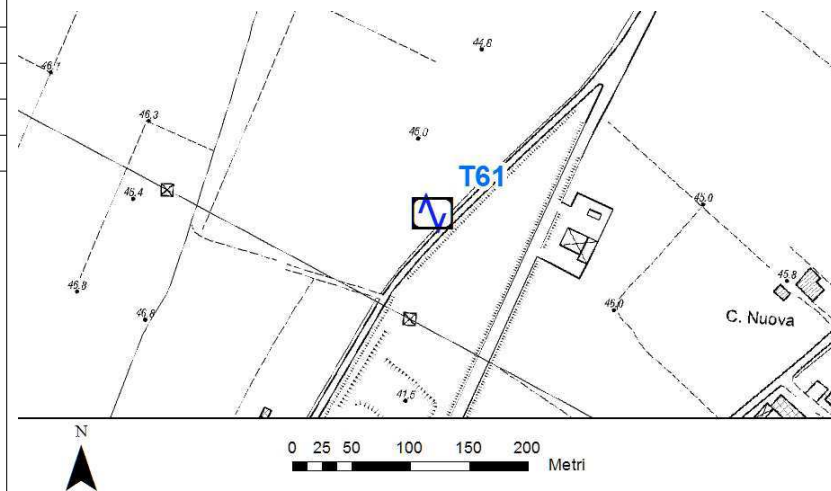
*Foto*

## Misura sismica H.V.S.R.

|  |            |        |
|--|------------|--------|
| Progressivo  | <b>T61</b> |        |
| Latitudine e Longitudine WGS84 - 33N [°]                     | 4965781    | 143432 |
| Quota p.c. s.l.m. [m]  | 45         |        |
| Frequenza di risonanza caratteristica tra 0,1 e 20,0 Hz [Hz] | 12.63      |        |
| Condizione di amplificazione tra 0,1 e 20,0 Hz               | SI         |        |
| Presenza di artefatti  | SI         |        |



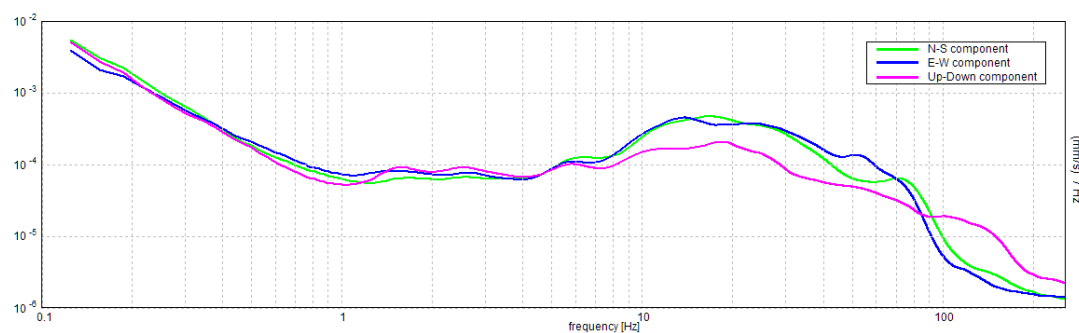
*Andamento delle tre componenti del moto sismico*



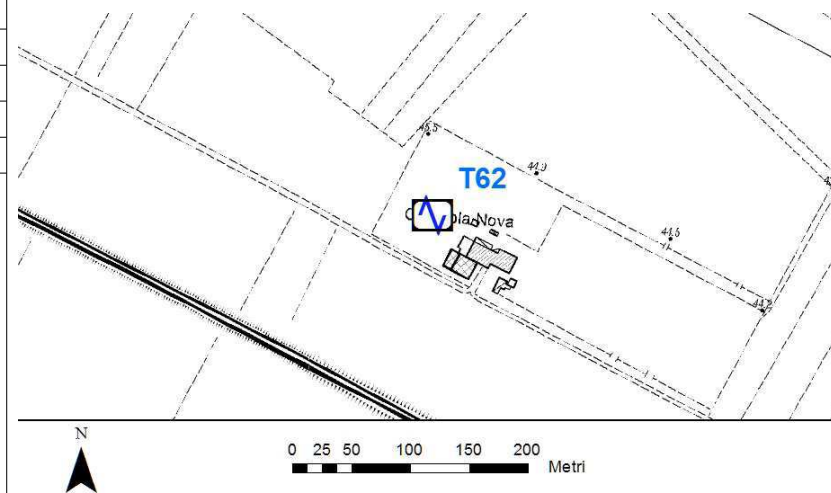


## Misura sismica H.V.S.R.

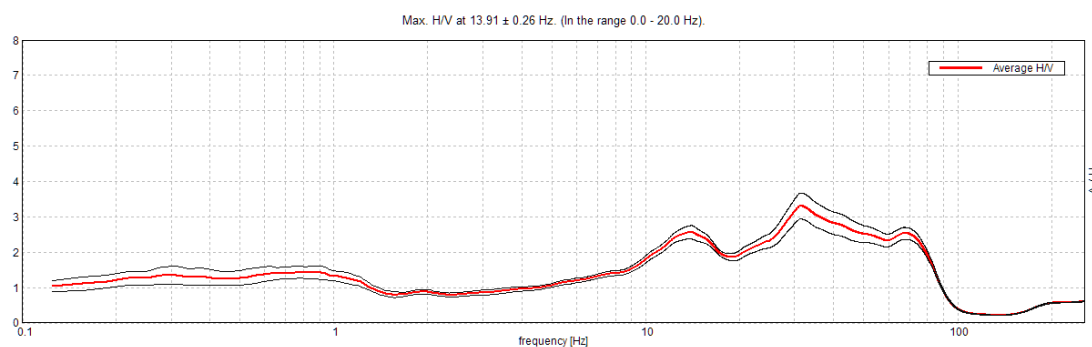
|  |            |        |
|--|------------|--------|
| Progressivo  | <b>T62</b> |        |
| Latitudine e Longitudine WGS84 - 33N [°]                     | 4965164    | 143815 |
| Quota p.c. s.l.m. [m]  | 46         |        |
| Frequenza di risonanza caratteristica tra 0,1 e 20,0 Hz [Hz] | 13.91      |        |
| Condizione di amplificazione tra 0,1 e 20,0 Hz               | SI         |        |
| Presenza di artefatti  | NO         |        |



*Andamento delle tre componenti del moto sismico*



*Ubicazione*



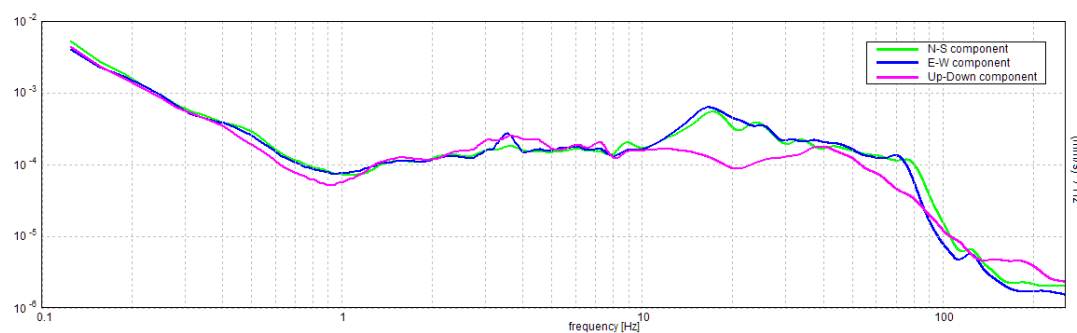
*Andamento della curva H/V*



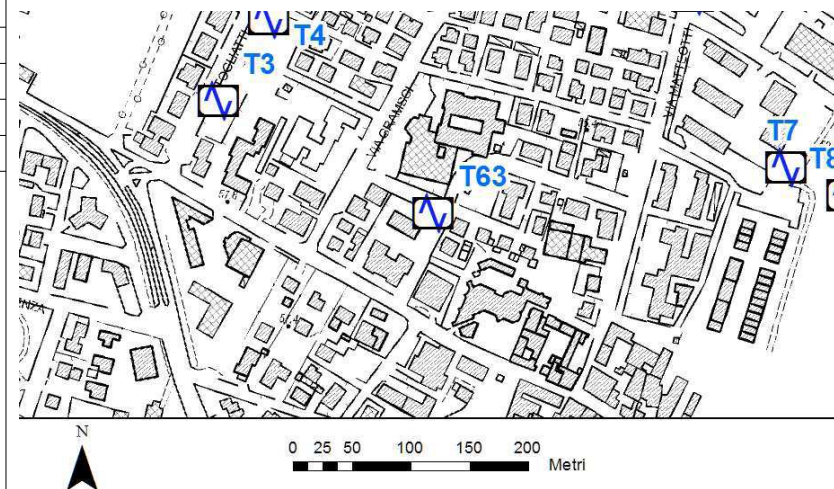
*Foto*

## Misura sismica H.V.S.R.

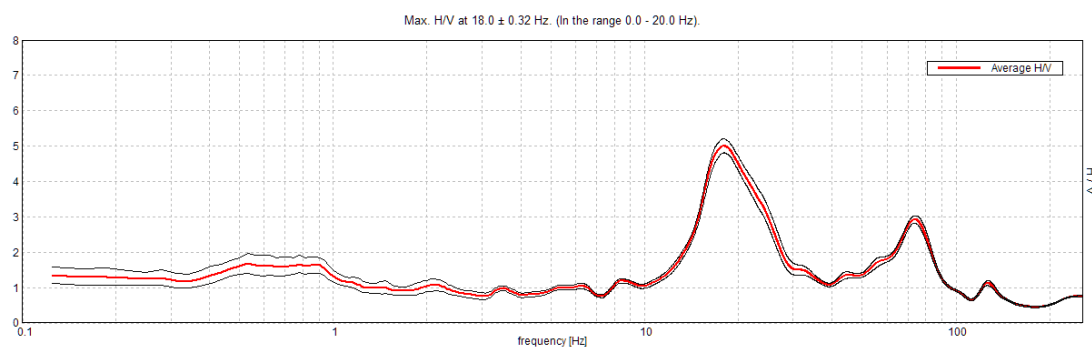
|  |            |        |
|--|------------|--------|
| Progressivo  | <b>T63</b> |        |
| Latitudine e Longitudine WGS84 - 33N [°]                     | 4966627    | 139840 |
| Quota p.c. s.l.m. [m]  | 57         |        |
| Frequenza di risonanza caratteristica tra 0,1 e 20,0 Hz [Hz] | 18.0       |        |
| Condizione di amplificazione tra 0,1 e 20,0 Hz               | SI         |        |
| Presenza di artefatti  | SI         |        |



*Andamento delle tre componenti del moto sismico*



*Ubicazione*



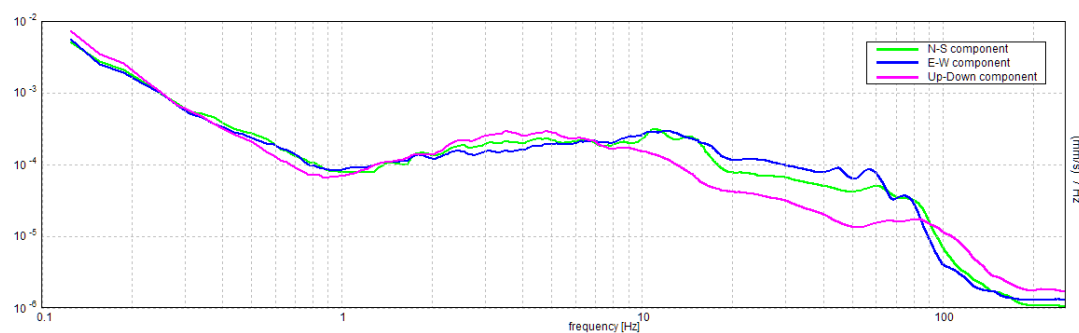
*Andamento della curva H/V*



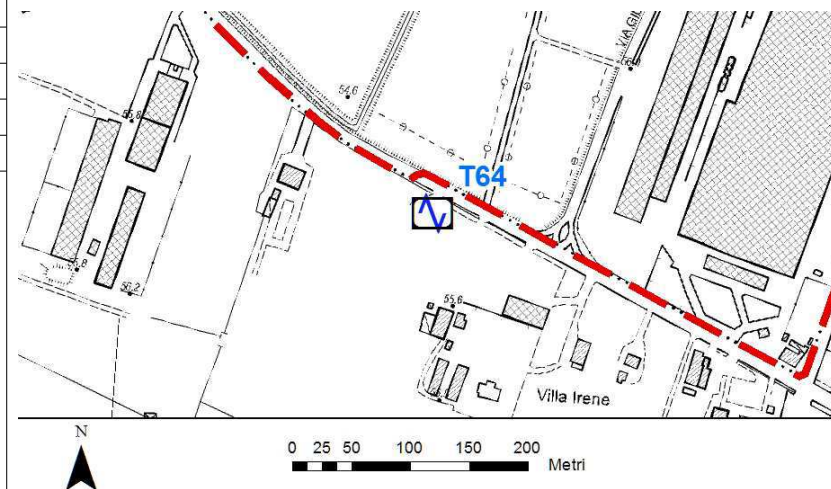
*Foto*

## Misura sismica H.V.S.R.

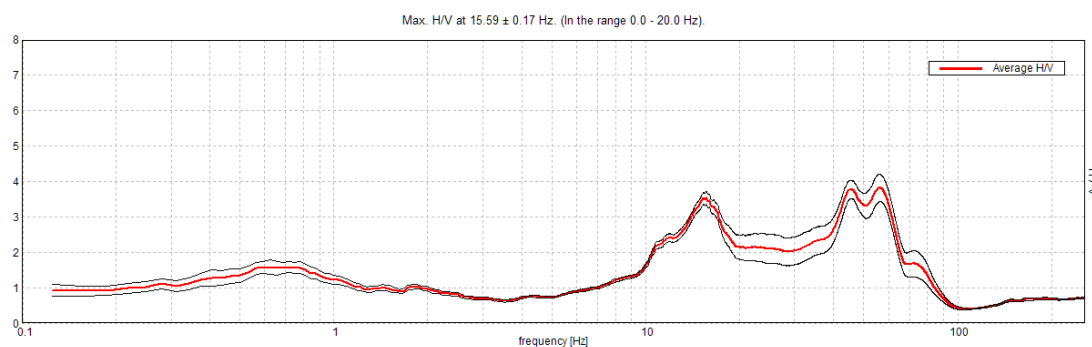
|  |            |        |
|--|------------|--------|
| Progressivo  | <b>T64</b> |        |
| Latitudine e Longitudine WGS84 - 33N [°]                     | 4967010    | 138926 |
| Quota p.c. s.l.m. [m]  | 56         |        |
| Frequenza di risonanza caratteristica tra 0,1 e 20,0 Hz [Hz] | 15.59      |        |
| Condizione di amplificazione tra 0,1 e 20,0 Hz               | SI         |        |
| Presenza di artefatti  | NO         |        |



*Andamento delle tre componenti del moto sismico*



*Ubicazione*



*Andamento della curva H/V*

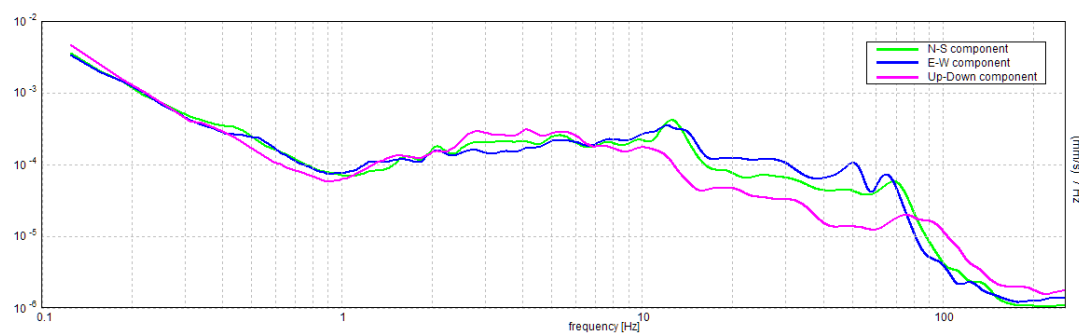


*Foto*

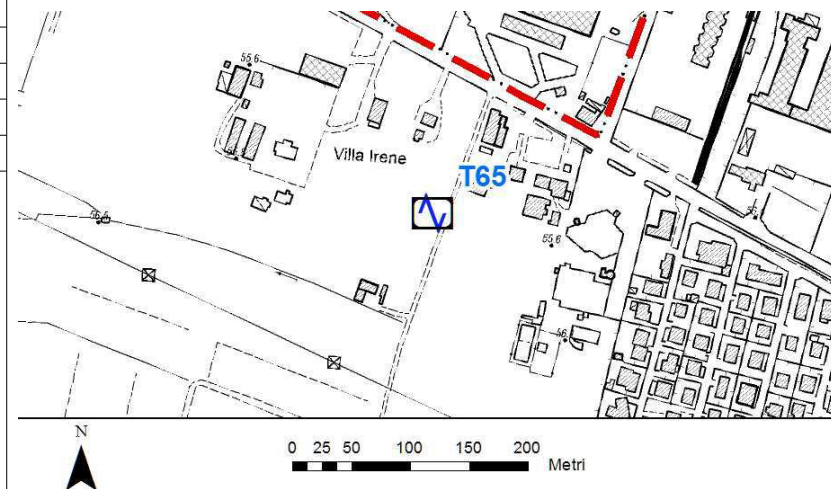


## Misura sismica H.V.S.R.

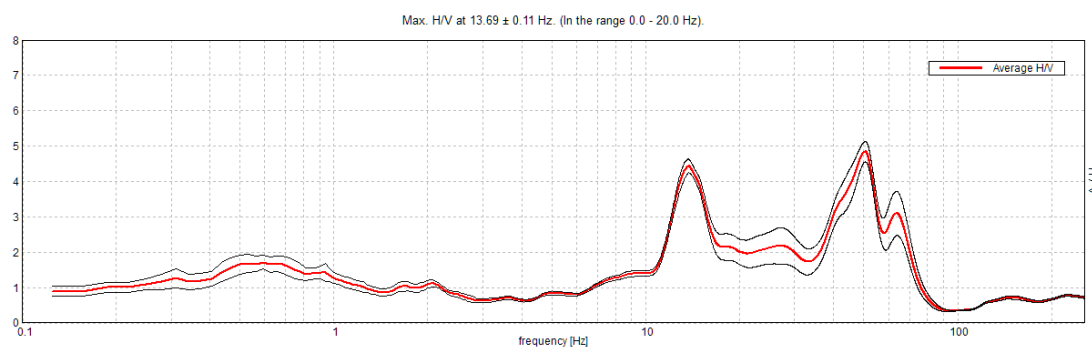
|  |            |        |
|--|------------|--------|
| Progressivo  | <b>T65</b> |        |
| Latitudine e Longitudine WGS84 - 33N [°]                     | 4966805    | 139098 |
| Quota p.c. s.l.m. [m]  | 56         |        |
| Frequenza di risonanza caratteristica tra 0,1 e 20,0 Hz [Hz] | 13.69      |        |
| Condizione di amplificazione tra 0,1 e 20,0 Hz               | SI         |        |
| Presenza di artefatti  | SI         |        |



*Andamento delle tre componenti del moto sismico*



*Ubicazione*

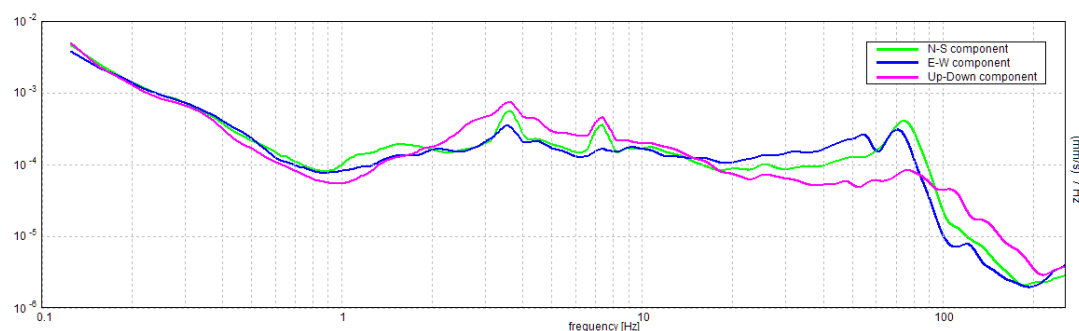


*Andamento della curva H/V*

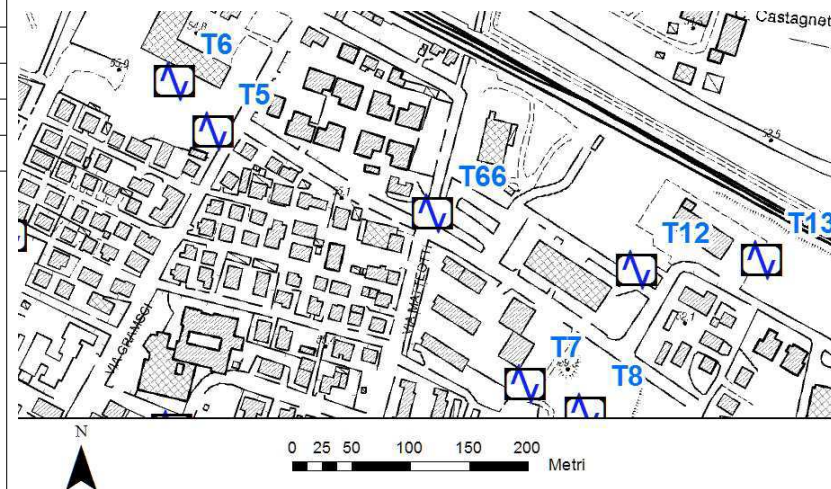
*Foto*

## Misura sismica H.V.S.R.

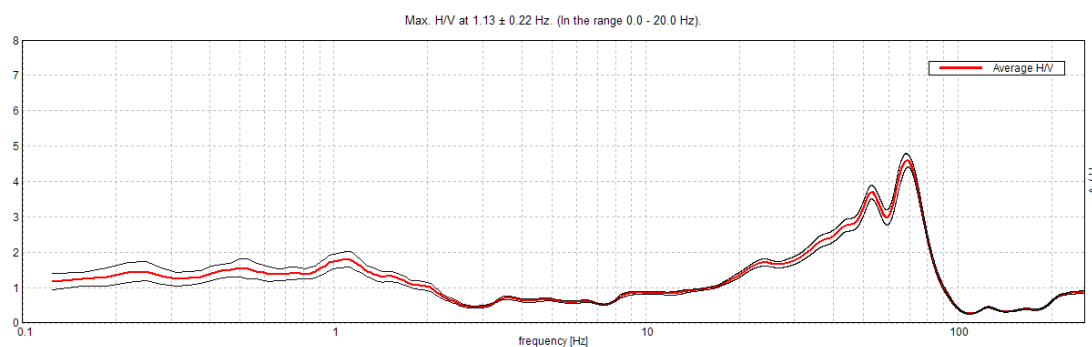
|  |            |        |
|--|------------|--------|
| Progressivo  | <b>T66</b> |        |
| Latitudine e Longitudine WGS84 - 33N [°]                     | 4966811    | 140061 |
| Quota p.c. s.l.m. [m]  | 55         |        |
| Frequenza di risonanza caratteristica tra 0,1 e 20,0 Hz [Hz] | 1.13       |        |
| Condizione di amplificazione tra 0,1 e 20,0 Hz               | SI         |        |
| Presenza di artefatti  | SI         |        |



Andamento delle tre componenti del moto sismico



Ubicazione



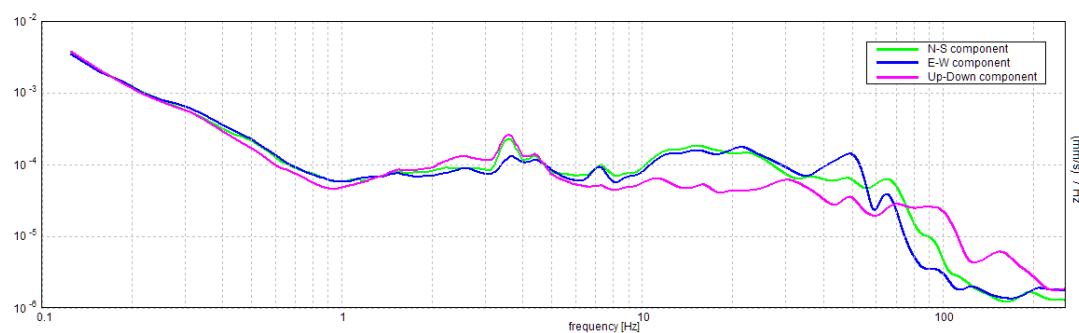
Andamento della curva H/V



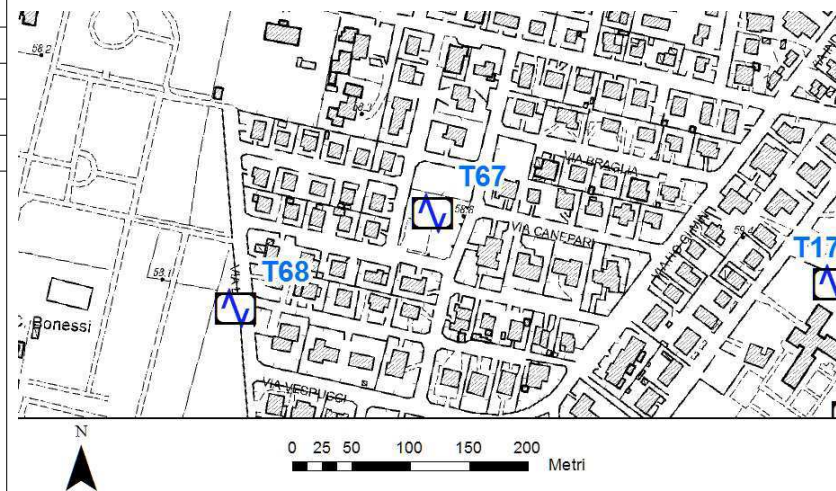
Foto

## Misura sismica H.V.S.R.

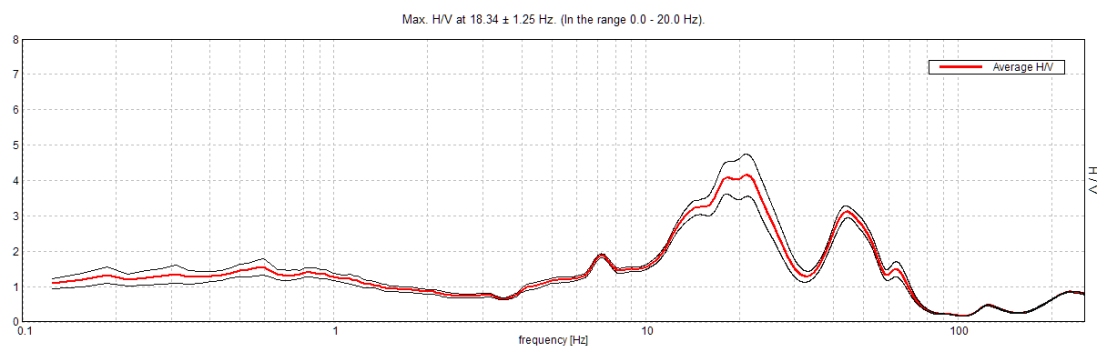
|  |            |        |
|--|------------|--------|
| Progressivo  | <b>T67</b> |        |
| Latitudine e Longitudine WGS84 - 33N [°]                     | 4966136    | 139203 |
| Quota p.c. s.l.m. [m]  | 59         |        |
| Frequenza di risonanza caratteristica tra 0,1 e 20,0 Hz [Hz] | 18.34      |        |
| Condizione di amplificazione tra 0,1 e 20,0 Hz               | SI         |        |
| Presenza di artefatti  | SI         |        |



Andamento delle tre componenti del moto sismico



Ubicazione



Andamento della curva H/V

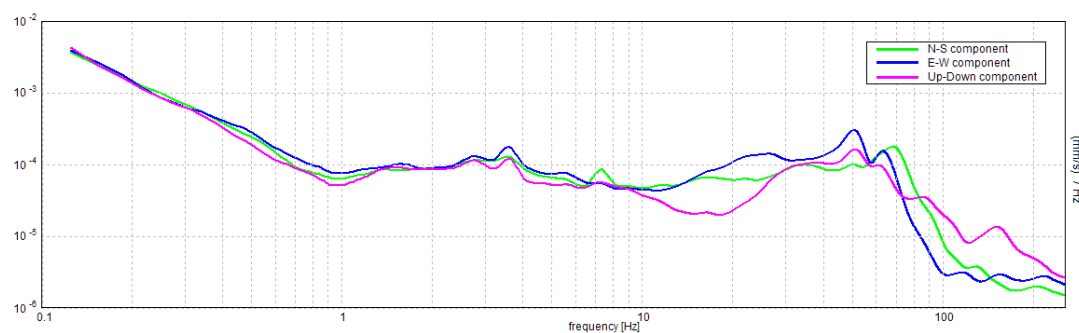


Foto

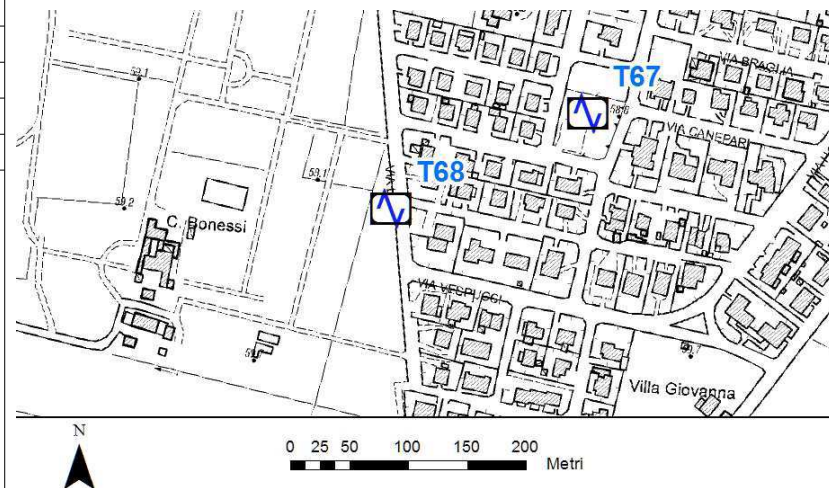


## Misura sismica H.V.S.R.

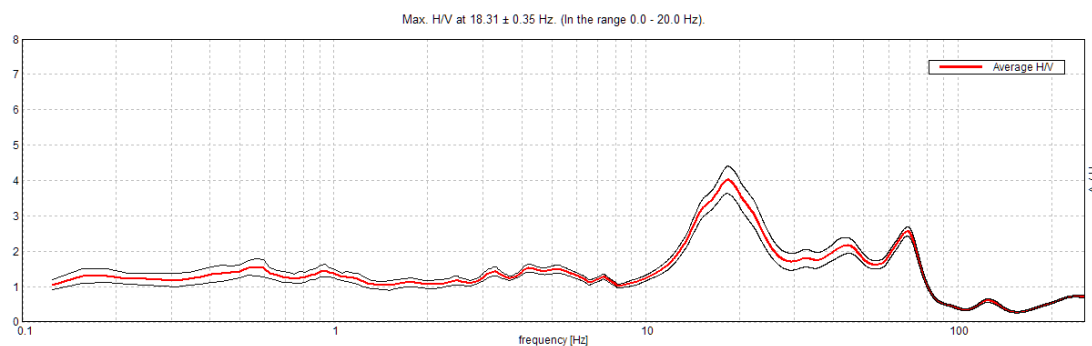
|  |            |        |
|--|------------|--------|
| Progressivo  | <b>T68</b> |        |
| Latitudine e Longitudine WGS84 - 33N [°]                     | 4966056    | 139036 |
| Quota p.c. s.l.m. [m]  | 58         |        |
| Frequenza di risonanza caratteristica tra 0,1 e 20,0 Hz [Hz] | 18.31      |        |
| Condizione di amplificazione tra 0,1 e 20,0 Hz               | SI         |        |
| Presenza di artefatti  | SI         |        |



Andamento delle tre componenti del moto sismico



Ubicazione



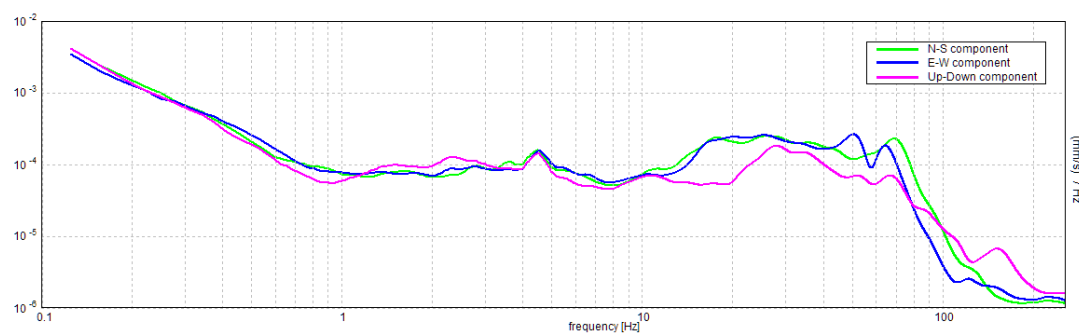
Andamento della curva H/V



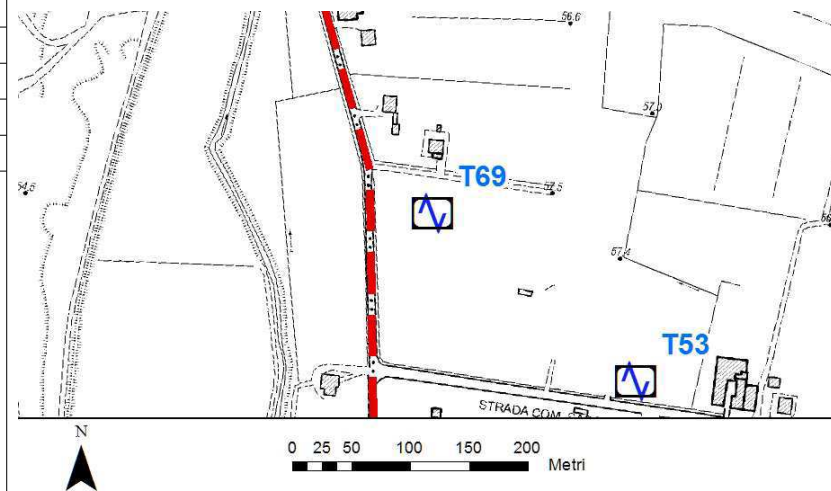
Foto

## Misura sismica H.V.S.R.

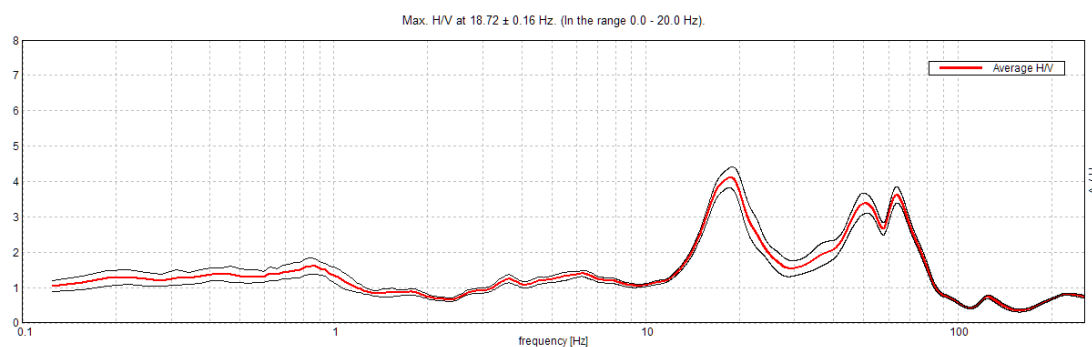
|  |            |        |
|--|------------|--------|
| Progressivo  | <b>T69</b> |        |
| Latitudine e Longitudine WGS84 - 33N [°]                     | 4966554    | 138534 |
| Quota p.c. s.l.m. [m]  | 58         |        |
| Frequenza di risonanza caratteristica tra 0,1 e 20,0 Hz [Hz] | 18.72      |        |
| Condizione di amplificazione tra 0,1 e 20,0 Hz               | SI         |        |
| Presenza di artefatti  | SI         |        |



Andamento delle tre componenti del moto sismico



Ubicazione



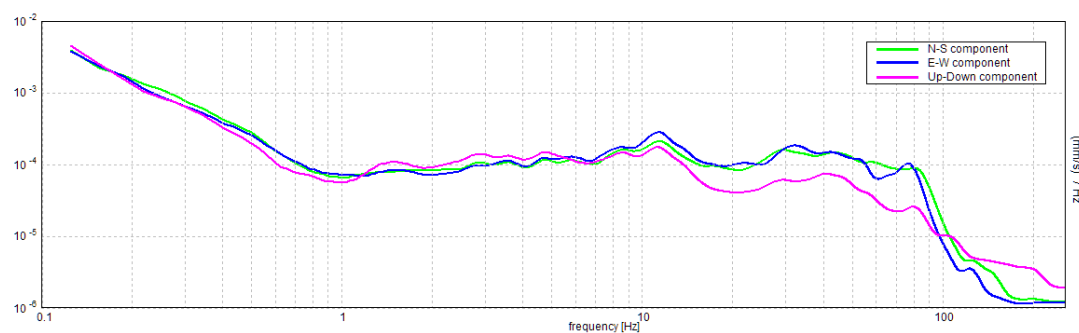
Andamento della curva H/V



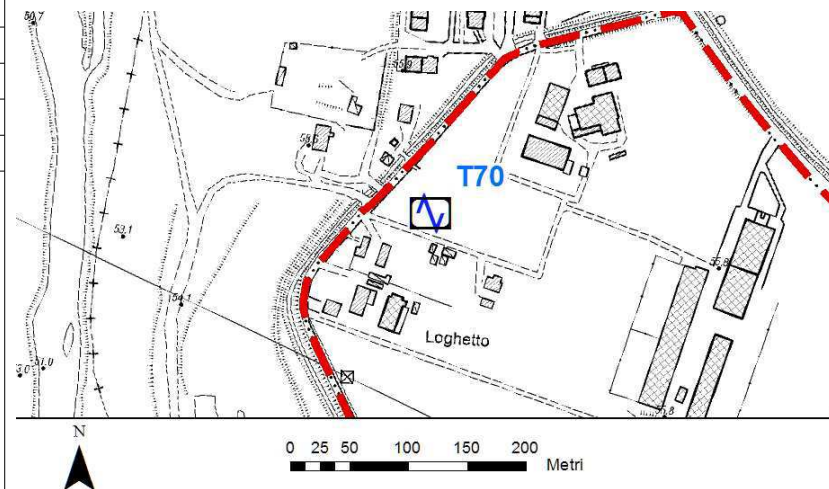
Foto

## Misura sismica H.V.S.R.

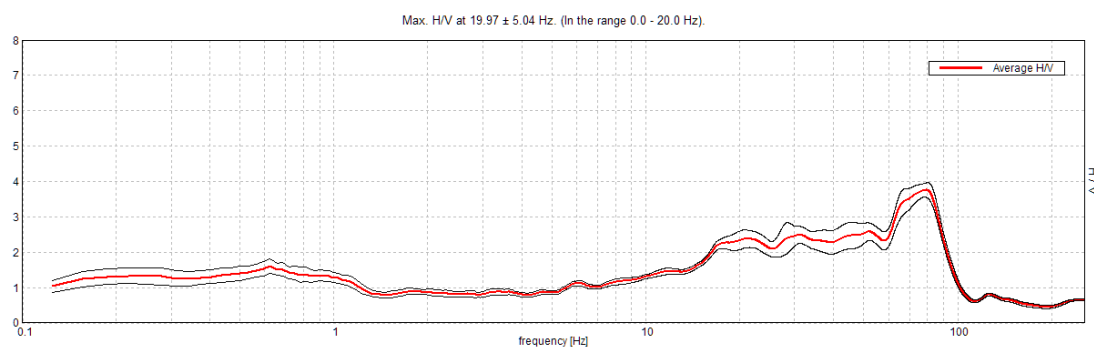
|  |            |        |
|--|------------|--------|
| Progressivo  | <b>T70</b> |        |
| Latitudine e Longitudine WGS84 - 33N [°]                     | 4967135    | 138426 |
| Quota p.c. s.l.m. [m]  | 56         |        |
| Frequenza di risonanza caratteristica tra 0,1 e 20,0 Hz [Hz] | 19.97      |        |
| Condizione di amplificazione tra 0,1 e 20,0 Hz               | SI         |        |
| Presenza di artefatti  | SI         |        |



*Andamento delle tre componenti del moto sismico*



*Ubicazione*



*Andamento della curva H/V*

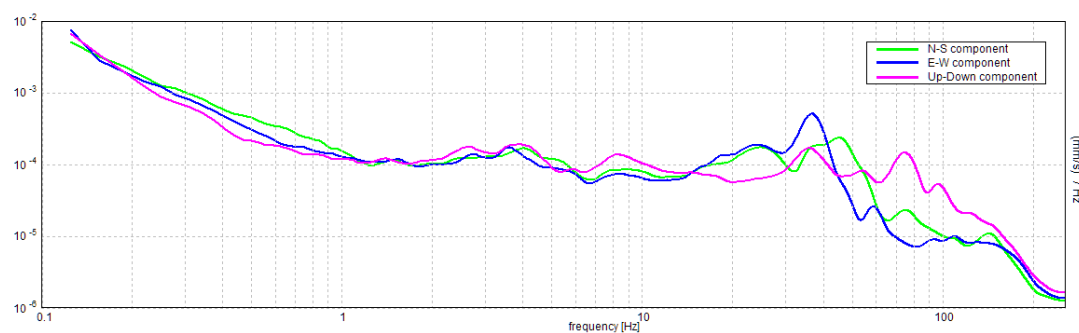


*Foto*

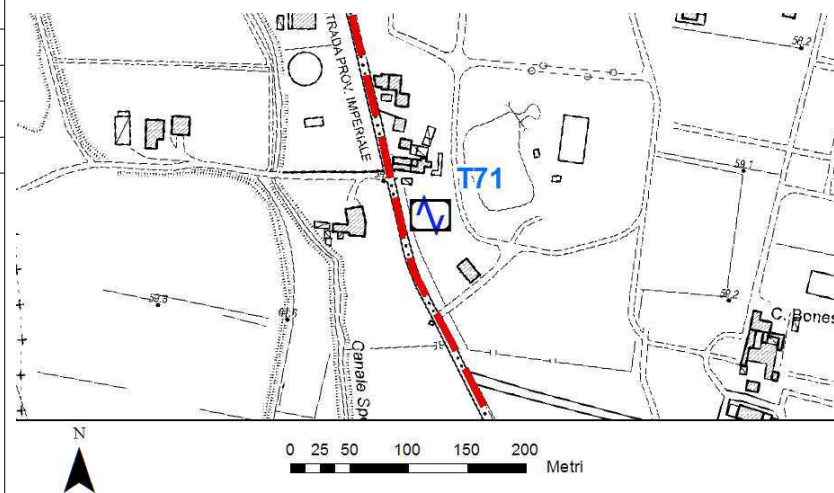


## Misura sismica H.V.S.R.

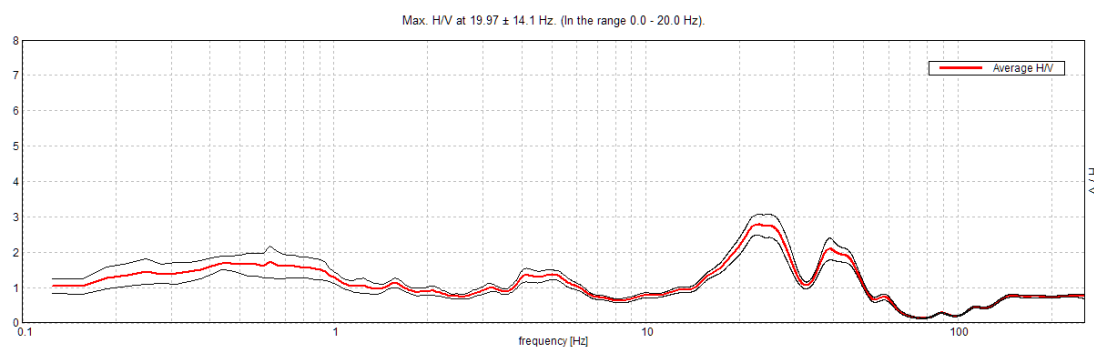
|  |         |        |
|--|---------|--------|
| Progressivo  | T71     |        |
| Latitudine e Longitudine WGS84 - 33N [°]                     | 4966128 | 138556 |
| Quota p.c. s.l.m. [m]  | 60      |        |
| Frequenza di risonanza caratteristica tra 0,1 e 20,0 Hz [Hz] | 19.97   |        |
| Condizione di amplificazione tra 0,1 e 20,0 Hz               | SI      |        |
| Presenza di artefatti  | SI      |        |



Andamento delle tre componenti del moto sismico



Ubicazione



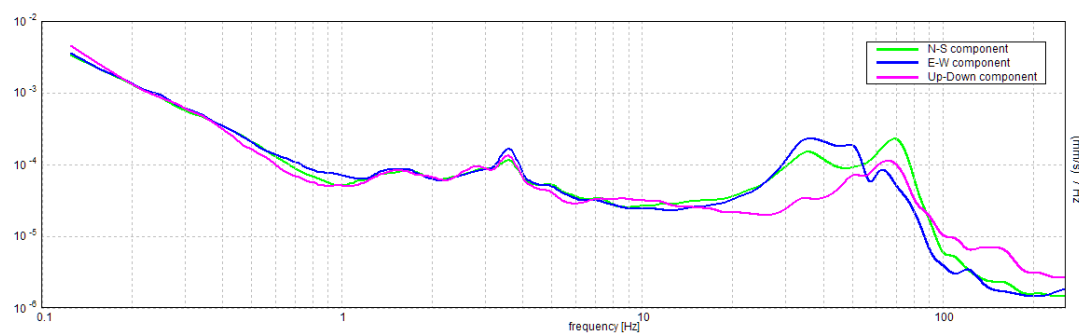
Andamento della curva H/V



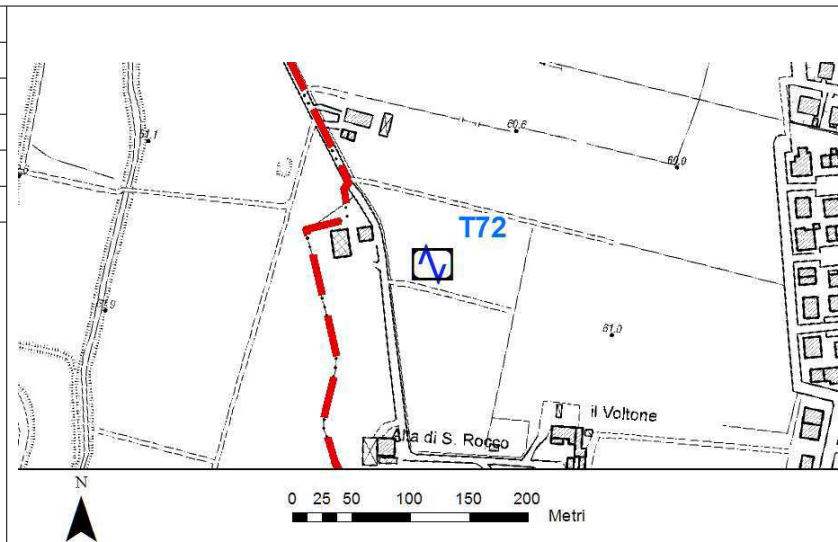
Foto

## Misura sismica H.V.S.R.

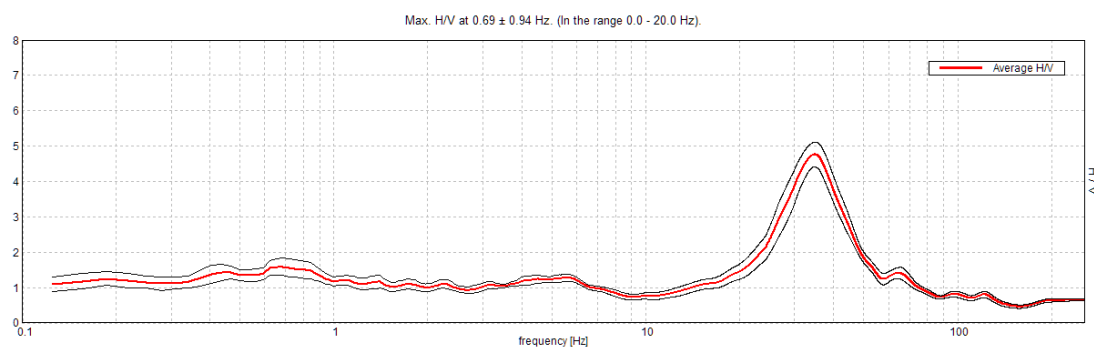
|  |            |        |
|--|------------|--------|
| Progressivo  | <b>T72</b> |        |
| Latitudine e Longitudine WGS84 - 33N [°]                     | 4965750    | 138745 |
| Quota p.c. s.l.m. [m]  | 61         |        |
| Frequenza di risonanza caratteristica tra 0,1 e 20,0 Hz [Hz] | 0.69       |        |
| Condizione di amplificazione tra 0,1 e 20,0 Hz               | NO         |        |
| Presenza di artefatti  | NO         |        |



*Andamento delle tre componenti del moto sismico*



*Ubicazione*



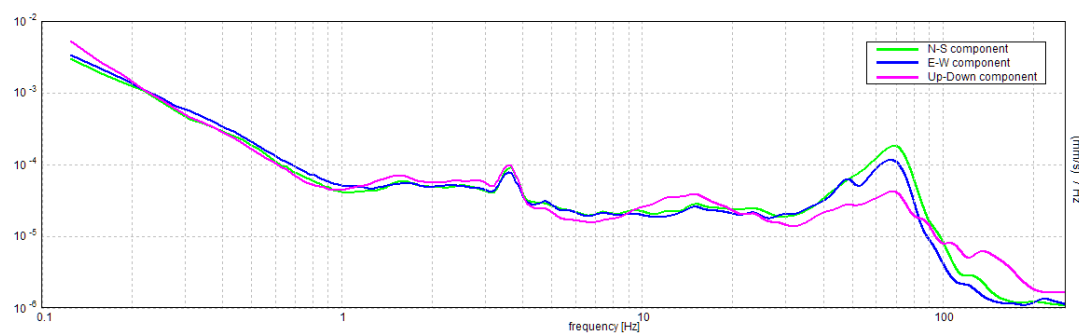
*Andamento della curva H/V*



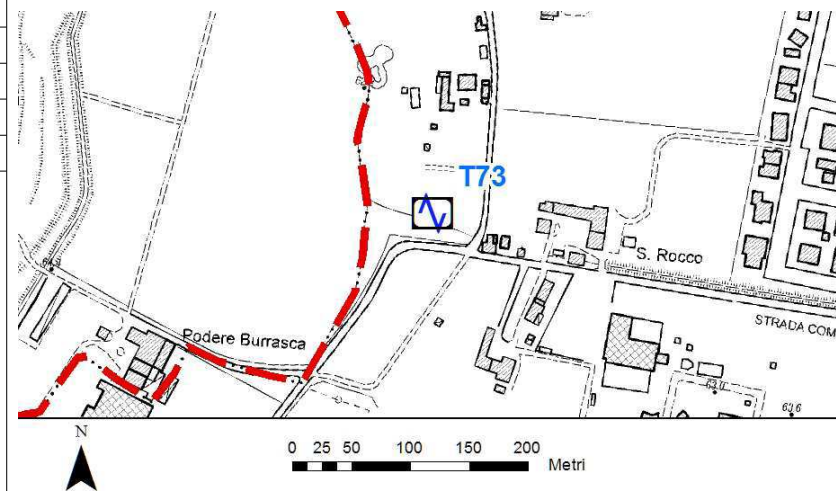
*Foto*

## Misura sismica H.V.S.R.

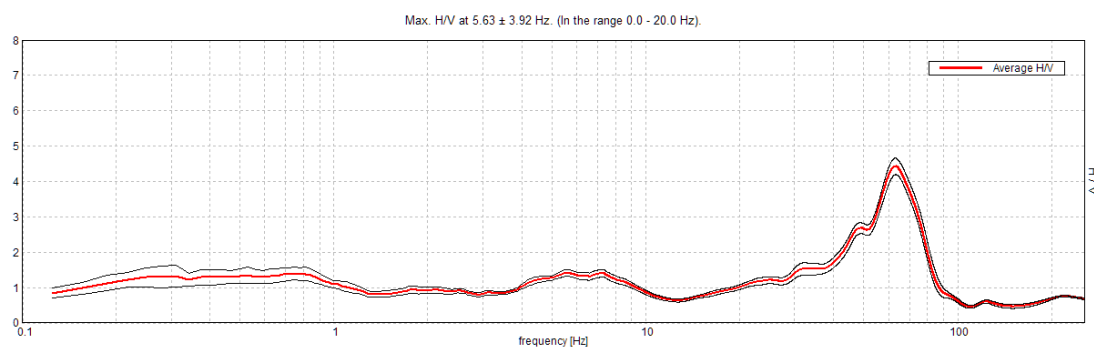
|  |            |        |
|--|------------|--------|
| Progressivo  | <b>T73</b> |        |
| Latitudine e Longitudine WGS84 - 33N [°]                     | 4965401    | 138745 |
| Quota p.c. s.l.m. [m]  | 62         |        |
| Frequenza di risonanza caratteristica tra 0,1 e 20,0 Hz [Hz] | 5.63       |        |
| Condizione di amplificazione tra 0,1 e 20,0 Hz               | NO         |        |
| Presenza di artefatti  | SI         |        |



Andamento delle tre componenti del moto sismico



Ubicazione



Andamento della curva H/V

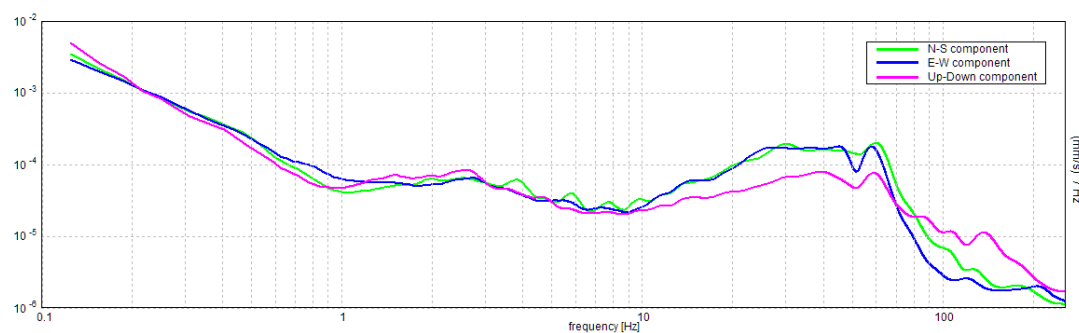


Foto

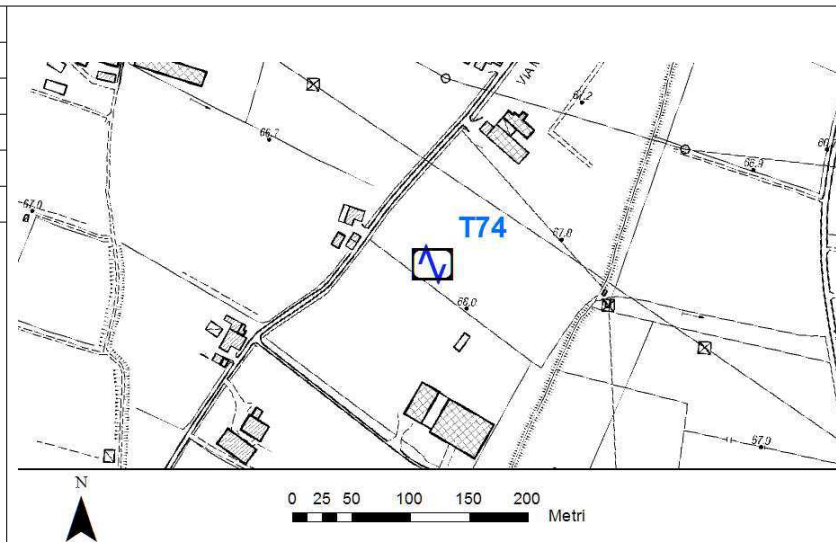


## Misura sismica H.V.S.R.

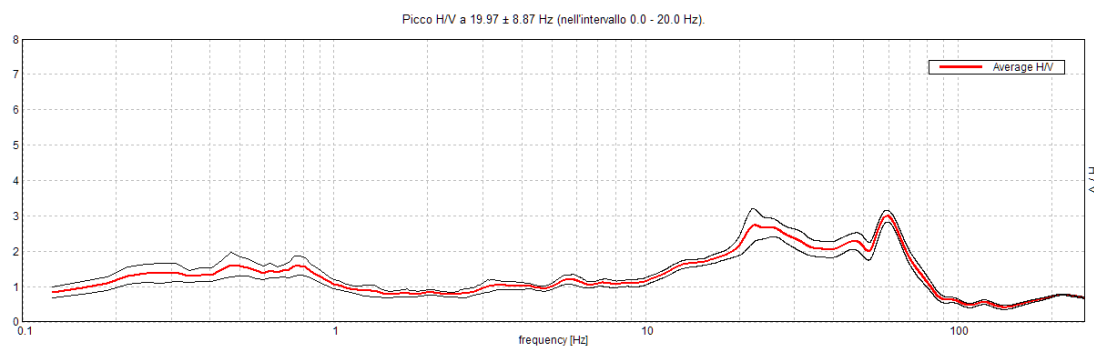
|  |            |        |
|--|------------|--------|
| Progressivo  | <b>T74</b> |        |
| Latitudine e Longitudine WGS84 - 33N [°]                     | 4964513    | 138773 |
| Quota p.c. s.l.m. [m]  | 68         |        |
| Frequenza di risonanza caratteristica tra 0,1 e 20,0 Hz [Hz] | 19.97      |        |
| Condizione di amplificazione tra 0,1 e 20,0 Hz               | SI         |        |
| Presenza di artefatti  | SI         |        |



*Andamento delle tre componenti del moto sismico*



*Ubicazione*



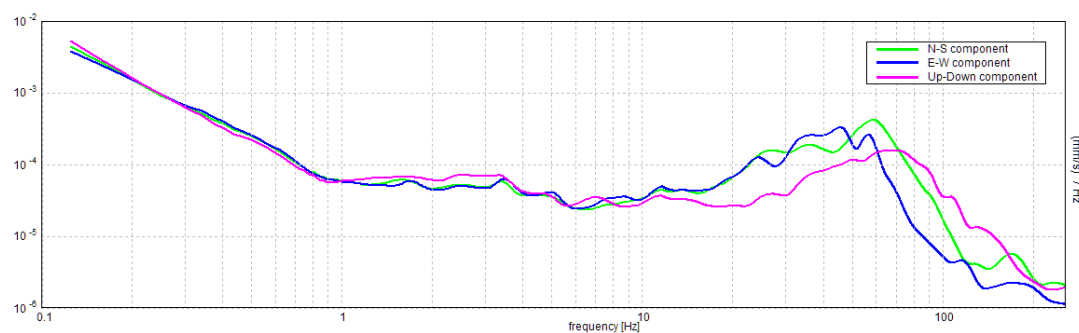
*Andamento della curva H/V*



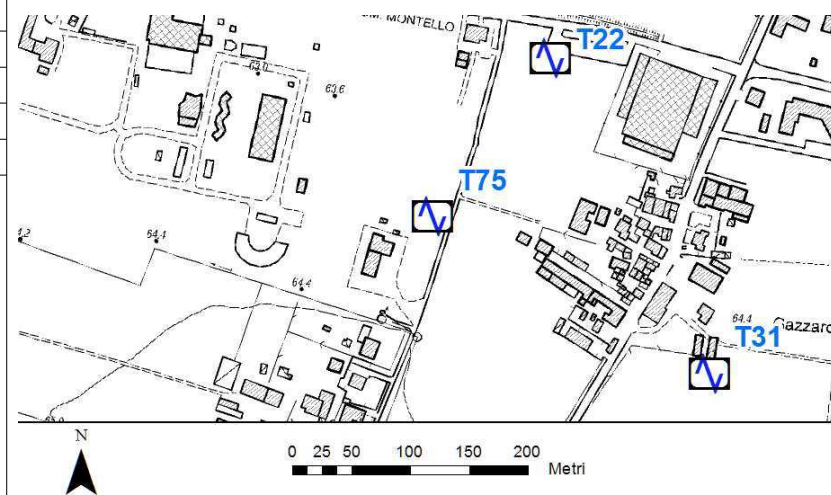
*Foto*

## Misura sismica H.V.S.R.

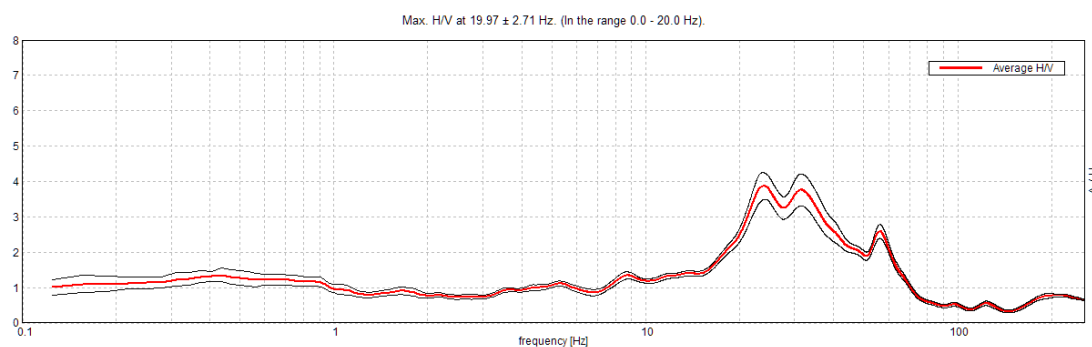
|  |            |        |
|--|------------|--------|
| Progressivo  | <b>T75</b> |        |
| Latitudine e Longitudine WGS84 - 33N [°]                     | 4965128    | 139132 |
| Quota p.c. s.l.m. [m]  | 64         |        |
| Frequenza di risonanza caratteristica tra 0,1 e 20,0 Hz [Hz] | 19.97      |        |
| Condizione di amplificazione tra 0,1 e 20,0 Hz               | SI         |        |
| Presenza di artefatti  | NO         |        |



Andamento delle tre componenti del moto sismico



Ubicazione



Andamento della curva H/V



Foto